

---

# Candlestick Charting Explained

Timeless Techniques  
for Trading Stocks and Futures

Gregory L. Morris

## Японские свечи

метод анализа акций и фьючерсов,  
проверенный временем

Грегори Л. Моррис

---

# ОГЛАВЛЕНИЕ

<b>Глава 1</b>	
<b>Общие принципы .....</b>	<b>17</b>
Анализ с помощью японских свечей .....	18
Японские свечи и вы .....	19
Сравнение графиков свечей со штриховыми графиками .....	19
Тело свечи (джиттай) .....	22
Тени (кейдж) .....	22
<b>Глава 2</b>	
<b>Линии свечей .....</b>	<b>25</b>
Длинные дни .....	26
Короткие дни .....	27
Марибозу .....	27
Волчки (кома) .....	29
Доджи .....	30
Звезды (госи) .....	33
Бумажный зонтик (Каракаса) .....	33
Заключение .....	34
<b>Глава 3</b>	
<b>Разворотные модели свечей .....</b>	<b>35</b>
Модели разворота и продолжения .....	36
Формат глав .....	36
Указатель разворотных моделей .....	38
Молот и висельник .....	40
Поглощение .....	45
Харами .....	49
Крест харами .....	53
Перевернутый молот и падающая звезда .....	57
Пронизывающая линия .....	62
Темные облака .....	65
Доджи-звезда .....	68
Утренняя звезда и вечерняя звезда .....	72
Утренняя доджи-звезда и вечерняя доджи-звезда .....	77
Брошенный младенец .....	81
Три звезды .....	85
Две взлетевшие вороны .....	89
Встречающиеся свечи .....	92
Захват за пояс .....	97
Особая впадина «три реки» .....	101
Три белых солдата .....	104
Отбитая атака .....	107
Размышление .....	НО
Три черные вороны .....	113
Три одинаковые вороны .....	116
Пробой .....	119
Две вороны .....	124
Три дня изнутри вверх и три дня изнутри вниз .....	127
Три внешних дня вверх и три внешних дня вниз .....	131
Три звезды на юге .....	135
Прячущаяся ласточка .....	138
Прилипший сэндвич .....	141
Высокий прыжок .....	144
Почтовый голубь .....	147
Ступенчатое дно .....	150
Совпадение по нижнему уровню .....	153

<b>Глава 4</b>	
<b>Модели продолжения.....</b>	<b>156</b>
Указатель моделей продолжения .....	157
Верхний разрыв тасуки и нижний разрыв тасуки.....	158
Смежные белые свечи .....	163
Метод трех поднимающихся и метод трех падающих .....	168
Разделяющиеся свечи .....	173
Удержание на татами.....	177
Тройной удар.....	181
Верхний разрыв метода трех и нижний разрыв метода трех .....	186
У линии шеи.....	191
На линии шеи.....	194
Толчок .....	197
<b>Глава 5</b>	
<b>Метод Сакаты и формации свечей .....</b>	<b>200</b>
Метод Сакаты .....	201
Формации свечей .....	209
<b>Глава 6</b>	
<b>Философия, стоящая за идентификацией моделей свечей.....</b>	<b>219</b>
Данные: требования, разрывы, правила.....	219
Идея .....	221
Человеческая психология .....	222
Определение тренда.....	222
Скользкие средние и сглаживание.....	223
Используемый метод определения тренда.....	224
Идентификация моделей свечей.....	224
<b>Глава 7</b>	
<b>Надежность распознавания моделей .....</b>	<b>233</b>
Измерение успешности .....	233
Разворот текущего тренда и его продолжение .....	236
Статистическое ранжирование моделей свечей .....	236
Модели свечей и акции.....	237
Итоги трех таблиц по акциям .....	247
Модели свечей и фьючерсы .....	248
Итоги трех таблиц фьючерсов .....	249
Анализ отдельных акций.....	259
<b>Глава 8</b>	
<b>Фильтрация свечей.....</b>	<b>264</b>
Концепция фильтрации .....	264
Предсигнальные области.....	266
Индикаторы .....	266
Параметры фильтрации .....	270
Примеры фильтрации.....	271
Анализ отдельных акций.....	276
Заключение.....	291
<b>Глава 9</b>	
<b>Производные графические методы .....</b>	<b>292</b>
Графики CandlePower .....	292
Примеры .....	294
Сжатые графики CandlePower.....	299
Пример .....	299
<b>Заключение.....</b>	<b>301</b>
<b>Приложение 1 .....</b>	<b>302</b>
<b>Приложение 2 .....</b>	<b>308</b>

---

# ОБЩИЕ ПРИНЦИПЫ

# 1

Анализ с помощью графиков японских свечей — один из наиболее надежных методов технического анализа. «Консультанты», пропагандирующие мгновенное обогащение, всегда искажали и будут искажать реальную эффективность данного метода. Однако японские свечи известны на Западе еще слишком короткое время, чтобы это нанесло им серьезный ущерб. На любую новую технику следовало бы смотреть с изрядной долей здорового скептицизма. Будем надеяться, эта книга обуздает скептицизм и покажет, что в данном случае он излишен.

## Технический анализ

Если говорить о техническом анализе, следовало бы помнить о том, что вещи не всегда оказываются такими, какими представляются. Много из того, что, как нам кажется, мы знаем и понимаем, в действительности оказывается совсем не таким. Многие люди верят, что под конец вода выливается из ванны быстрее, чем вначале, или что собаки потеют языком и так далее. Некоторые люди говорят, что могут выпить так же много, как рыбы, хотя рыбы не пьют.

Хороший следователь скажет вам, что наиболее ненадежная информация исходит от очевидцев. Когда люди наблюдают некоторое событие, их личный опыт, образование и прочие факторы влияют на их восприятие того, что происходит. Наиболее важная вещь, которую стремится сделать каждый следователь на месте преступления, — это не допустить разговоров очевидцев между собой, поскольку на многих окажет влияние рассказ других о том, что они видели.

Другая любопытная человеческая особенность проявляется, когда мы оцениваем факты. Человеческий разум не может полностью справиться с большими числами или глобальными идеями. То, что тысячи людей ежегодно гибнут в автомобильных авариях, не вызывает особых эмоций, при этом авиакатастрофа, в которой гибнет несколько людей, привлекает внимание всей нации. Нас не так уж сильно заботят десятки тысяч людей, инфицированных ВИЧ, но нас глубоко потрясает, когда нам показывают одного невинного ребенка, зараженного грязным шприцем. Если ситуация персонализирована, мы можем на ней сосредоточиться. Наши эмоции могут ввести нас в заблуждение, и они влияют на наше восприятие. Когда стоимость нашего портфеля падает, все страхи, которые только можно себе вообразить, выплывают на поверхность: упадок, долги, война, бюджет, банковский крах и так далее. Требуется что-то, что уберет нас от того, чтобы мы ежедневно становились жертвами собственных эмоций и заблуждений; это что-то — технический анализ.

Почти все методы технического анализа дают полезную информацию, которая используется не для чего иного, как для понимания и организации фактов поведения рынка, и эти методы будут способствовать лучшему пониманию рынков инвестором. Но инвестору трудно признать, что компетентность в техническом анализе не гарантирует грамотной торговли. Спекулянты, теряющие деньги, теряют их не только из-за плохого анализа, но и из-за собственной неспособности трансформировать этот анализ в надежную практику. Построить мост через пропасть, разделяющую анализ и действие, можно, лишь преодолев страх, алчность и необоснованные надежды. Это означает умение подавлять нетерпение и страсти, не отступать от надежного метода, когда приходят трудные времена. Это означает, что нужно быть дисциплинированным и верить тому, что видишь, следуя указаниям надежных методов, даже если они вступают в противоречия с тем, что говорят все прочие, или с тем, что только кажется правильным образом действий.

---

## **Анализ с помощью японских свечей**

Построение графиков японских свечей и анализ свечных моделей — новое удивительное направление технического анализа. Что такого есть в графиках японских свечей, чего нет в типичном для Запада графике, показывающем минимумы и максимумы? В том смысле, что изображаются все те же реальные данные, — ничего. Преимущество японских свечей в другом: они представляют данные таким образом, что появляется возможность увидеть взаимоотношения внутри данных. Свечи создают наглядную психологическую картину торговли. После ознакомления и небольшой практики свечи станут частью вашего аналитического арсенала. Возможно даже, что вы уже никогда не вернетесь к стандартным штриховым графикам.

Японские свечи предлагают картину краткосрочной торговли, изучая ее результаты, а не причины. Этот факт относит японские свечи к категории технического анализа. Нельзя игнорировать то, что на цены оказывают влияние психологически обусловленные эмоции инвестора: страх, алчность и надежда. Общая психологическая атмосфера, царящая на торговой площадке, не может быть измерена статистически; необходимо использовать какие-то формы технического анализа, чтобы оценить изменения, происходящие с психологией. Японские свечи фиксируют изменения в характере оценки стоимости инвесторами. Именно они затем отражаются в ценовых движениях. Свечи — не просто метод распознавания моделей: они показывают, как взаимодействуют продавцы и покупатели. Графики японских свечей позволяют проникнуть «внутри» финансовых рынков, что очень трудно сделать с помощью других графических методов. Они одинаково хорошо годятся и для акций, и для товарных рынков. Сопутствующие аналитические техники, такие как метод фильтрации свечей и графики CandlePower, дадут вам новые возможности анализа и выбора моментов для совершения сделок.

Эта книга послужит не только введением в графики японских свечей и их анализ, но и даст убедительные свидетельства полезности свечных моделей как аналитического инструмента. Все методы анализа и все предположения будут полностью и честно раскрыты. По прочтении книги вы либо начнете использовать свечи для анализа рынка и принятия решений о выборе моментов совершения сделок, либо будете достаточно уверенно себя чувствовать, чтобы продолжать собственное изучение анализа свечей.

## **Японские свечи и вы**

Когда вы привыкнете к графикам свечей, то обнаружите, что чувствуете себя неуютно, ограничиваясь стандартными штриховыми графиками. Вы почувствуете, что без свечей не видите картину во всей ее полноте — что-то упущено. Кроме того, поймете, что свечи предоставляют возможность быстрого и простого распознавания моделей, они обладают огромной визуальной привлекательностью. Взаимосвязи внутри данных прямо-таки выпрыгивают со страницы (или с экрана компьютера), что вряд ли можно сказать о штриховых графиках.

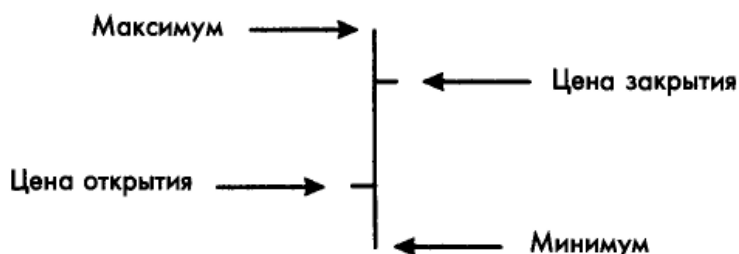
## **Сравнение графиков свечей со штриховыми графиками**

В данной книге использованы дневные графики. Следует понимать, что один штрих или свеча может представлять любой торговый период, не только лишь один день. Тем не менее дневной анализ используется наиболее часто, поэтому в качестве временного периода был выбран именно день. Кроме того, в книге будут использоваться термины *инвестор*, *трейдер* и *спекулянт* без каких-либо попыток их классификации.

## **Стандартные штриховые графики**

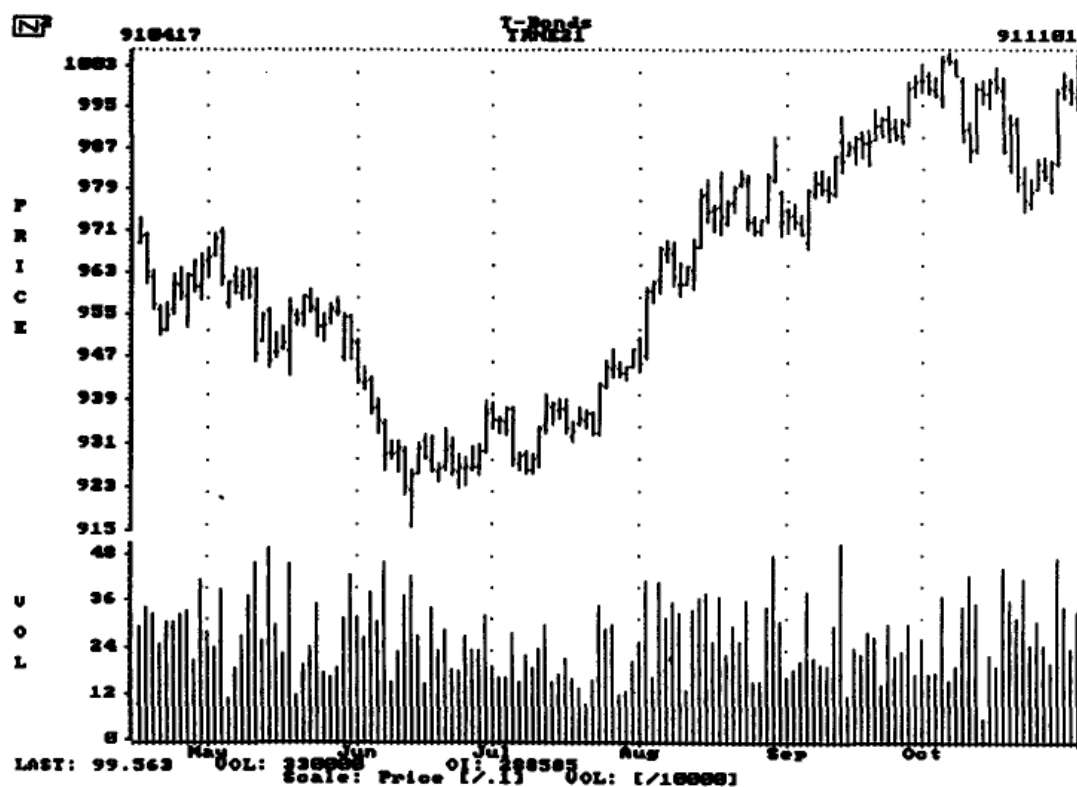
Для того чтобы построить стандартный штриховой график, необходимы следующие данные: цены открытия и закрытия, а также максимум и минимум за рассматриваемый торговый период. Штриховой график состоит из вертикальных линий, показывающих диапазон между минимальной и максимальной ценой данного дня. Максимальная цена — это самая высокая цена, которую в этот день давали за данную ценную бумагу. Соответственно минимальная цена — это самая низкая цена, которую давали в этот день.

РИСУНОК 1-1



В течение многих лет единственным дополнительным ценовым элементом, используемым при вычерчивании штриховых графиков, была цена закрытия. Она показывалась с помощью маленькой отметки справа от штриха, демонстрирующего диапазон от максимума до минимума. В последнее время при построении штриховых графиков стали показывать и цену открытия, ставя другую отметку слева от штриха. Это остается верным почти для всех графиков акций и поставщиков данных по акциям. В большинстве фьючерсных и товарных графиков всегда использовалась цена открытия.

РИСУНОК 1-2



Большинство штриховых графиков показывается вместе с гистограммой объема торговли, расположенной в нижней части графика. Кроме того, при составлении графиков может использоваться множество популярных индикаторов. Производители программного обеспечения для технического анализа предоставляют пользователям значительную гибкость в изображении штриховых графиков. Стандартный штриховой график может быть показан вместе с индикаторами, объемом торговли или открытыми позициями и большим ассортиментом других технических инструментов, предусмотренных данной программой.

### Графики японских свечей

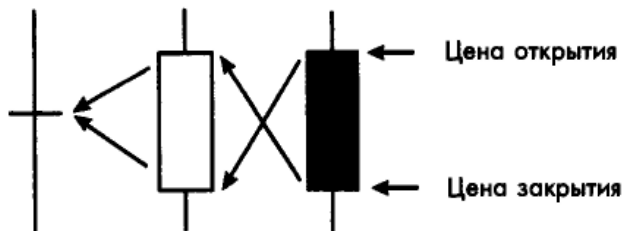
Если говорить о данных, то графики японских свечей не требуют для своего построения чего-то особенного. Все, что нужно для построения таких графиков, — цены открытия и закрытия,

максимум и минимум. У многих поставщиков данных по акциям нет цен открытия. Эту проблему можно решить, используя в качестве цены открытия цену закрытия предыдущей торговой сессии. Это, однако, порождает отчасти спорную ситуацию, которая будет подробно разобрана в главе 6.

### Тело свечи (джитгай)

Прямоугольник, изображающий разницу между ценами открытия и закрытия, называется *телом*, *свечи*. Высота тела говорит о диапазоне между ценой открытия и ценой закрытия данного дня. Если тело черное, значит, цена закрытия была ниже цены открытия. Когда цена закрытия выше, чем цена открытия, тело свечи белое.

РИСУНОК 1-3

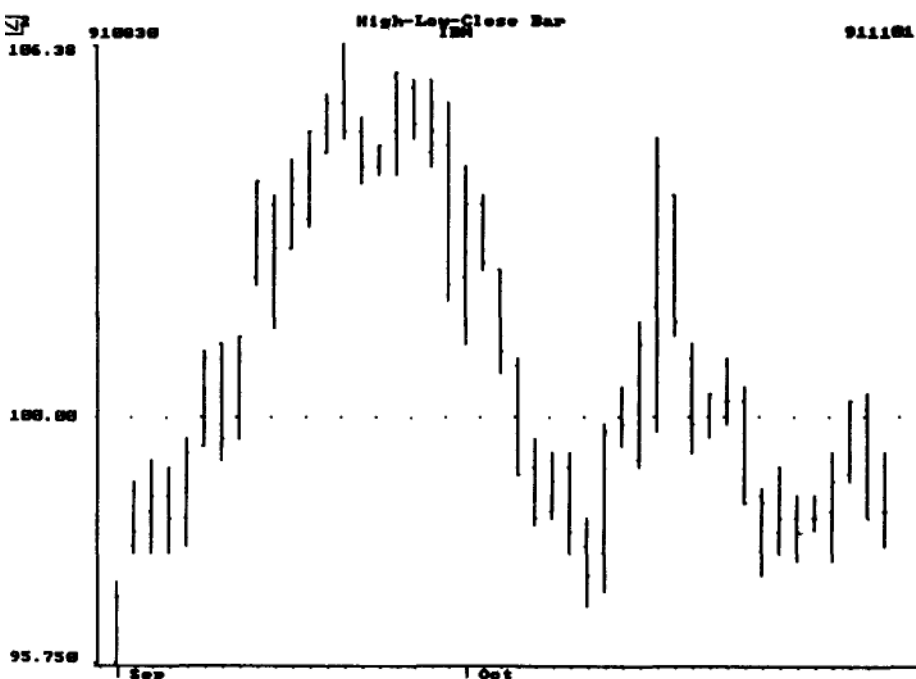


### Тени (кейдж)

Над свечой и/или под ней могут быть изображены тонкие маленькие линии. Эти линии называются *теньями*, они показывают максимальную и минимальную цены, достигнутые в течение данного торгового дня. Верхняя тень (*авакейдж*) показывает максимальную цену, а нижняя тень (*си-такейдж*) — минимальную. Некоторые японские трейдеры говорят о верхней тени как о волосах, а о нижней — как о хвосте. Как раз эти похожие на фитиль тени привели к названию «свечи».

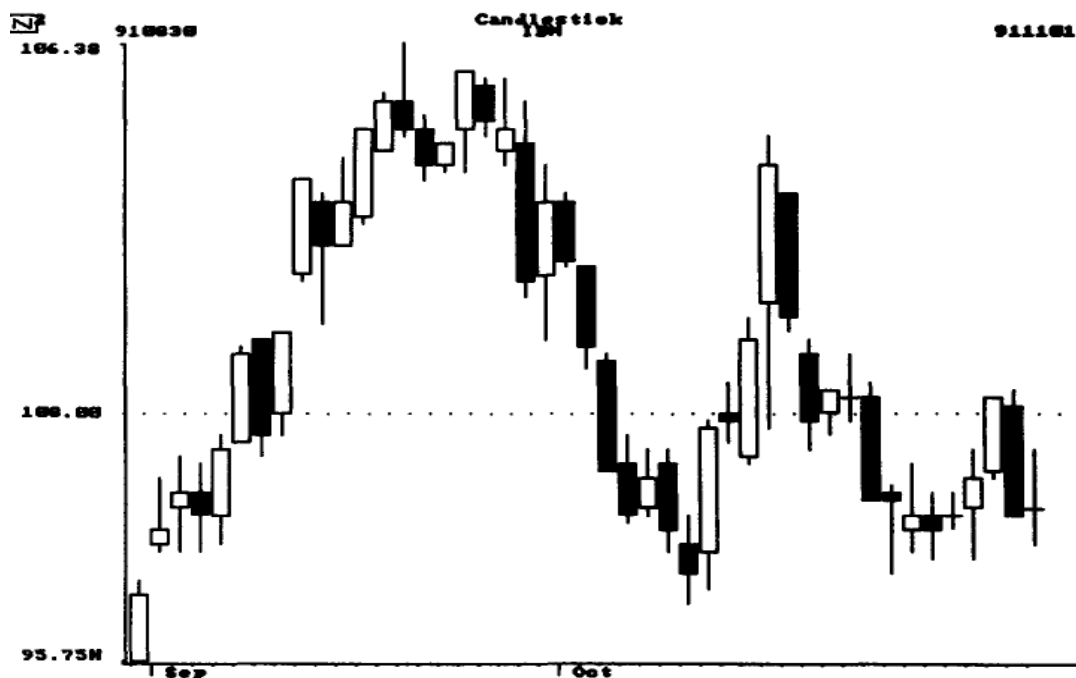
Когда японцы рисуют графики свечей от руки, они используют вместо белого цвета, показывающего повышательный день (когда цена закрытия выше цены открытия), красный. При работе на компьютере это неосуществимо, поскольку красный цвет при распечатке на большинстве принтеров окажется черным, и вы не сможете отличить повышательный день от понижительного.

РИСУНОК 1-4



Если сравнить рисунки 1-4 и 1-5, то можно увидеть, что график японских свечей не показывает ничего, что отличалось бы от изображенного на стандартном штриховом графике. Тем не менее когда вы привыкнете к графикам японских свечей, то отдадите предпочтение именно им, поскольку они намного понятнее и позволяют быстро и просто интерпретировать данные. Именно этой манере интерпретации данных посвящена данная книга. Популярность графиков японских свечей и их анализа будет расти и дальше. Если они выйдут из употребления, в этом будет виноват только злой рок или неверное использование данной техники.

**РИСУНОК 1-5**





# ЛИНИИ СВЕЧЕЙ

## 2

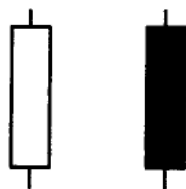
На традиционных графиках торговый день на любом рынке, будь он фондовым или фьючерсным, отображается одной линией или ценовым штрихом; построение графиков свечей по сути ничем не отличается, разве что информацию намного проще интерпретировать.

Отдельная свеча дает массу информации. Она помогает понять психологию, стоящую за многими свечными моделями, описанными в последующих главах. Существует несколько моделей, состоящих из одной-единственной свечи и квалифицируемых как модели разворота. Они будут подробно описаны в главе, посвященной разворотным моделям.

Каждый тип свечи имеет свое уникальное имя и представляет возможный торговый сценарий этого дня. У некоторых свечей японские названия, у других — английские.\* Когда это возможно, вместе с английским названием дается японское. Японские названия будут написаны таким образом, чтобы их мог правильно прочитать человек, не владеющий этим языком. Об отдельно взятой свече часто говорят как о свече Инь или свече *Янь*. Термины Инь и *Янь* китайские, но используются и западными аналитиками для обозначения полярных терминов, таких как *внутреннее/внешнее*, *включено/выключено*, *вверх/вниз* и так далее (японский эквивалент этих терминов — *ин* и *йо*). *Инь* соответствует бычьему характеру, а *Янь* — медвежьему. В анализе японских свечей существует девять основных свечей Инь и *Янь*. Этот набор для более ясного объяснения различных возможностей можно расширить до пятнадцати типов. В последующих главах будет показано, как большинство свечных моделей может быть сведено к одной-единственной свече, дающей бычье или медвежье толкование событий. Понимание отдельно взятых свечей — начало начал анализа этого вида графиков. Прежде всего следовало бы дать кое-какие определения. Помните, что все термины и описания имеют отношение к одному торговому дню. Те дни, когда цвет свечи — белый или черный — не важен, будут изображаться серым цветом.

### *Длинные дни*

#### РИСУНОК 2-1



Ссылка на длинные дни широко распространена в литературе, посвященной японским свечам. Термин «длинный» имеет отношение к длине тела свечи, разнице между ценой открытия и ценой закрытия, что и показано на рис. 2-1. Длинный день говорит о значительном движении цены в этот день. Иными словами, разница между ценой открытия и ценой закрытия в этот день была существенной.

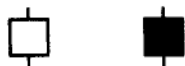
Как сильно должна отличаться цена открытия от цены закрытия, чтобы можно было говорить о длинном дне? Как и в большинстве форм анализа, это зависит от контекста. Длинный в сравнении с чем? Лучше всего рассматривать самые последние движения цены, чтобы определить, что является длинным, а что нет. Анализ японских свечей основан исключительно на краткосрочных движениях цен, следовательно, такое же основание нужно было бы использовать и для определения длинных дней. Пять или десять предыдущих дней — вполне адекватный промежуток, чтобы прийти к верному выводу. Кроме этого, можно использовать некоторые

---

другие методы определения длинного дня. Они будут подробно разобраны в главе, посвященной идентификации и распознаванию моделей.

### Короткие дни

#### РИСУНОК 2-2



Определение коротких дней может быть основано на той же самой методологии, что и в случае длинных дней, со схожими результатами. Кроме того, есть множество дней, которые не попадают ни в одну из этих двух категорий.

### Марибозу

Слово «марибозу» в японском языке означает «коротко остриженный». Другое толкование — «лысая или бритая голова». В любом случае значение этого слова отражает тот факт, что от тела свечи не отходит тени вверх и/или вниз.

#### *Черная марибозу*

#### РИСУНОК 2-3



*Черная марибозу* — длинное черное тело без тени с одной из сторон (рис. 2-3). Она рассматривается как крайне слабая свеча. Часто становится частью медвежьей модели продолжения или бычьей модели разворота, особенно если появляется во время понижательного тренда. Длинная черная свеча указывает на серьезную победу медведей; вот почему она зачастую оказывается первым днем многих разворотных моделей бычьего характера. Ее часто называют «большим инь» или «марибозу-инь».

#### *Белая марибозу*

#### РИСУНОК 2-4

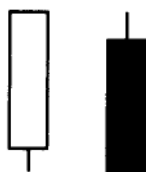


*Белая марибозу* — это длинное белое тело без тени с одной из сторон. Если рассматривать ее саму по себе, это крайне сильная свеча. В противоположность *черной марибозу ока* часто оказывается частью бычьей модели продолжения или медвежьей разворотной модели. Ее иногда называют «большим янь» или «марибозу-янь».

---

## Марибозу закрытия

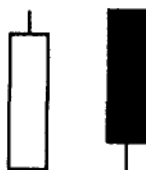
### РИСУНОК 2-5



У *марибозу закрытия* нет тени с того конца свечи, что показывает цену закрытия, независимо от того, черное или белое у нее тело (рис. 2-5). Если тело белое, у свечи нет верхней тени, поскольку верх свечи показывает цену закрытия. Похожим образом, если тело черное, у нее нет нижней тени, поскольку цена закрытия определяет нижний конец свечи. *Черная марибозу закрытия* (ясунебике) рассматривается как слабая свеча, а *белая марибозу закрытия* — как сильная.

## Марибозу открытия

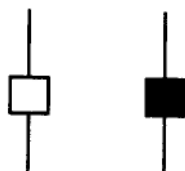
### РИСУНОК 2-6



У *марибозу открытия* нет тени с того конца свечи, что показывает цену открытия (рис. 2-6). Если тело свечи белое, у нее не будет нижней тени, что делает ее сильной бычьей свечой. *Черная марибозу открытия* (йоритсуки такане), у которой отсутствует верхняя тень, является слабой и, следовательно, медвежьей свечой. *Марибозу открытия* не настолько сильна, как *марибозу закрытия*.

## Волчки (кома)

### РИСУНОК 2-7



Волчки — свечи с маленьким телом и нижней и верхней тенью длины, большей, чем длина тела. Волчок указывает на нерешительность быков и медведей. Цвет тела волчка, так же как и длина его теней, не важен. Малое относительно теней тело — вот что делает волчок волчком.

## Доджи

Если тело свечи настолько мало, что цены открытия и закрытия совпадают, она называется *доджи* (совпадающая). Доджи возникает тогда, когда цены открытия и закрытия совпадают, тем не менее тут могут быть различные интерпретации, которые следовало бы рассмотреть. Требование, чтобы цены открытия и закрытия были в точности равными, накладывало бы на данные слишком жесткое ограничение, и доджи появлялись бы крайне редко. Если разница между ценами открытия и закрытия не превышает нескольких *тиков* (минимального изменения цены), этого более чем достаточно.

Определение дня появления доджи сходно с методом, который используется для определения длинного дня; тут нет жестких правил, только некоторые указания. Как и длинный день, доджи

---

зависит от предыдущего поведения цен. Если большинство предшествующих дней были доджи, тогда день доджи не важен. Если появляется один-единственный доджи, это сигнал о том, что рынок в нерешительности, а это нельзя игнорировать. Почти во всех случаях сам по себе доджи не настолько важен, чтобы по нему прогнозировать изменение ценовой тенденции, это лишь предупреждение об угрозе такого изменения. Доджи, предвосхищенный длинным белым днем в повышательном тренде, был бы важен. На эту частную комбинацию дней ссылаются как на медвежью *доджи-звезду* (глава 3). Повышательный тренд, который внезапно прекращается, вызывал бы беспокойство. Доджи означает нерешительность и неуверенность.

Согласно Нисону, доджи точнее указывают на изменение тренда, когда появляются на вершинах, а не во впадинах. Это связано с тем фактом, что для продолжения повышательного тренда на рынке должны появиться новые покупатели. Понижательный тренд может продолжаться беспрерывно. Интересно заметить, что слово «доджи» переводится как «путаница».

### *Длинноногая доджи (джуджи)*

#### **РИСУНОК 2-8**



У длинноногой *доджи* длинные верхняя и нижняя тени, делящие пополам дневной торговый диапазон, что ясно отражает нерешительность продавцов и покупателей (рис. 2-8). На протяжении дня рынок двигался вверх, а затем резко упал, или наоборот. Затем он закрылся на цене открытия или очень близко от нее. Если цены открытия и закрытия оказываются в середине дневного диапазона, о свече говорят как о длинноногой *доджи*. Слово «джуджи» переводится как «крест».

### *Доджи-надгробие (тохба)*

#### **РИСУНОК 2-9**



Показанное на рис. 2-9 доджи-надгробие (хакайси) — еще одна форма *доджи*. Она образуется на дневном минимуме или вблизи него.

Такое название, как и многие другие японские термины, связано с различными аналогиями. В данном случае это надгробие на могиле тех, кто пал в битве.

Чем длиннее верхняя тень, тем более медвежий характер носит *доджи-надгробие*. После открытия цены идут вверх лишь для того, чтобы сессия закрылась там, где и открылась, и эта точка оказывается к тому же дневным минимумом. Это невозможно интерпретировать иначе, как неспособность к росту. Доджи-надгробие на вершине рынка является особым вариантом падающей *звезды* (глава 3). Единственная разница между ними заключается в том, что у падающей *звезды* маленькое тело, а доджи-надгробие, будучи доджи, тела не имеет.

### *Доджи-дракон (томбо)*

#### **РИСУНОК 2-10**



*Доджи-дракон* возникает, когда рынок открывается и закрывается на дневном максимуме (рис. 2-10). Как и другие, эта доджи появляется обычно в моменты разворота рынка. Из последующих глав вы увидите, что эта доджи является особым случаем висельника и молота. Свечу *томбо* с очень длинной нижней тенью-хвостом (ситаиге) называют также и свечой *такури*. Свеча *такури* в конце понижательного тренда носит чрезвычайно бычий характер.

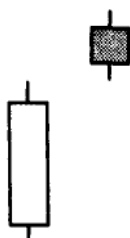
### Доджи четырех цен

#### РИСУНОК 2-11

Эта редкая доджи появляется, когда все четыре ценовых компонента совпадают. То есть цена открытия, цена закрытия, максимум и минимум равны (рис. 2-11). Эта свеча появляется, когда акции в высшей степени неликвидны или у источника данных нет других цен, кроме цены закрытия. Фьючерсным трейдерам не следует путать это с ограниченным движением. Такая доджи встречается настолько редко, что при ее появлении следовало бы посмотреть, нет ли в данных ошибок. Тем не менее эта свеча указывает на полную неуверенность трейдеров в том, в каком направлении движется рынок.

### Звезды (госи)

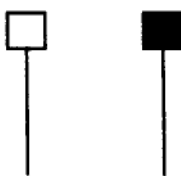
#### РИСУНОК 2-12



*Звезда* появляется всякий раз, когда маленькое тело отрывается вверх или вниз от предыдущего длинного тела (рис. 2-12). В идеале разрыв должен захватывать и тени, но это не является совершенно необходимым. *Звезда* указывает на некоторую неуверенность, царящую на торговой площадке. *Звезды* входят во многие свечные модели, в первую очередь в разворотные.

### Бумажный зонтик (Каракаса)

#### РИСУНОК 2-13



Многие из этих свечей также включены в следующую главу, посвященную моделям. Как и уже упомянутые виды свечей, зонтики обладают сильным разворотным характером. Этот вид свечей весьма сходен с *доджи-драконом*. Два вида зоняшков называются *молотом* и *висельником* в зависимости от их положения в рыночном тренде.

### Заключение

Отдельные свечи чрезвычайно важны для анализа японских свечей. Когда аналитик использует их по отдельности, а затем в сочетании с другими свечами, перед ним раскрывается психологическая подоплека рынка. Большая часть анализа свечей и их моделей является составляющей *метода Сакаматы* (глава 5). Однако материал книги выходит за пределы метода Сакаматы, поскольку рассматриваются дополнительные модели и методы. Некоторые из этих моделей новы, другие являются вариациями уже известных моделей.

# РАЗВОРОТНЫЕ МОДЕЛИ СВЕЧЕЙ

## 3

Свечная модель может быть как отдельной свечой, так и состоять из нескольких свечей, редко более пяти-шести. В японской литературе иногда ссылаются на модели, состоящие даже из большего числа свечей. Здесь такие модели включены в главу, посвященную свечным формациям. Тот порядок, в котором обсуждаются модели, не отражает их важности или прогностических возможностей. Они перечислены в порядке частоты появления и сопровождаются родственными им моделями.

Для большинства моделей свечей существует обратная родственная модель. То есть для каждой бычьей модели имеется схожая с ней медвежья модель. Важнейшее отличие заключается в их положении относительно краткосрочного тренда рынка. Названия медвежьих и бычьих моделей могут различаться, а могут быть одними и теми же. Данная глава может служить справочником: о каждой модели будет рассказано с использованием одного и того же основного формата. Некоторые модели сохраняют свои японские названия, в то время как для других будет дана их англоязычная интерпретация. Некоторые модели идентичны по своему строению, но носят разные названия. Со всеми различиями мы познакомимся во время обсуждения.

Рисунок, изображающий модель, будет предваряться тремя маленькими вертикальными линиями. Эти линии просто показывают направление предыдущего тренда рынка, и их не следует использовать в качестве непосредственного указания на взаимные отношения моделей.

### **Модели разворота и продолжения**

О разворотных моделях и моделях продолжения будет рассказано в разных главах. Данная глава посвящена разворотным моделям, а глава 4 — моделям продолжения. Такое разделение сделано для удобства и простоты поиска в будущем. Сначала будет рассматриваться бычья модель или ситуация, затем медвежья. Мы будем придерживаться именно такого взгляда за исключением тех случаев, когда модели и ситуации определенного характера преобладают; в этом случае они будут рассматриваться в первую очередь.

### **Формат глав**

БОЛЬШИНСТВО свечных моделей будет объясняться с использованием стандартного формата, что гарантирует простоту получения справки о них в будущем. Отдельные модели свечей раскрываются менее подробно — по причине их простоты или сходства с другими моделями. Некоторые модели оказываются всего лишь измененными вариантами других моделей, и на это будет указано. Поскольку многие модели имеют своих двойников с противоположной стороны рынка, некоторые сценарии будут содержать лишь один пример. Кроме того, возможны некоторые повторения. Они допускаются, чтобы сделать изложение более подробным, а также для большего удобства пользования книгой в качестве справочника. Стандартный формат выглядит следующим образом:

— *Название модели*

— *Японское название и интерпретация*

Транслитерированное японское название и его значение, если таковое известно

Комментарий по поводу того, требуется ли подтверждение модели

— *Комментарий*

Описание модели (моделей)

Западный (традиционный) аналог

- 
- *График классической модели*  
 Подробный рисунок классической модели (дни, которые могут быть как черными, так и белыми, изображаются серым цветом)
  - *Правила распознавания*  
 Упрощенные правила для быстрого обнаружения модели  
 Критерии распознавания модели
  - *Сценарии и психология, стоящая за моделью*  
 Возможные торговые сценарии, которые могут осуществиться после появления модели  
 Общее обсуждение психологии каждого дня
  - *Гибкость модели*  
 Ситуации, которые меняют эффективность модели  
 Позволяющие отклонения от классической модели  
 Информация для людей, ориентированных на цифры и использующих компьютеры
  - *Преобразование модели*  
 Сведение модели к единственной свече
  - *Родственные модели*  
 Модели, имеющие сходное строение  
 Модели, являющиеся частью данной модели
  - *Примеры*

## Указатель разворотных моделей

<u>Модель</u>	<u>Номер страницы</u>
Молот и висельник (Hammer and Hanging Man) .....	40
Поглощение (Engulfing) .....	45
Харами (Harami).....	49
Крест харами (Harami Cross) .....	53
Перевернутый молот и падающая звезда (Inverted Hammer and Shooting Star) .....	57
Пронизывающая свеча (Piercing Line) .....	62
Темные облака (Dark Cloud Cover) .....	65
Доджи-звезда (DojiStar) .....	68
Утренняя звезда и вечерняя звезда (Morning Star and Evening Star).....	72
Утренняя доджи-звезда и вечерняя доджи-звезда (Morning Doji Star and Evening Doji Star).....	77

---

Брошенный младенец (Abandoned Baby) .....	81
Три звезды (TriStar) .....	85
Две взлетевшие вороны (Upside Gap Two Crows) .....	89
Встречающиеся свечи (Meeting Lines) .....	92
Захват за пояс (Belt Hold) .....	97
Особая впадина «три реки» (Unique Three River Bottom) .....	101
Три белых солдата (Three White Soldiers) .....	104
Отбитая атака (Advance Block).....	107
Размышление (Deliberation).....	ПО
Три черные вороны (Three Black Crows).....	113
Три одинаковые вороны (Identical Three Crows) .....	116
Пробой (Breakaway).....	119
Две вороны (Two Crows).....	124
Три дня изнутри вверх и три дня изнутри вниз (Three Inside Up and Three Inside Down) .....	127
Три внешних дня вверх и три внешних дня вниз (Three Outside Up and Three Outside Down).....	131
Три звезды на юге (Three Star in the South) .....	135
Прячущаяся ласточка (Concealing Baby Swallow) .....	138
Прилипший сэндвич (Stick Sandwich) .....	141
Высокий прыжок (Kicking).....	144
Почтовый голубь (Homing Pigeon) .....	147
Ступенчатое дно (Ladder Bottom).....	150
Совпадение по нижнему уровню (Matching Low) .....	153



## Молот и висельник (Hammer and Hanging Man) (каназучи/тонкачи и кубицури)

Необходимо подтверждение.

РИСУНОК 3-1



РИСУНОК 3-2



### Комментарий

*Молот* и висельник состоят из одной-единственной свечи (рис. 3-1 и 3-2). У них длинные нижние тени и маленькие тела, находящиеся на вершине дневного торгового диапазона или очень близко от нее. В первый раз они были представлены в главе 2 как *бумажные зонтики*. Кроме этого, они являются особыми случаями свечей *томбо/такури*.

*Молот* возникает на понижательном тренде и назван так потому, что выковывает дно. Японское слово «тонкачи», обозначающее эту модель, также переводится как «земля» или «почва».

Висельник появляется на вершине тренда или во время повышательного тренда. Такое название возникло из-за того, что эта свеча чем-то напоминает висящего человека.

Другая схожая с молотом свеча — свеча *такури*. Это японское слово означает лазание по канату или подъем на веревке. Движение прерывисто и может быть соотнесено с вытаскиванием якоря вручную: когда вы меняете руки, движение вверх на мгновение прерывается. У свечи *такури* нижняя тень по крайней мере в три раза длиннее тела, в то время как минимальная длина нижней тени молота лишь в два раза превышает длину тела свечи.

### Правила распознавания

1. Маленькое тело находится у верхнего края торгового диапазона.
2. Цвет тела свечи не имеет значения.
3. Длинная нижняя тень должна быть намного длиннее тела, обычно раза в два-три.
4. У свечи не должно быть верхней тени, а если она есть, то очень маленькая.

### Сценарии и психология, стоящая за моделью *Молот*

Рынок находится в понижательном тренде, следовательно, на нем присутствуют медвежьи настроения. Торговая сессия открывается, и цена резко падает. Однако затем цена растет, и рынок возвращается к максимуму торгового дня или почти к нему. Нежелание рынка далее снижать цену охлаждает медвежьи настроения, и большинство трейдеров почувствует себя неловко при наличии каких-либо медвежьих позиций. Если цена закрытия превышает цену открытия, что обозначается белым цветом тела свечи, ситуация для быков становится еще более благоприятной. Подтверждением будет более высокая цена открытия при еще более высокой цене закрытия на следующий торговый день.

### *Висельник*

В случае висельника рынок рассматривается как бычий из-за наличия повышательного тренда. Для того чтобы появился висельник, цена должна опуститься намного ниже уровня открытия торговой сессии, а затем подняться, чтобы закрыться вблизи максимума. Это приводит к образованию длинной нижней тени, которая показывает, насколько низко могут упасть цены. Если на следующий день рынок открывается ниже, многие участники с длинными позициями могут захотеть рассмотреть возможность продажи. Стив Нисон утверждает, что подтверждением медвежьего характера висельника может быть черная свеча и более низкая цена открытия на следующий день.

### Гибкость модели

Черты, которые усиливают значение сигнала, подаваемого *молотом* или висельником, — чрезвычайно длинная нижняя тень, отсутствие верхней тени, очень маленькое тело (почти доджи), сильный предыдущий тренд и цвет тела, отражающий противоположное предшествующему тренду настроение. В случае сочетания всех этих черт *молот* превращается в свечу *такури*. Вообще говоря, свечи *такури* носят более выраженный бычий характер, чем молоты.

Цвет тела висельника и молота может усилить значимость прогностических возможностей модели. Висельник с черным телом обладает более выраженным медвежьим характером, чем та же модель с белым телом. Сходным образом молот с белым телом носил бы более выраженный бычий характер, чем тот, у которого тело черное.

Как и в случае большинства моделей, состоящих из одной-единственной свечи, при появлении молота или висельника важно подождать подтверждения. Таким подтверждением может служить просто характер открытия на следующий день. Тем не менее часто бывает лучше подождать подтверждающего закрытия на следующий день. Таким образом, если появился молот, цена закрытия на следующий день должна быть еще выше, тогда можно занимать бычью позицию.

Нижней тени следовало бы быть как минимум в два раза длиннее тела, но не более чем в три раза. Верхняя тень не должна превышать 5—10 процентов диапазона от максимума до минимума. Низ тела должен находиться ниже тренда для *молота* и выше тренда для висельника.

### Преобразование модели

*Молот* и висельник, будучи моделями, состоящими из одной свечи, не могут быть далее разбиты (см. *бумажные зонтики* в главе 2).

### Родственные модели

*Молот* и висельник являются особыми случаями *доджи-дракона* — модели, обсуждавшейся в предыдущих главах. В большинстве случаев *доджи-дракон* носил бы более выраженный медвежий характер, чем висельник.

Модель поглощения состоит из двух тел противоположного цвета (см. рис. 3-4 и 3-5). Тело второго дня полностью поглощает тело предыдущего дня. В этой модели тени не принимаются во внимание. Вторая свеча также называется обнимающей (*даки*) свечой, поскольку она полностью охватывает свечу предыдущего дня. Когда модель появляется вблизи вершины рынка или на повышательном тренде, это указывает на смещение настроений в сторону продажи. Инь-цуцулш после повышательного тренда называется последней доки и является частью техники Сакаты, обсуждаемой в одной из последующих глав.

Первый день модели поглощения имеет маленькое тело, а второй обладает длинным телом. Поскольку ценовое движение второго дня намного сильнее, чем первого, оно отражает возможное окончание предыдущего тренда. Если медвежья модель поглощения появляется после продолжительного движения, это повышает шансы на то, что большинство быков уже находится в длинных позициях. В этом случае, возможно, нет новых денег (быков), чтобы повышательный тренд на рынке сохранялся.

Модель поглощения сходна с традиционным внешним *днем*. Точно так же, как и в модели поглощения, внешний день даст цены, выходящие за пределы предыдущего диапазона, при цене закрытия в направлении нового тренда.

Примеры

РИСУНОК 3-3А

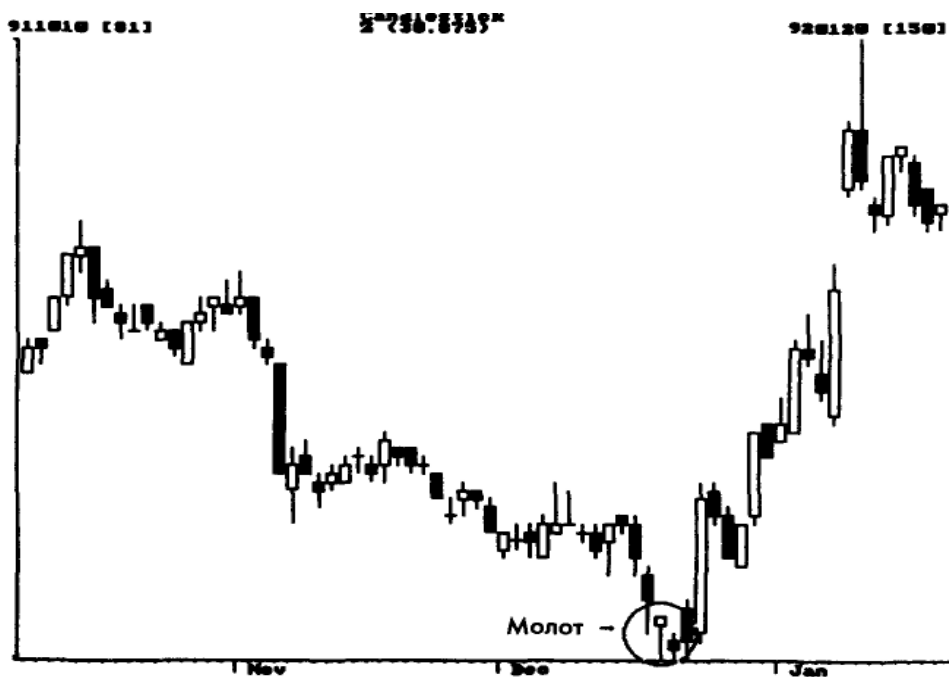
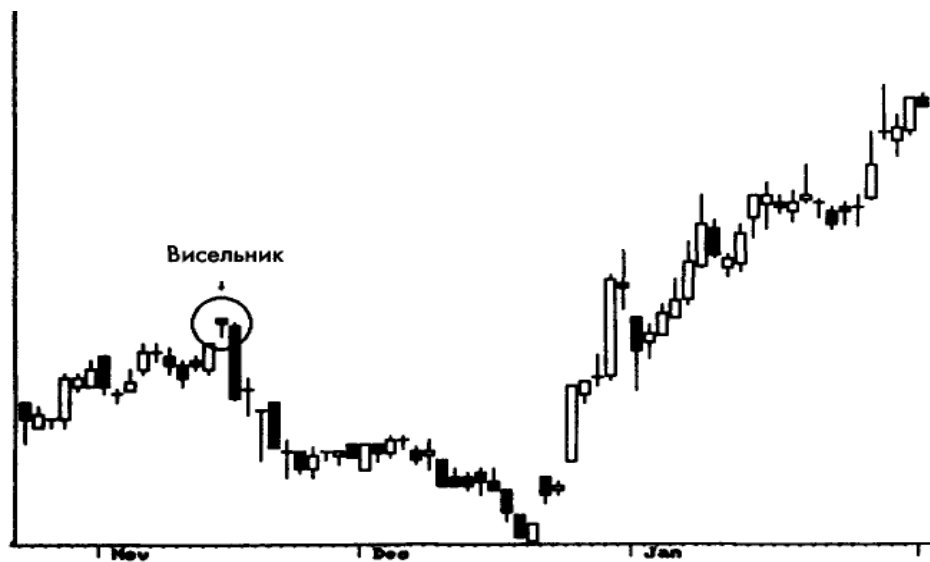


РИСУНОК 3-3В



## Поглощение (Engulfing) (*цуцуми*)

Необходимо подтверждение.

РИСУНОК 3-4



РИСУНОК 3-5



### Правила распознавания

1. Наличие выраженного тренда.
2. Тело второго дня должно полностью поглощать тело предыдущего дня. Это, однако, не означает, что верх или низ двух свечей не могут совпадать; это означает лишь, что не могут быть равными одновременно оба верха и оба низа двух тел.
3. Цвет первого дня отражает тренд: черный цвет в случае понижательного тренда и белый — в случае повышательного.
4. Второе тело модели *поглощения* должно иметь цвет, противоположного цвету первого тела.

### Сценарии и психология, стоящая за моделью *Модель медвежьего поглощения*

Повышательный тренд продолжается в день с маленьким белым телом и небольшим объемом торговли. На следующий день цена открытия достигает нового максимума, а затем цены быстро падают. Падение цен сопровождается высоким объемом торговли, и, наконец, цена закрытия оказывается ниже цены открытия предыдущего дня. С эмоциональной точки зрения, повышательный тренд нарушен. Если на следующий (третий) день цены остаются на низком уровне, возникает важный разворот повышательного тренда.

Противоположный сценарий существует для бычьей модели *поглощения*.

### Гибкость модели

Если второй день модели поглощает не только тело, но и тени первого дня, значимость модели будет значительно больше.

Цвет первого дня должен отражать рыночный тренд. При повышательном тренде первый день должен быть белым, а при понижательном соответственно черным. Цвет второго, или поглощающего, дня должен быть противоположен цвету первого дня.

*Поглощение* означает, что никакая часть тела первого дня не равна или не выходит за пределы тела второго дня. Если тело первого дня как минимум на 30 процентов меньше тела второго дня, перед вами значительно более сильная модель.

### Преобразование модели

РИСУНОК 3-6

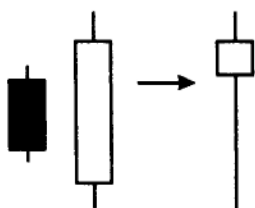
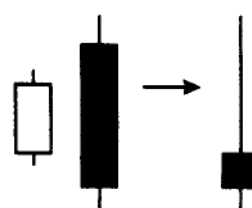


РИСУНОК 3-7



Модель бычьего *поглощения* сводится к *бумажному зонтику* или *молоту*, который отражает разворотную точку рынка (рис. 3-6). Модель медвежьего *поглощения* сводится к модели, сходной с *падающей звездой* или, возможно, *доджи-надгробием*, если тело очень мало (рис. 3-7). И бычья, и медвежья модели *поглощения* сводятся к одной-единственной свече, которая полностью поддерживает их интерпретацию.

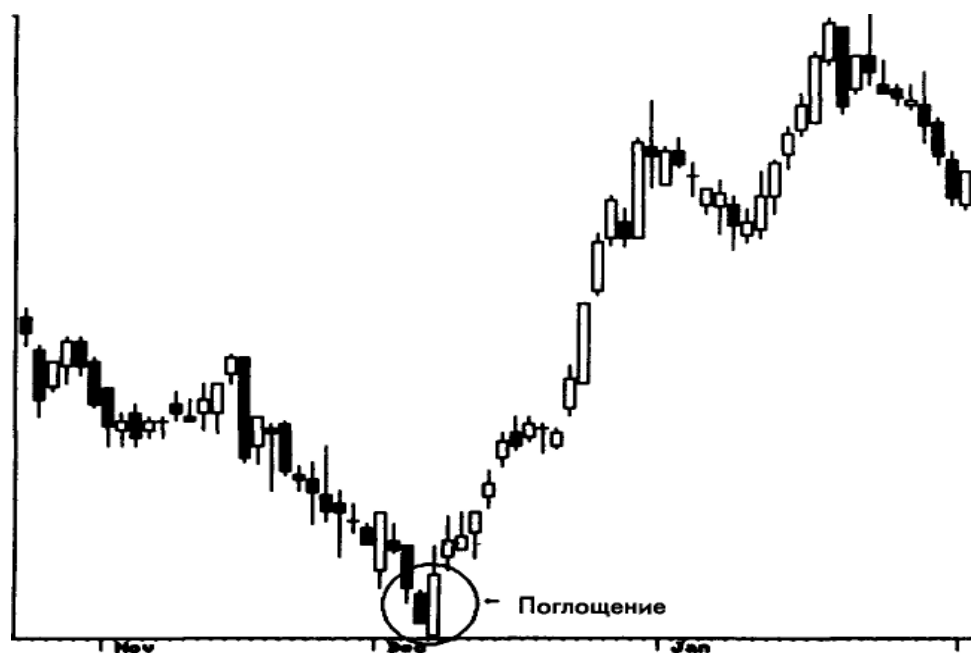
### Родственные модели

Модель *поглощения*, кроме того, является двумя первыми днями модели *три внешних дня*. Бычья модель *поглощения* может превратиться в модель *три внешних дня вверх*, если цена закрытия третьего дня оказывается выше. Сходным образом медвежья модель *поглощения* может превратиться в модель *три внешних дня вниз*, если цена закрытия третьего дня оказывается ниже.

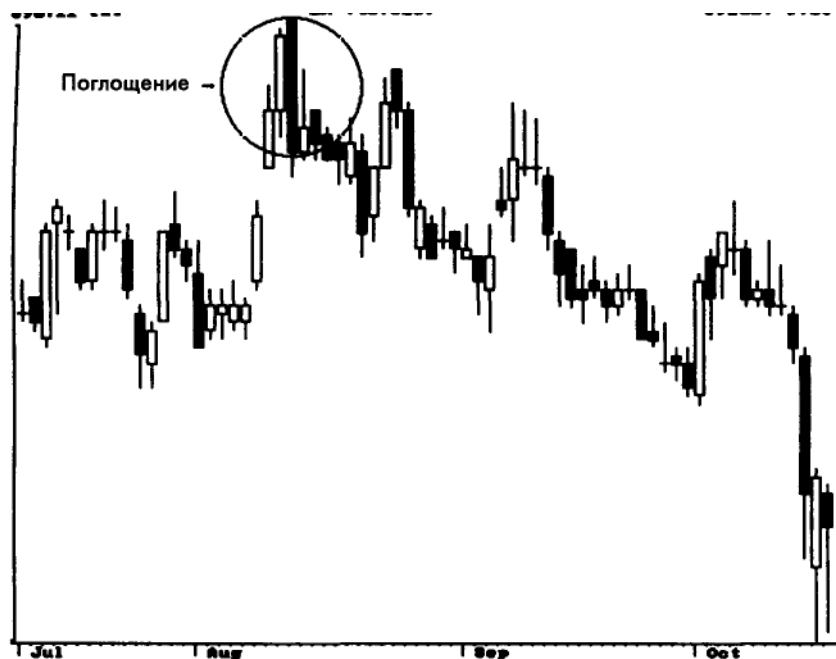
Кроме того, модель *поглощения* является последующей (или более продвинутой) стадией *пронизывающей свечи* и *темных облаков*. Из-за этого модель *поглощения* рассматривается как более важная.

### Примеры

РИСУНОК 3-8А



## РИСУНОК 3-8В



## Харами (Harami)

(харами)

Необходимо подтверждение.

### РИСУНОК 3-9



### РИСУНОК 3-10



### Комментарий

Модель харами определяется организацией дней, противоположной модели поглощения (рис. 3-9 и 3-10). «Харами» — японское слово, обозначающее беременность или тело, находящееся в утробе. Вы обнаружите, что в большинстве случаев тела в харами имеют противоположные цвета, в точности как и в модели *поглощения*.

Вероятно, вы обратите внимание на то, что *харами* весьма сходна с традиционным внутренним днем. Разница, конечно, в том, что традиционный *внутренний день* использует максимумы и минимумы, в то время как *харами* имеет отношение только к телам свечей (ценам открытия и закрытия). Такая необходимость использовать цены открытия и закрытия вместо максимумов и минимумов — обычная практика в анализе японских свечей и в японской философии. *Харами* требует, чтобы тело второго дня было полностью поглощено телом первого дня.

### Правила распознавания

1. Длинному дню предшествует достаточно сильный тренд.
2. Цвет первого длинного дня не так важен, но лучше, если он отражает рыночный тренд.
3. За длинным днем следует короткий, и его тело полностью находится внутри тела первого дня.

Как и в случае модели поглощения, верхили низ двух тел может совпадать, но не низ и верх одновременно.

4. Цветам короткого и длинного дней следовало бы быть противоположными.

### Сценарии и психология, стоящая за моделью *Бычья харам*

Какое-то время продолжается понижительный тренд. Появляется длинный черный день со средним объемом торговли, он помогает утвердиться медвежьим настроениям. На следующий день торговая сессия открывается выше, и это шокирует многих самодовольных медведей, многие короткие позиции быстро закрываются, что приводит к дальнейшему росту цен. Рост цен смягчается обычно теми, кто рассматривает все происходящее как возможность занять в тренде короткую позицию, упущенную ранее. Объем торговли в этот день превышает тот, что был накануне, а это предполагает массовое закрытие коротких позиций. Подтверждение разворота на третий день предоставило бы необходимое доказательство того, что тренд развернулся.

### *Медвежья харам*

На рынке повышательный тренд, и он подтверждается длинным белым днем с высоким объемом торговли. На следующий день цена открытия оказывается ниже, и весь день цены остаются в узком диапазоне, закрываясь еще ниже, но все еще внутри тела предшествующего дня. Ввиду такого неожиданного ухудшения тренда трейдерам следовало бы обеспокоиться по поводу силы этого рынка, особенно если объем торговли невелик. Несомненно, что тренд близок к тому, чтобы развернуться. Подтверждением было бы закрытие на более низком уровне по итогам следующей сессии.

### Гибкость модели

Длинный день должен отражать тренд; в повышательном тренде длинный день должен быть белым, а понижительный тренд должен дать черный длинный день. То, насколько велико поглощение второго тела первым, существенно. Длинный день должен превышать короткий по меньшей мере на 30 процентов. Помните, что определение «длинный день» основывается на данных предшествующих сессий.

### Родственные модели

Модель *харам* является двумя первыми днями моделей три дня *изнутри вверх* и три дня *изнутри вниз*. *Бычья харам* может быть частью модели три дня *изнутри вверх*, а *медвежья харам* — частью модели три дня *изнутри вниз*.

### Преобразование модели

РИСУНОК 3-11

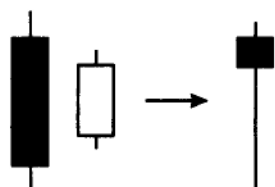
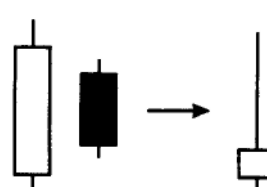


РИСУНОК 3-12



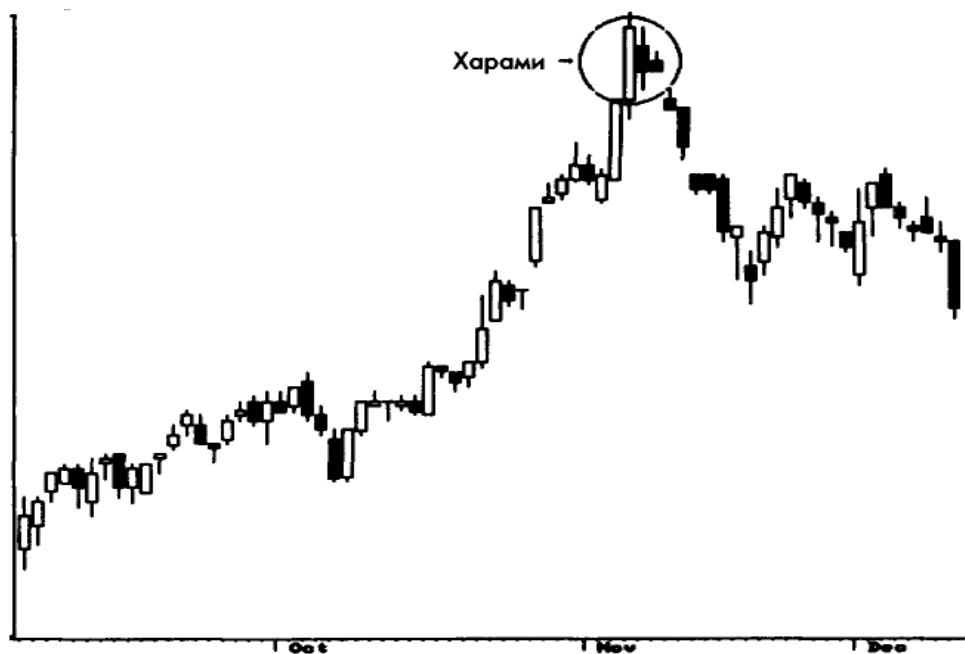
*Бычья харам* сводится к *бумажному зонтику* или *молоту*, который указывает на разворотную точку рынка (рис. 3-11). *Медвежья харам* сводится к *падающей звезде*, которая тоже является медвежьей свечой (см. рис. 3-12). И *медвежья*, и *бычья харам* могут быть сведены к одной свече.

Примеры

РИСУНОК 3-13А



РИСУНОК 3-13В





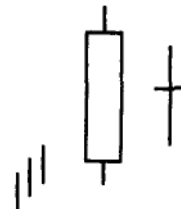
## Крест харами (Harami Cross) (*харами йосе сен*)

Подтверждение необязательно, но желательно.

РИСУНОК 3-14



РИСУНОК 3-15



### Комментарий

Модель *харами* состоит из большого тела, за которым следует меньшее. Именно относительные размеры этих двух тел делают *харами* важной. Вспомните, что дни возникновения доджи, когда цена открытия и цена закрытия равны, — это дни нерешительности. Таким образом, дни с маленьким телом, которые появляются после дней с более длинным телом, также могут представлять собой дни нерешительности. Чем больше такая нерешительность и неуверенность, тем более вероятно изменение тренда. Когда тело второго дня превращается в доджи, о модели говорят как о *кресте харами* (рис. 3-14 и 3-15), где крест — это доджи. *Крест харами* — более надежная разворотная модель, чем обычная *харами*.

### Правила распознавания

1. На рынке с трендом возникает длинный день.
2. Второй день — доджи (цены открытия и закрытия равны).
3. Доджи второго дня полностью находится внутри диапазона предыдущего длинного дня.

### Сценарии и психология, стоящая за моделью

Психология, стоящая за *крестом харами*, та же самая, что и в случае базовой модели *харами*. На рынке присутствует явно выраженный тренд, но затем совершенно неожиданно рынок в течение одного дня разворачивается — без того, чтобы выйти за пределы диапазона предшествующего дня. Хуже всего то, что рынок закрывается при той же цене, что и открылся. Объем торговли в день доджи также иссякает, и это отражает полную нерешительность трейдеров. Возникает важность разворота тренда.

#### Гибкость модели

Цвет длинного дня должен отражать направление тренда. Доджи может иметь цены открытия и закрытия, отличающиеся на 2-3 процента (только если в предыдущих данных в течение многих дней нет доджи).

### Преобразование модели

РИСУНОК 3-16

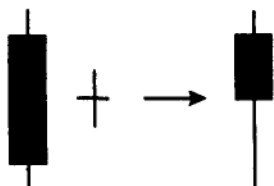
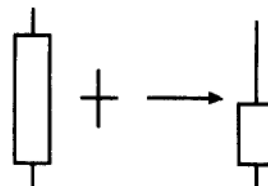


РИСУНОК 3-17



Бычий и медвежий *крест харами* сводится к одной-единственной свече, которая поддерживает их интерпретацию в большинстве случаев (см. рис. 3-16 и 3-17). Тело редуцированной

однодневной свечи может оказаться существенно длиннее, чем допускается у бумажного зонтика или молота. Полезен тот факт, что преобразование подтверждает характер модели.

### Родственные модели

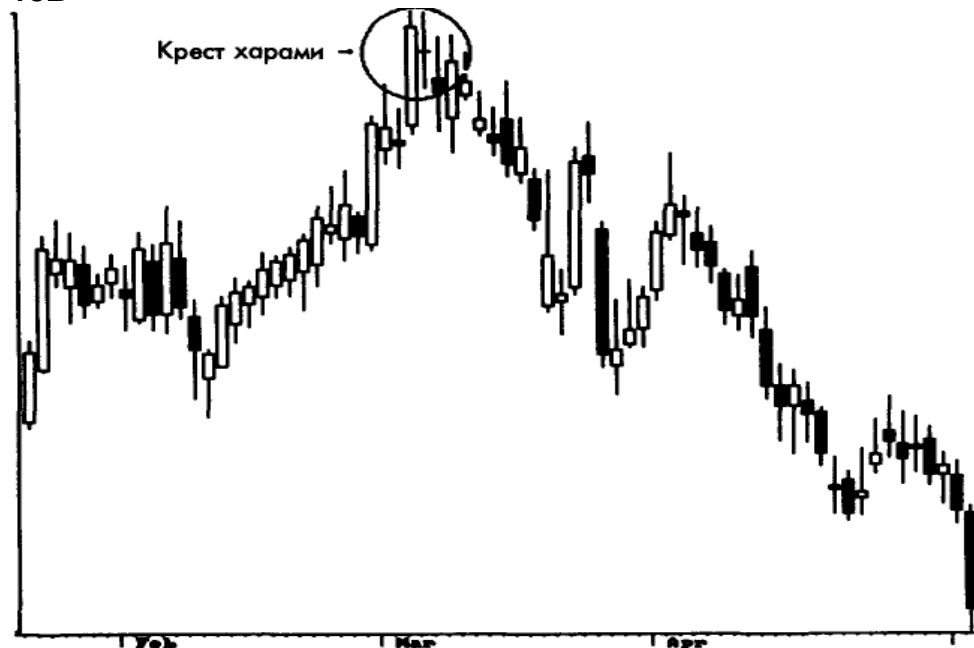
*Крест харами* вполне может оказаться началом модели *трех поднимающихся* или *трех падающих свечей* в зависимости от ценового поведения нескольких последующих дней. Модели системы *трех поднимающихся* или *трех падающих свечей* являются моделями продолжения, что вступает в противоречие с сигналом, подаваемым *крестом харами*.

### Примеры

РИСУНОК 3-18А



РИСУНОК 3-18В



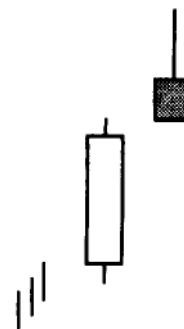
## Перевернутый молот и падающая звезда (Inverted Hammer and Shooting Star) (тоба и нагаре боси)

Подтверждение обязательно.

РИСУНОК 3-19



РИСУНОК 3-20



### Комментарий

#### *Перевернутый молот*

*Перевернутый молот* — свеча разворота во впадине (рис. 3-19). Как и его «родственник» *молот*, он появляется при понижательном тренде и говорит о возможном его развороте. Как и в случае большинства моделей, состоящих из одной или двух свечей, важно подождать подтверждения, в данном случае бычьего. Таким подтверждением могло бы быть открытие следующей торговой сессии при цене выше тела *перевернутого молота*. Поскольку цена закрытия близка к дневному минимуму и рынок в действительности торговался значительно выше, подтверждение весьма важно. Кроме того, в японской литературе мало ссылок на эту модель.

#### *Падающая звезда*

*Падающая звезда* (рис. 3-20) — модель, состоящая из одной свечи и указывающая на окончание повышательного движения. Это не очень убедительный разворотный сигнал. *Падающая звезда* выглядит точно так же, как и *перевернутый молот*. Разница, конечно, в том, что *падающая звезда* появляется на рыночных вершинах. Попытка роста была остановлена, когда цена закрытия оказалась близка к дневному минимуму. Между телом *падающей звезды* и телом предыдущего дня всегда существует разрыв вверх. Этот факт в действительности означает, что о *падающей звезде* можно было бы говорить как о модели, состоящей из двух свечей, поскольку тело предыдущего дня принимается во внимание.

### Правила распознавания

#### *Перевернутый молот*

1. Маленькое тело формируется в нижней части ценового диапазона.
2. Разрыва вниз не требуется, поскольку модель возникает после понижательного тренда.
3. Верхняя тень обычно не более чем в два раза длиннее тела.
4. Нижней тени фактически нет.

#### *Падающая звезда*

1. После повышательного тренда возникает разрыв между телом предыдущего дня и ценой открытия.
2. Маленькое тело формируется в нижней части ценового диапазона.
3. Верхняя тень по меньшей мере в три раза длиннее тела.
4. Нижней тени фактически нет.

## Сценарии и психология, стоящая за моделью

### *Перевернутый молот*

При понижательном тренде рынок открывается с разрывом вниз. К концу торгового дня силы быков ослабевают, и рынок закрывается вблизи минимума. Как в сценариях *молота* и *висельника*, цена открытия следующего дня — критический момент с точки зрения того, приведет ли эта модель к развороту тренда. Если следующая торговая сессия открывается выше тела *перевернутого молота*, возможный разворот тренда приведет к закрытию коротких позиций, что опять-таки будет способствовать оживлению на рынке. Аналогичным образом *перевернутый молот* легко может стать средним днем модели *утренней звезды*, носящей более выраженный бычий характер.

### *Падающая звезда*

Во время восходящего тренда рынок открывается с разрывом, поднимается до нового максимума, а затем закрывается вблизи своего дневного минимума. Действия, следующие за разрывом вверх, могут рассматриваться только как медвежьи. Конечно, это вызовет беспокойство некоторых быков, имеющих незафиксированную прибыль.

### Гибкость модели

Однодневные модели свечей не допускают значительной гибкости. Длина тени поможет определить их силу. Верхняя тень должна быть хотя бы в два раза длиннее тела. Нижней тени быть не должно, или она не должна превышать пяти или десяти процентов диапазона между минимальной и максимальной ценами. Как и в большинстве ситуаций, цвет тела может помочь, если он отражает отношение модели к тренду.

### Преобразование модели

РИСУНОК 3-21

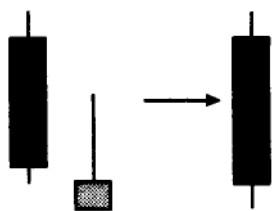
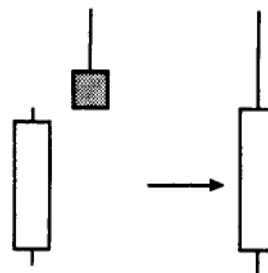


РИСУНОК 3-22



Несмотря на то, что *перевернутый молот* и *падающая звезда* рассматриваются как однодневные модели, чтобы повысить их надежность, следует рассматривать и предыдущие дни. Модель *перевернутый молот* сводится к длинной черной свече, которая сама по себе всегда рассматривается как медвежий знак (рис. 3-21). *Падающая звезда* сводится к длинной белой свече, которая почти всегда рассматривается как свеча бычьего (рис. 3-22). Обе эти модели находятся в прямом противоречии с характером свечи, полученной в результате преобразования. Это указывает на необходимость получить подтверждение перед тем, как предпринимать какие-либо действия, основываясь на этих моделях.

### Родственные модели

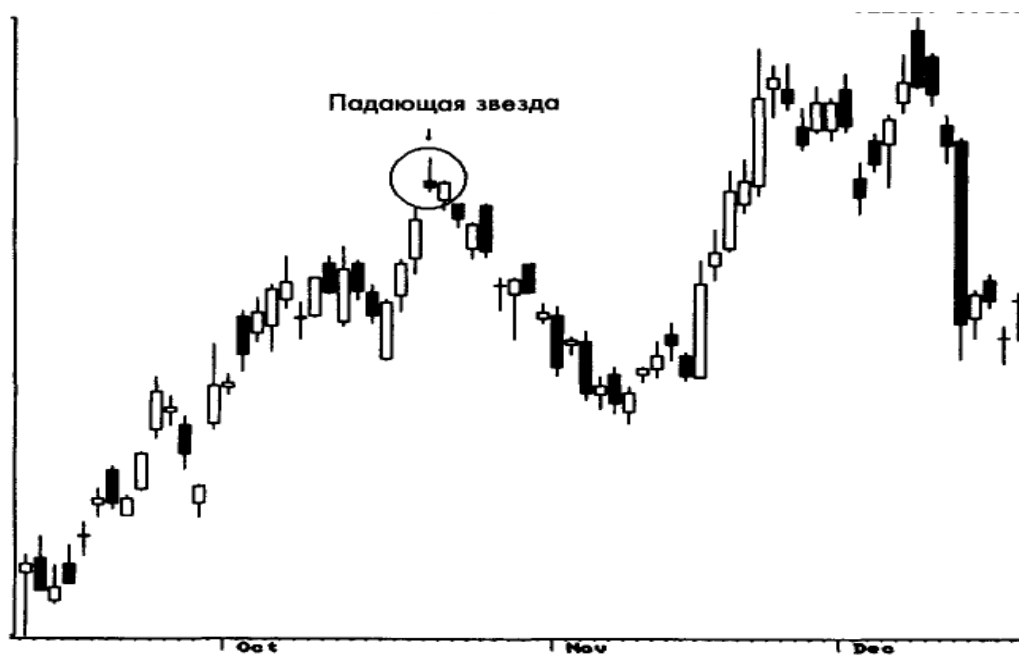
В то время как *молот* и *висельник* «состоят в родстве» с *доджи-драконом*, *падающая звезда* и *перевернутый молот* — «родственники» *доджи-надгробия*.

Примеры

РИСУНОК 3-23А



РИСУНОК 3-23В



---

## Пронизывающая свеча (Piercing Line) (кирикоми)

Бычья разворотная модель.

Подтверждение предполагается, но не является необходимым.

РИСУНОК 3-24



### Комментарий

Модель *пронизывающая свеча*, показанная на рис. 3-24, в основном противоположна *темным облакам* (см. следующую модель). Эта модель появляется на рынке с понижательным трендом и является моделью, состоящей из двух свечей (двухдневной моделью). Первый день черный, что означает понижательный тренд, второй день — длинная белая свеча, которая открывается на новом минимуме, а затем закрывается над серединой точки предыдущего черного дня. Слово «кирикоми» означает «урезать».

### Правила распознавания

1. Первый день — длинное черное тело, продолжающее понижательный тренд.
2. Второй день — белое тело, которое открывается ниже минимума предыдущего дня (именно минимума, а не цены закрытия).
3. Второй день закрывается внутри тела предыдущего дня, но выше его середины точки.

### Сценарии и психология, стоящая за моделью

Длинное черное тело формируется при понижательном тренде и поддерживает медвежий характер рынка. Разрыв вниз при открытии следующей торговой сессии еще больше укрепляет медвежий характер происходящего. Однако рынок растет весь день и закрывается значительно выше. Фактически цена закрытия находится выше середины точки тела длинного черного дня. Такое поведение рынка вызывает беспокойство медведей, говоря о том, что дно, возможно, уже достигнуто. График японских свечей довольно хорошо показывает это, в то время как на стандартном штриховом графике такую тенденцию трудно увидеть.

### Гибкость модели

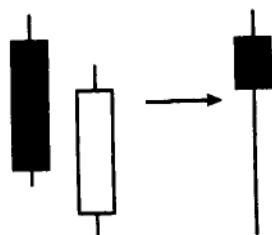
Белое тело должно закрыться выше середины тела предыдущей черной свечи. Если это не так, вам, вероятно, следовало бы подождать подтверждения, носящего более выраженный бычий характер. Это правило, касающееся *пронизывающей свечи*, не обладает гибкостью. Белая свеча пронизывающей модели должна подняться выше середины тела черной свечи. Существует три дополнительных свечных модели, носящих названия у линии шеи, на линии шеи и толчок (глава 4). Эти три модели сходны с *пронизывающей свечой*, но относятся к медвежьим моделям продолжения, поскольку ценовой рост во второй день не так велик.

Чем глубже проникновение внутрь черного тела предыдущего дня, тем больше вероятность того, что модель приведет к развороту тренда. Помните о том, что, если закрытие превысит тело предыдущего дня, это не пронизывающая модель, а день бычьего поглощения.

Оба дня пронизывающей модели должны быть днями длинными. Второй день должен закрыться над серединой точкой первого дня и ниже цены открытия этого дня без каких-либо исключений.

## Преобразование модели

РИСУНОК 3-25



*Пронизывающая свеча* сводится к *бумажному зонтику* и молоту, которые указывают на моменты разворота рынка (рис. 3-25). Сведение модели к единственной свече полностью поддерживает бычий характер *пронизывающей свечи*.

### Родственные модели

Три модели начинаются точно таким же образом, как и *пронизывающая свеча*. Однако они не подают сигналов о развороте тренда в отличие от *пронизывающей свечи* и рассматриваются как модели продолжения. Это у линии шеи, на линии шеи и толчок (см. главу 4). Бычья модель поглощения также является расширением или более зрелой ситуацией *пронизывающей свечи*.

### Примеры

РИСУНОК 3-26



## Темные облака (Dark Cloud Cover) (кабузе)

Медвежья разворотная модель. Подтверждение не требуется.

РИСУНОК 3-27



### Комментарий

Темные облака (рис. 3-27) — медвежья разворотная модель и двойник понизывающей модели (рис. 3-24). Поскольку она появляется только при повышательном тренде, первый день оказывается длинной белой свечой, поддерживающей этот тренд. Второй день открывается выше максимума белого дня. Это один из тех немногих случаев, когда для определения свечной модели используется минимум или максимум. Снижение цены на протяжении всего дня приводит к закрытию ниже срединной точки длинного белого дня.

Эта разворотная модель, как и противоположная ей понизывающая свеча, оказывает заметное воздействие на настроение трейдеров, поскольку за более высоким открытием следует значительно более низкое закрытие. У этой модели нет исключений. Слово «кабузе» означает «накрывать» или «нависать».

### Правила распознавания

1. Первый день — длинное белое тело, продолжающее тренд.
2. Второй день — день с черным телом и ценой открытия, превышающей максимум предыдущего дня (именно максимум, а не цену закрытия).
3. Второй (черный) день закрывается внутри предыдущего белого тела и ниже его срединной точки.

### Сценарии и психология, стоящая за моделью

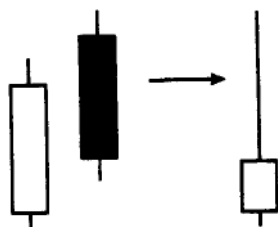
На рынке господствует повышательный тренд. Формируется длинная белая свеча, что типично для повышательного тренда. При открытии на следующий день происходит разрыв вверх, однако на этом повышательный тренд может закончиться. Рынок падает, чтобы закрыться внутри тела белого дня, фактически ниже его середины. Все трейдеры, настроенные по-бычьи, при таких обстоятельствах должны пересмотреть свою стратегию. Как и в случае понизывающей свечи, возникает важный разворот тренда.

### Гибкость модели

Чем дальше проникает закрытие черного тела внутрь предыдущего белого тела, тем больше вероятность разворота на вершине. Первый день должен быть длинным днем, а цена открытия второго дня — значительно выше. Это подчеркивает разворотные настроения рынка.

### Преобразование модели

РИСУНОК 3-28





---

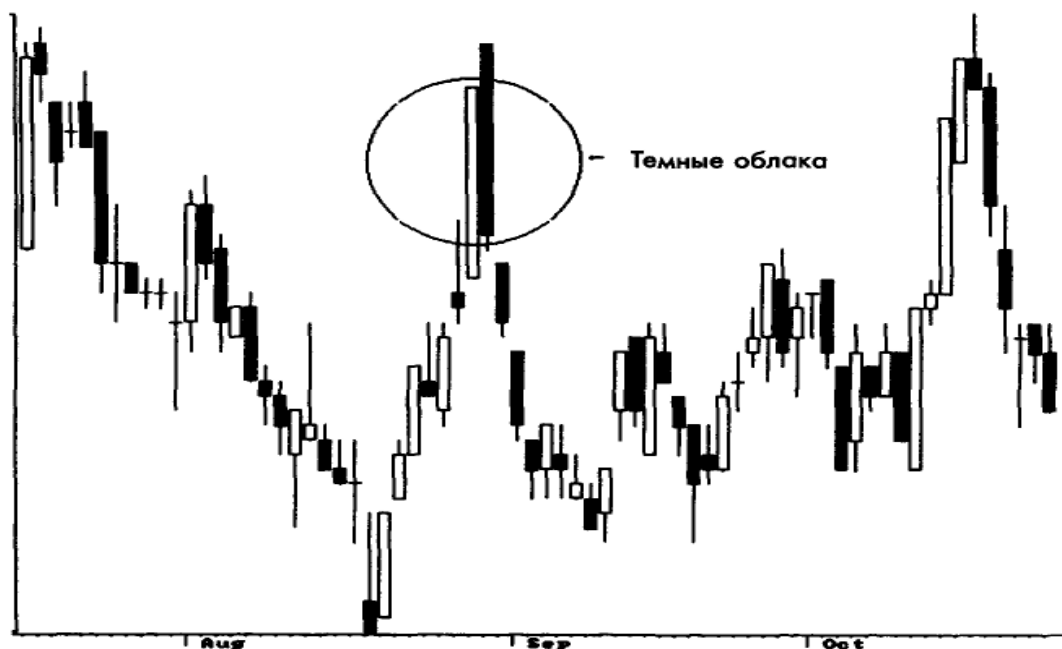
Модель *темные облака* сводится к *падающей звезде*, что поддерживает медвежий характер модели (рис. 3-28). Если черное тело второго дня закрывается глубоко внутри тела первого дня, редуцированная модель превратится в *доджи-надгробие*, что также полностью соответствует медвежьему характеру модели.

### Родственные модели

*Темные облака*, кроме того, являются началом медвежьей модели *поглощения*. По этой причине медвежья модель *поглощения* дает разворотный сигнал более выраженного медвежьего характера, чем *темные облака*.

### Примеры

РИСУНОК 3-29



## Доджи-звезда (Doji Star) (доджи бике)

Предполагается подтверждение.

РИСУНОК 3-30

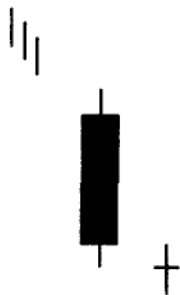
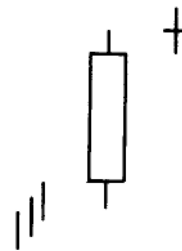


РИСУНОК 3-31



### Комментарий

*Доджи-звезда* является предупреждением о том, что тренд близок к развороту. Сначала формируется свеча с длинным телом, цвет которого отражает предыдущий тренд. Понижательный тренд приводит к появлению черного тела, а повышательный — белого (рис. 3-30 и 3-31). На следующий день происходит ценовой разрыв в направлении тренда, после чего цена закрытия оказывается равной цене открытия. Такое ослабление действующего тренда является причиной для беспокойства. Совершенно определенный сигнал, подаваемый *доджи-звездой*, — превосходный пример ценности графического метода японских свечей. Если бы вы использовали лишь цену закрытия или стандартные штриховые графики, ослабление тренда не было бы столь очевидным. Японские же свечи показывают, что тренд ослабевает из-за разрыва между телами в модели *доджи-звезда*.

### Правила распознавания

1. Первый день является длинным.
2. На второй день происходит разрыв в направлении предыдущего тренда.
3. Второй день — доджи.
4. Тени доджи не должны быть слишком длинными, особенно в бычьем случае.

### Сценарии и психология, стоящая за моделью

ЕСЛИ говорить о медвежьей *доджи-звезде*, то ситуация разворачивается следующим образом. Сначала на рынке господствует повышательный тренд, и это подтверждается сильным белым днем. На следующий день происходит ценовой разрыв вверх, торговля ведется в узком диапазоне, а затем сессия закрывается там же, где и открылась, или очень близко к этому уровню. Это почти полностью подрывает доверие к предшествующему росту. Многие позиции будут изменены, что порождает *доджи*. Если цена открытия следующего дня окажется ниже, это расчистит путь к развороту тренда.

### Гибкость модели

ЕСЛИ разрыв захватывает и тени, важность разворота тренда еще больше. Цвет первого дня и в этом случае должен отражать направление тренда.

### Преобразование модели

РИСУНОК 3-32

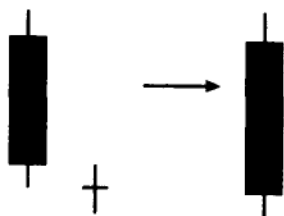
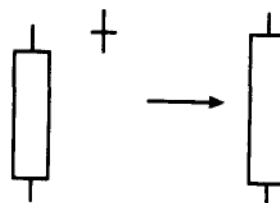


РИСУНОК 3-33



Бычья *доджи-звезда* сводится к длинной черной свече, которая противоречит бычьему характеру модели (рис. 3-32). Медвежья *доджи-звезда* сводится к длинной белой свече, которая находится в прямом противоречии с моделью (рис. 3-33). Эти конфликты не следует игнорировать.

### Родственные модели

*Доджи-звезда* — это первые два дня утренней или вечерней *доджи-звезды*.

### Примеры

РИСУНОК 3-34А

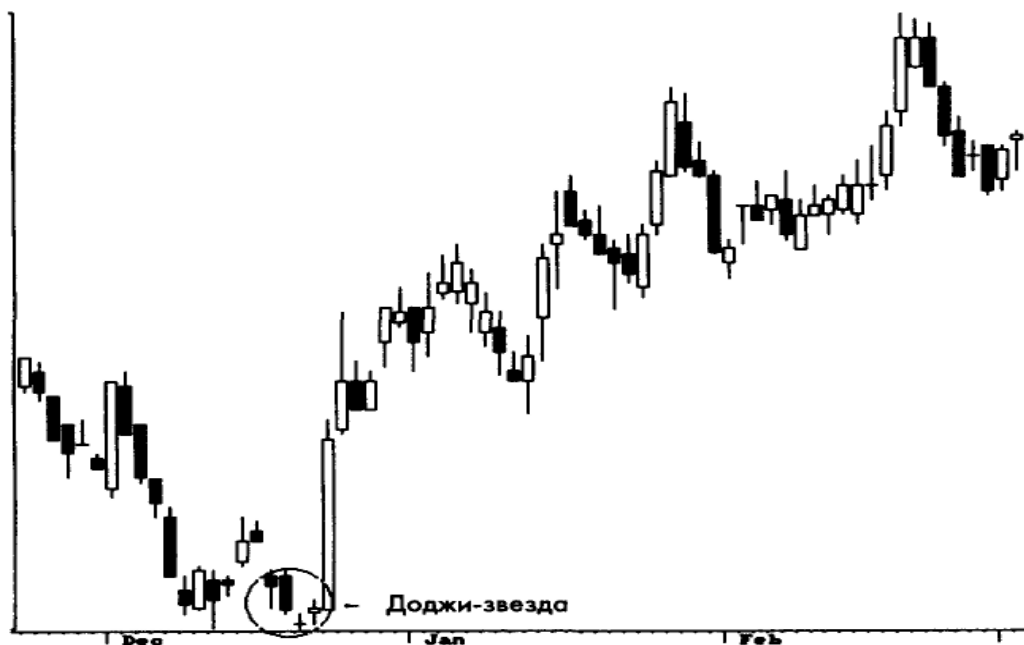


РИСУНОК 3-34В



## Утренняя звезда и вечерняя звезда (Morning Star and Evening Star) (санкава аке но миоажю и санкава йои но миоажю)

Подтверждение не требуется.

РИСУНОК 3-35

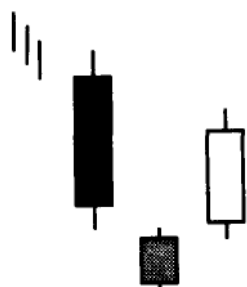
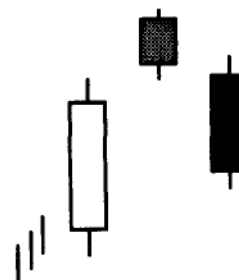


РИСУНОК 3-36



### Комментарий

#### Утренняя звезда

*Утренняя звезда* — бычья разворотная модель. Такое название говорит о том, что модель предсказывает более высокие цены. Она состоит из длинного черного тела, за которым следует маленькое тело, причем между ними наблюдается разрыв (рис. 3-35). Третий день оказывается белым телом, которое двигается внутрь черного тела первого дня. В идеале *утренняя звезда* имеет разрывы до и после тела среднего дня (звезды).

#### Вечерняя звезда

Медвежьим двойником *утренней звезды* оказывается *вечерняя звезда*. Поскольку *вечерняя звезда* — медвежья модель, она появляется во время повышательного тренда или вслед за ним. Первый день — длинное белое тело, за которым следует *звезда* (рис. 3-36). Помните, что тело *звезды* отрывается от тела предыдущего дня. Маленькое тело *звезды* является первым признаком нерешительности. На следующий день происходит разрыв вниз, модель завершается еще более низкой ценой закрытия. Как и *утренняя звезда*, *вечерняя* должна иметь разрыв между первым и вторым телом, а потом еще один разрыв между вторым и третьим телом. В некоторых источниках второй разрыв не упоминается.

### Правила распознавания

1. Первый день всегда имеет цвет, поддерживающий имеющийся тренд. То есть повышательный тренд приводит к длинному белому телу первого дня вечерней звезды, а понижательный тренд — к черному первому дню утренней звезды.
2. Между вторым днем — звездой — и телом первого дня всегда существует разрыв. Цвет второго дня не важен.
3. Третий день всегда имеет цвет, противоположный цвету первого дня.
4. Первый и, скорее всего, третий дни можно рассматривать как длинные.

### Сценарии и психология, стоящая за моделью

#### Утренняя звезда

Ситуация разворачивается следующим образом. При развитии понижательного тренда возникает длинная черная свеча. Это не оставляет места сомнениям по поводу продолжения понижательного тренда. На следующий день при открытии сессии происходит ценовой разрыв вниз, торговля ведется в узком диапазоне, сессия закрывается вблизи цены открытия. Это маленькое тело показывает, что начался период нерешительности. На следующий день при открытии появляется разрыв вверх, а затем торговая сессия закрывается при значительно более высокой цене. Появляется важный разворот тренда.

## Вечерняя звезда

Сценарий *вечерней звезды* полностью противоположен сценарию *утренней звезды*.

### Гибкость модели

В идеале существует один разрыв между телом первой свечи и *звездой* и второй разрыв между телом *звезды* и телом третьей свечи. Некоторая гибкость присутствует в вопросе разрыва между *звездой* и телом третьего дня.

Если цена закрытия третьей свечи уходит глубоко внутрь тела первой свечи, может последовать существенно более сильное движение, особенно если торговля на третий день сопровождается большим объемом. Иногда в литературе приводятся примеры цены закрытия третьего дня, ушедшей дальше середины тела первого дня.

### Преобразование модели

РИСУНОК 3-37

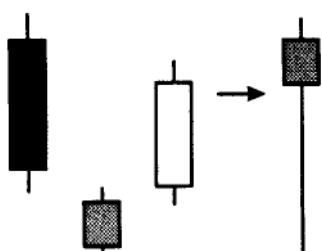
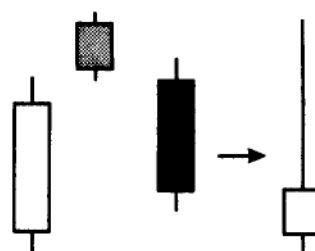


РИСУНОК 3-38



*Утренняя звезда* сводится к бумажному зонтику или *молоту*, что полностью поддерживает бычий характер *утренней звезды* (рис. 3-37). Модель *вечерней звезды* сводится к *падающей звезде*, которая также является *медвежьей свечой* и полностью поддерживает характер модели (рис. 3-38).

### Родственные модели

Несколько следующих моделей — по сути, особые вариации *утренней* или *вечерней звезды*. Это *утренняя* и *вечерняя доджи-звезды*, *брошенный младенец* и *три звезды*.

### Примеры

РИСУНОК 3-39А

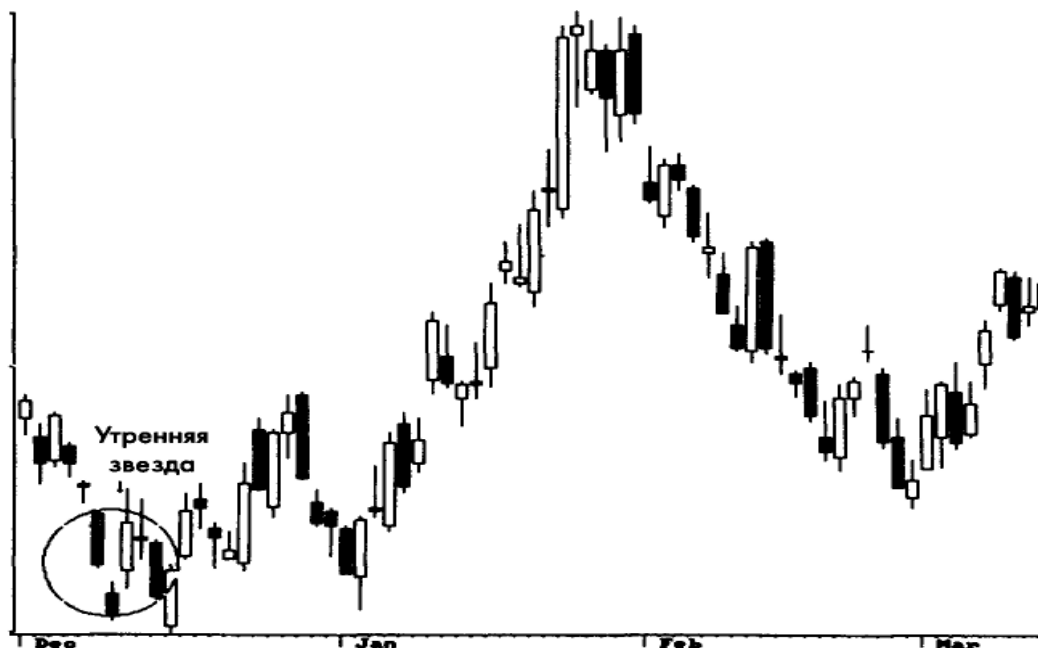


РИСУНОК 3-39В



## Утренняя доджи-звезда и вечерняя доджи-звезда (Morning Doji Star and Evening Doji Star)

*(аке но миоджио доджи бике и йои но миоджио доджи бике минами джиуджи сей)*

*Подтверждение не требуется.*

РИСУНОК 3-40

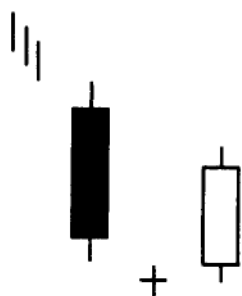
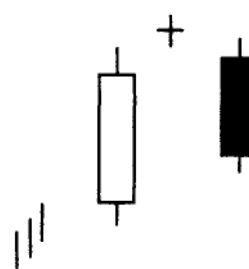


РИСУНОК 3-41



### Комментарий

Вспомним, что, обсуждая *доджи-звезду*, мы говорили о возможности разворота тренда, которая появляется из-за нерешительности, связанной с доджи. *Доджи-звезда* — предупреждение о том, что предыдущий тренд, вероятно, собирается развернуться. Следующий за *доджи* день должен подтвердить надвигающийся разворот тренда. Модели *утренней* и *вечерней доджи-звезд* указывают именно на это.

### Утренняя доджи-звезда

При развитии понижательного тренда возникает длинная черная свеча, за которой следует *доджи-звезда*. Как и в случае обычной *утренней звезды*, подтверждение на третий день полностью поддерживает разворот тренда. Этот тип *утренней звезды* — *утренняя доджи-звезда* (рис. 3-40) — может указывать на существенный разворот тренда. Таким образом, данная модель рассматривается как более значимая, чем обычная *утренняя звезда*.

### Вечерняя доджи-звезда

*Доджи-звезда*, возникшая на повышательном тренде, за которой следует длинное черное тело с ценой закрытия, уходящей достаточно глубоко внутрь белого тела первого дня, подтверждает разворот на вершине (см. рис. 3-41). Обычная модель *вечерней звезды* в качестве звезды содержит маленькое тело, в то время как у *вечерней доджи-звезды* в качестве звезды появляется доджи. Именно из-за доджи *вечерняя доджи-звезда* более важна. На *вечернюю доджи-звезду*, кроме того, ссылаются как на *южный крест*.

### Правила распознавания

1. Как и во многих других разворотных моделях, цвет первого дня должен отражать направление рыночного тренда.
2. Второй день должен быть *доджи-звездой* (доджи с разрывом).
3. Цвета третьего и первого дней противоположны.

### Сценарии и психология, стоящая за моделью

Психология, стоящая за данными моделями, сходна с той, что имеет место при обычных моделях *утренней* и *вечерней звезды* за тем исключением, что *доджи-звезда* несет большую угрозу для предыдущего тренда и, таким образом, более значима.

### Гибкость модели

Гибкость может проявляться в степени проникновения третьего дня внутрь тела первого дня. Если это проникновение превышает 50 процентов, у такой модели больше шансов реализоваться.

### Преобразование модели

РИСУНОК 3-42

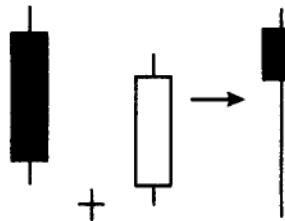
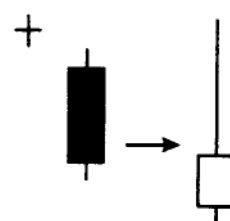


РИСУНОК 3-43



*Утренняя доджи-звезда* сводится к *молягу* (рис. 3-42), а иногда и к *доджи-дракону*. *Вечерняя доджи-звезда* сводится к *падающей звезде* (рис. 3-43), а иногда к *доджи-надгробью*. Чем ближе редуцированная модель к доджи, тем сильнее модель, поскольку цена закрытия третьего дня уходит дальше внутрь тела первого дня.

### Родственные модели

Следует осознавать, что эта модель начинается с *доджи-звезды*. Это то подтверждение, которое требуется *доджи-звезде*, и его нельзя игнорировать.

Примеры

РИСУНОК 3-44А

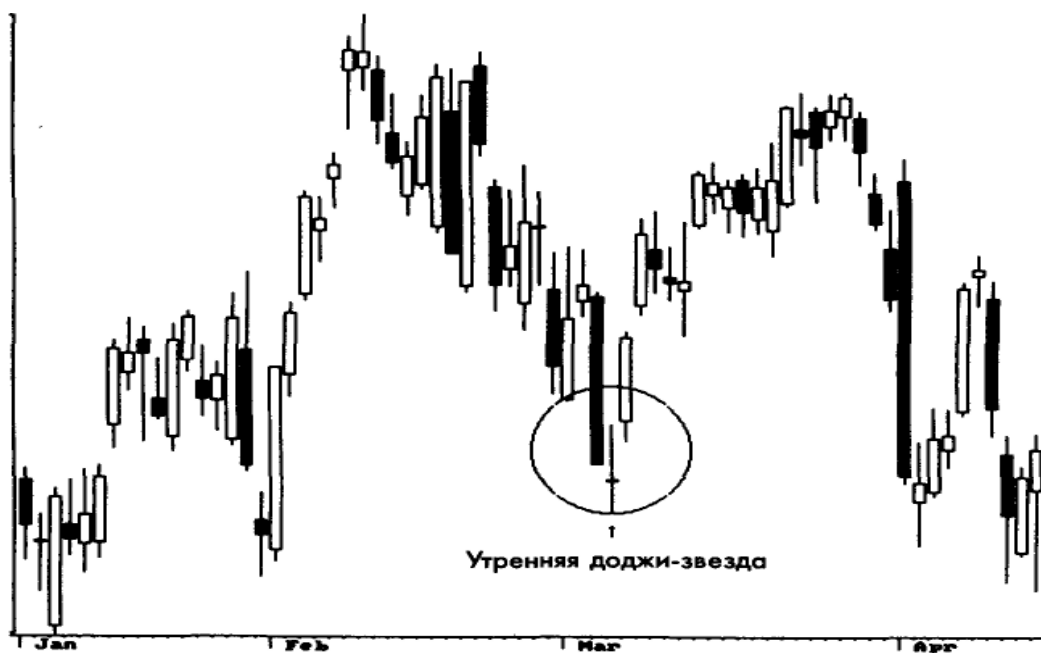
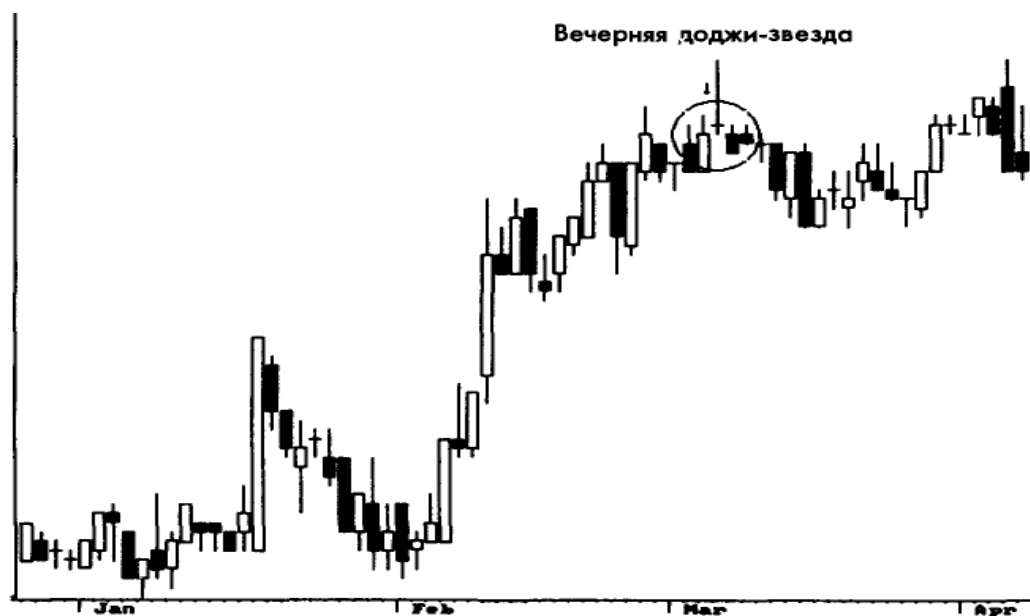


РИСУНОК 3-44В





## Брошенный младенец (Abandoned Baby) (*суге го*)

Подтверждение не требуется.

РИСУНОК 3-45

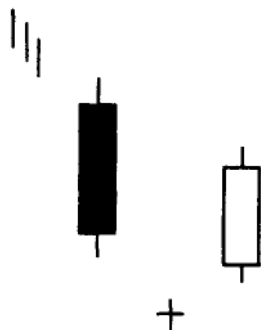
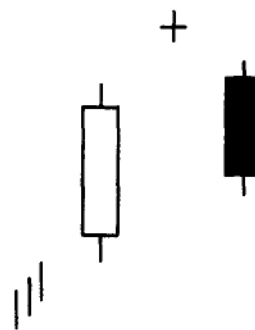


РИСУНОК 3-46



### Комментарий

Еще одна важная разворотная модель, сходная по своему виду с моделями *утренней* и *вечерней звезд*, — *брошенный младенец*. Эта модель почти такая же, как *утренняя* и *вечерняя доджи-звезды*, но с одним важным отличием. Здесь должен присутствовать разрыв вниз между тенями доджи и тенями первого и третьего дней в случае *брошенного младенца* во впадине (рис. 3-45). Противоположное верно и в случае *брошенного младенца* на вершине (рис. 3-46) — между доджи и соседними днями должен существовать полный (включая тени) разрыв вверх. *Брошенный младенец* — весьма редкая модель.

### Правила распознавания

1. Первый день должен отражать предыдущий тренд.
2. Второй день — доджи, между тенями которого и нижней или верхней тенью предыдущего дня существует разрыв вниз или вверх.
3. Цвета третьего и первого дней противоположны.
4. На третий день происходит разрыв в противоположном направлении без перекрывания теней.

### Сценарии и психология, стоящая за моделью

У большинства трехдневных моделей со звездой сценарии схожи. Главная разница в том, что звезда (второй день) может отражать большую или меньшую угрозу тренду в зависимости от того, наблюдается ли разрыв, доджи и тому подобное.

### Гибкость модели

Из-за специфических параметров, используемых в определении этой модели, тут нет большого пространства для гибкости. Это особый случай *утренней* и *вечерней доджи-звезд*, когда второй день схож с традиционным днем островного разворота.

### Преобразование модели

РИСУНОК 3-47

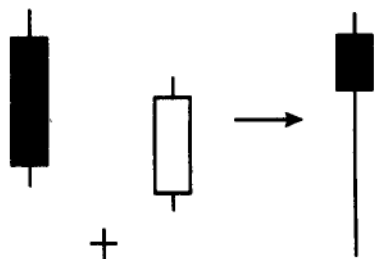
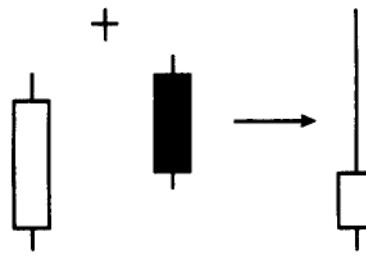


РИСУНОК 3-48



Разбиение моделей *брошенный младенец*, как бычьей, так и медвежий, является расширением *утренней* и *вечерней доджи-звезд* (рис. 3-47 и 3-48). Бычий или медвежий характер здесь еще

более усиливается, поскольку длинная тень обычно оказывается длиннее, чем в предыдущих случаях. Как и прежде, чем далее уходит цена закрытия третьего дня внутрь тела первого дня, тем ближе эти разбиения к *доджи-дракону* и *доджи-над-гробию*.

### Родственные модели

Это особый случай *доджи-звезды*, когда возникает разрыв между доджи и предыдущим днем. Этот разрыв включает все тени, а не только тела. У третьего дня тоже есть разрыв, но уже в противоположном направлении.

### Примеры

РИСУНОК 3-49А



РИСУНОК 3-49В



## Три звезды (Tri Star) (сантен боси)

Предполагается подтверждение.

РИСУНОК 3-50

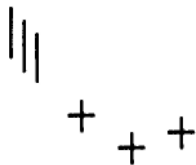
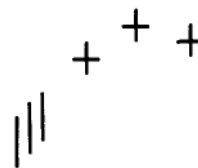


РИСУНОК 3-51



### Комментарий

Модель *три звезды* (рис. 3-50 и 3-51) была разработана Стивом Нисоном. Она состоит из трех дней доджи, при этом средний доджи является звездой. Эта модель встречается крайне редко, но, когда она появляется, ее не следует игнорировать.

### Правила распознавания

1. Все три дня — доджи.
2. Между вторым днем и соседними днями существует разрыв вниз или вверх.

### Сценарии и психология, стоящая за моделью

Вероятно, рынок длительное время находился в понижательном или повышательном тренде. Когда тренд стал выказывать свою слабость, тела начали уменьшаться. Первый доджи должен вызвать некоторое беспокойство. Второй доджи показывает, что на рынке теперь отсутствует направление. И, наконец, третий доджи, так сказать, «вбил последний гвоздь в гроб тренда». Поскольку в целом все это указывает на слишком большую нерешительность, трейдеры, какие бы у них ни были убеждения, меняют свои позиции.

### Гибкость модели

Будьте осторожны с моделью. Поскольку модель *три звезды* очень редкая, следует отнестись с подозрением к данным, использовавшимся привычислениях. Если разрыв второго доджи захватывает и тени, модель еще более важна.

### Преобразование модели

РИСУНОК 3-52

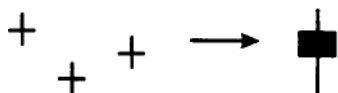
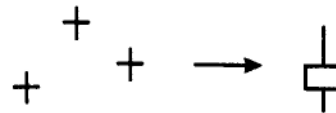


РИСУНОК 3-53



Модель *три звезды* сводится к волчку, который указывает на нерешительность рынка (рис. 3-52 и 3-53). Это определенного рода конфликт с моделью, который подтверждает мысль о том, что из-за редкости модели на нее следовало бы смотреть с долей скептицизма.

### Родственные модели

Исходя из предыдущего обсуждения вы можете видеть, насколько эта модель редка.

Примеры

РИСУНОК 3-54А

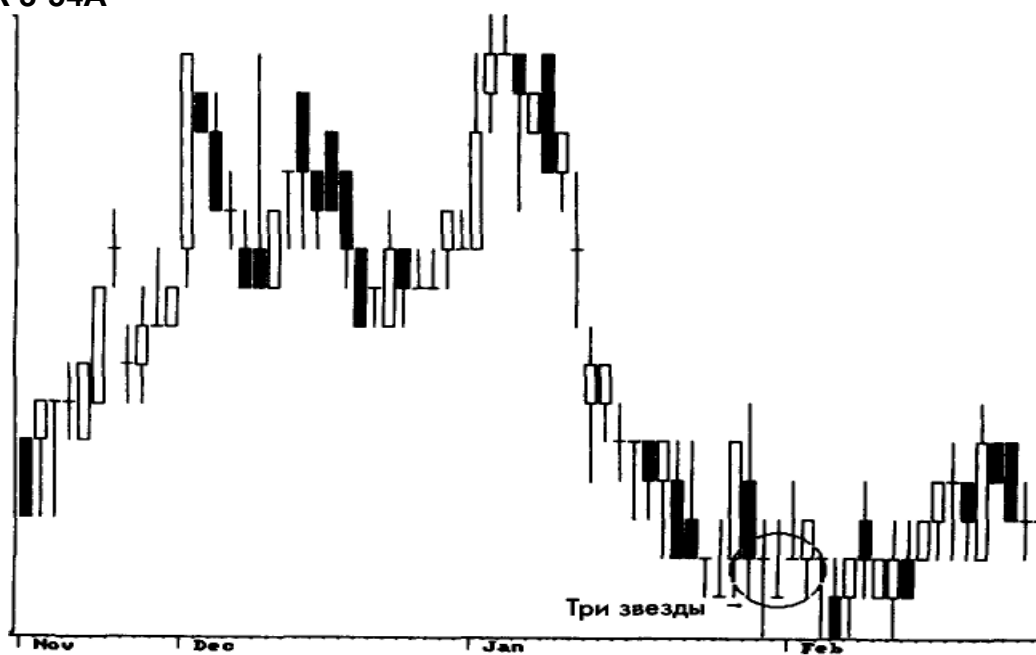
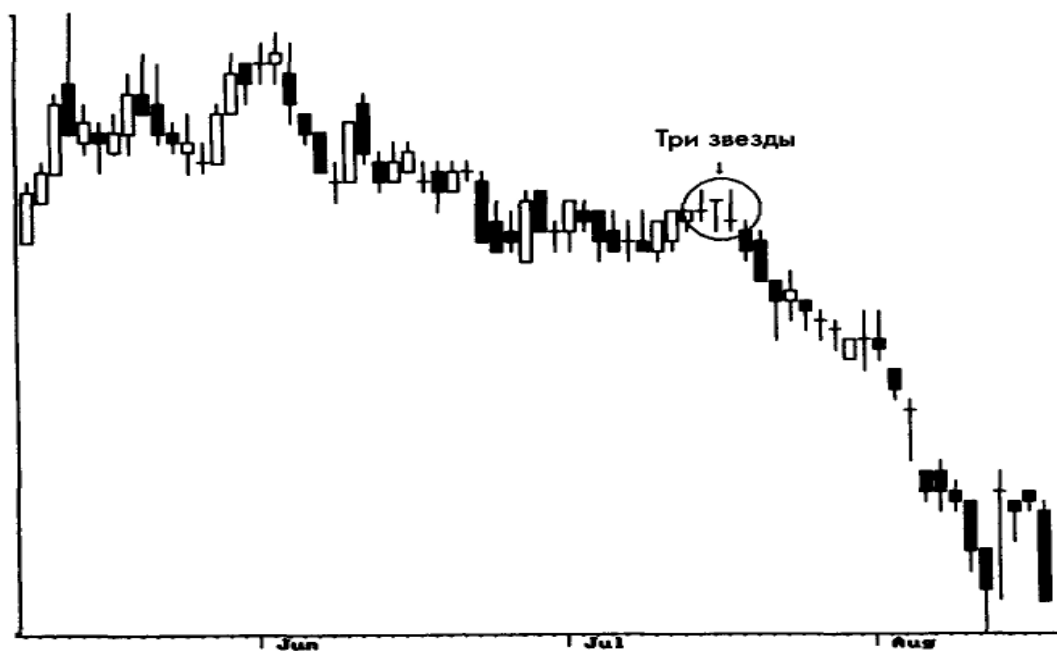


РИСУНОК 3-54В



## Две взлетевшие вороны (Upside Gap Two Crows)

### (шита банаре нива гарасу)

Медвежья разворотная модель.

Подтверждение необязательно, но в некоторой степени желательно.

РИСУНОК 3-55



#### Комментарий

Эта модель возникает только при повышательном тренде. Как и большинство медвежьих разворотных моделей, она начинается со свечи с белым телом. Разрыв, подразумеваемый названием модели, — это разрыв не только между первым и вторым, но и между первым и третьим днями. Второй и третий дни имеют черный цвет, откуда и происходит название «две вороны».

Цена открытия третьего дня (второго черного дня) должна быть выше, чем во второй день, а затем цена закрытия должна оказаться ниже, чем во второй день. Между третьим и первым днями должен существовать разрыв вверх, даже несмотря на то, что его цена закрытия ниже, чем у второго дня. Проще говоря, второй черный день поглощает первый черный день.

#### Правила распознавания

1. Повышательный тренд продолжается длинным белым днем.
2. После белого дня формируется черный день с разрывом вверх.
3. Цена открытия второго черного дня оказывается выше цены открытия первого черного дня, а его цена закрытия оказывается ниже тела первого из черных дней. Его тело поглощает первый черный день.
4. Цена закрытия второго черного дня все-таки оказывается выше цены закрытия длинного белого дня.

#### Сценарии и психология, стоящая за моделью

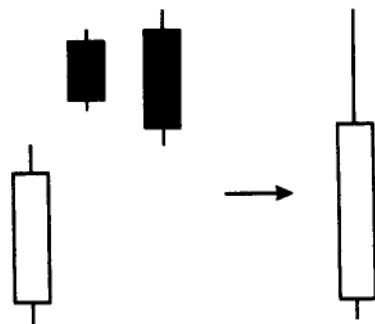
Как и в начале большинства медвежьих разворотных моделей, при повышательном тренде появляется день с белым телом. На следующий день торговая сессия открывается с разрывом вверх, но цены отказываются расти и закрываются ниже того уровня, где открылись, формируя черный день. Это не доставляет такого уж беспокойства, поскольку цены не опускаются ниже цены закрытия первого дня. На следующий день при открытии сессии цены открываются еще выше, а затем падают, чтобы закрыться ниже цены закрытия предыдущего дня. Тем не менее цена закрытия оказывается все еще выше цены закрытия первого белого дня. Бычий настрой пропадает. Как после двух последовательных понижающихся закрытий можно оставаться яростным быком?

#### Гибкость модели

Две взлетевшие вороны — довольно жесткая модель. Если бы на третий день (второй черный день) закрытие произошло внутри тела белого дня, эта модель превратилась бы в модель *двух ворон* (обсуждается далее в этой главе).

## Преобразование модели

РИСУНОК 3-56



Модель *две взлетевшие вороны* сводится к одной-единственной свече, белое тело которой несколько длиннее, чем белое тело первого дня, так же, как и верхняя тень (рис. 3-56). Тот факт, что свеча не является в полном смысле медвежьей, предполагает, что, прежде чем предпринимать некоторые действия на основании такой модели, следует подождать определенного подтверждения.

### Родственные модели

Неспособность черного тела третьего дня открыться несколько ниже цены открытия второго дня и остаться выше тела первого дня отличает эту модель от модели продолжения *удержание на татами* (Mat Hold). *Удержание на татами* — бычья модель продолжения, обсуждаемая в следующей главе. Кроме того, два первых дня модели могли бы стать *вечерней звездой* в зависимости от того, что происходит на третий день.

### Примеры

РИСУНОК 3-57



## Встречающиеся свечи (Meeting Lines) (*деаи сен* или *гиакуси сен*)

Предполагается подтверждение.

РИСУНОК 3-58

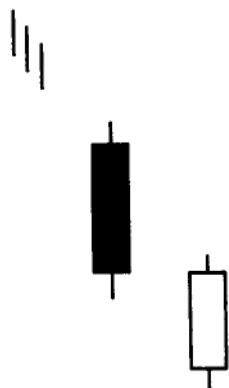
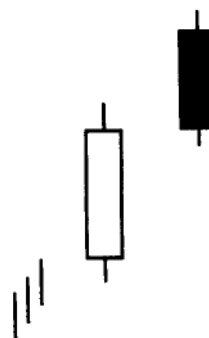


РИСУНОК 3-59



### Комментарий

*Встречающиеся свечи* формируются, когда противоположно окрашенные свечи имеют одну и ту же цену закрытия. В некоторых источниках на *встречающиеся свечи* ссылаются как на контрастование. Слово «деаи» означает «встречаться», а слово «гиакуси» переводится как «контрастование».

### Бычьи встречающиеся свечи

Эта модель обычно появляется во время снижения цен. Первый день такой модели — длинная черная свеча (рис. 3-58). Цена открытия следующего дня резко падает, что позволяет сделать большие авансы понижательному тренду. Бычьи *встречающиеся свечи* чем-то сходны с концепцией бычьей пронизывающей свечи, разница заключается в уровне ценового подъема второго дня. Встречающиеся свечи поднимаются лишь до уровня цены закрытия первого дня, в то время как второй день *пронизывающей свечи* уходит дальше середины тела первого дня. Бычьи *встречающиеся свечи* не настолько значимы, как *пронизывающая свеча*. Кроме того, эту модель не стоит путать с моделью у линии шеи, описанной в главе 4.

### Медвежьи встречающиеся свечи

*Встречающиеся свечи* в значительной степени схожи с темными *облаками* (рис. 3-59). Медвежьи *встречающиеся свечи* открываются на новом максимуме, а закрываются на том же уровне, где произошло закрытие в предыдущий день, в то время как *темные облака* опускаются ниже срединной точки.

### Правила распознавания

1. Тела обеих свечей располагаются в направлении текущего тренда.
2. Цвет первого тела всегда отражает тренд: черный для понижательного тренда, белый — для повышательного.
3. Второе тело имеет противоположный цвет.
4. Цены закрытия обоих дней совпадают.
5. Оба дня должны быть длинными.

### Сценарии и психология, стоящая за моделью

#### *Бычьи встречающиеся свечи*

Когда формируется длинный черный день, рынок находится в понижательном тренде, и этот день сказывается полностью в контексте данного тренда. Следующий день открывается с разрывом вниз, затем на протяжении дня цены растут, чтобы закрыться на том же самом уровне, что и в предыдущий день. Следовательно, очень высоки шансы на то, что будет разворот. Если третий день откроется еще выше, будет получено подтверждение.

### Гибкость модели

Модель *встречающихся свечей* должна состоять из двух длинных свечей. Однако во многих случаях второй день не такой длинный, как первый. По-видимому, это мало влияет на надежность модели: подтверждение все равно предполагается. Кроме того, лучше всего, если каждый день представляет собой *марибозу* закрытия.

### Преобразование модели

РИСУНОК 3-60

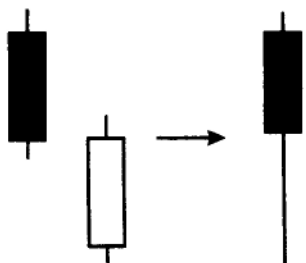
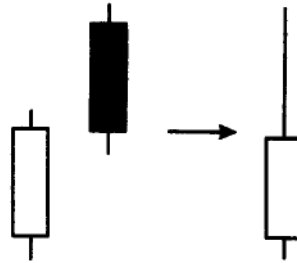


РИСУНОК 3-61



*Встречающиеся свечи* сводятся к единственной свече, которая не поддерживает толкование модели (рис. 3-60и3-61). Эта единственная свеча сходна с первой свечой модели, но ее тень удлиняется в сторону направления второго дня. Преобразование не только не поддерживает саму модель, но и не указывает на недостаток ее силы.

### Родственные модели

Нечто противоположное этой модели — *разделяющиеся свечи*, представляющие собой модель продолжения. Кроме того, можно увидеть, что есть потенциал для превращения этих свечей в *темные облака* или *пронизывающую свечу*, если произойдет проникновение второго тела внутрь первого.

### Примеры

РИСУНОК 3-62А

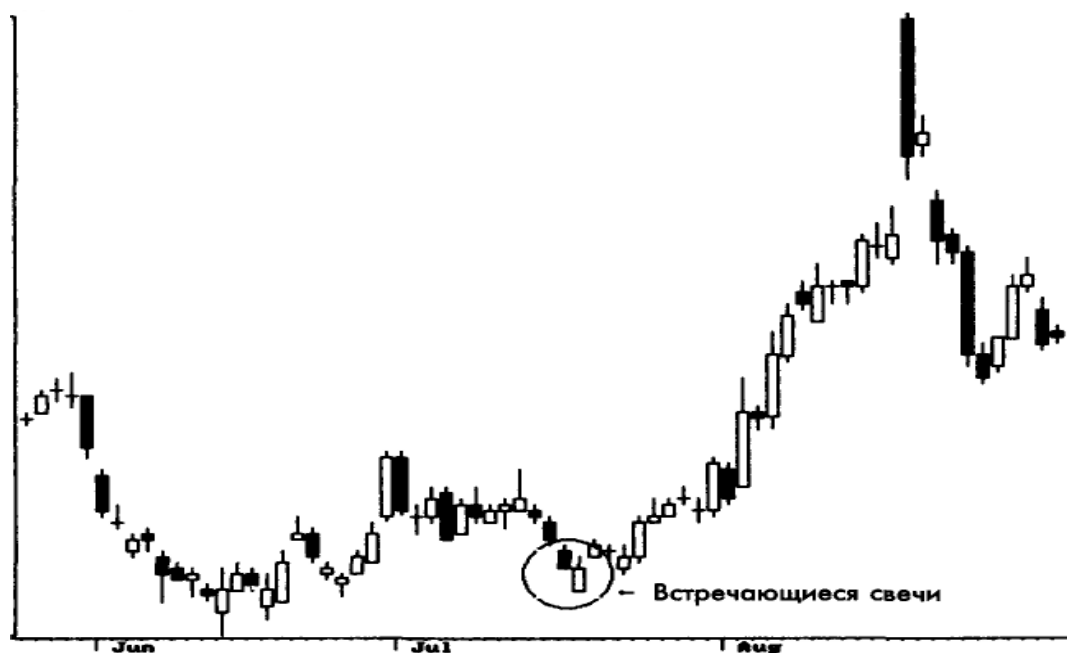




РИСУНОК 3-62В



### Захват за пояс (Belt Hold) (йорикири)

Требуется подтверждение.

РИСУНОК 3-63

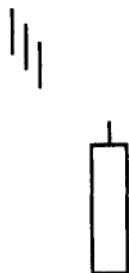


РИСУНОК 3-64



#### Комментарий

Свечи *захват за пояс* являются одновременно свечами *марибозу* открытия (глава 2). Помните, что у *марибозу* открытия нет тени, выходящей из конца тела, показывающего цену открытия. Бычий *захват за пояс* (рис. 3-63) — белая *марибозу* открытия, которая появляется при понижающем тренде. Дневная сессия открывается на своем минимуме, затем происходит существенный рост, направленный противоположно предыдущему тренду, а потом идет закрытие вблизи максимума, но необязательно точно на нем. Медвежий *захват за пояс* (рис. 3-64) — черная *марибозу* открытия, возникающая при повышающем тренде. Похожим образом она открывается на максимуме, цены движутся против имеющегося на рынке тренда и затем закрываются вблизи минимума. Чем длиннее тело свечи *захват за пояс*, тем большее сопротивление она оказывает тренду, против которого направлена.

Свечи *захват за пояс*, как и большинство однодневных моделей, теряют свое значение, если в близкой окрестности много подобных свечей. Японское название «йорикири» означает «давать ростки». Название «захват за пояс» предложил Стив Нисон.

#### Правила распознавания

1. Свеча *захват за пояс* определяется отсутствием тени на одном из ее концов.
2. Бычий белый *захват за пояс* открывается на своем минимуме и не имеет нижней тени.
3. Медвежий черный *захват за пояс* открывается на своем максимуме и не имеет верхней тени.

### Сценарии и психология, стоящая за моделью

Когда на рынке присутствует тренд, при открытии торговой сессии происходит существенный разрыв в его направлении. С этого момента рынок больше не оглядывается назад: весь этот день дальнейшее движение цены противоположно предыдущему тренду. Это приводит к сильной обеспокоенности, многие позиции окажутся ликвидированными, что может вызвать разворот.

### Гибкость модели

Поскольку данная модель состоит из одной-единственной свечи, здесь нет особенного пространства для гибкости. Это должен быть длинный день. Помните, что день рассматривается как длинный лишь в сравнении с несколькими предыдущими днями.

### Преобразование модели

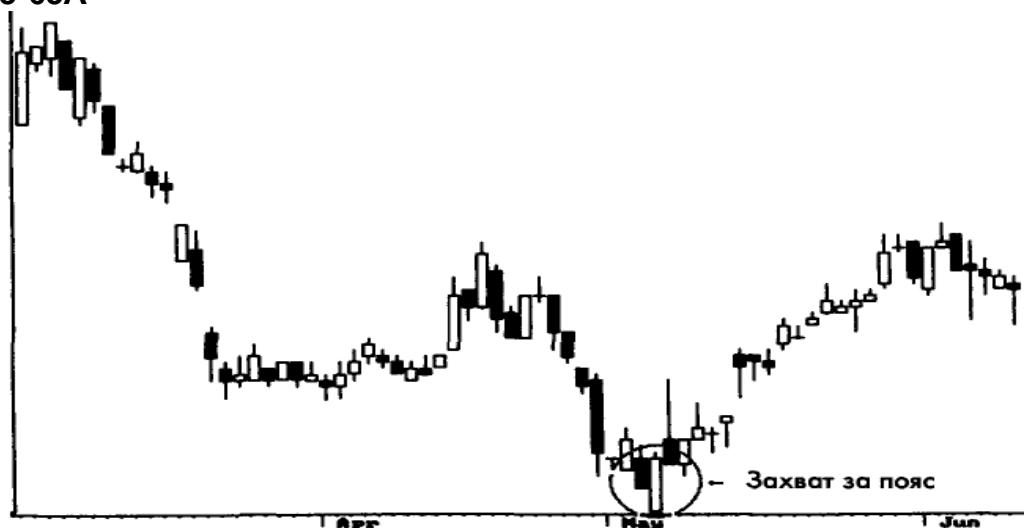
Модели, состоящие из одной свечи, не могут быть далее редуцированы.

### Родственные модели

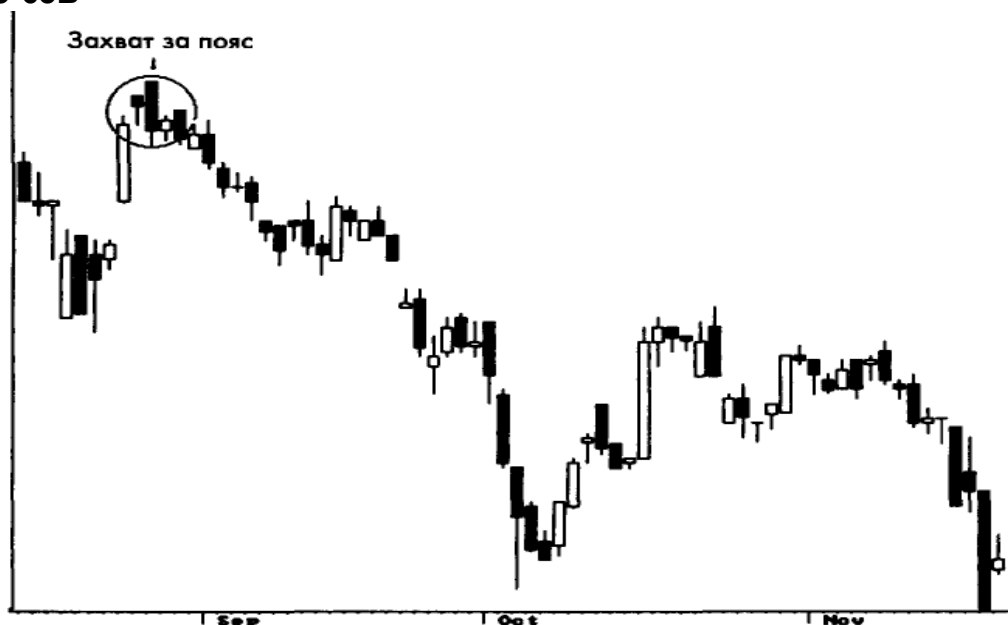
Модель *захват за пояс* — это то же самое, что и *марибозу открытия*, обсуждавшаяся в главе 2. Как и *марибозу*, *захват за пояс* является первым днем многих более сложных свечных моделей.

### Примеры

#### РИСУНОК 3-65А



#### РИСУНОК 3-65В

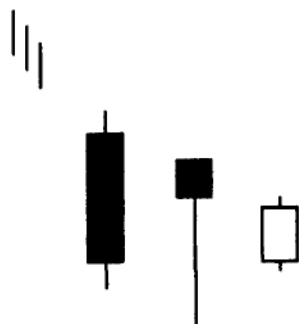


## Особая впадина «три реки» (Unique Three River Bottom) (*санкава соко зукае*)

Бычья разворотная модель.

Подтверждение не необходимо, но желательно.

РИСУНОК 3-66



### Комментарий

Как показано на рис. 3-66, особая впадина «три реки» — модель, чем-то схожая с утренней звездой. Сначала при понижательном тренде формируется длинное черное тело. На следующий день торговая сессия открывается выше, цены опускаются к новому минимуму, а затем закрываются вблизи максимума, в результате чего образуется маленькое черное тело. Третий день открывается ниже, но все-таки выше минимума, возникшего на второй день. На третий день формируется маленькое белое тело, которое закрывается ниже цены закрытия второго дня. Особая впадина «три реки» — крайне редкая модель.

### Правила распознавания

1. Первый день — длинный черный день.
2. На второй день возникает *харам*, но его тело тоже черное.
3. Нижняя тень второго дня дает новый минимум.
4. Третий день — короткий белый день, расположенный ниже срединного дня.

### Сценарии и психология, стоящая за моделью

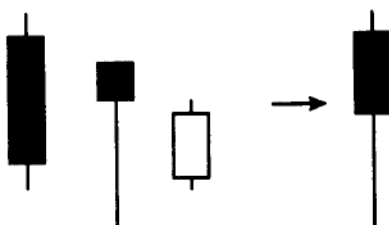
При развитии понижательного тренда возникает длинный черный день. Следующий день открывается выше, но действия медведей приводят к образованию нового минимума. Затем наступает оживление, ставящее под вопрос силу медведей. Такая нерешительность и недостаток стабильности продолжают усиливаться в момент еще более низкого открытия рынка на третий день. Стабильность приходит вместе с маленьким белым телом третьего дня. Если на четвертый день цены вырастают до новых максимумов, разворот тренда получает подтверждение.

### Гибкость модели

Поскольку это довольно необычная и точная модель, в ней нет особенной гибкости. Если нижняя тень второго дня была достаточно длинной, вероятность разворота оказывается большей. Иногда в литературе второй день похож на молот. Как и в случае многих разворотных моделей, если объем торговли поддерживает разворот, вероятность реализации модели повышается.

### Преобразование модели

РИСУНОК 3-67



---

Модель *особая впадины «три реки»* сводится к одной-единственной свече, которая, скорее всего, окажется *молотом* (рис. 3-67). Нижняя тень должна быть по крайней мере в два раза длиннее тела, чтобы эта свеча оказалась молотом, что в данном случае вполне вероятно из-за длинной нижней тени второго дня. *Молот* полностью поддерживает бычий характер модели *особая впадина «три реки»*.

### Родственные модели

Эта модель в чем-то сходна с *утренней звездой*, но выглядит совершенно иначе. В японской литературе это часть метода Сакаты (см. главу 5).

### Примеры

**РИСУНОК 3-68**



## Три белых солдата (Three White Soldiers) (ака санней)

Бычья разворотная модель. Подтверждение не требуется.

РИСУНОК 3-69



### Комментарий

Модель *три белых солдата* — принципиально важная часть метода Сака-ты, описанного в главе 5. Она состоит из ряда длинных белых свечей, цена закрытия каждой из которых выше, чем предыдущей. Лучше всего, если каждая сессия открывается в середине торгового диапазона (тела) предыдущего дня. Такая «лесенка» носит вполне бычий характер и показывает, что понижательный тренд внезапно закончился.

### Правила распознавания

1. Последовательно появляются три длинных белых свечи, цена закрытия каждой из которых выше предыдущей.
2. Каждая цена открытия находится внутри тела предыдущей свечи.
3. Каждая свеча закрывается на дневном максимуме или вблизи него.

### Сценарии и психология, стоящая за моделью

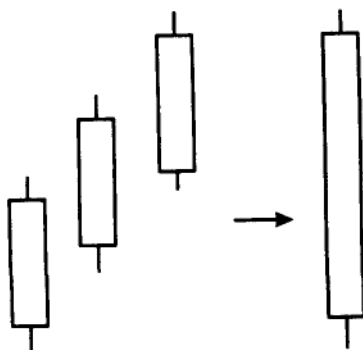
Модель *три белых солдата* появляется во время понижательного тренда и указывает на важный разворот рынка. Каждая торговая сессия открывается ниже, но затем закрывается на новом краткосрочном максимуме. Такой тип ценового поведения носит ярко выраженный бычий характер, и его нельзя игнорировать.

### Гибкость модели

Цена открытия второго и третьего дня может быть в любой точке предшествующего тела. Тем не менее лучше, если цена открытия находится над срединной точкой тела предыдущего дня. Помните о том, что, когда открывается торговая сессия, на рынке должно присутствовать достаточно большое количество медведей, чтобы день открылся ниже предыдущей цены закрытия. Это предполагает, что здоровый рост всегда сопровождается некоторым сопротивлением.

### Преобразование модели

РИСУНОК 3-70



---

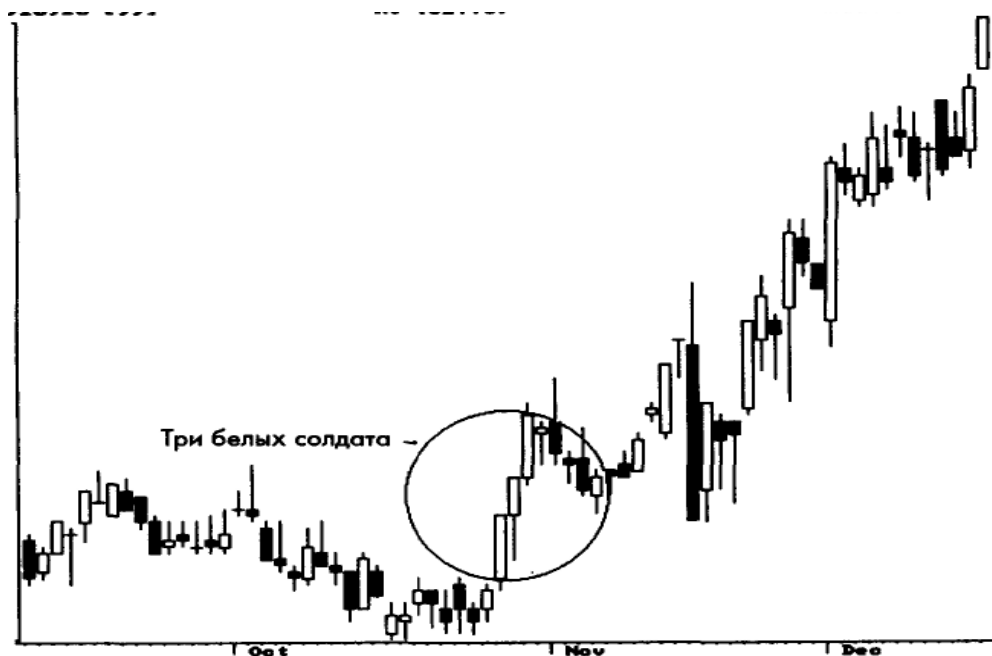
Модель *три белых солдата* сводится к очень длинной белой бычьей свече (рис. 3-70). Это полностью поддерживает характер модели, что делает подтверждение излишним.

### Родственные модели

См. две следующих модели — *отбитое наступление* и *размышление*.

### Примеры

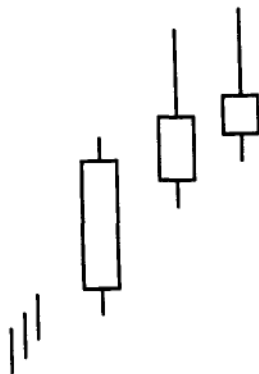
### РИСУНОК 3-71



## Отбитое наступление (Advance Block) (саки зумари)

Медвежья разворотная модель. Предполагается подтверждение.

РИСУНОК 3-72



### Комментарий

Как показано на рис. 3-72, эта модель является вариантом модели *три белых солдата*. Однако она должна появляться при повышательном тренде, в то время как *три белых солдата* возникают при понижательном. В отличие от модели *три белых солдата* второй и третий день модели *отбитая атака* выказывают слабость. Длинные верхние тени показывают, что ценовые экстремумы, достигнутые в течение дня, не удастся удержать. Такой тип поведения после повышательного тренда и тем более два дня подряд заставляет нервничать любых участников рынка, настроенных по-бычьему, особенно если повышательный тренд длился достаточно долго.

Помните, что эта модель появляется при повышательном тренде. Большинство многодневных моделей начинается с длинного дня, поддерживающего существующий тренд. Два дня с длинными верхними тенями показывают, что на рынке фиксируется прибыль, поскольку рост теряет свою силу.

### Правила распознавания

1. Появляются три белых дня со все более высокими ценами закрытия.
2. Цена открытия каждого дня находится внутри тела предыдущего.
3. На окончательное ослабление повышательного тренда указывают длинные верхние тени второго и третьего дней.

### Сценарии и психология, стоящая за моделью

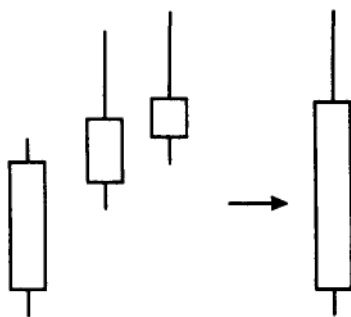
Сценарий, подразумеваемый моделью *отбитая атака*, весьма схож с событиями, которые могли бы иметь место во время формирования модели *три белых солдата*. Однако эта ситуация не материализуется в мощном подъеме. Скорее, после первого дня происходит ослабление, поскольку цена закрытия существенно ниже, чем дневной максимум. Третий день не менее слабый, чем второй. Помните, что относительная слабость этой модели видна при сравнении с моделью *три белых солдата*.

### Гибкость модели

Определить ослабление трудно. Хотя эта модель начинается так же, как и *три белых солдата*, она не обладает повышательной мощностью, и каждый день демонстрирует все меньшее тело и все более длинные тени. Второй и третий дни должны торговаться выше их цен закрытия.

## Преобразование модели

РИСУНОК 3-73



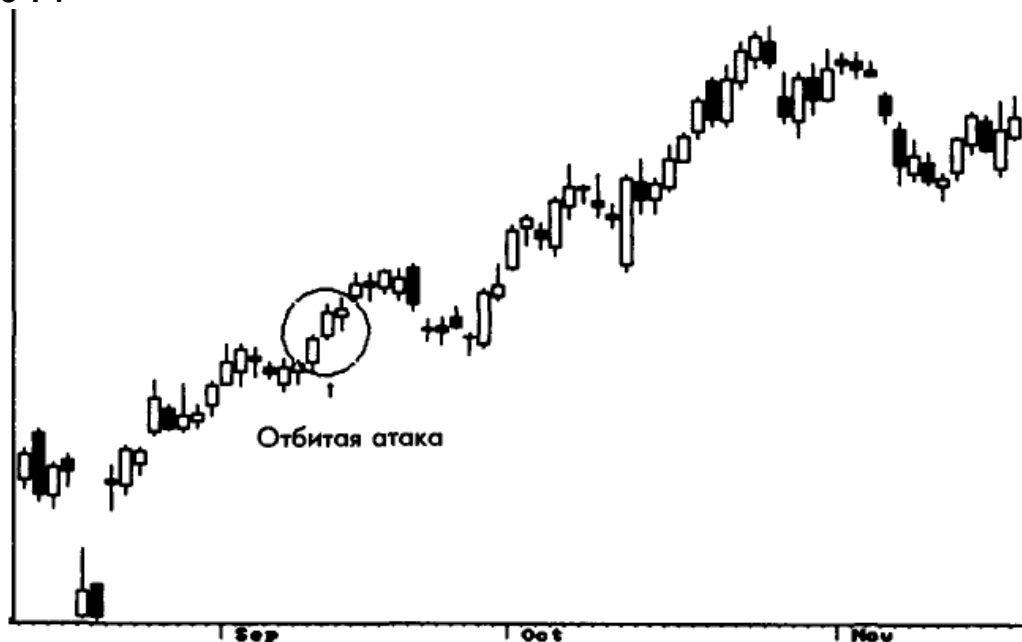
Модель *отбитая атака* сводится к длинной белой свече, хотя она и не настолько длинная, как в случае разбиения модели *три белых солдата* (рис. 3-37). Кроме того, такая длинная белая свеча обладает длинной верхней тенью, указывающей на то, что цены закрытия совсем не так высоки, как бывали во время этих торговых сессий. Из-за этого *отбитая атака* рассматривается как медвежья модель. В большинстве случаев это означает лишь, что следовало бы подстраховать длинные позиции следящей остановкой.

### Родственные модели

Это вариация модели *три белых солдата* (обсуждалась ранее) и модели *размышление* (разбирается далее).

### Примеры

РИСУНОК 3-74

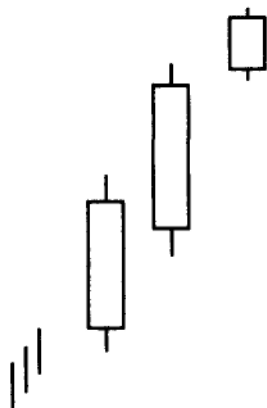




## Размышление (Deliberation) (ака сансей сиан боен)

Медвежья разворотная модель. Предполагается подтверждение.

РИСУНОК 3-75



### Комментарий

Как показано на рис. 3-75, модель *размышление* также является вариацией модели *три белых солдата*. Две первые длинные белые свечи достигают новых максимумов, а за ними следует маленькая белая свеча или звезда. Некоторые источники называют эту модель моделью *торможения*. Лучше всего, если между вторым и последним днем существует разрыв вверх. Обладая маленьким телом, последний день указывает на нерешительность, которая может остановить повышательное движение. Эта нерешительность и является временем размышления. Последующее подтверждение может с легкостью превратить эту модель в *вечернюю звезду*.

### Правила распознавания

1. Первый и второй дни обладают длинными белыми телами.
2. Третий день открывается вблизи цены закрытия второго дня.
3. Третий день оказывается волчком или, что наиболее вероятно, звездой.

### Сценарии и психология, стоящая за моделью

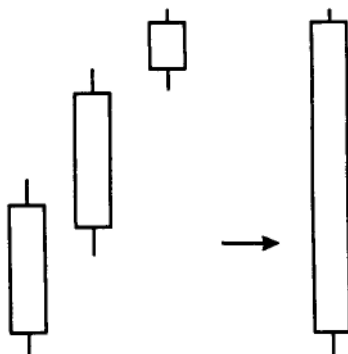
Эта модель демонстрирует слабость, сходную с моделью *отбитая атака*, в том смысле, что ослабление происходит в короткий период времени. Разница состоит в том, что здесь вся слабость проявляется в последний день. Модель *размышление* появляется после продолжительного повышательного движения и показывает, что тренды не могут продолжаться вечно. Как и в случае *отбитой атаки*, определить ослабление тренда может оказаться сложно.

### Гибкость модели

ЕСЛИ третье белое тело, кроме всего прочего, является звездой, следите за следующим днем, который может привести к образованию модели *вечерняя звезда*.

### Преобразование модели

РИСУНОК 3-76



---

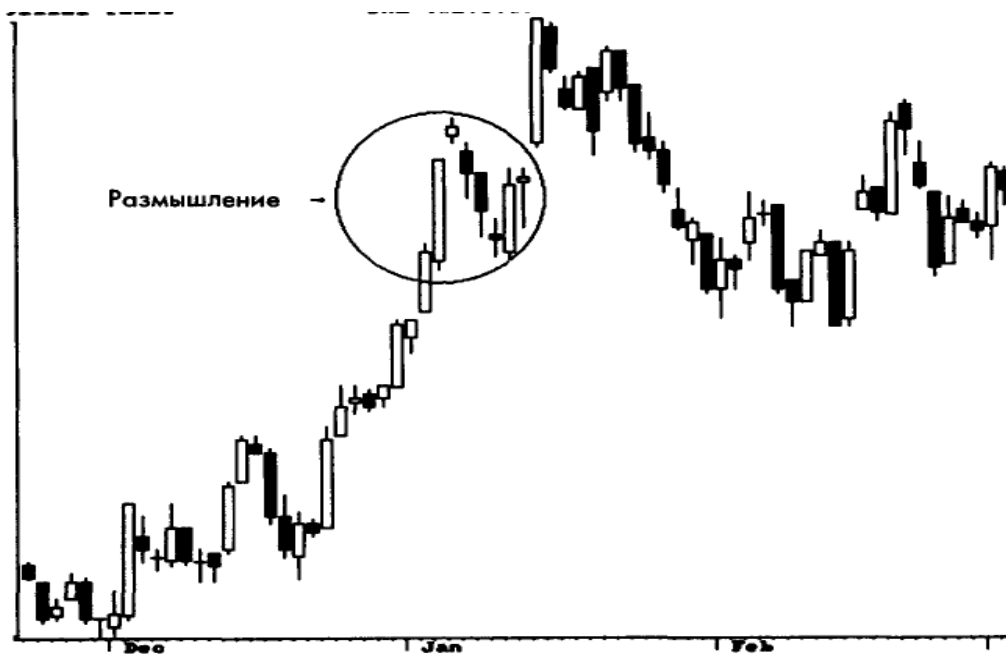
Модель размышление сводится к длинной белой свече (рис. 3-76). Это находится в прямом противоречии с самой моделью, что и предполагает необходимость дальнейшего подтверждения. Разрыв вниз на следующий день привел бы к появлению *вечерней звезды* и, таким образом, поддержал бы медвежий характер данной модели.

### Родственные модели

См. две предыдущих модели — *три белых солдата* и *отбитая атака*.

### Примеры

#### РИСУНОК 3-77



## Три черные вороны (Three Black Crows) (санба гарасу)

Медвежья разворотная модель. Подтверждение не требуется.

РИСУНОК 3-78



### Комментарий

Три черные вороны являются двойником модели *три белых солдата*. Возникая во время повышательного тренда, три длинных черных дня образуют «лесенку» вниз. «У плохих новостей есть крылья», — гласит древняя японская поговорка, вполне подходящая к этой модели. Каждый день открывается несколько выше цены закрытия предыдущего дня, но потом цены падают, чтобы вновь закрыться ниже. Когда это происходит трижды, это явное указание на разворот тренда. Однако в данном случае необходимо быть очень бдительным, так как сильное проседание цены может вызвать активность быков, желающих скупить актив по низкой цене.

### Правила распознавания

1. Появляются три последовательных длинных черных дня.
2. Каждый день цена закрытия все ниже.
3. Цена открытия каждого дня оказывается внутри тела предыдущего дня.
4. Каждый день закрывается на своем минимуме или вблизи него.

### Сценарии и психология, стоящая за моделью

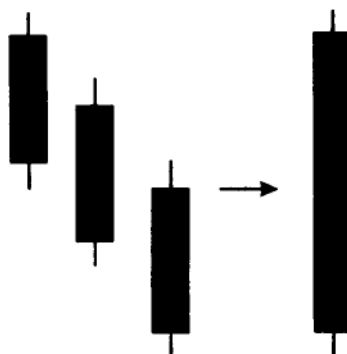
Рынок либо достиг вершины, либо некоторое время находился на высоком ценовом уровне. С появлением длинного черного дня цена решительно движется вниз. Следующие два дня сопровождаются дальнейшим падением цен, вызванным значительным числом продаж и фиксацией прибыли. Такое поведение цен — погребальный звон по быкам.

### Гибкость модели

Лучше всего было бы увидеть тело первой свечи модели *три черные вороны* под максимумом предыдущего белого дня. Это усиливало бы медвежий характер данной модели.

### Преобразование модели

РИСУНОК 3-79



Модель *три черные вороны* сводится к длинной черной свече, которая полностью согласуется с медвежьим характером этой модели (рис. 3-79).

---

## Родственные модели

Более жесткая версия — модель *три одинаковые вороны* (см. следующую модель).

## Примеры

### РИСУНОК 3-80



---

## Три одинаковые вороны (Identical Three Crows) (доджи саиба гарасу)

Медвежья разворотная модель. Подтверждение не требуется.

РИСУНОК 3-81



### Комментарий

Это особый случай модели три *черные вороны*, которую мы обсудили ранее. Разница между ними состоит в том, что второй и третий черные дни открываются на уровне цены закрытия предыдущего дня или вблизи него (рис. 3-81).

### Правила распознавания

1. Три длинных черных дня образуют нисходящую «лесенку».
2. Цена открытия каждого дня равна цене закрытия предыдущего.

### Сценарии и психология, стоящая за моделью

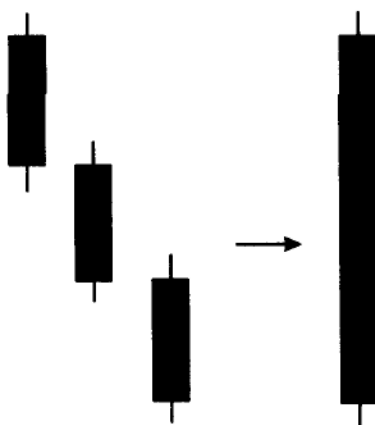
Эта модель говорит о панической продаже, которая еще больше усиливает понижательное движение цены. Цена закрытия каждого дня устанавливает планку для цены открытия следующего торгового дня. Эта модель демонстрирует значительное ослабление покупателей.

### Гибкость модели

Поскольку данная модель является особым случаем *трех черных ворон*, в ней почти полностью отсутствует гибкость.

### Преобразование модели

РИСУНОК 3-82



Как и *три черные вороны*, модель *три одинаковые вороны* сводится к длинной черной свече (рис. 3-82). Это полностью соответствует медвежьему характеру самой модели.

## Родственные модели

Модель является вариацией *трех черных вороны*.

## Примеры

### РИСУНОК 3-83



## Пробой (Breakaway) (*ханаре сайте но синте зукае*)

Рекомендуется дождаться подтверждения, особенно в случае медвежьего характера модели.

РИСУНОК 3-84

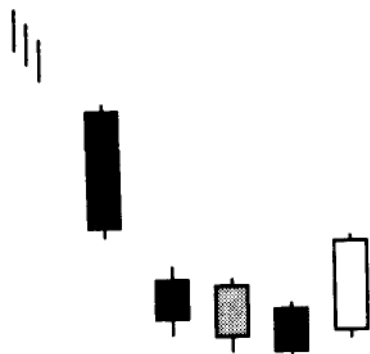


РИСУНОК 3-85



### Комментарий Бычий пробой

Бычья модель *пробой* появляется во время понижательного тренда и демонстрирует активизацию продаж, которая, возможно, загоняет цену в зону перепроданности. Модель начинается с длинного черного дня, за которым следует еще один черный день, тело которого имеет разрыв вниз с предыдущим днем (рис. 3-84). После этого разрыва вниз следующие три дня ведут ко все более низким ценам. Все дни в этой модели черные за исключением третьего дня, который может быть как черным, так и белым. Три дня, следующие за разрывом, сходны с моделью три *черные вороны*, поскольку их максимумы и минимумы образуют нисходящую последовательность. Последний день полностью аннулирует все предшествующие дни с маленькими черными телами. В этот день закрытие происходит внутри разрыва между первым и вторым днями модели.

### Медвежий пробой

Медвежья модель *пробой* содержит разрыв в направлении тренда, за которым следуют три дня со все более высокими ценами (рис. 3-85). При повышательном тренде формируется длинная белая свеча. Затем на следующий день происходит ценовой разрыв вверх, и формируется еще одна белая свеча. За этим следуют еще два дня повышения цен. Цвет всех этих дней должен быть белым лишь с одним исключением: третий день модели или второй день после разрыва может быть как белым, так и черным, главное, чтобы был достигнут новый максимум. Дневные минимумы всех трех дней после разрыва должны превышать минимальные цены предшествующих дней. Идея модели состоит в следующем: цены ускоряются в направлении тренда, что ведет к возникновению ситуации перепроданности. Последний день знаменует собой разворот тренда, когда цена закрытия оказывается внутри ценового разрыва первого и второго дней.

В японской литературе не обсуждается медвежья версия модели пробой. Я решил протестировать эту модель и обнаружил, что она работает достаточно хорошо. Результаты тестирования можно найти в главе 6.

### Правила распознавания

1. Первый день является длинным, а его цвет соответствует направлению тренда.
2. Второй день имеет тот же цвет, а его тело совершает разрыв в направлении тренда.
3. Третий и четвертый дни поддерживают существующее направление тренда, а их цены закрытия возрастают в направлении тренда.
4. Пятый день оказывается длинным днем противоположной окраски, торговая сессия в этот день закрывается внутри разрыва между телами первого и второго дней.

### Сценарии и психология, стоящая за моделью

Очень важно понять сопутствующие этой ситуации обстоятельства: тренд ускоряется после появления большого разрыва, а затем начинает пробуксовывать, сохраняя, однако, движение в том же направлении. Медленное ослабление тренда вполне очевидно в этой модели. И наконец, рывок в противоположном направлении полностью раскрывает смысл происходящего в последние три

дня. Имеет место краткосрочный разворот.

### Гибкость модели

Поскольку данная модель сложна по своему строению, трудно говорить о ее гибкости. До тех пор пока основные предпосылки модели сохраняются, она обладает некоторой гибкостью. После разрыва могло бы пройти более трех дней, если последний день данной модели закрывается внутри первоначального разрыва. Вполне возможно, что после разрыва пройдет всего два дня.

### Преобразование модели

РИСУНОК 3-86

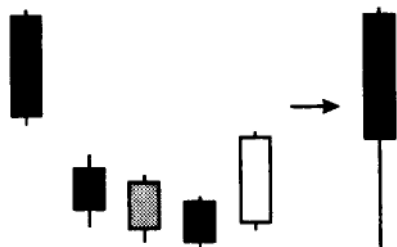
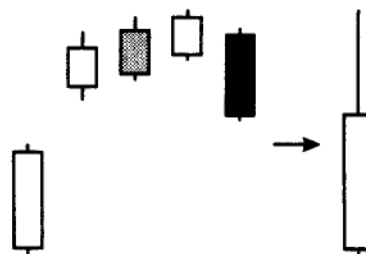


РИСУНОК 3-87



Вероятно, что бычья модель *пробой* сведется к молоту (рис. 3-86). Для того чтобы редуцированную свечу можно было квалифицировать как *молот*, ее нижняя тень должна быть в два раза длиннее тела. Это вполне возможно, если разрыв, возникший на второй день, велик и сопровождается существенно более низкими ценами на третий и четвертый дни. Это, без сомнения, согласуется с характером модели.

Медвежья модель *пробой* сводится к длинной свече с белым телом в нижней части ее ценового диапазона (рис. 3-87). Скорее всего, эта свеча не будет падающей *звездой* из-за большого разрыва, появляющегося на второй день, и последующего роста цен. По всей видимости, медвежья модель *пробой* требовала бы дальнейшего подтверждения для того, чтобы принять решение продавать.

### Родственные модели

Из-за сложности модели родственных у нее нет.

### Примеры

РИСУНОК 3-88А

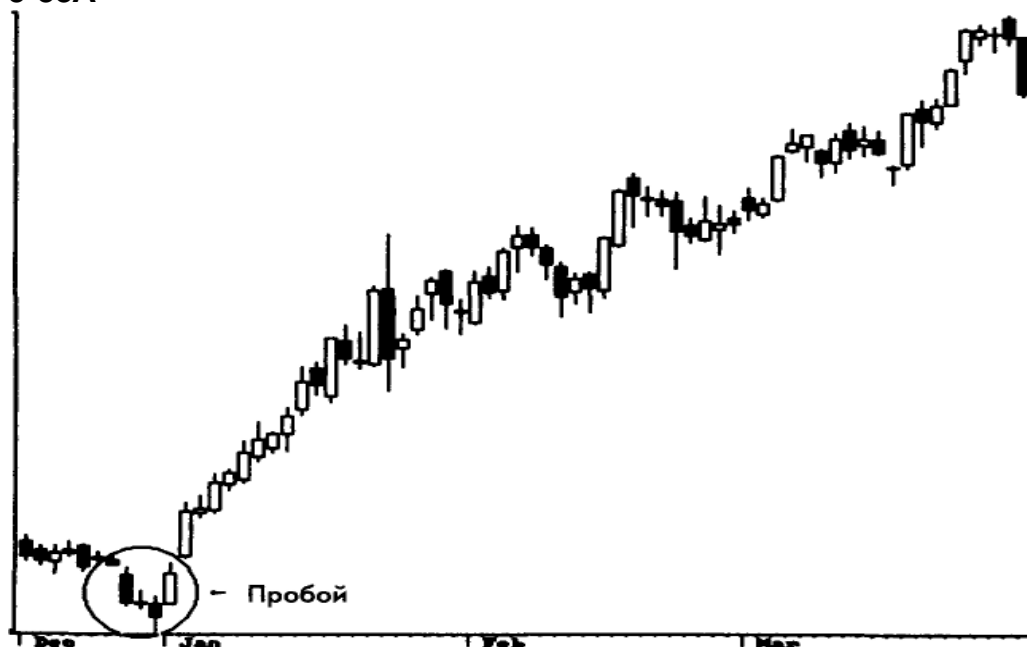
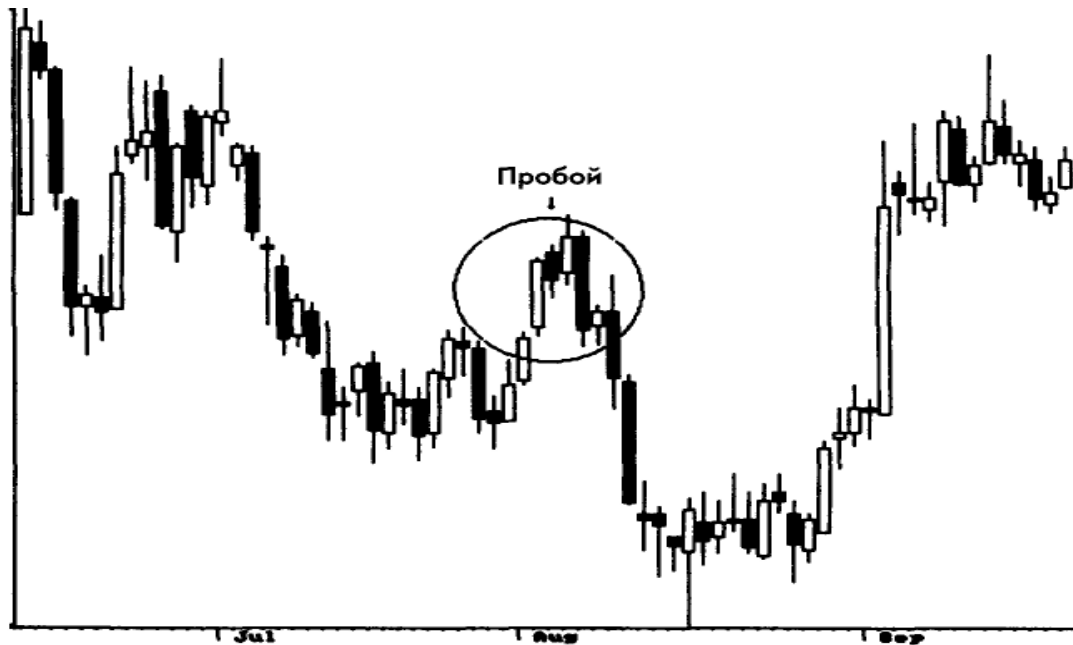




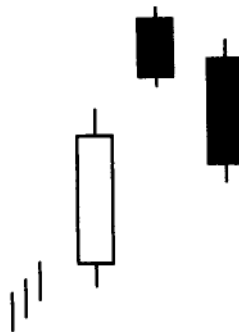
РИСУНОК 3-88В



### Две вороны (Two Crows) (нива гарасы)

Медвежья разворотная модель. Предполагается подтверждение.

РИСУНОК 3-89



#### Комментарий

Эта модель хороша лишь как модель разворота на вершине или медвежья модель. Повышательный тренд поддерживается длинным белым днем. На следующий день происходит значительный разрыв вверх, однако сессия закрывается вблизи дневного минимума, но при этом все-таки выше тела первого дня. Следующий (третий) день открывается внутри черного тела второго дня, а затем цены падают внутрь тела первого дня. Это закрывает разрыв и дает нам модель *темные облака*, если два последних дня модели *две вороны* свести к одной-единственной свече. Тот факт, что разрыв оказался так быстро заполнен, отчасти противоречит традиционному подходу к анализу разрывов, который указывал бы на продолжение тренда.

#### Правила распознавания

1. Длинный белый день продолжает тренд.
2. На второй день происходит разрыв наверх, и этот день имеет черное тело.
3. Третий день также имеет черный цвет.
4. Третий день открывается внутри тела второго дня и закрывается внутри тела первого.

### Сценарии и психология, стоящая за моделью

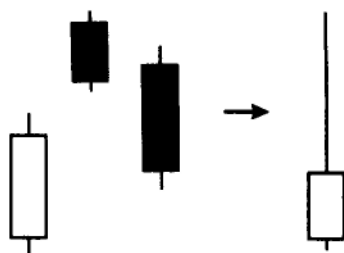
Долгое время рынок рос. Разрыв наверх, за которым последовала более низкая цена закрытия второго дня модели, показывает некоторую слабость ценового роста. Третий день открывается выше, но не так высоко, как предыдущий день, а затем цены падают. Сессия закрывается глубоко внутри тела первого дня. Таким образом, разрыв заполняется уже после второго дня. Бычьи настроения быстро выветриваются.

### Гибкость модели

Модель *две вороны* носит несколько более выраженный медвежий характер, чем модель *две взлетевшие вороны*. Третий день является длинным черным, которому всего лишь нужно закрыться внутри тела первого дня. Чем длиннее черный день и чем ниже его цена закрытия, тем более выражен медвежий характер модели.

### Преобразование модели

#### РИСУНОК 3-90



Разумно предположить, что, скорее всего, модель *две вороны* сведется к падающей звезде (рис. 3-90). Это согласуется с ее медвежьим характером.

### Родственные модели

Модель *две вороны* сходна с *темными облаками*, поскольку тоже указывает на образование на рынке краткосрочной вершины. Если второй и третий дни модели свести к одной свече, модель превратится в *темные облака*. Модель *две взлетевшие вороны* несколько отличается, так как третий день не закрывается внутри тела первого. Кроме того, это слабая версия *вечерней звезды* — с той разницей, что между вторым и третьим телами нет разрыва.

### Примеры

#### РИСУНОК 3-91



## Три дня изнутри вверх и три дня изнутри вниз (Three Inside Up and Three Inside Down) (*карами аге* и *карами саге*)

Подтверждение не требуется.

РИСУНОК 3-92

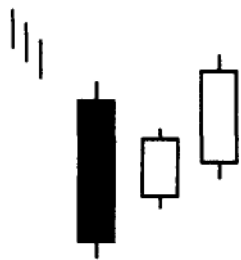
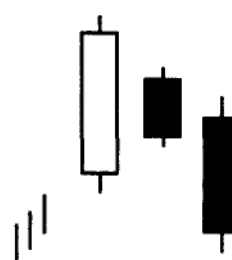


РИСУНОК 3-93



### Комментарий

Модели *три дня изнутри вверх* и *три дня изнутри вниз* являются подтверждениями для модели *хорами*. Как показано на рис. 3-92 и 3-93, первые два дня этих моделей — именно *хорами*. Третий день дает подтверждающую цену закрытия как в бычьем, так и в медвежьем случаях. Бычья *хорами*, за которой на третий день следует более высокое закрытие, окажется моделью *три дня изнутри вверх*. Аналогичным образом медвежья *хорами* с более низкой ценой закрытия на третий день будет моделью *три дня изнутри вниз*.

В японской литературе нет никаких ссылок на модели *три дня изнутри вверх* и *три дня изнутри вниз*. Я разработал их ради повышения общей результативности модели *хорами*, и они работают достаточно хорошо.

### Правила распознавания

1. Сначала с использованием всех ранее описанных правил идентифицируется *хорами*.
2. Третий день дает более высокую цену закрытия для трех *дней изнутри вверх* и более низкую — для трех *дней изнутри вниз*.

### Сценарии и психология, стоящая за моделью

Модель, будучи подтверждением для *хорами*, может указывать на успешность *хорам* и только при движении цены в прогнозируемом направлении.

### Гибкость модели

Поскольку данная модель является подтверждением для *харами*, ее гибкость будет такой же, что и в случае *харами*. Степень поглощения и размер второй свечи могут усиливать или ослаблять модель.

### Преобразование модели

РИСУНОК 3-94

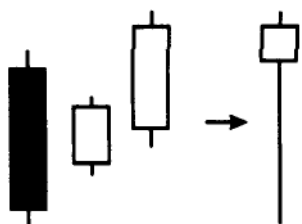
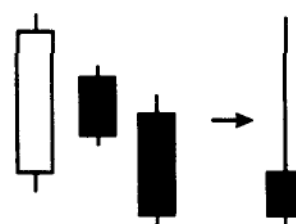


РИСУНОК 3-95



Бычья модель *три дня изнутри вверх* сводится к бычьему *молоту*, что соответствует характеру модели (рис. 3-94). Медвежья модель *три дня изнутри вниз* сводится к медвежьей *падающей звезде*, что также поддерживает характер самой модели (рис. 3-95).

### Родственные модели

Модели *харамии* и *крест харамии* являются частями данных моделей.

### Примеры

РИСУНОК 3-96А



РИСУНОК 3-96В



## Три внешних дня вверх и три внешних дня вниз (Three Outside Up and Three Outside Down)

(*харамии аге* и *цуцуми саге*)

Подтверждение не требуется.

РИСУНОК 3-97



РИСУНОК 3-98



### Комментарий

Три внешних дня вверх и три внешних дня вниз являются подтверждением для моделей поглощения (рис. 3-97 и 3-98). Они сходны с моделями три дня *изнутри вверх* и три дня *изнутри вниз*, включая и то, как они работают с *хорами*. В данном случае за моделью поглощения следует либо более высокая, либо более низкая цена закрытия третьего дня, в зависимости оттого, является ли модель повышательной или понижательной.

В японской литературе нет упоминаний моделей три внешних дня *вверх* и три внешних дня *вниз*. Они были разработаны мною с целью повышения эффективности общих результатов моделей поглощения и достаточно хорошо выполняют эту задачу.

### Правила распознавания

1. В соответствии со всеми установленными прежде правилами формируется модель поглощения.
2. На третий день происходит более высокое закрытие для модели три *внешних дня вверх* и более низкое закрытие в случае модели три *внешних дня вниз*.

### Сценарии и психология, стоящая за моделью

Модели, представляя собой подтверждение для моделей поглощения, лишь могут показать успешность прогноза соответствующей модели поглощения.

### Гибкость модели

Подтверждающие модели не могут обладать большей гибкостью, чем базовые. Сила подтверждения, полученного на третий день, может влиять на прогностическую значимость модели.

### Преобразование модели

РИСУНОК 3-99

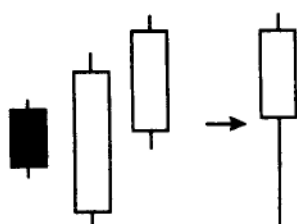
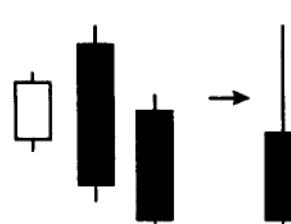


РИСУНОК 3-100



Бычья модель три внешних дня *вверх* сводится, вероятно, к *молоту* (рис. 3-99), а медвежья модель три внешних дня *вниз* сводится, вероятнее всего, к *падающей звезде* (рис. 3-100). Я использовал слово «вероятно», поскольку разница между ценой открытия первого дня и ценой закрытия третьего дня может оказаться существенной, что сделало бы невозможным

редуцирование моделей до свечей молот и *падающая звезда*. Главное здесь то, что цвета тел преобразованных свечей соответствуют характеру моделей.

### Родственные модели

Модель поглощение является составной частью данных моделей.

### Примеры

РИСУНОК 3-101А



РИСУНОК 3-101В



## Три звезды на юге (Three Star in the South) (киоку но сантен боси)

Бычья разворотная модель. Предполагается подтверждение.

РИСУНОК 3-102



### Комментарий

Эта модель указывает на медленное ослабление понижательного тренда, поскольку дневное движение цены становится все меньше и меньше, а минимальные дневные цены — все выше и выше (рис. 3-102). Критическим моментом для модели является длинная нижняя тень первого дня, поскольку это первый знак появления энтузиазма у покупателей. Цена открытия на следующий день оказывается выше, затем цены падают, но все-таки остаются выше минимума предыдущего дня. Второй день также закрывается выше своего минимума. Третий день — черная *марибозу*, которая поглощается торговым диапазоном предыдущего дня.

### Правила распознавания

1. Первый день — длинный черный день с длинной нижней тенью (он схож с молотом).
2. Второй день в целом обладает той же формой, что и первый, но он меньше. Его минимум оказывается выше минимума предыдущего дня.
3. Третий день — маленькая черная *марибозу*, которая открывается и закрывается внутри торгового диапазона предыдущего дня.

### Сценарии и психология, стоящая за моделью

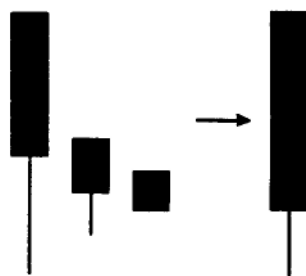
Имеет место понижательный тренд, когда после образования нового минимума рост цен приводит к закрытию торговой сессии на уровне, значительно превышающем дневной минимум. Это вызовет некоторую обеспокоенность игроков, имеющих короткие позиции, поскольку указывает на покупательные силы, которые до этого момента не проявлялись. Следующий день открывается выше, что позволяет некоторым игрокам с длинными позициями закрыть их. Однако цена открытия оказывается дневным максимумом. Торговля ведется на более низком уровне, но все же выше, чем накануне, что приводит к закрытию сессии над ее минимумом. Теперь в силу более высокого минимума медведи, несомненно, обеспокоены. Последняя свеча — это день нерешительности, с очень незначительным движением цены. Каждый, кто еще остался в короткой позиции, не захочет увидеть дальнейший рост цен.

### Гибкость модели

Последний день этой модели мог бы иметь небольшие тени, что, вероятно, не особенно отразится на результате. Главное, что каждый последующий день поглощается торговым диапазоном предыдущего дня.

## Преобразование модели

РИСУНОК 3-103



Эта модель сводится к длинной черной свече, которая обычно носит вполне медвежий характер (рис. 3-103). Из-за такого конфликта определенно следовало бы подождать подтверждения.

## Родственные модели

Данная модель несколько сходна с *тремя черными воронами*, однако здесь не наблюдается последовательного снижения дневных минимумов, а тело последнего дня не оказывается длинным. Конечно, эта модель носит бычий характер, в то время как *три черные вороны* — модель медвежья.

## Примеры

РИСУНОК 3-104





## Прячущаяся ласточка (Concealing Baby Swallow) (коцубаме цуцуми)

Бычья разворотная модель. Подтверждение не требуется.

РИСУНОК 3-105



### Комментарий

Появление двух черных *марибозу* указывает на силу понижательного тренда (рис. 3-105). На третий день понижательный тренд начинает ослабевать, часть времени торговля происходит выше цены открытия. Это особенно важно, поскольку между ценой закрытия предыдущего дня и ценой открытия возникает разрыв вниз. Четвертый день полностью поглощает третий, включая и его верхнюю тень. Даже несмотря на то, что при закрытии возникает новый минимум, скорость предыдущего понижательного тренда существенно снижается, и короткие позиции следовало бы закрыть или защитить следящей остановкой.

### Правила распознавания

1. Первые два дня этой модели — две черные *марибозу*.
2. Третий день черный, цена открытия совершает разрыв вниз. Однако торговля в этот день происходит внутри тела предыдущего дня, что приводит к образованию длинной верхней тени.
3. Четвертый черный день полностью поглощает третий, включая тень.

### Сценарии и психология, стоящая за моделью

Всякий раз, когда понижательный тренд продолжается двумя черными *марибозу*, медведи испытывают возбуждение. Затем на третий день при открытии торгов происходит разрыв вниз, что еще более подогревает эмоции. Однако торговля в этот день ведется выше цены закрытия предыдущего дня, что вызывает некоторую обеспокоенность по поводу понижательного тренда, даже несмотря на то что день закрывается на своем минимуме или вблизи него. Следующий день открывается значительно выше и с разрывом. Тем не менее после открытия рынок идет вниз и закрывается на новом минимуме. Этот последний день дает игрокам с короткими позициями прекрасную возможность их закрыть.

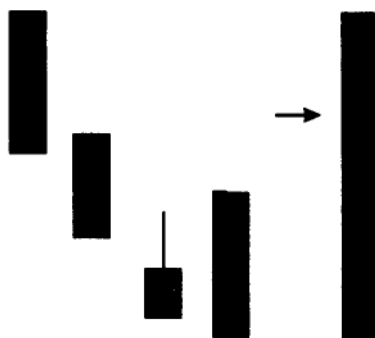
### Гибкость модели

Это очень жесткая модель, не допускающая значительной гибкости. Разрыв между вторым и третьим днями необходим, а верхняя тень третьего дня должна простираться внутрь тела предыдущего дня. Кроме того, четвертый день должен полностью поглощать торговый диапазон предыдущего дня. Чтобы все эти требования были выполнены, можно допустить лишь небольшие изменения в относительных размерах свечей.

### Преобразование модели

Эта модель сводится к длинному черному дню, который почти всегда рассматривается как медвежья модель (рис. 3-106). Из-за такого прямого противоречия модель требует подтверждения.

РИСУНОК 3-106

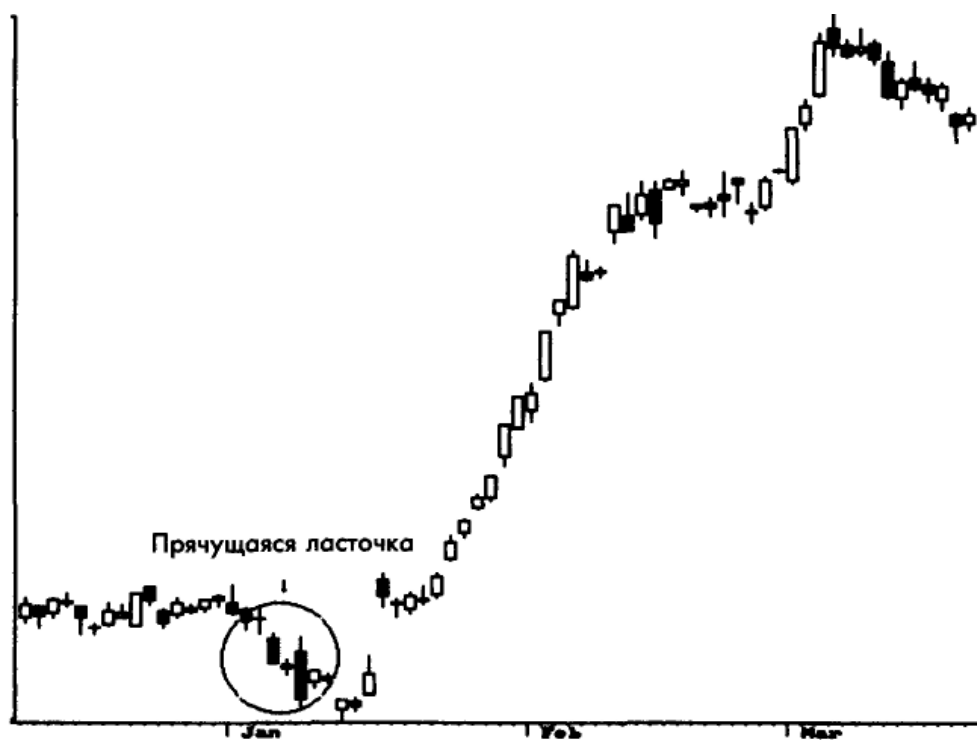


### Родственные модели

*Прячущаяся ласточка* — модель, сходная с *тремя черными воронами*, как и модель *три звезды на юге*. Тем не менее, *три черные вороны* — модель медвежья, и, чтобы оказаться надежной, она должна появляться при повышательном тренде, в то время как данная модель возникает при понижательном тренде. Начало модели сходно с моделью *ступенчатое дно*.

### Примеры

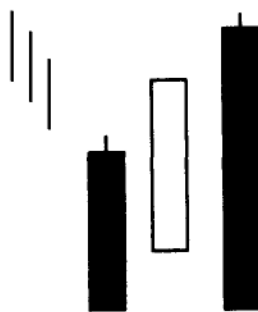
РИСУНОК 3-107



## Прилипший сэндвич (Stick Sandwich) (*гуакусаси нитей зоко*)

*Бычья разворотная модель. Предполагается подтверждение.*

РИСУНОК 3-108



### Комментарий

В модели *прилипший сэндвич* между двумя черными телами находится белое (рис. 3-108). Цены закрытия двух черных тел должны быть равны. Уровень поддержки найден, и возможность разворота достаточно велика.

### Правила распознавания

1. При понижательном тренде за черным телом следует белое тело дня, когда торговля ведется выше цены закрытия черного тела.
2. Третий день оказывается черным, а его цена закрытия равна цене закрытия первого дня.

### Сценарии и психология, стоящая за моделью

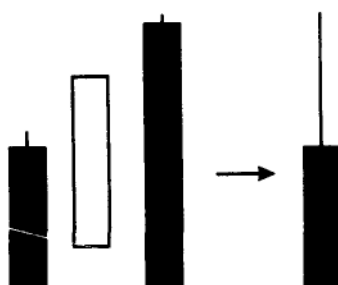
На рынке господствует устойчивый понижательный тренд. На следующий торговый день цена открытия оказывается выше и цены весь день растут, закрываясь на своем максимуме или близко к нему. Такое поведение цен предполагает, что предыдущий понижательный тренд, вероятно, развернулся и что короткие позиции следовало бы защитить стоп-ордером, если не закрыть. На следующий день торговля открывается еще выше, что должно вызвать волну закрытия позиций, но затем цены идут вниз, чтобы закрыться там же, где и два дня назад. Каждый, кто не замечает уровней поддержки и сопротивления, подвергается на рынке исключительному риску. Следующий торговый день обо всем скажет.

### Гибкость модели

Некоторые японские справочники в качестве уровня поддержки двух черных дней используют минимальные цены. Использование цен закрытия дает более надежный уровень поддержки и, следовательно, лучшие шансы на разворот.

### Преобразование модели

РИСУНОК 3-109



*Прилипший сэндвич* сводится к *перевернутому молоту*, в случае если тело первого дня заметно меньше, чем торговый диапазон третьего дня (рис. 3-109). Если тело первого дня мало, а ценовой диапазон третьего дня (от максимума до минимума) в два или три раза больше диапазона первого

дня, эта модель сводится к бычьему *перевернутому молоту*. Однако, если все эти условия не выполняются, *прилипший сэндвич* сводится к черной свече, которая обычно рассматривается как медвежья. В результате модель требует подтверждения.

### Родственные модели

В большинстве случаев последние два дня этой модели сходны с медвежьей моделью поглощения. Необходимо заметить, что иногда лучше рассматривать уровни поддержки, а не медвежью свечную модель, предполагая, что предыдущий тренд не берется в расчет.

### Примеры

РИСУНОК 3-110



## Высокий прыжок (Kicking) (кери аси)

Подтверждение не требуется.

РИСУНОК 3-111



РИСУНОК 3-112



### Комментарий

Модель *высокий прыжок* сходна с моделью разделения свечей с той разницей, что вместо равенства цен открытия здесь наблюдается разрыв. Бычья модель *высокий прыжок* — это черная *марибозу*, за которой следует белая *марибозу* (рис. 3-111). Медвежья модель *высокий прыжок* — это белая *марибозу*, за которой следует черная *марибозу* (рис. 3-112). Некоторые японские теоретики утверждают, что будущее движение цены будет направлено в сторону более длинной свечи, независимо от ценового тренда. В случае этой модели направление тренда не настолько важно, как в случае большинства других свечных моделей.

### Правила распознавания

1. За *марибозу* одного цвета следует *марибозу* другого цвета.
2. Между двумя свечами существует разрыв.

### Сценарии и психология, стоящая за моделью

На рынке был тренд, когда на следующий день возник ценовой разрыв. В течение дня цены не попадали в диапазон предыдущего дня и затем закрылись еще с одним разрывом.

### Гибкость модели

Эта модель не допускает никакой гибкости. Если разрыва нет, образуется модель *разделения свечей* (модель продолжения).

### Преобразование модели

РИСУНОК 3-113

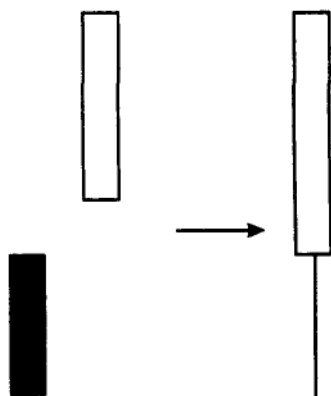
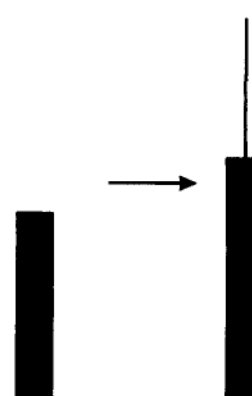


РИСУНОК 3-114



Бычья модель высокий прыжок сводится к длинной белой свече, обычно рассматриваемой как бычья (рис. 3-113). Медвежья модель высокий прыжок сводится к длинной черной свече, обычно рассматриваемой как медвежья (рис. 3-114).

### Родственные модели

Модель разделения свечей почти такая же за исключением разрыва и того факта, что *разделение свечей* является моделью продолжения.

### Примеры

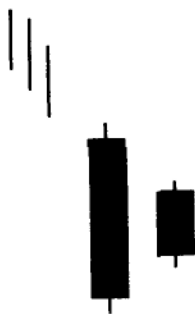
РИСУНОК 3-115



## Почтовый голубь (Homing Pigeon) (*сита банаре кобато гаеси*)

Бычья разворотная модель. Предполагается подтверждение.

РИСУНОК 3-116



### Комментарий

Почтовый голубь весьма похож на модель харолш, однако оба его тела чаще черные, чем противоположных цветов.

### Правила распознавания

1. При понижательном тренде появляется длинное черное тело.
2. Второе короткое черное тело находится полностью внутри тела предыдущего дня.

### Сценарии и психология, стоящая за моделью

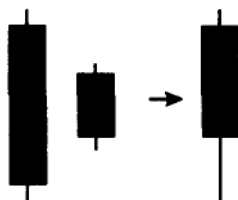
На рынке господствует понижательный тренд, и это еще раз доказывается образованием длинного черного тела. Следующая торговая сессия открывается выше, торговля ведется полностью внутри тела предыдущего дня, а затем происходит закрытие на несколько более низком уровне. В зависимости от силы предыдущего тренда эта модель указывает на ослабление тренда и дает возможность выйти из торговли.

### Гибкость модели

Двухдневная модель не предполагает большой гибкости.

### Преобразование модели

РИСУНОК 3-117



Модель почтовый голубь сводится к длинной черной свече с нижней тенью, которая, конечно, не является бычьей свечой (рис. 3-117). Это определенно предполагает подтверждение.

### Родственные модели

Похожие отношения между свечами модели существуют у *харамии*, но оба тела почтового голубя должны быть черными.

## Примеры

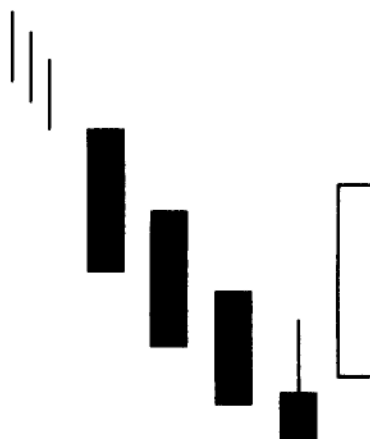
РИСУНОК 3-118



## Ступенчатое дно (Ladder Bottom) (*хасиго гаеси*)

*Бычья разворотная модель. Предполагается подтверждение.*

РИСУНОК 3-119



### Комментарий

После очевидного понижательного тренда с тремя последовательно снижающимися ценами закрытий в черные дни на четвертый день рынок торгуется выше, чем открылся (рис. 3-119). Такое поведение является первым указанием на появление у покупателей сил, даже несмотря на то, что рынок закрывается на новом минимуме. На следующий день происходит ценовой разрыв вверх, и цены больше не «оглядываются назад». Последний день закрывается намного выше, чем пара предыдущих.

### Правила распознавания

1. Появляются три длинных черных дня со все более низкими ценами открытия и закрытия, что очень похоже на модель три *черные вороны*.
2. Четвертый день — черный, с верхней тенью.
3. Последний день белый, с ценой открытия над телом предыдущего дня.



### Сценарии и психология, стоящая за моделью

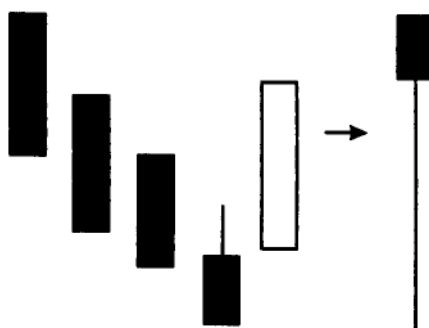
Некоторое время на рынке господствовал понижательный тренд, и медведи, без сомнения, пребывали в благодушном настроении. После значительного движения вниз цены поднялись выше цены открытия и почти достигли максимума предыдущего дня, но затем рынок закрылся на новом минимуме. Такое поведение рынка, несомненно, привлечет внимание игроков с короткими позициями, показывая им, что рынок не будет идти вниз вечно. Придется еще раз обдумать свои короткие позиции, и если прибыль достаточна, то на следующий день они будут закрыты. Это действие приводит к разрыву вверх на следующий день развития модели и к значительно более высокой цене закрытия. Если в последний день объем торговли велик, вероятно, тренд развернулся.

### Гибкость модели

Четыре черных дня модели *ступенчатое дно* могут быть, а могут и не быть длинными, но цены закрытия обязательно должны становиться все ниже. Последний день должен быть белым, он может быть как длинным, так и коротким, однако его цена закрытия обязательно должна быть выше максимума предыдущего дня.

### Преобразование модели

#### РИСУНОК 3-120



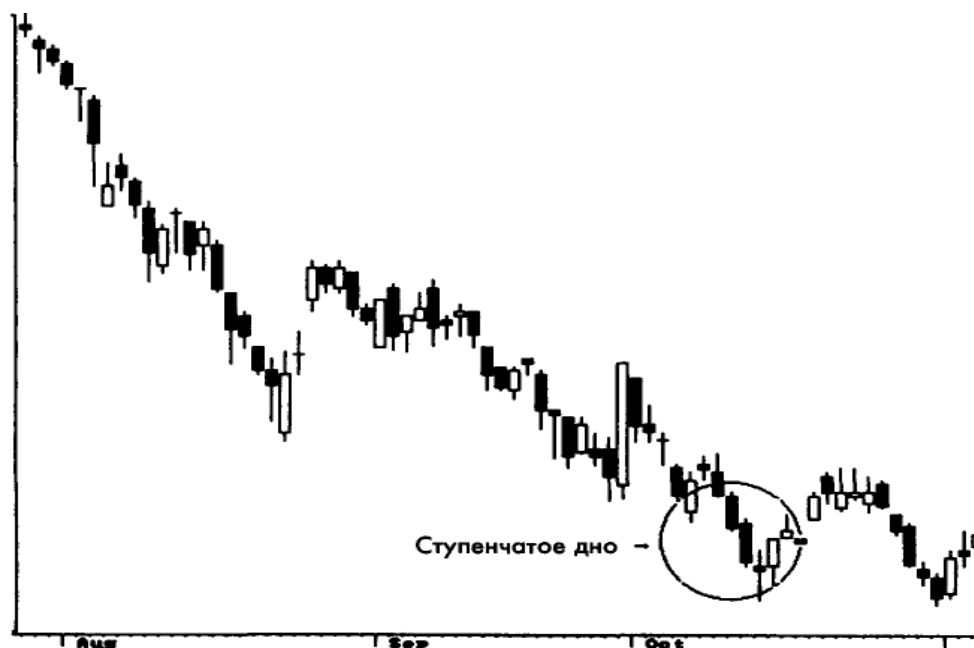
Модель ступенчатое *дно* сводится к *молоту*, который соответствует ее бычьему толкованию (рис. 3-120).

### Родственные модели

Модель ступенчатое *дно* начинается так же, как и модель *прячущаяся ласточка*. Кроме того, первые три дня модели сходны с моделью *три черные вороны* за тем исключением, что на рынке теперь господствует понижательный тренд.

## Примеры

РИСУНОК 3-121



## Совпадение по нижнему уровню (Matching Low) (*нижен зоко/кенуки*)

*Бычья разворотная модель. Предполагается подтверждение.*

РИСУНОК 3-122



### Комментарий

Модель *совпадение по нижнему уровню* следует концепции, сходной с той, что используется в модели *прилипший сэндвич*. Фактически, убрав из модели *прилипший сэндвич* средний день, вы получите модель *совпадение по нижнему уровню*. Длинный черный день продолжает понижательный тренд, на следующий день происходит открытие на более высоком уровне, но затем сессия закрывается на том же уровне, что и накануне. Это дает два черных дня, у которых нижние границы тела (цены закрытия) находятся на одном уровне. Эта модель показывает, что дно достигнуто, даже несмотря на то, что был протестирован новый минимум, который смог устоять. Это свидетельствует о хорошем уровне поддержки.

### Правила распознавания

1. Появляется длинный черный день.
2. Второй день также оказывается черным днем, а его цена закрытия равна цене закрытия первого дня.

### Сценарии и психология, стоящая за моделью

На рынке царят медвежьи настроения, что очевидно из появления еще одного длинного черного дня. Следующая торговая сессия открылась выше, уровень цен рос в течение дня, а затем произошло закрытие на старом уровне. Это классическое указание на краткосрочную поддержку, и оно доставит немало беспокойств беспечным медведям, его проигнорировавшим. Игнорирование модели *совпадение по нижнему уровню* несет в себе серьезную опасность упустить разворот тренда.

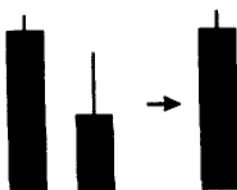
При описании модели *совпадение по нижнему уровню* необходимо отметить, что психологическое состояние рынка, стоящее за торговлей в течение торговых дней этой модели, не столь важно. Принципиальной ее составляющей является то, что обе торговых сессии закрылись на одной и той же цене.

### Гибкость модели

Тела двух свечей модели *совпадение по нижнему уровню* могут быть как длинными, так и короткими, и это никак не сказывается на значении модели.

### Преобразование модели

РИСУНОК 3-123



Модель *совпадение по нижнему уровню* сводится к длинной черной свече, которая обычно рассматривается как медвежья (рис. 3-123). В такой ситуации необходимо подождать подтверждения.

### Родственные модели

*Совпадение по нижнему уровню* — модель, очень сходная с *почтовым голубем*, но, поскольку цены закрытия двух свечей равны, второй день не полностью удовлетворяет определению *поглощения*.

### Примеры

РИСУНОК 3-124



# МОДЕЛИ ПРОДОЛЖЕНИЯ

# 4

Модели продолжения рассматриваются в отдельной главе лишь с той целью, чтобы облегчить получение справки в будущем. Помните: как только модель определена, она предполагает будущее направление движения цен. Модели продолжения, согласно методу Сакаты, — время, когда рынок отдыхает. Какова бы ни была модель, вы должны принять решение по поводу своей текущей позиции, даже если оно состоит в том, чтобы ничего не менять.

Формат обсуждения, принятый в этой главе, идентичен тому, что применялся в предыдущей. В сжатом виде он выглядит следующим образом:

- Комментарий
- Правила распознавания
- Сценарии и психология, стоящая за моделью
- Гибкость модели
- Преобразование модели
- Родственные модели
- Примеры

## Указатель моделей продолжения

<u>Модель</u>	<u>Номер страницы</u>
Верхний разрыв тасуки и нижний разрыв тасуки (Upside Tasuki Gap and Downside Tasuki Gap) .....	158
Смежные белые свечи (Side-by-Side White Lines) .....	163
Метод трех поднимающихся и метод трех падающих (Rising Three Methods and Falling Three Methods) .....	168
Разделяющиеся свечи (Separating Lines) .....	173
Удержание на татами (Mat Hold) .....	177
Тройной удар (Three-line strike) .....	181
Верхний разрыв метода трех и нижний разрыв метода трех (Upside Gap Three Methods and Downside Gap Three Methods) .....	186
У линии шеи (On Neck Line) .....	191
На линии шеи (In Neck Line) .....	194
Толчок (Thrusting Line) .....	197

## Верхний разрыв тасуки и нижний разрыв тасуки (Upside Tasuki Gap and Downside Tasuki Gap) (ува банаре тасуки и сита банаре тасуки)

Рекомендуется подождать подтверждения.

РИСУНОК 4-1

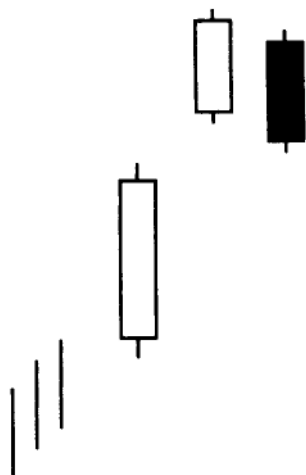
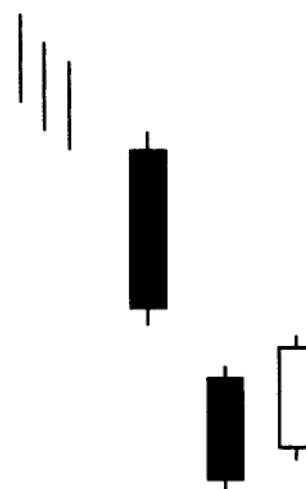


РИСУНОК 4-2



### Комментарий

Типичная свеча *тасуки* появляется, когда после белой свечи сессия открывается ниже, а затем закрывается ниже минимума предыдущего дня. Когда цена открытия выше, чем цена закрытия черного дня, а цена закрытия выше его максимума — это противоположный случай. Свечи та-суки упоминаются во многих источниках, посвященных японским свечам, но они не настолько важны, чтобы рассматривать их как отдельные модели. Разрыв тасуки включает в себя свечу *тасуки*, возникающую после разрыва в направлении текущего рыночного тренда.

Верхний разрыв тасуки (рис. 4-1) — белая свеча, в расположении которой по отношению к предыдущей белой свече существует разрыв вверх и за которой следует черная свеча, закрывающаяся внутри этого разрыва. Цена открытия этого последнего дня также должна находиться внутри белого тела второго дня. Важный момент заключается в том, что разрыв между первым и вторым днями не заполнен. Философия состоит в том, что следовало бы занимать длинную позицию после закрытия в последний день. Та же концепция, но имеющая обратное направление, применима в случае нижнего разрыва *тасуки* (рис. 4-2).

### Правила распознавания

1. Тренд развивается своим чередом, появляется разрыв между двумя свечами одного цвета.
2. Цвет первых двух свечей отражает направление преобладающего тренда.
3. Третий день — противоположно окрашенная свеча — открывается внутри тела второго дня.
4. Третий день закрывается внутри разрыва, но разрыв остается частично не заполненным.

### Сценарии и психология, стоящая за моделью

Психология, стоящая за разрывами тасуки, довольно проста: следуйте за трендом в направлении разрыва. День коррекции (третий день) не заполняет разрыв, и предыдущий тренд будет продолжаться. На это следует смотреть как на временную фиксацию прибыли. Японцы широко используют разрывы (окна). Таким образом, тот факт, что разрыв не был заполнен или закрыт, означает, что предыдущий тренд должен возобновиться. О разрывах в литературе говорится подчас противоречиво. Обычно ожидается, что разрыв дает поддержку и/или сопротивление. Тот факт, что разрыв начал заполняться так быстро, дает основания считать, что данный разрыв может и не обладать обычным аналитическим значением.

### Гибкость модели

Цвет первого дня не настолько важен, как цвет второго и третьего дней. Однако лучше всего, чтобы он был таким же, как и во второй день, что полностью бы поддерживало продолжение текущего тренда.

### Преобразование модели

РИСУНОК 4-3

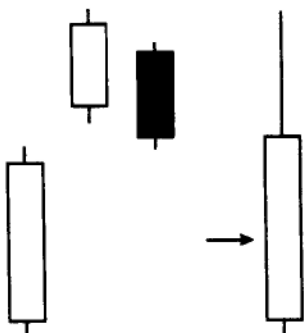
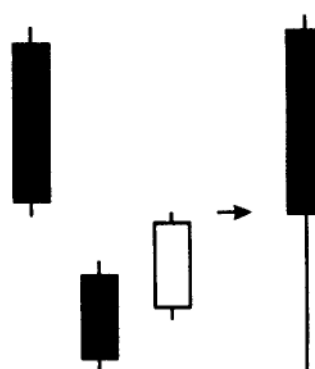


РИСУНОК 4-4



Верхний разрыв тасуки сводится к длинной свече с белым телом в нижней части ценового диапазона (рис. 4-3). Единственной опорой тут может быть тот факт, что редуцированная модель — длинная белая свеча, которую обычно рассматривают как бычью. Нижний разрыв тасуки сводится к длинной черной свече, которая обычно бывает медвежьей. Из-за недостатка строгости такого разбиения рекомендуется подождать подтверждения.

### Родственные модели

Сами по себе свечи тасуки — нечто противоположное *пронизывающей свече* и *темным облакам*, являющимся разворотными моделями. Модели верхнего и нижнего разрыва тасуки очень сходны с моделями *верхнего и нижнего разрыва метода трех*, описанными далее в этой главе. Вы увидите, что они, кроме того, находятся в прямом противоречии друг с другом. Может быть, лучше всего посмотреть статистические результаты тестирования моделей, приведенные в последующих главах.

### Примеры

РИСУНОК 4-5А



РИСУНОК 4-5В



### Смежные белые свечи (Side-by-Side White Lines) *(нараби ака)*

Для бычьего варианта модели подтверждения не требуется, для медвежьего — наоборот.

РИСУНОК 4-6

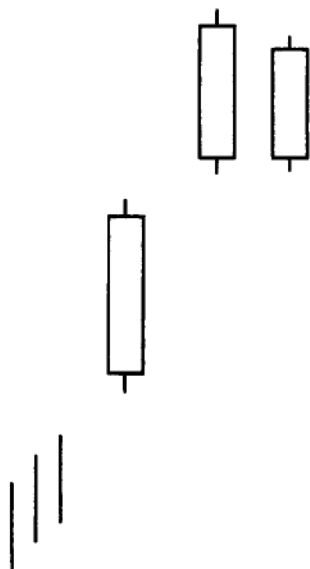
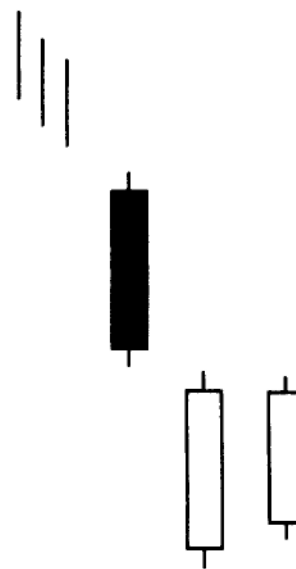


РИСУНОК 4-7



#### Комментарий

Слово «нараби» означает «в ряду», а «нарабиака» переводится как «белые в ряду». В японской литературе есть ссылки как на *черные*, так и на *белые смежные свечи*, но они говорят только о паузе или патовом положении самих свечей. Важной моделью тут оказываются две белые свечи, имеющие за собой разрыв в направлении текущего тренда.

#### Смежные белые свечи бычьего характера

Две сходные по размеру белые свечи находятся рядом, между ними и предыдущей белой

свечой имеется разрыв вверх. Они сходны не только по размеру, цены открытия также очень близки. На бычий вариант *смежных белых свечей* (рис. 4-6), кроме того, ссылаются как на модель верхнего разрыва *смежных белых свечей* (*уваппанаре нарабиака*).

### ***Смежные белые свечи медвежьего характера***

*Смежные белые свечи*, появляющиеся с разрывом вниз, очень редки. Они также называются моделью нижнего *разрыва смежных белых свечей* (см. рис. 4-7). Вопреки тому, что кажется очевидным, эти две белые свечи рассматривают как следствие покрытия коротких позиций. Такое поведение, как и многие модели продолжения, представляет собой передышку на рынке. Было бы в порядке вещей ожидать в этой модели продолжения появления двух черных смежных свечей. Разрыв вниз к *смежным черным свечам*, без сомнения, указывал бы на продолжение понижательного тренда. Однако от такой модели пользы немного, поскольку она говорит об очевидных вещах. Еще один вариант таких свечей — *смежные белые свечи*, не совершающие разрыва, но возникающие на повышательном рынке. Они называются *смежными белыми свечами в тупике* (*икизумари нарабиака*) и указывают на то, что рынок приближается к своей вершине при ослаблении силы быков.

### **Правила распознавания**

1. Возникает разрыв в направлении тренда.
2. Второй день представлен белой свечой.
3. Третий день тоже оказывается белой свечой сходного размера примерно с той же ценой открытия.

### **Сценарии и психология, стоящая за моделью**

#### ***Смежные белые свечи бычьего характера***

На рынке господствует повышательный тренд. Формируется длинная белая свеча, еще более укрепляющая бычий характер происходящего на рынке. На следующий день рынок при открытии совершает разрыв вверх и закрывается еще выше. Однако на следующий день рынок открывается намного ниже, фактически на вчерашнем уровне открытия. Начальные продажи, приведшие к низкому открытию, быстро заканчиваются, и рынок поднимается до нового максимума. Все это демонстрирует силу покупателей, и рост должен и далее продолжиться.

#### ***Смежные белые свечи медвежьего характера***

Понижательный тренд еще более усиливается длинной черной свечой, за которой следует открытие со значительным разрывом вниз. Весь день цены на рынке растут, но не настолько, чтобы заполнить разрыв. Третий день открывается ниже, примерно на том же ценовом уровне, что и предыдущий день. Из-за сопротивления, которое встречает дальнейшее снижение рынка, короткие позиции покрываются, и это приведет к тому, что в третий день цены опять растут и закрываются выше, но снова не настолько высоко, чтобы заполнить разрыв. Если все это сопровождалось достаточным числом покрытых коротких позиций, а рост не был достаточно убедительным, понижательная тенденция на рынке должна сохраниться.

### **Гибкость модели**

Поскольку *смежные белые свечи* используются в качестве модели, только если им предшествует разрыв, у такой модели нет особенной гибкости. Две белые свечи должны иметь одинаковый размер тела, но и сам размер не так важен, как разрыв в направлении тренда. Их цены открытия должны быть близки.



## Преобразование модели

РИСУНОК 4-8

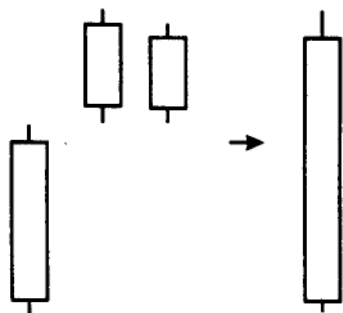
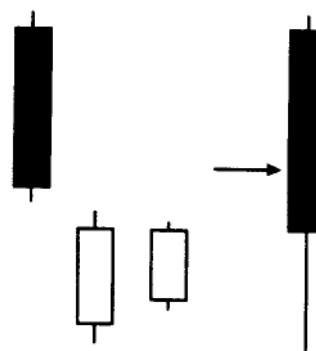


РИСУНОК 4-9



Смежные *белые свечи с разрывом вверх* сводятся к длинной белой свече, которая полностью согласуется с продолжением бычьего движения (рис. 4-8). *Смежные белые свечи с разрывом вниз* сводятся к черной свече с длинной нижней тенью (рис. 4-9). Эта свеча сама по себе не полностью поддерживает медвежье продолжение и предполагает необходимость дальнейшего подтверждения.

## Родственные модели

Моделей, схожих со *смежными белыми свечами*, нет. Модель *пробой* имеет некоторое сходство в том, что второй и третий дни совершают разрыв в направлении тренда.

## Примеры

РИСУНОК 4-10А

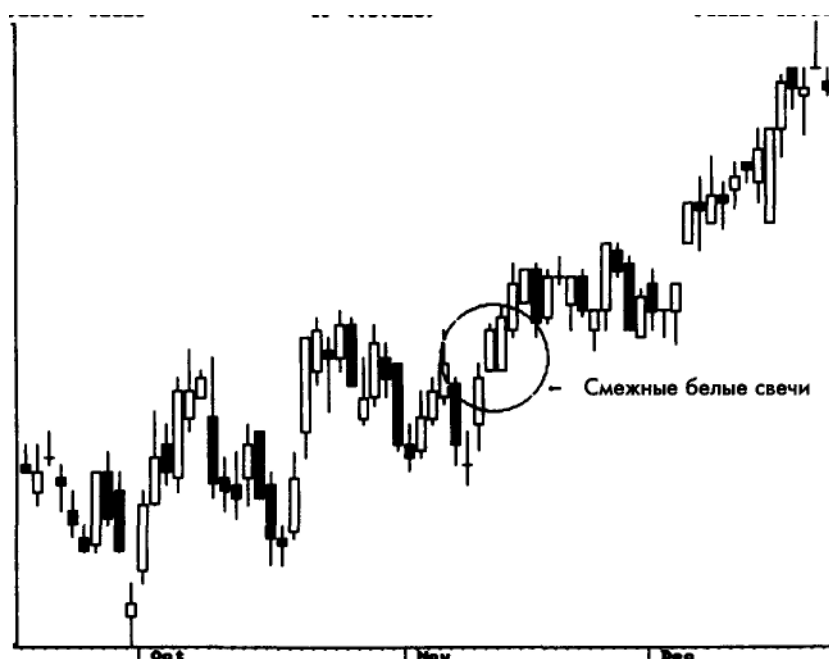
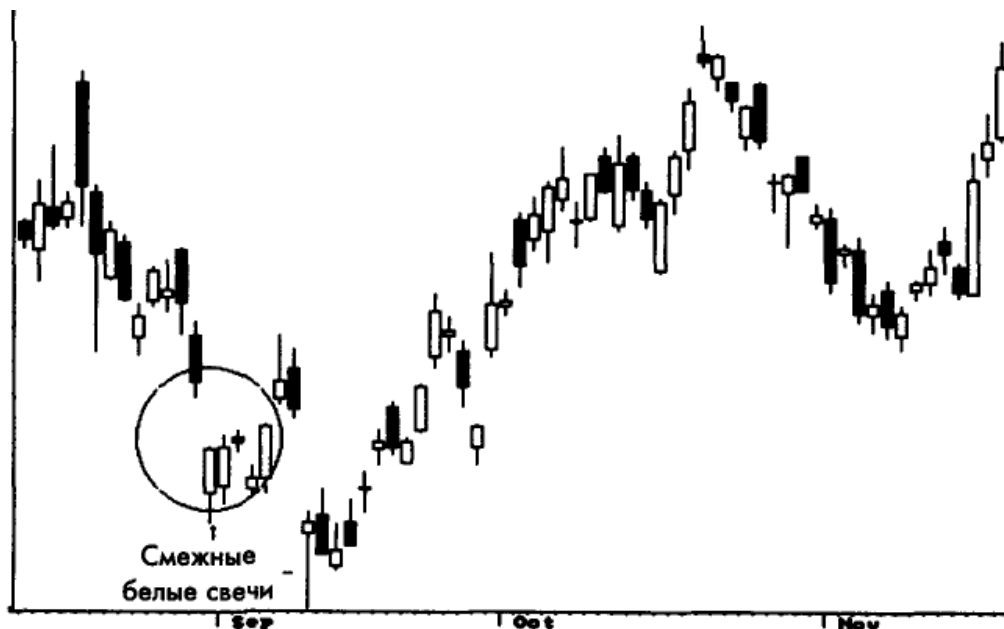


РИСУНОК 4-1 ОБ



**Метод трех поднимающихся и метод трех падающих  
(Rising Three Methods and Falling Three Methods)  
(ува банаре санпоо одатекоми и сита банаре санпоо одатекоми)**

*Подтверждение не требуется.*

РИСУНОК 4-11

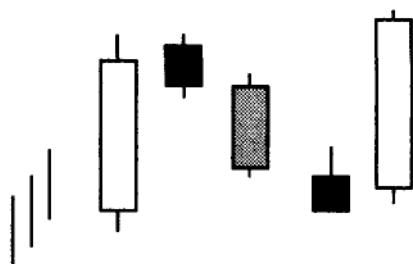
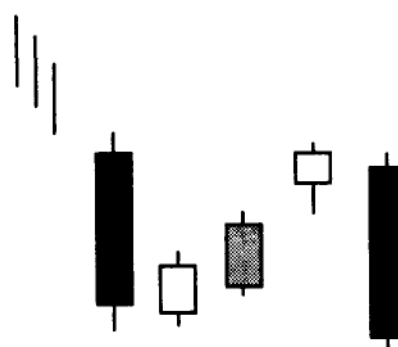


РИСУНОК 4-12



**Комментарий**

Методы трех (см. главу 5) включают бычий вариант, называемый методом трех *поднимающихся*, и медвежий вариант, известный как *метод трех падающих*. Обе модели являются моделями продолжения, представляющими временный слом ценового тренда, не влекущий его разворота. Это дни отдыха рынка, их можно использовать для наращивания размера позиции, если игрок уже в рынке.

***Метод трех поднимающихся***

На фоне повышательного тренда формируется длинная белая свеча (рис. 4-11). После длинного дня появляется группа свечей с маленькими телами, оказывающая некоторое сопротивление предыдущему тренду. Эти дни реакции обычно оказываются черными, но важнее всего то, что все их тела находятся внутри диапазона от максимума до минимума первого длинного белого дня. Помните о том, что указанный диапазон включает в себя и тени. Последняя свеча модели (обычно

это пятый день) открывается выше цены закрытия предыдущего дня коррекции, а затем закрывается на новом максимуме.

### **Метод трех падающих**

*Метод трех падающих*—медвежий двойник *метода трех поднимающихся*. На рынке господствует понижающийся тренд, который продолжает длинная черная свеча (рис. 4-12). Три следующих дня формируют маленькие тела, которые двигаются против тренда. Лучше всего, если тела этих дней коррекции белые. Примечательно, что все эти тела остаются внутри диапазона от максимума до минимума первой черной свечи. Следующий, и последний, день должен открыться вблизи цены закрытия предыдущего дня, а затем закрыться на новом минимуме. Отдых рынка окончен.

### **Правила распознавания**

1. Формируется длинная свеча, цвет которой отражает направление тренда.
2. За этой свечой следует группа свечей с маленькими телами. Лучше всего, если они имеют противоположный цвет.
3. Маленькие свечи поднимаются или опускаются в направлении, противоположном тренду, и остаются внутри диапазона от максимума до минимума первого дня.
4. Последний день должен быть сильным, с ценой закрытия, уходящей от цены закрытия первого дня в направлении первоначального тренда.

### **Сценарии и психология, стоящая за моделью**

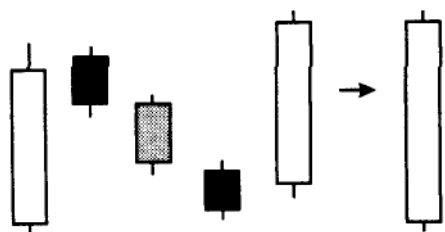
Концепция, стоящая за моделью *метода трех поднимающихся*, берет свое начало в ранней истории фьючерсной торговли Японии и является важной составляющей метода Сакаматы. Метод *трех поднимающихся* рассматривается как отдых от торговли или отдых после битвы. В современной терминологии рынок просто берет перерыв. Психология, стоящая за подобным ценовым движением, состоит в том, что в готовность к продолжению тренда вкрадываются определенные сомнения. Эти сомнения растут по мере появления коррективных дней с маленьким ценовым диапазоном. Однако как только быки видят, что новые минимумы не могут быть достигнуты, их воодушевление растет, и новые максимумы устанавливаются очень быстро. *Метод трех падающих* в точности противоположен.

#### **Гибкость модели**

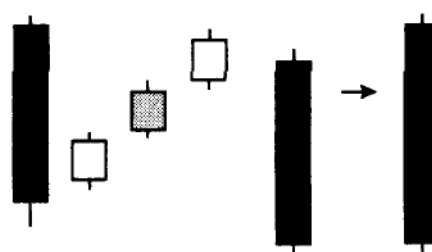
Поскольку эта модель обычно состоит из пяти свечей, она редко встречается в своей классической форме. Некоторые отклонения могут быть допущены в диапазоне цен коррективных дней. Они могут слегка выходить за границы диапазона первого дня. Лучше всего, чтобы диапазон цен коррективных дней полностью покрывал диапазон первого дня. Если же тенденция смещается в одном направлении, модель может превратиться в модель *удержание на татами* (если она появляется при повышательном тренде).

### **Преобразование модели**

**РИСУНОК 4-13**



**РИСУНОК 4-14**



Метод *трех поднимающихся* сводится к длинной белой свече, которая полностью поддерживает продолжение бычьей тенденции (рис. 4-13). *Метод трех падающих* сводится к длинной черной свече, которая полностью поддерживает продолжение медвежьего тренда (рис. 4-14).

### Родственные модели

С бычьей моделью *метод трех поднимающихся* сходна модель *удержание на татами*. Это тоже бычья модель продолжения, но она допускает большую гибкость дней коррекции. То есть маленькие черные дни, находящиеся между двумя длинными белыми днями, необязательно должны попадать внутрь диапазона первого белого дня. Эти дни коррекции обычно располагаются выше первой свечи. Если сравнить две модели, то станет ясно, что повышательный тренд намного сильнее в случае модели *удержание на татами*.

### Примеры

РИСУНОК 4-15А



РИСУНОК 4-15В



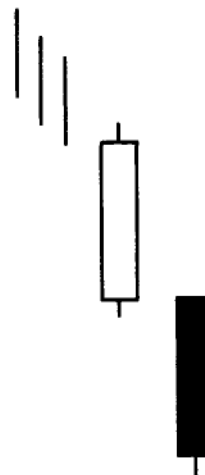
## Разделяющиеся свечи (Separating Lines) (*ики чигаи сен*)

Требуется подтверждение, особенно в случае бычьего характера модели.

РИСУНОК 4-16



РИСУНОК 4-17



### Комментарий

У *разделяющихся свечей* цена открытия одна и та же, а цвета противоположны. Данная модель противоположна модели *встречающиеся свечи*. Вторым днем этих моделей — свеча *захват за пояс*. В бычьей модели (см. рис. 4-16) присутствует бычий *белый захват за пояс*, а в медвежьей (рис. 4-17) — *черный медвежий захват за пояс*. Слово «ики чигаи сен» означает «свечи,двигающиеся в противоположных направлениях». Иногда в названии этой модели используется слово «фуриваке», имеющее похожее значение.

### Правила распознавания

1. Первый день имеет цвет, противоположный тренду.
2. Цвета второго и первого дней противоположны друг другу.
3. Два тела встречаются посередине, на уровне цены открытия.

### Сценарии и психология, стоящая за моделью

На рынке развивается повышательный тренд, когда появляется длинный черный день. Это необычно для сильного рынка и вызывает определенный скептицизм. Однако следующая торговая сессия открывается намного выше, фактически на уровне цены открытия предыдущего черного дня. Затем на протяжении всего дня вплоть до закрытия сессии цены идут вверх, что предполагает продолжение предыдущего повышательного тренда. Это сценарий бычьего варианта модели *разделяющиеся свечи*; медвежий сценарий ему прямо противоположен.

### Гибкость модели

Обе *разделяющихся свечи* желательно должны быть длинными, однако это не жесткое требование. Сильные свечи *фуриваке* имели бы длинные тела без каких-либо теней (*марибозу*) в местах, где они встречаются.

## Преобразование модели

РИСУНОК 4-18

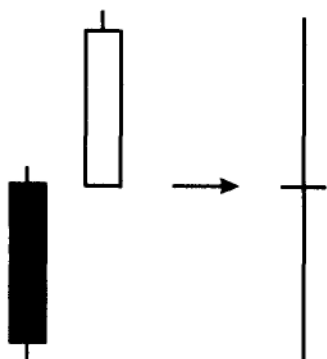
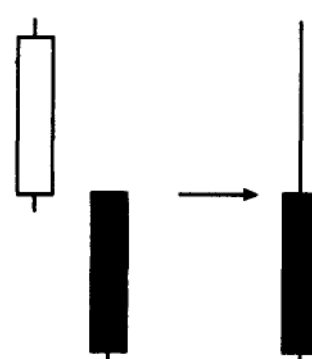


РИСУНОК 4-19



Бычья модель *разделяющихся свечей* сводится к длинноногой *доджи* (см. рис. 4-18). Доджи, и в особенности *длинноногая доджи*, указывает на нерешительность рынка и, следовательно, не полностью соответствует бычьему продолжению этой модели. Медвежья модель *разделяющихся свечей* сводится к свече с черным телом в нижней части ценового диапазона (см. рис. 4-19). Данную свечу можно рассматривать как медвежью, и она, таким образом, поддерживает медвежье продолжение модели.

## Родственные модели

*Встречающиеся свечи* сходны по концепции с данной моделью, однако представляют собой разворотную модель, а не модель продолжения.

## Примеры

РИСУНОК 4-20А



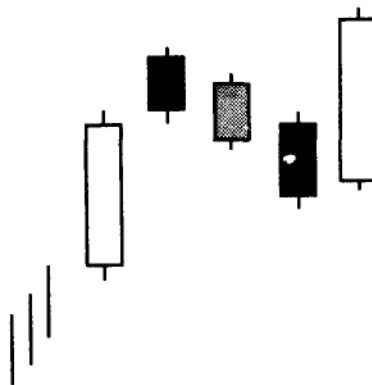
РИСУНОК 4-20В



## Удержание на татами (Mat Hold) (ува банаре сайте оси)

*Бычья модель продолжения. Подтверждение не требуется.*

РИСУНОК 4-21



### Комментарий

Модель *удержание на татами* является модификацией модели *метод трех поднимающихся*. Первые три дня образуют комбинацию, сходную с *двумя взлетевшими воронами* с той разницей, что второе черное тело (третий день) погружено внутрь тела первого длинного белого дня (см. рис. 4-21). Следом идет еще одно маленькое черное тело, которое закрывается еще ниже, но все же внутри диапазона первого белого тела. На пятый день при открытии сессии происходит разрыв с последующим мощным ценовым ростом, приводящим к закрытию выше самого высокого максимума трех черных дней. Это предполагает, что повышательный характер тренда сохранится и в его направлении можно открыть дополнительные позиции.

Модель *удержание на татами* в качестве сигнала продолжения демонстрирует большую силу, чем *метод трех поднимающихся*. Дни коррекции обычно расположены выше, чем в случае *метода трех поднимающихся*. Иными словами, *удержание на татами* в отличие от *метода трех поднимающихся* не подразумевает полного отдыха на рынке.

### Правила распознавания

1. На рынке с повышательным трендом формируется длинный белый день.
2. На следующий день происходит верхний ценовой разрыв, а цена закрытия оказывается более низкой, что формирует день, близкий к звезде.
3. Два следующих дня представляют собой дни коррекции, что аналогично *методу трех поднимающихся*.
4. Пятый день — белый с закрытием на новом максимуме.

### Сценарии и психология, стоящая за моделью

На рынке продолжается рост, длинный белый день подтверждает бычий характер происходящего. При открытии следующей торговой сессии происходит верхний ценовой разрыв, а торговля весь день ведется в узком диапазоне, только для того чтобы сессия закрылась немного ниже. Это более низкое закрытие (по сравнению с ценой открытия) все-таки оказывается новым максимумом для ценового движения. Быки отдыхают, даже несмотря на то что поведение цены с очевидностью указывает на наличие на рынке медведей. Два следующих дня вызывают определенное беспокойство по поводу сохранения повышательного тренда. Эти дни открываются примерно там, где рынок закрылся накануне, а затем закрываются слегка ниже. Даже на третий день рынок все еще находится выше цены открытия первого длинного белого дня. Укрепляется мнение, что разворот тренда не удался, и цены вновь растут, чтобы закрыться на новом максимуме. Это полностью соответствует бычьему характеру и говорит о том, что в мощном повышательном движении рынка просто возникла пауза.

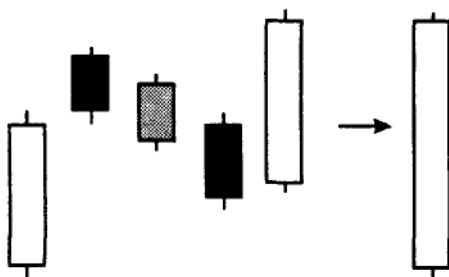
### Гибкость модели

Строение трех маленьких черных дней должно указывать на последовательное снижение, что очень похоже на *метод трех поднимающихся*, однако дни реакции в целом выше.

### Преобразование модели

Бычья модель *удержание на татами* сводится к длинной белой свече, которая полностью поддерживает бычье продолжение (рис. 4-22).

### РИСУНОК 4-22



### Родственные модели

*Метод трех поднимающихся* — более жесткая модель. В принципе имеется значительное сходство с началом модели *две взлетевшие вороны*, однако закрытие третьего дня внутри тела первого исключает возможность дальнейшей аналогии. Следует внимательно следить за возможностью образования модели *три черные вороны*, возникающей на второй день, особенно если он длинный.



## Примеры

РИСУНОК 4-23



## Тройной удар (Three-line strike) (*samе учи карасу но баке сен*)

*Подтверждение необходимо.*

РИСУНОК 4-24

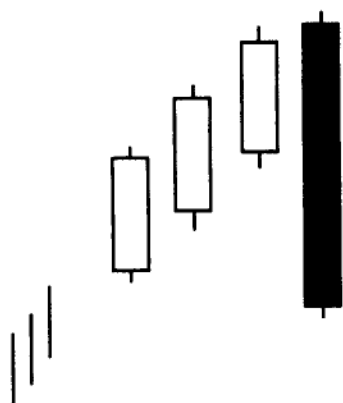
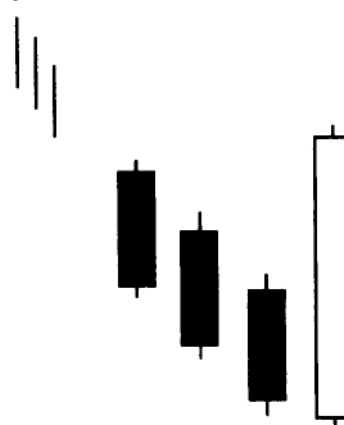


РИСУНОК 4-25



## Комментарий

Эта модель состоит из четырех свечей и появляется на трендовом рынке. Ее можно рассматривать как расширение модели три *черные вороны* (медвежий вариант) либо три *белых солдата* (бычий вариант). Это модель отдыха, или паузы; пауза заканчивается за один-единственный день. Перерывы в тренде почти всегда оказывают на него благотворное действие. В японской литературе на эту модель иногда ссылаются как на модель три *дурачащихся вороны* в ее медвежьем варианте. Бычий случай можно было бы назвать *три дурачащимися солдатами*.

## *Бычья модель тройной удар*

За тремя белыми днями со все более высокими максимумами следует длинный черный день (рис. 4-24). Этот длинный черный день открывается на новом максимуме, а затем цена падает до минимума, более низкого, чем у первого белого дня модели. Такое поведение цены сводит на нет результаты предыдущего трехдневного повышения. Если предыдущий тренд был силен, на все это следовало бы смотреть просто как на остановку с целью фиксации прибыли. Последний день рассматривается как день ликвидации позиций, который придает повышательному тренду необходимые силы.

### **Медвежья модель тройной удар**

При понижательном тренде появляются три черных дня, у каждого из которых все более низкий минимум (рис. 4-25). Четвертый день открывается на новом минимуме, затем цены растут, чтобы закрыться выше максимума первого черного дня. Этот последний длинный белый день перекрывает три предыдущих черных дня, его следовало бы рассматривать как момент закрытия коротких позиций, после которого продолжится понижательная тенденция.

### **Правила распознавания**

#### **Бычья модель тройной удар**

1. Повышательный тренд продолжается комбинацией, сходной с моделью три белых солдата.
2. На четвертый день рынок открывается еще выше, чтобы потом упасть и закрыться ниже цены открытия первого белого дня.

#### **Медвежья модель тройной удар**

1. Понижательный тренд продолжается комбинацией, сходной с моделью три черные вороны.
2. На четвертый день рынок открывается еще ниже, чтобы потом вырасти и закрыться выше цены открытия первого черного дня.

### **Сценарии и психология, стоящая за моделью**

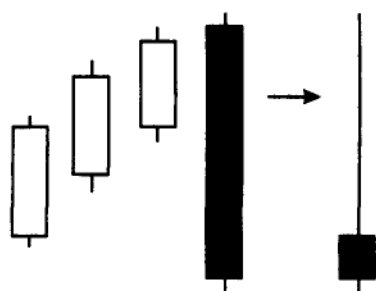
На рынке продолжается тенденция, поддерживаемая *тремя черными воронами* или *тремя белыми солдатами* в зависимости от направления тренда. На четвертый день происходит открытие в направлении тренда, но фиксация прибыли или закрытие коротких позиций приводит к мощному движению рынка в противоположном направлении. Такое действие у многих вызывает озабоченность, но не меняет настроения предыдущих трех дней. Тренд должен продолжиться в своем предыдущем направлении.

### **Гибкость модели**

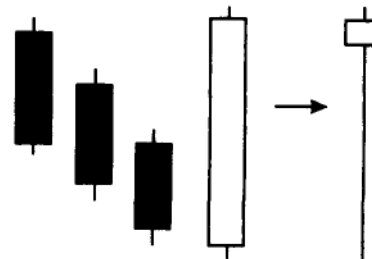
Величина начального разрыва в направлении тренда и величина движения на четвертый день указывали бы на силу этой модели как модели продолжения.

### **Преобразование модели**

**РИСУНОК 4-26**



**РИСУНОК 4-27**



Бычья модель *тройной удар* сводится к *падающей звезде*, что находится в прямом противоречии с бычьим характером данной модели (см. рис. 4-26). Медвежья модель *тройной*

удар сводится к молоту, что также противоречит медвежьему характеру модели (рис. 4-27).

### Родственные модели

В этих моделях есть сходство с *тремя белыми солдатами* и *тремя черными воронами*, но оно очень быстро исчезает под воздействием мощной коррекции последующего дня.

### Примеры

РИСУНОК 4-28А

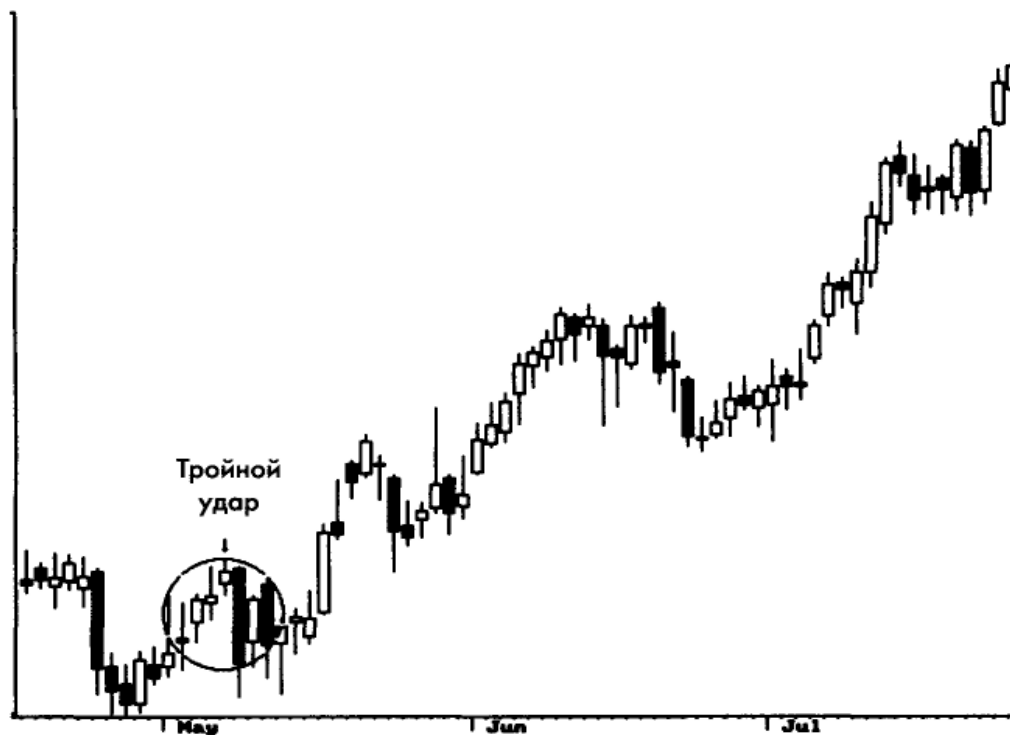


РИСУНОК 4-28В



## Верхний разрыв метода трех и нижний разрыв метода трех (Upside Gap Three Methods and Downside Gap Three Methods) (*ува банаре санпоо хаш/ оси и сита банаре санпоо инпон дачи*)

*Предполагается подтверждение.*

РИСУНОК 4-29

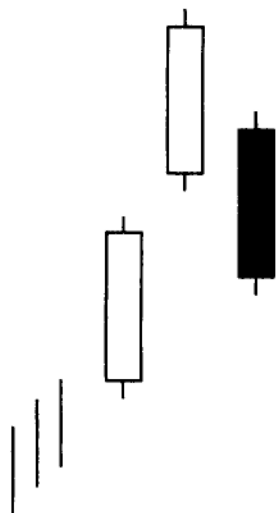
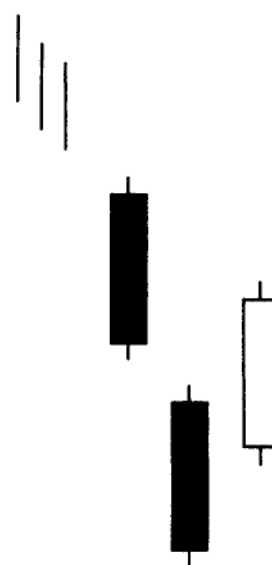


РИСУНОК 4-30



### Комментарий

Это упрощенная модель, очень похожая на *верхний и нижний разрывы тасуки* и появляющаяся на рынках с сильным трендом. Разрыв возникает между двумя свечами одного и того же цвета (см. рис. 4-29 и 4-30); цвет должен отражать существующий на рынке тренд. Третий день открывается внутри тела второй свечи, а затем закрывается внутри тела первой свечи, как бы возводя мост между первой и второй свечами. Тело третьей свечи имеет цвет, противоположный двум первым. В традиционной терминологии это заполняло бы разрыв.

### Правила распознавания

1. Тренд продолжают два длинных дня, между которыми есть разрыв.
2. Третий день заполняет разрыв, его цвет противоположен первым двум дням.

### Сценарии и психология, стоящая за моделью

На рынке происходит мощное движение в одном направлении. Оно продолжается и после того, как появляется разрыв в направлении тренда. Третий день открывается внутри тела второго дня, а затем полностью заполняет разрыв. Такое закрывающее разрыв движение следовало бы рассматривать как поддержку текущего тренда. Обычно разрывы указывают на уровни поддержки и/или сопротивления, если их рассматривать спустя достаточное количество времени. Поскольку этот разрыв был заполнен всего за один день, на него следовало бы смотреть иначе. Если это первый разрыв в ценовом движении, тогда коррекция (третий день) должна рассматриваться как фиксация прибыли.

### Гибкость модели

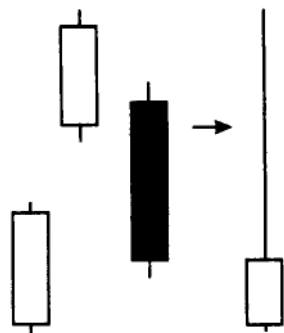
У этой модели не предполагается значительной гибкости, поскольку ее концепция весьма проста. Первый и второй дни могут быть и противоположных цветов: это не приведет к серьезным изменениям смысла модели.

### Преобразование модели

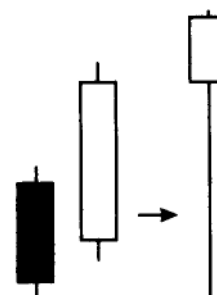
Бычья модель *верхнего разрыва метода трех* сводится к *падающей звезде* (рис. 4-31), а медвежья

модель *нижнего разрыва метода* трех сводится к *молоту* (рис. 4-32). Эти две модели (рассматриваются все их варианты) не сводятся к свече, которая поддерживала бы бычью или медвежью природу модели.

**РИСУНОК 4-31**



**РИСУНОК 4-32**



**Родственные модели**

Эти модели отчасти сходны с разрывами *тасуки* с той разницей, что разрыв в них заполняется. Поскольку существует противоречие между этими двумя моделями продолжения, следует обратиться к статистике, представленной в главе 7.

**Примеры**

**РИСУНОК 4-33А**

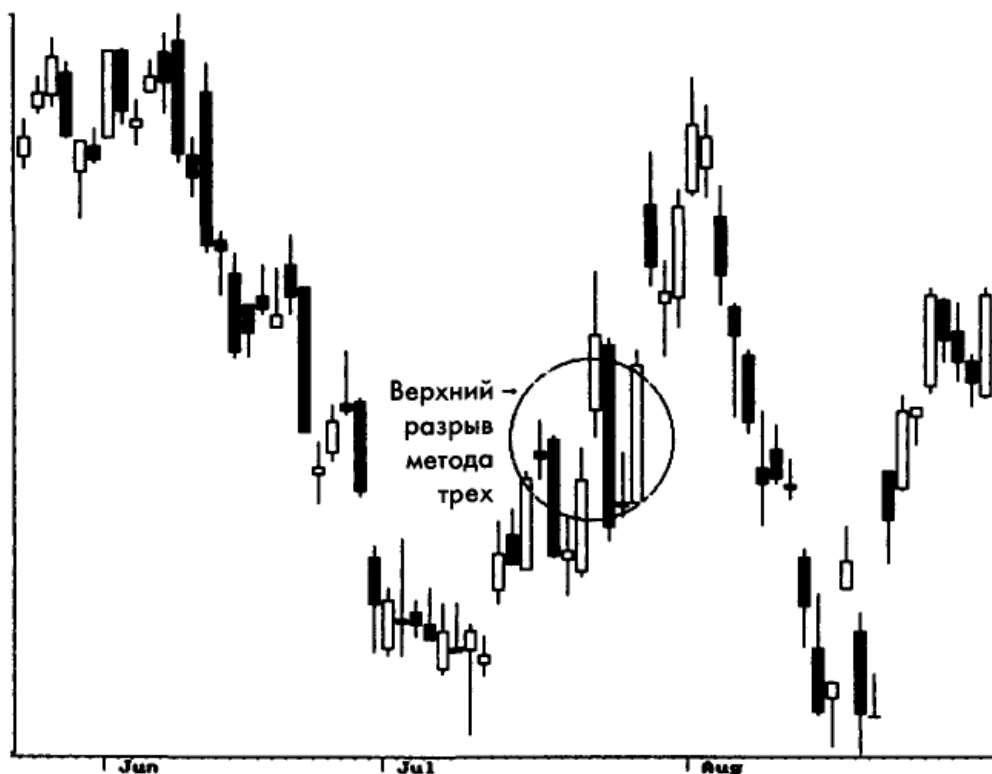


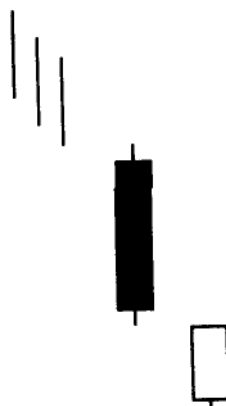
РИСУНОК 4-33В



### У линии шеи (On Neck Line) (are кубу)

Медвежья модель продолжения. Предполагается подтверждение.

РИСУНОК 4-34



#### Комментарий

Модель у линии шеи — недоразвитая версия *пронизывающей свечи*, которая обсуждалась в главе 3. Формируется похожая модель с той разницей, что белое тело второго дня поднимается лишь до минимума предыдущего дня (рис. 4-34). Не путайте эту модель со *встречающимися свечами*, рассмотренными в главе 3.

#### Правила распознавания

1. На фоне понижательной тенденции формируется длинная черная свеча.
2. Второй день — белый, открывается ниже минимума предыдущего дня. Этот день необязательно должен быть длинным, он может напоминать бычьи *встречающиеся свечи*.
3. Второй день закрывается на минимуме первого дня.

### Сценарии и психология, стоящая за моделью

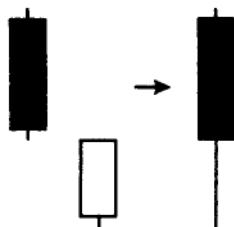
Модель *у линии шеи* обычно появляется во время снижения цен. Первый длинный черный день усиливает медвежий характер происходящего. На второй день рынок совершает разрыв вниз, но не может продолжать понижательное движение. Рынок поднимается и останавливается на уровне минимума предыдущего дня. Это очень неудачное время для тех, кто пытается «поймать дно», войдя в рынок в этот день. Понижательное движение на рынке должно вскоре продолжиться.

### Гибкость модели

ЕСЛИ во второй день объем торговли велик, шансы на продолжение понижательного тренда очень высоки.

### Преобразование модели

#### РИСУНОК 4-35



Модель *у линии шеи* сводится ко вполне медвежьей черной свече с длинной нижней тенью (рис. 4-35). Эта свеча соответствует медвежьему характеру данной модели продолжения.

### Родственные модели

Модель *у линии шеи* — слабое начало *пронизывающей свечи*. Также см. описание моделей на *линии шеи* и *толчок*.

### Примеры

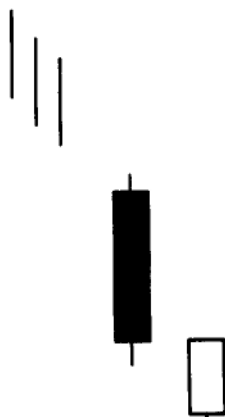
#### РИСУНОК 4-36



## На линии шеи (In Neck Line) (*ури кубу*)

Медвежья модель продолжения. Предполагается подтверждение.

РИСУНОК 4-37



### Комментарий

Это тоже модифицированная или недоразвитая версия модели *пронизывающая свеча*. Белое тело второго дня закрывается вблизи цены закрытия предыдущего черного дня, в нижней части тела (рис. 4-37). В действительности определение требует, чтобы цена закрытия всего лишь попадала внутрь тела предыдущего дня, то есть была бы несколько выше его цены закрытия. Это более высокое закрытие, чем в случае модели *у линии шеи*, но ненамного. Если цена закрытия первого дня является и его минимумом (*марибозу закрытия*), наиболее вероятно, что свечи у линии шеи и на линии шеи окажутся одинаковыми.

### Правила распознавания

1. На фоне понижательного тренда появляется черная свеча.
2. Второй день оказывается белым с ценой открытия ниже минимума первого дня.
3. Цена закрытия второго дня лишь немного выше цены закрытия первого дня, то есть цены закрытия практически равны.

### Сценарии и психология, стоящая за моделью

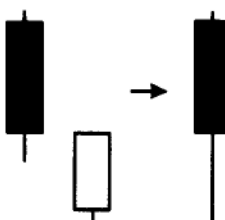
Сценарий почти идентичен случаю модели *у линии шеи* с той лишь разницей, что понижательный тренд не может продолжаться так же стремительно по причине несколько более высокой цены закрытия.

### Гибкость модели

ЕСЛИ торговля во второй (белый) день сопровождается большим объемом, шансы на продолжение тренда очень высоки.

### Преобразование модели

РИСУНОК 4-38



Модель на линии шеи сводится к черной свече с длинной нижней тенью (рис. 4-38). Тот факт, что эта свеча вовсе не является бычьей, поддерживает медвежий характер модели.



### Родственные модели

Модель на линии шеи так же, как и модель у линии шеи, является слабым началом пронизывающей свечи. Тем не менее она несколько сильнее, но не настолько, чтобы привести к развороту тренда. Кроме того, как вы могли заметить, эта модель, если оба ее дня близки к *марибозу*, очень сходна с моделью встречающихся свечей.

### Примеры

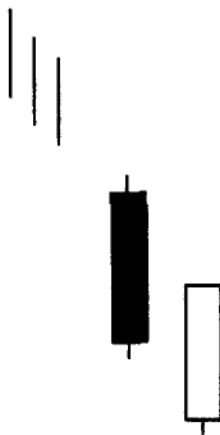
РИСУНОК 4-39



## Толчок (Thrusting Line) (сасикоми)

Медвежья модель продолжения. Требуется подтверждение.

РИСУНОК 4-40



### Комментарий

Это третья разновидность понизывающей свечи. Толчок — более сильная модель, чем модели у линии шеи и на линии шеи, но и она оказывается неспособной закрыться выше срединной точки тела предыдущего дня (см. рис. 4-40). Обычно во второй день происходит значительно больший разрыв вниз, чем в случае моделей на линии шеи и у линии шеи. Это приводит к формированию длинного белого дня, и, прежде чем увеличивать размер коротких позиций, определенно необходимо подтверждение.

### Правила распознавания

1. При понижательном тренде формируется черный день.
2. Второй день оказывается белым и открывается существенно ниже минимума первого дня.
3. Цена закрытия второго дня уходит далеко внутрь тела первого дня, но все-таки не достигает до его срединной точки.

### Сценарии и психология, стоящая за моделью

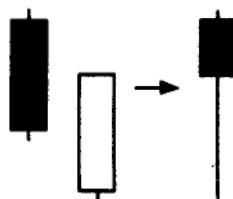
Аналогично моделям на линии шеи и у линии шеи модель толчок выявляет неспособность снижающегося рынка к оживлению. Из-за этого быки обескуражены, а недостаток покупательной силы ведет к продолжению понижательного тренда.

### Гибкость модели

Поскольку эта модель очень близка к бычьей модели понизывающей свечи, а кроме того, очень мало отличается от медвежьей модели у линии шеи, в ней нет особенного простора для гибкости.

### Преобразование модели

РИСУНОК 4-41



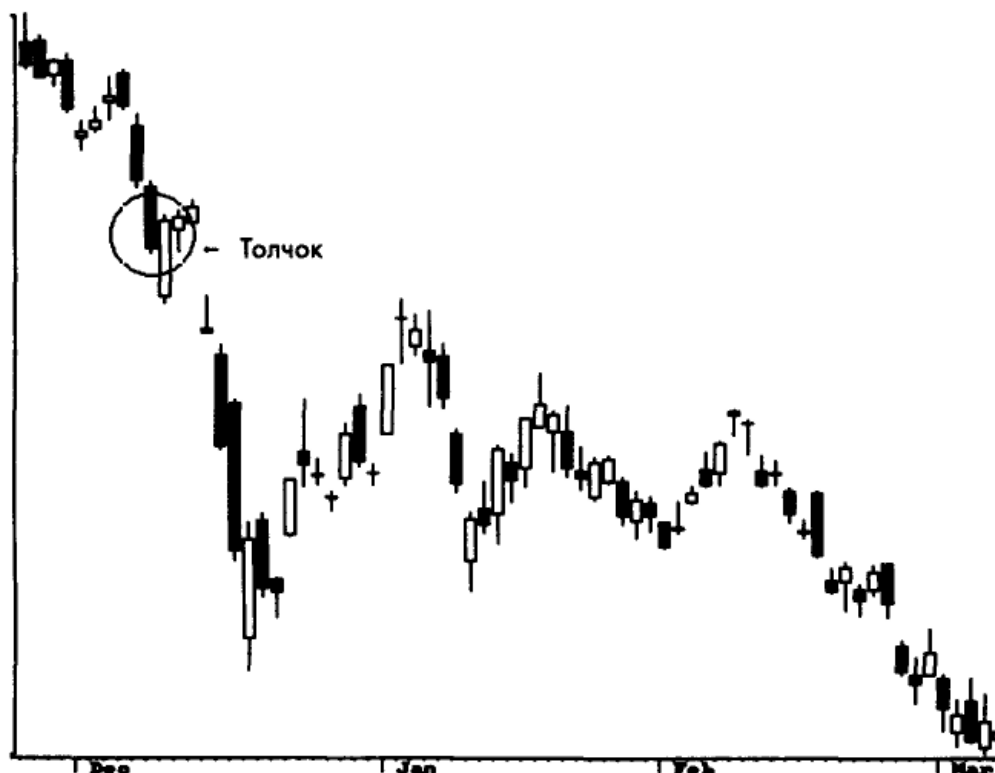
Модель толчок сводится к молоту, что в некоторой степени противоречит медвежьему характеру этой модели (рис. 4-41).

### Родственные модели

Толчок — наиболее сильная из трех моделей, приближающихся к *пронизывающей свече*, но не способных превратиться в нее. Эта модель сильнее, чем модели у линии шеи и на линии шеи, но слабее *пронизывающей свечи*.

### Примеры

РИСУНОК 4-42



### Дополнительное замечание

Вы можете спросить, почему существуют целых три модели продолжения, возникающих из неспособности образовать *пронизывающую свечу*. Все три модели — у линии шеи, на линии шеи и толчок — представляют собой неудавшиеся попытки развернуть понижательный тренд.

Почему же тогда не существует аналогичных моделей, представляющих собой неудавшуюся модель *темные облака*! На этот вопрос могут ответить многие исследователи рынка, хорошо знакомые с тенденциями поведения цен вблизи вершин и впадин. Впадины (рыночные минимумы) склонны к большей резкости и эмоциональности. Вершины, как правило, формируются дольше, и их не так легко идентифицировать.

# МЕТОД САКАТЫ И ФОРМАЦИИ СВЕЧЕЙ

## 5

Японская история, в том числе история торговли финансовыми инструментами, изобилует рассказами о впечатляющих успехах, достигнутых несколькими людьми. Один из них — Мунехиса (Сокю) Хонма. В различных источниках его называют Сокю или Мунехиса.

Хонма занимался фьючерсной торговлей в Японии в середине XVIII в. Когда в 1750 году Хонма получил контроль над довольно крупным семейным бизнесом, он начал торговать на местной рисовой бирже в портовом городе Саката, расположенном в провинции Дева (теперь префектура Ямагата) на западном побережье острова Хонсю (около 220 миль севернее Токио). В порт Сакаты привозили рис; отсюда он шел и далее. Этот город и сегодня является одним из наиболее важных портов Японского моря.

История утверждает, что Хонма основал что-то наподобие личной коммуникационной сети. На всем пути от Осаки до Сакаты, с интервалом четыре километра, на крышах зданий сидели «связные»; так как расстояние между городами составляет примерно 380 миль, по крышам требовалось рассадить более ста человек. Такая «сеть» давала Хонме значительное преимущество, которое и позволило ему сделать огромное состояние на торговле рисом.

Хонма хранил множество записей, помогающих ему изучить психологию инвесторов. Благодаря своим исследованиям он понял, что начальный вход в торговлю не должен быть поспешным. Согласно правилу Хонмы, если вы чувствуете, что должны немедленно начать торговлю, поскольку в сложившейся ситуации просто не можете проиграть, ждите три дня и посмотрите, будете ли вы чувствовать то же самое по их истечении. Если это так, начинайте торговлю. Вероятно, ей будет сопутствовать большой успех.

Семья Хонмы, которой принадлежали огромные рисовые поля недалеко от Сакаты, была чрезвычайно богатой. В одной народной песне поется о том, что ни один человек не может быть таким же богатым, как Хонма: можно лишь мечтать о том, чтобы сравняться в богатстве с даймио (даймио — древнее японское название феодального князя).

Еще при жизни Хонмы (а умер он в 1803 году) была опубликована книга «Сан-ен Кинсен Хороку», в которой содержится такой совет: «Если все другие покупают, будь глупцом и продавай рис». Книга вышла в 1755 году, и сегодня она считается фундаментальным произведением японской рыночной философии. Сегодня дом в Сакате, который когда-то принадлежал Хонме, является Музеем искусств Хонмы.

Все модели и формации, составляющие метод Сакаты, основываются на 160 правилах, написанных Хонмой, когда ему был 51 год. Метод Сакаты сегодня рассматривается как основа анализа японских свечей. В действительности графический анализ свечей не был разработан Хонмой, ему принадлежит философия этого анализа, и именно его подход признается основой современного анализа графиков свечей.

Поскольку Хонма жил в Сакате, повсюду можно увидеть упоминания об этом городе и этом человеке: закон Сакаты, метод Сакаты, пять методов Сакаты, устав Хонмы и т.д. Хотя названия могут быть разными, аналитические приемы остаются одними и теми же. Эта книга ссылается на данный подход как на метод Сакаты.

### Метод Сакаты

Метод Сакаты в том виде, в котором он был разработан и применялся для базового анализа графиков Хонмой, говорит о главных свечах инь и янь и о двух дополнительных свечах. Центром концепции является число три. Число три часто появляется в традиционном анализе, и не менее часто в приемах, связанных с японскими свечами. Метод Сакаты — графический аналитический

прием, использующий при исследовании рынка число три в различных аспектах. Метод Сакаты можно резюмировать следующим образом:

- сан-зан (три горы);
- сан-сен (три реки);
- сан-ку (три разрыва);
- сан-пей (три солдата);
- сан-по (три метода).

Из этого списка становится очевидным, что слово «сан» указывает на вездесущее число три.

### **Сан-зан (три горы)**

*Три горы* формируют свечу, являющуюся важной рыночной вершиной. Эта модель сходна с традиционной западной тройной вершиной, когда цена поднимается и падает три раза, формируя вершину. Кроме того, данная формация сходна с моделью вершины *три Будды (сан-сон)*, которая является эквивалентом традиционной формации *голова и плечи*. Название берет начало из размещения трех изображений Будды, с большим Буддой в середине и двумя меньшими по бокам. Сан-зан также включает в себя типичную западную тройную вершину, где три повышательных движения цены перемежаются соответствующими коррекциями. Три вершины могут быть одной высоты или могут склоняться в одном направлении, вероятнее всего, вниз.

### **РИСУНОК 5-1А**



РИСУНОК 5-1В



**Сан-сен (три реки)**

*Три реки* — полная противоположность *трем горам*. Эта модель часто используется как традиционная тройная впадина или перевернутая модель *голова и плечи*, но это необязательно именно так. Метод *трех рек* основывается на теории использования трех свечей для предсказания разворотной точки рынка. Его можно найти в большом числе бычьих моделей, использующих три свечи, такие как *утренняя звезда* и *три белых солдата*. В японской литературе *утреннюю звезду* зачастую называют *утренней звездой трех рек*, ссылаясь на данный метод Сакаты.

РИСУНОК 5-2А



## РИСУНОК 5-2В



Существует определенная путаница по поводу того, использует ли метод *Сакаты три реки* для определения впадин или указывает на использование трех свечей для определения вершин и впадин. В японской литературе имеется достаточное количество ссылок на вечерние звезды трех рек (медвежья модель) и на *двух ворон, взлетевших над тремя реками* (тоже медвежья модель). А кроме того, вспомните, что в главе 3 мы говорили о бычьей разворотной модели, называемой *особая впадина «три реки»*.

### **Сан-ку (три разрыва)**

Этот метод использует разрывы в ценовом движении как причину для выбора момента входа в торговлю или выхода из нее. Как говорится, после того как рынок достиг дна, продавать нужно на третьем разрыве. *Яер-вый разрыв (ку)* демонстрирует, что на рынке возникла новая мощная покупательная сила. *Второй разрыв* представляет собой дополнительные покупки и, возможно, определенное количество коротких позиций, покрытых искушенными медведями. *Третий разрыв* — результат вынужденного покрытия коротких позиций и некоторого количества запоздавших рыночных приказов на покупку. Именно здесь, на третьем разрыве, метод Сакаты рекомендует продавать из-за конфликта между приказами и возможностью слишком скорого достижения условий перекупленности. Этот прием работает и в противоположном направлении — в случае разрывов вниз после достижения рынком вершины. Японский термин, обозначающий заполнение разрыва, — *анауме*. Разрывы (ку) по-японски иначе называют *окнами (мадо)*.

### **Сан-лей (три солдата)**

Сан-лей означает *три солдата, марширующих в одном направлении*. Типичным представителем такой формации является бычья модель *три белых солдата*, которая указывает на устойчивый рост рынка. Этот тип устойчивого ценового роста указывает на возможность мощного движения к вершине. Кроме того, метод Сакаты показывает, как эта модель ухудшается и показывает слабость рыночного роста. Медвежьи вариации бычьей модели *три белых солдата* обсуждаются ниже. Первая вариация — модель *отбитая атака*, которая весьма сходна с основной моделью, но отличается наличием длинных верхних теней у второго и третьего белых дней. Вторая вариация трех белых солдат — модель *размышление (торможение)*, у которой вторая свеча также имеет длинную верхнюю тень. Однако здесь третий день оказывается волчком и, скорее всего, звездой. Это предполагает, что разворот рынка близок.

РИСУНОК 5-3



РИСУНОК 5-4

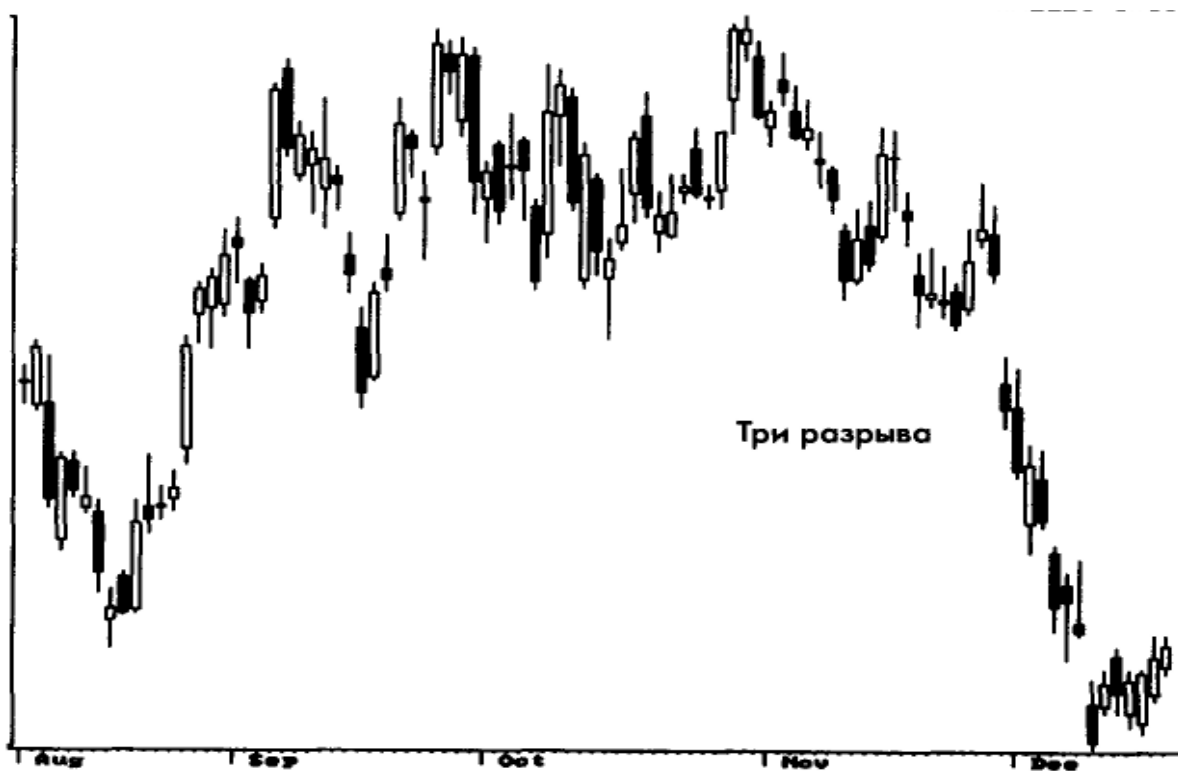




РИСУНОК 5-5

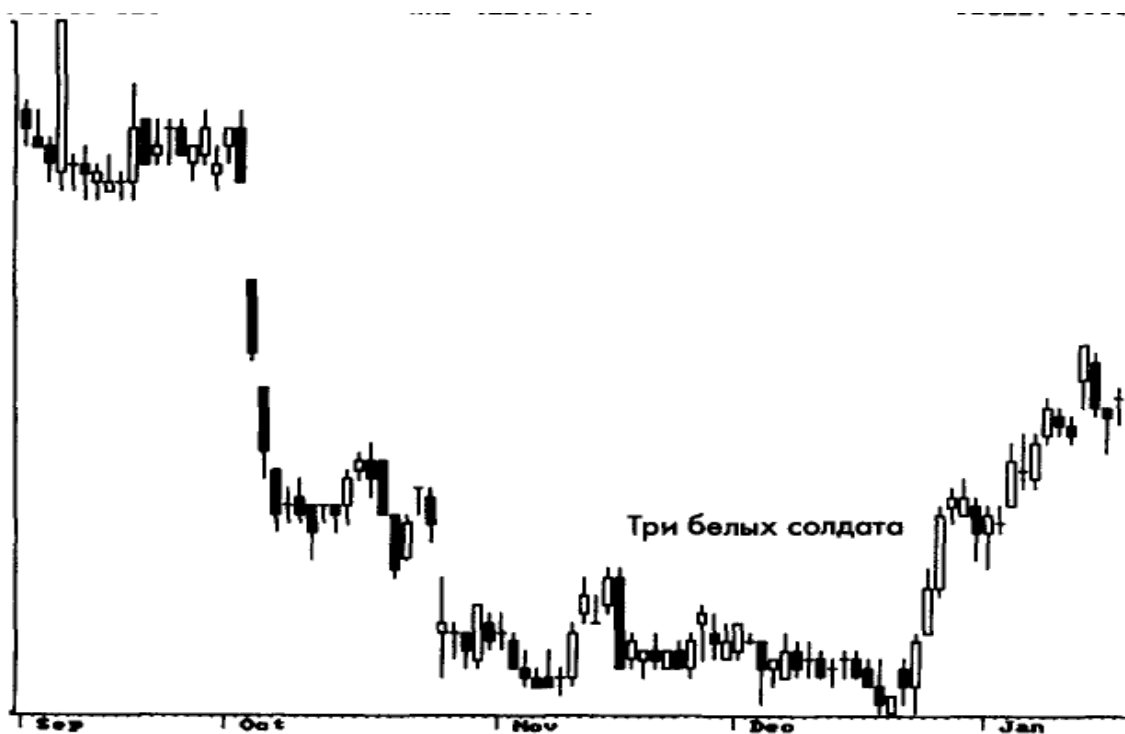
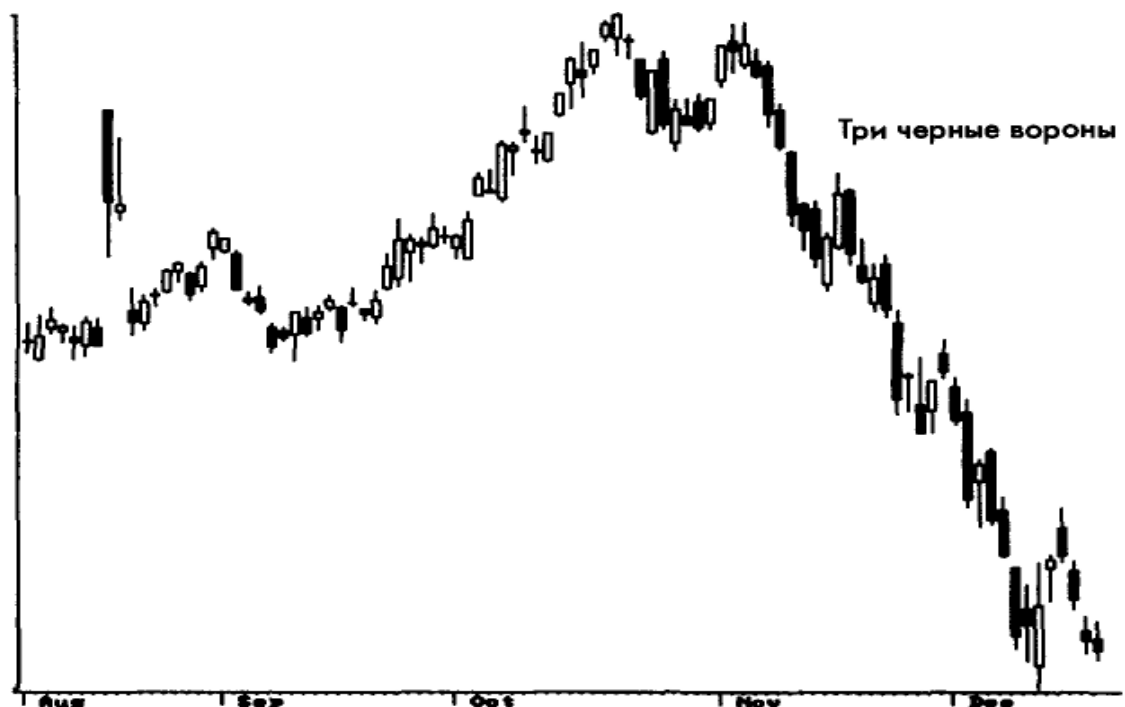


РИСУНОК 5-6



Другие модели, образующие метод сан-лей, — *три черные вороны* и *три одинаковые вороны*. Обе эти модели свечей являются медвежьими и указывают на слабый рынок (глава 3).

**Сан-по (три метода)**

«Сан-по» означает «отдых или перемирие на рынке». Популярная японская поговорка гласит: «Покупай, продавай и отдыхай». Большинство традиционных книг, посвященных рыночной психологии и торговле, предполагает отдых от торговли на рынке. Это необходимо по многим

причинам, не последняя из которых — необходимость увидеть рыночную перспективу в тот момент, когда на нем нет ваших собственных денег. Сан-по включает модели продолжения, называемые методом трех *поднимающихся* и методом трех *падающих* (глава 4). Некоторые источники, кроме того, ссылаются еще на две модели — на *верхний разрыв метода трех* и *нижний разрыв метода трех*, обсуждаемые в главе 4.

Модели продолжения *метод трех поднимающихся* и *метод трех падающих* — модели отдыха. Рыночный тренд не изменился, возникла всего лишь пауза, готовящая новый подъем или спад.

Метод Сакаты подразумевает ясный и уверенный взгляд на графики. Зачастую с ним связывают следующую простую философию:

1. На повышательном или понижательном рынке цены продолжают движение в установившемся направлении. Этот факт способствовал разработке способов идентификации моделей свечей с помощью компьютера (глава 6).
2. Чтобы рынок рос, требуется больше сил, чем для того, чтобы заставить его снижаться. Это напрямую связано с известной поговоркой, гласящей, что рынок может упасть под своей собственной тяжестью.
3. Если рынок рос, то он обязательно в конце концов упадет, а если рынок упал, он непременно вырастет. Как писал журнал *Forbes* в сентябре 1991 года, на медвеьем рынке было бы не лишним вспомнить, что это еще не конец света, а на бычьем — что деревья не дорастают до небес. Простая и более общая аналогия говорит о том, что все хорошее, в конце концов, кончается.
4. Иногда рыночные цены практически полностью прекращают свое движение. Это указание на боковой тренд — время, когда всем, кроме самых искушенных трейдеров, следовало бы отойти в сторону.

Хотя метод Сакаты фокусируется на числе три, он включает и использование более широких формаций, в которых могут существовать модели, состоящие из нескольких свечей.

## РИСУНОК 5-7



РИСУНОК 5-8



## Формации свечей

Существует множество формаций японских свечей, весьма сходных с ценовыми формациями традиционного технического анализа. Стив Нисон предложил много названий, которыми сегодня на Западе пользуются все. Эти формации могут состоять из многодневных данных. Они используются в основном как долгосрочные рыночные индикаторы и не указывают на точный момент времени, когда лучше войти в рынок, чего хотели бы многие инвесторы и трейдеры. Когда формация развивается, ищите дополнительных свидетельств разворота цен, например разворотных моделей свечей. Дополнительное взаимодействие может появляться, когда формация приобретает форму на длительном промежутке времени. Помните, что большинство моделей свечей, и, конечно, почти все разворотные модели свечей, требуют связи с текущим или предыдущим трендом. На эти тренды огромное влияние оказывают следующие формации свечей.

*Восемь свечей новых цен (синне хатте)*

**РИСУНОК 5-9**



Это формация постоянно растущих рыночных цен. После того как достигнуты восемь новых ценовых максимумов, следовало бы фиксировать прибыль или по меньшей мере разместить защитные остановки. Действия, основанные на 10, 12 или 13 новых ценовых максимумах, также упоминаются в некоторых источниках, но здесь мы их не рекомендуем. Прежде чем использовать этот прием, следует рассмотреть предыдущее поведение рынка.

*Пинцеты (кенуки)*

**РИСУНОК 5-10**



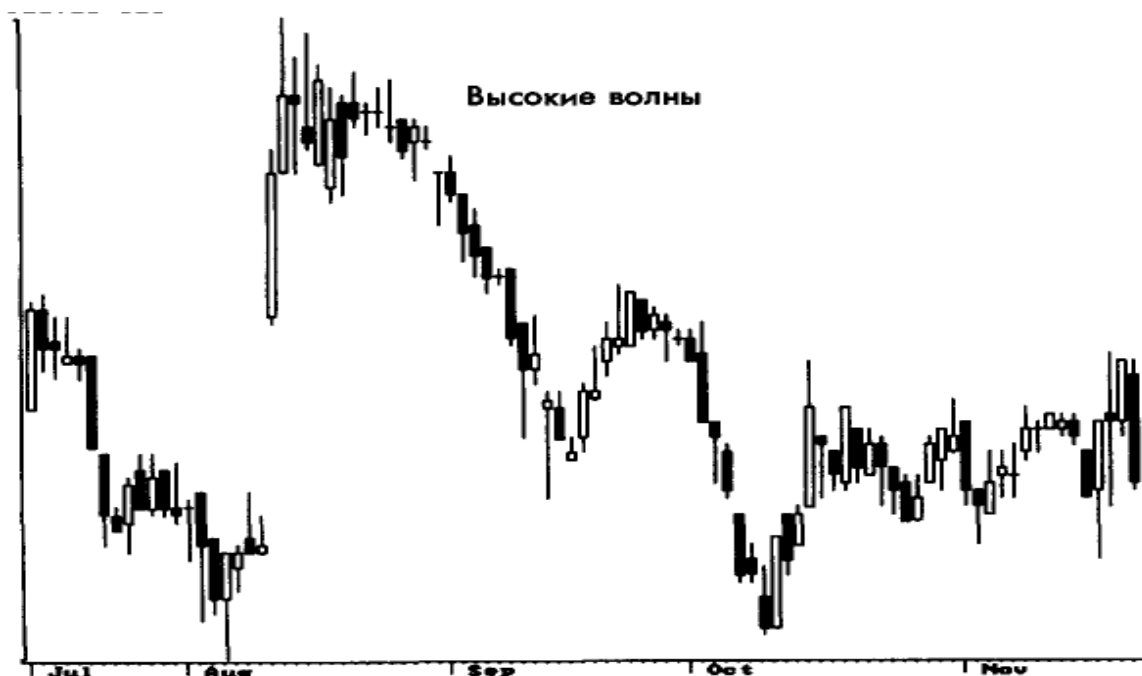
*Пинцеты* — относительно простая формация, использующая компоненты двух или более дневных свечей для определения вершин и впадин. Если максимумы двух дней равны, формация получает название *пинцет-вершина* (*кенукитенджо*). Аналогичным образом, если минимумы двух дней равны, формация называется *пинцет-впадина* (*кенукизоко*). Максимумы и минимумы этих дней могут также совпадать с ценами открытия или закрытия. Это означает, что один день мог бы иметь длинную верхнюю тень, а следующий день мог бы быть *марибозу открытия* с ценой открытия (совпадающей с максимумом), равной максимуму предыдущего дня. *Пинцет-вершина* или *пинцет-впадина* не ограничены лишь двумя днями. Между двумя днями, составляющими формацию *пинцет*, могут появляться дни беспорядочного движения.

*Пинцет-вершина* и *пинцет-впадина* — формации, которые дают краткосрочный уровень поддержки и сопротивления. Термины *поддержка* и *сопротивление* имеют отношение к ценам, на которых ранее рынок развернулся. Поддержка — ценовой фундамент, на котором останавливается снижение цен, а сопротивление — уровень цен, на котором обычно прекращается ценовой рост. Хорошее указание на то, что вершины и впадины в виде *пинцета* имели успех, появляется, когда они оказываются частями разворотной модели. Примером тому может служить *крест хорамы*, в котором два максимума (или минимума) равны.

По концепции с *пинцетами* сходны модели *совпадение по нижнему уровню* и *прилипший сэндвич*, рассмотренные в главе 3. Эти две бычьих модели берут свое начало в концепции *линцеяш* с тем исключением, что тут используется исключительно цена закрытия, в то время как *пинцет* может использовать любые компоненты данных, такие, например, как максимумы и минимумы.

### **Высокие волны (такане ноцай)**

**РИСУНОК 5-11**



Формацию *высокие волны* можно распознать по верхним теням ряда свечей. После повышательного тренда с помощью ряда моделей — таких, как *падающая звезда*, *волчок* или *доджи-надгробие*, — можно определить, как поведет себя цены вблизи вершины. Неспособность закрыться выше указывает на потерю направления и может говорить о развороте. Модель *отбитая атака* также может быть началом формации *высокие волны*.

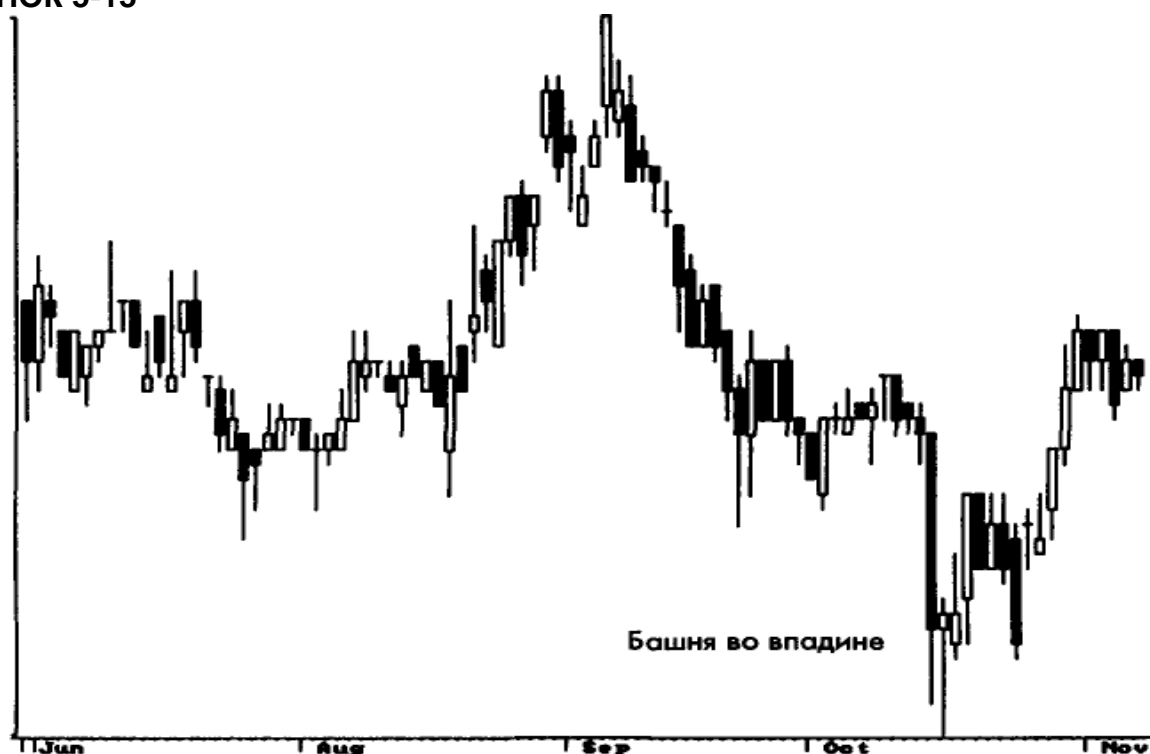
*Башня на вершине и башня во впадине (охтенджиоу)*

РИСУНОК 5-12



*Башни на вершине* и *во впадине* состоят из нескольких длинных дней, которые медленно меняют цвет и указывают на возможность разворота. *Башня во впадине* образуется, когда на рынке господствует понижательный тренд и возникает множество длинных черных дней, но они не обязательно устанавливают существенно более низкие цены, как это было бы в случае модели *три черные вороны*. Эти длинные черные дни в конце концов становятся белыми днями, и, даже несмотря на то что разворот не очевиден, в итоге возникают новые максимумы цен закрытия. Нет нужды говорить, что случайный короткий день не может быть частью этой разворотной модели. Эти короткие дни обычно случаются во время перехода от черных дней к белым. *Башня на вершине* в точности противоположна. Термин *башня* указывает на длинные дни, которые помогают отыскать эту модель. Иногда в японской литературе на этот тип формации ссылаются как на *орудийную башню*, в том случае если она появляется на пике рынка.

РИСУНОК 5-13



**Впадина «сковорода» (набезоко)**

Впадина «сковорода» сходна с башней во впадине с той разницей, что тут все дни маленькие или имеют короткие тела. Формируется скругленная впадина, и цвет тут не так важен. После нескольких дней, формирующих скругленную впадину, белый день совершает разрыв. Это подтверждает разворот; должен начаться повышательный тренд. Название происходит от скругленного дна сковороды с длинной ручкой.

РИСУНОК 5-14



### ***Пологая вершина***

*Пологая вершина* — двойник формации *впадина «сковорода»*. Это скругленная вершина, похожая на круглую вершину в традиционном техническом жаргоне. Понижительный тренд подтверждается разрывом к черному дню. Если черный день следует за разрывом — свеча *захват за пояс*, способность такой формации предвидеть будущее ценовое движение еще лучше.

**РИСУНОК 5-15**





### **Игра на разрыве от ценовых максимумов и игра на разрыве от ценовых минимумов (бото и ботаку)**

Игра на разрыве от ценовых максимумов и минимумов — японский эквивалент игры на пробой. Когда начинается ценовая консолидация вблизи уровня поддержки или сопротивления, нерешительность на рынке с течением времени становится все больше. Как только этот диапазон пробит, направление движения рынка быстро восстанавливается. Если пробой вызван разрывом в том же направлении, к которому склонялись цены до консолидации, дальнейшее движение в этом направлении несомненно. Из-за субъективного характера данных формаций их примеры редко встречаются в учебных пособиях.

**РИСУНОК 5-16**



**РИСУНОК 5-17**



# ФИЛОСОФИЯ, СТОЯЩАЯ ЗА ИДЕНТИФИКАЦИЕЙ МОДЕЛЕЙ СВЕЧЕЙ

## 6

### Данные: требования, разрывы, правила

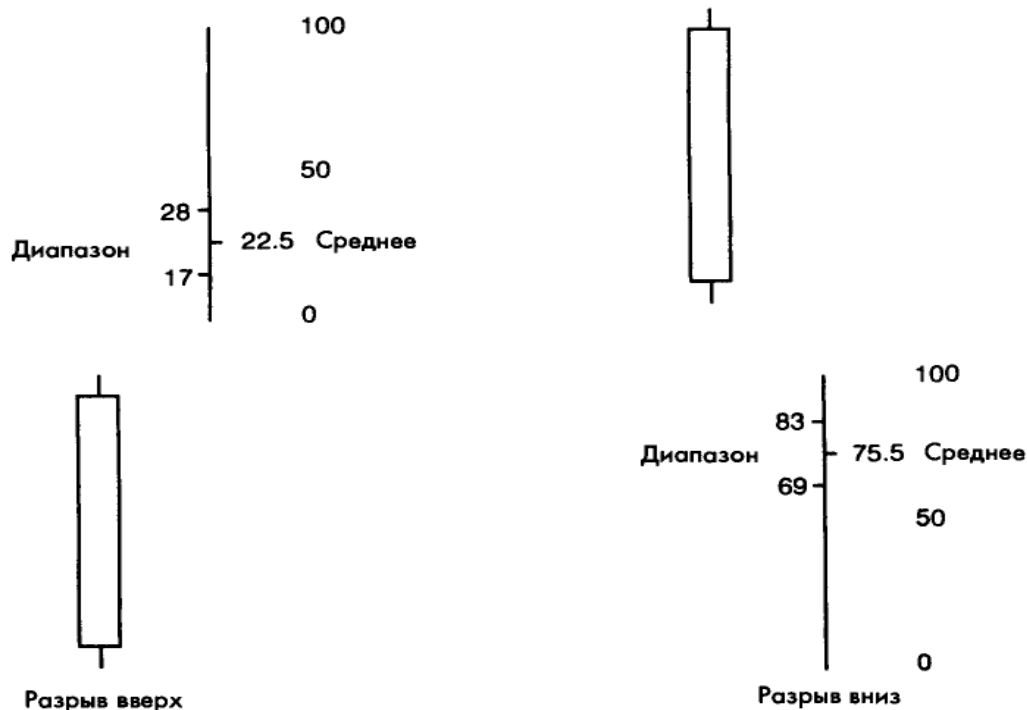
При объяснении всех концепций используются лишь дневные ценовые данные, включающие цены открытия, закрытия, максимальную и минимальную цены акции или товара. Во многих случаях для акций цена открытия оказывается недоступной. В подобных случаях она заменяется ценой закрытия предыдущего дня. Исключением является тот случай, когда предыдущая цена закрытия выше сегодняшнего максимума. Тогда цену открытия заменяет сегодняшний максимум. Аналогичным образом, когда цена закрытия предыдущего дня ниже, чем сегодняшний минимум, в качестве цены открытия используется сегодняшний минимум. Это позволяет увидеть разрывы от цены закрытия одного дня к диапазону следующего.

Разрывы являются важной частью анализа свечей. Чтобы продемонстрировать, в чем разница между использованием и неиспользованием данных о цене открытия, были протестированы и проанализированы акции S&P100 с ценой открытия и без нее. Сначала были исследованы данные, имеющие цену открытия. Всякий раз, когда дневные максимумы и минимумы оказывались выше, чем максимум предыдущего дня, предпринимался анализ разрыва вверх (gap-up analysis). Точно так же всякий раз, как дневные максимумы и минимумы оказывались ниже минимума предыдущего дня, проводился анализ разрыва вниз (gap-down analysis). Как только день разрыва был идентифицирован, для определения положения цены открытия относительно дневного диапазона использовалась следующая формула:

$$[(\text{открытие} - \text{минимум}) / (\text{максимум} - \text{минимум})] \times 100$$

Результаты постоянно показывали, что цена открытия была на уровне 17 — 31% диапазона от максимума до минимума, следующего за разрывом. Если это был разрыв вверх, цена открытия попадала в диапазон 17 — 28% выше минимума. Аналогично, если это был разрыв вниз, цена открытия попадала в промежуток от 17 до 31% ниже максимума. Таким образом, даже не имея данных о цене открытия, можно представить, где примерно оно находится. Однако следует помнить, что это всего лишь статистика, высчитанная на большом объеме данных, так что здесь предполагаются обычные меры предосторожности.

**РИСУНОК 6-1**



Необходимо также осознавать, что определенных моделей свечей не может существовать, если нет цен открытия. То есть цена открытия не может быть заменена ценой закрытия предыдущего дня. Следующие модели не могут существовать, когда недоступны цены открытия:

- перевернутый молот;
- темные облака;
- пронизывающая свеча;
- встречающиеся свечи;
- две взлетевшие вороны;
- две вороны;
- особая впадина «три реки»;
- высокий прыжок;
- совпадение по нижнему уровню;
- смежные белые свечи;
- тройной удар;
- на линии шеи.

Существуют приемы, которые можно использовать при компьютерной идентификации моделей свечей и которые позволяют все-таки использовать эти модели. Например, можно выбрать некоторые параметры, устанавливающие связи между компонентами данных в терминах «больше, чем...» и «больше, чем... или равно...». В результате требование, чтобы дневная цена открытия была меньше, чем цена закрытия предыдущего дня, может быть изменено требованием, чтобы цены были равны. Хотя такой подход уводит философию распознавания моделей свечей слишком далеко, он, по крайней мере, позволяет использовать данные, не содержащие цен открытия.

Современные технологии позволяют трейдеру наблюдать дневные ценовые движения начиная от одного торгового тика, минутного штриха и любого вразумительного ценового прироста. В данной книге автор не задается целью выяснить, какой подход лучше, но, как говорится, иногда за деревьями не видно леса. Кроме того, нужно помнить, что модели свечей отражают краткосрочную психологию торговли, включая процесс принятия решений после закрытия рынка. Вот почему цены открытия и закрытия так важны. Использование внутрಿದневных данных без

реальных перерывов между ними по меньшей мере сомнительно.

## **Идея**

Вопрос распознавания моделей за много лет не потерял своей актуальности. С помощью компьютера можно просмотреть и проверить огромное количество данных и накопить неограниченную статистику по моделям и их прогностическим возможностям. Однако такой подход основывается лишь на статистике, а другой важный фактор, объясняющий популярность той или иной модели (человеческая психология), недооценивается.

## **Человеческая психология**

В первые несколько минут торгового дня происходит мощный всплеск эмоций, накопленных за ночь, а некоторые события даже могут вызвать хаос. Например, на нью-йоркской Фондовой бирже специалистам иногда требуется несколько минут, чтобы открыть акцию для торговли из-за диспропорций приказов. Однако как только акция или товар все-таки открыты, точка отсчета установлена. На основании этой точки в течение дня принимаются торговые решения.

В процессе торговли спекулятивные эмоции достигают экстремумов. Эти эмоциональные экстремумы записываются как максимумы и минимумы торгового дня. Наконец, торговый день заканчивается, и последняя сделка фиксируется как цена закрытия. Это та самая цена, на которую многие будут опираться при принятии решений по поводу своих позиций и тактики, которая будет использоваться при открытии следующей торговой сессии.

Помимо дневных данных трейдер в анализе обычно использует четыре цены. Трейдер знает точную цену открытия и закрытия для любого торгового дня, но в какой именно момент были достигнуты максимумы и минимумы и в каком порядке, неизвестно.

Как же можно определить наличие модели свечей?

Для того чтобы идентифицировать большинство моделей свечей, требуется не только обнаружить взаимоотношения между данными, составляющими модель, но и тренд, непосредственно предшествующий модели. Тренд — это то, что определяет психологию трейдеров, приводящую к образованию модели свечей. Почти вся современная литература так или иначе упускает эту важную составляющую распознавания свечных моделей.

Кроме этого, здесь необходимо сказать, что анализ японских свечей — анализ краткосрочный (от 1 до 10 дней). Любые модели, приводящие к более долгосрочным результатам, — несомненно, простое совпадение.

## **Определение тренда**

Что такое тренд? Если бы на этот вопрос имелся достаточно полный ответ, были бы раскрыты секреты рынка, а может быть, и всей Вселенной. В нашем же обсуждении мы постараемся дать тренду простое, но максимально точное определение с точки зрения краткосрочной перспективы.

Анализ тренда — наиважнейшая составляющая технического анализа. Идентификация тренда не менее важна, чем определение времени разворота рынка. Книги по техническому анализу рассматривают вопрос тренда довольно основательно и определяют его множеством способов. Один из наиболее распространенных подходов — скользящие *средние*.

## **Скользящие средние и сглаживание**

Одна из наиболее простых рыночных систем, скользящая средняя, работает почти так же хорошо, как и наилучшая из сложных сглаживающих техник. Скользящая средняя — почти то же самое, что и обычная средняя с тем исключением, что она скользящая, поскольку постоянно обновляется по мере поступления новых данных. Каждая точка данных в скользящей средней имеет один и тот же вес при вычислении, поэтому, когда говорят о скользящей средней, иногда используют термин *арифметическая* или *простая*.

Скользящая средняя сглаживает последовательность чисел таким образом, что краткосрочные колебания снижаются, в то время как более долгосрочные остаются почти неизменными. Очевидно, что временной промежуток скользящей средней будет изменять ее характеристики.

Дж. М. Херст в своей книге «The Profit Magic of Stock Transaction Timing» (1970) объяснил эти изменения тремя общими правилами:

- скользящая средняя любой данной длины уменьшает величину колебаний длительности, равной длине скользящей средней, до нуля;
- скользящая средняя также значительно снижает (но не уничтожает) величину всех колебаний длительности меньшей, чем длина скользящей средней;
- все колебания, большие чем длина скользящей средней, «пропускаются», или присутствуют в итоговой линии скользящей средней. Колебания с длительностями, лишь немного большими, чем длина скользящей средней, значительно уменьшаются по величине.

Несколько более продвинутая техника сглаживания — *экспоненциальная скользящая средняя*. В принципе она выполняет ту же задачу, что и простая (арифметическая) скользящая средняя. Экспоненциальное сглаживание было разработано для целей радиолокационного слежения и проектирования маршрутов полетов. Более чувствительное отслеживание трендов требовало, чтобы самые свежие данные оказывали большее влияние на результат. Формула экспоненциального сглаживания кажется сложной, но это всего лишь еще один способ взвешивания компонентов данных — так, чтобы самый последний компонент имел наибольший вес. Хотя для того, чтобы получить экспоненциально сглаженную величину, достаточно всего двух точек данных, лучше использовать большее количество. Все используемые данные становятся частью нового результата. Здесь дано простое объяснение экспоненциального сглаживания. Экспоненциальная средняя использует сглаживающую константу, которая аппроксимирует число дней для простой скользящей средней. Эта константа умножается на разницу между сегодняшней ценой закрытия и значением скользящей средней предыдущего дня. Затем новое значение прибавляется к значению скользящей средней предыдущего дня. Сглаживающая константа равна  $2 / (n + 1)$ , где  $n$  — число дней, используемых в простой скользящей средней.

### **Используемый метод определения тренда**

После проведения многочисленных тестов краткосрочное экспоненциальное сглаживание данных показало себя как лучший инструмент идентификации краткосрочных трендов. Оно дает наилучшее, самое простое и быстрое определение краткосрочного тренда, и его концепцию, без сомнений, нетрудно понять. Простые концепции обычно оказываются более надежными и, конечно, вызывают больше доверия.

Были проведены многочисленные тесты на громадных массивах информации, и обнаружилось, что экспоненциальный период в десять дней дает наилучшие результаты, особенно если вспомнить, что японские свечи — это метод краткосрочного анализа.

### **Идентификация моделей свечей**

В предыдущих главах представлено подробное описание точных взаимоотношений между ценами открытия, закрытия, минимумами и максимумами. Речь шла о концепции используемого тренда, в то время как эта глава фокусируется на нахождении тренда. В дополнение необходим метод отыскания длинных дней, коротких дней, дождей и т.д., включая отношения между телом и тенями. Последнее особенно важно для правильного определения таких моделей, как висельник и молот. В последующих разделах будет представлено множество методов, используемых при решении этих и сходных задач.

### **Длинные дни**

Существует три метода определения длинных дней. На практике используется как любой из них, так и все три или любая их комбинация. Термин минимум в этих формулах указывает на минимальный приемлемый процент для длинного дня. Любой день, тело которого больше этого минимального значения, будет рассматриваться как длинный.

### Методы идентификации длинного тела

1. *Тело / цена > минимум (0 — 100%)*

Этот метод будет связывать исследуемый день с действительным значением цен на акцию или товар. Если значение минимума установлено на 5%, а цена — на 100, тогда длинным будет любой день с диапазоном между открытием и закрытием в пять или более пунктов. Этот метод определения длинного дня не использует никаких прошлых данных.

2. *Тело / диапазон от максимальной до минимальной цены > минимум (0 — 100%)*

Этот метод использует отношение длины тела к диапазону между максимальной и минимальной ценами данного дня. Если свеча не имеет длинных теней, она рассматривается как длинный день. Сам по себе это не лучший метод, но он вполне хорош, если используется в сочетании с другими. Этот метод будет исключать дни, которые могут появляться, скорее, как волчки, если рассматривать их вместе с окружающими данными.

4. *Тело / усредненное тело последних X дней > минимум (%)*

Средняя размеров тел последних X дней используется для определения длинного дня. Значение X должно быть где-то между пятью и десятью днями. Если процент установлен на 130, тогда длинным днем будет считаться тот, который был на 30% больше, чем эта средняя величина. Этот метод хорош, поскольку согласуется с основной концепцией свечей и их использованием для краткосрочного анализа.

### Короткие дни

Практически та же концепция, что и в случае отыскания длинных дней, используется и при определении коротких дней с одним лишь исключением: во всех трех формулах вместо минимального используется максимальный процент.

### Отношение «маленькое тело / большое тело»

Такие модели, как *поглощение* и *харами*, используют как маленькое, так и большое тело. Эта концепция большого и маленького тел — не то же самое, что ранее рассмотренная концепция длинного и короткого тел. В данном случае термины *большое тело* и *маленькое тело* указывают лишь на взаимное отношение этих тел. Необходимо решить, какая минимальная величина *поглощения* приводит к образованию этой модели. Если точно следовать концепции, для образования поглощения требуется всего один тик, или минимальное ценовое движение. Может ли оно произойти на одном конце тела, если на другом его конце цены равны? Иначе говоря, могут ли диапазоны от цены открытия до цены закрытия различаться лишь на один тик? Следующая формула поможет вам справиться с такой ситуацией.

Маленькое тело / большое тело s максимум (0 — 100%)

Значение, обратное данному, можно использовать в случае *харами*. Рекомендуется использовать такие значения, которые представляют то, что может быть с легкостью обнаружено при визуальном исследовании данных. Если маленькое тело поглощено большим на 70%, это означает, что маленькое тело не может превышать 70% размера большого тела. Иначе говоря, большое тело примерно на 30% больше маленького тела.

### Зонтики

Помните, что *зонтики* появляются, когда тело расположено в верхней части дневного диапазона, а нижняя тень значительно длиннее, чем тело. Необходимо также рассмотреть длину верхней тени, если таковая имеется. Отношение между телом и нижней тенью определяется как процентное отношение длины тела к длине нижней тени:

Тело зонтика / длина тени (0 — 100%)



Если это значение устанавливается равным 50, значит, тело не может превышать 50% размера нижней тени. В этом примере нижняя тень была бы по меньшей мере в два раза длиннее тела. С верхней тенью зонтика можно поступить аналогичным образом:

Верхняя тень зонтика / диапазон от максимальной до минимальной цены (0 — 100%)

Верхняя тень связана со всем дневным диапазоном. Значение, равное 10, означает, что верхняя тень составляет лишь 10% (или менее) диапазона от максимальной до минимальной цены. Эти переменные помогают находить модели свечей висельник и молот. Такие модели, как *падающая звезда* и *перевернутый молот*, используют обратные установки.

### **Дни доджи**

*Доджи* возникает, когда цены открытия и закрытия равны. Это исключительно жесткое правило. В случае большинства типов данных при нахождении моделей свечей можно допускать некоторые отклонения. Формула позволяет устанавливать процентную разницу между двумя ценами в приемлемых границах.

Тело доджи / диапазон от максимальной до минимальной цены > максимум (0— 100%)

Это значение — процентный максимум отношения диапазона цен тела доджи к диапазону между максимумом и минимумом. По-видимому, значение 1—3% работает вполне хорошо.

### **Равные значения**

Равные значения появляются во многих моделях свечей. Они используются в таких моделях, как *встречающиеся свечи* и *разделение свечей*. *Встречающиеся свечи* требуют, чтобы цены закрытия двух дней были равны; *разделение свечей* требует, чтобы были равны цены открытия. Здесь вполне можно использовать ту же концепцию, которая применялась в случае доджи. Есть определенные обстоятельства, когда установка параметров в буквальном соответствии с определением модели будет, скорее, ограничивать, чем усиливать концепцию модели.

### **Компьютерный анализ и аномалии**

Статистика моделей свечей, приведенная в табл. 6-1, показывает количество данных, использованное в этом анализе, тип используемых данных и прочую уместную статистику. Были использованы данные по акциям (с ценами открытия и без них), бессрочных фьючерсных контрактов CSI и основных рыночных индексов.

В целом частота возникновения моделей немного ниже 11%, что эквивалентно появлению одной свечной модели примерно каждые девять торговых дней. Это представляет хорошую частоту для дневного анализа акций и фьючерсов. Разворотные модели появляются примерно в 30 раз чаще, чем модели продолжения. Это очень важно, поскольку указывает на развороты тренда, вызванные изменениями торговых позиций. В этом анализе было 48 разворотных моделей и 14 моделей продолжения, то есть примерно 77% всех моделей являлись разворотными.

## **ТАБЛИЦА 6-1. СТАТИСТИКА МОДЕЛЕЙ СВЕЧЕЙ**

Дата составления — 31.03.1992

	Акции	Акции (без данных открытия)	Фьючерсы	Индексы	Всего	% от общего кол-ва
Всего ценных бумаг	243	1416	41	13	1713	
Всего данных	113472	896290	49307	6940	1066009	

Здесь и далее « + » означает бычьей модель, а « — » — медвежьей.

	Акции	Акции (без данных открытия)	Фьючерсы	Индексы	Всего	% от общего кол-ва
<b>Разворотные модели</b>						
Молот (Hammer) +	1817	20493	174	53	22537	2,114%
Висельник (Hanging Man) -	17211	3866	163	126	15876	1,489%
Поглощение (Engulfing) +	1218	12166	451	86	13921	1,306%
Поглощение (Engulfing)-	988	10284	453	84	11809	1,108%
Харами (Harami)+	989	11569	442	92	13092	1,228%
Харами (Harami)-	1643	15470	467	150	17730	1,663%
Крест харами (Harami Cross) +	364	276	24	3	667	0,063%
Крест харами (Harami Cross) -	485	364	30	4	883	0,083%
Перевернутый молот (Inverted Hammer) +	137	0	31	0	168	0,016%
Падающая звезда (Shooting Star) -	66	600	5	1	672	0,063%
Пронизывающая линия (Piercing Line) +	136	0	111	3	250	0,023%
Темные облака (Dark Cloud Cover) -	144	0	122	3	269	0,025%
Доджи-звезда (DojiStar)+	265	582	21	2	870	0,082%
Доджи-звезда (DojiStar)-	293	480	37	4	814	0,076%
Утренняя звезда (Morning Star) +	32	78	25	0	135	0,013%
Вечерняя звезда (Evening Star) -	30	83	32	1	146	0,014%
Утренняя доджи-звезда (Morning Doji Star) +	33	41	14	3	91	0,009%
Вечерняя доджи-звезда (Evening Doji Star) -	15	4	10	0	29	0,003%
Брошенный младенец (Abandoned Baby) +	0	13	4	0	17	0,002%
Брошенный младенец (Abandoned Baby) -	0	16	2	0	18	0,002%
Три звезды (TriStar)+	31	151	0	1	183	0,017%
Три звезды (TriStar)-	31	158	0	9	198	0,019%
Две взлетевшие вороны (Upside Gap Two Crows) -	3	0	18	0	21	0,002%



Встречающиеся свечи (Meeting Lines) +	2	0	3	0	5	0,000%
Встречающиеся свечи (Meeting Lines) -	25	0	8	1	34	0,003%
Захват за пояс (Belt Hold) +	242	863	17	3	1125	0,106%
Захват за пояс (Belt Hold)-	294	1124	22	22	1462	0,137%
Особая впадина «три реки» (Unique Three River bottom)+ 0		0	1	0	1	0,000%
Три белых солдата (Three White Soldiers) +	26	71	4	4	105	0,010%
Размышление (Deliberation)-	51	118	20	3	192	0,018%
Отбитая атака (Advance Block) -	23	212	1	2	238	0,022%
Три черные вороны (Three Black Crows) -	19	10	12	1	42	0,004%
Три одинаковые вороны (Identical Three Crows) -	9	295	1	3	308	0,029%
Пробой (Breakaway)+	1	33	4	0	38	0,004%
Пробой (Breakaway) -	1	34	4	0	39	0,004%
Две вороны (Two Crows) -	18	0	24	0	42	0,004%
Три дня изнутри вверх (Three Inside Up) +	82	695	46	12	835	0,078%
Три дня изнутри вниз (Three Inside Down) -	103	711	49	7	870	0,082%
Три внешних дня вверх (Three Outside Up) +	289	2713	131	31	3164	0,297%
Три внешних дня вниз (Three Outside Down) -	238	1964	128	18	2348	0,220%
Три звезды на юге (Three Star in the South) +	1	6	0	0	7	0,001%
Прячущаяся ласточка (Concealing Baby Swallow) +	0	0	1	0	1	0,000%
Прилипший сэндвич (Stick Sandwich) +	1	49	2	0	52	0,005%
Высокий прыжок (Kicking) +	0	0	0	0	0	0,000%
Высокий прыжок (Kicking)-	0	0	1	0	1	0,000%
Почтовый голубь (Homing Pigeon) +	36	947	24	0	1007	0,094%
Ступенчатое дно (Ladder Bottom) +	6	98	0	0	104	0,010%
Совпадение по нижнему уровню (Matching Low) +	67	0	4	0	71	0,007»
<i>Итого по моделям разворота</i>	<i>11975</i>	<i>96637</i>	<i>3143</i>	<i>732</i>	<i>112487</i>	<i>10,552%</i>

### Модели продолжения

Верхний разрыв тасуки (Upside Tasuki Gap) +	66	286	88	3	443	0,042%
Нижний разрыв тасуки (Downside Tasuki Gap) -	35	327	90	4	456	0,043%
Смежные белые свечи (Side-by-Side White Lines) +	23	0	4	0	27	0,003%
Смежные белые свечи (Side-by-Side White Lines) -	2	0	4	0	6	0,001%
Метод трех поднимающихся (Rising Three Methods) +	65	445	13	8	531	0,050%
Метод трех падающих (Falling Three Methods) -	10	249	17	5	281	0,026%
Разделяющиеся свечи (Separating Lines) +	21	53	5	0	79	0,007%
Разделяющиеся свечи (Separating Lines) -	23	57	3	0	83	0,008%
Тройной удар (Three-line strike) +	26	0	16	1	43	0,004%
Тройной удар (Three-line strike) -	21	0	17	1	39	0,004%
Верхний разрыв метода трех (Upside Gap Three Methods) +	32	207	10	0	249	0,023%
Нижний разрыв метода трех (Downside Gap Three Methods) -	17	185	22	0	224	0,021%
У линии шеи (OnNeck Line)-	96	515	43	0	654	0,061%
На линии шеи (In Neck Line)-	153	0	58	0	211	0,020%
<b>Итого</b>						
по моделям продолжения	590	2324	390	22	3326	0,312%
Итого по всем моделям	12565	98961	3533	754	115813	10,864%

Кроме того, интересно заметить, что шесть моделей составляют почти 9% всех моделей. Модель *харам* «набрала» 32% среди этих шести моделей и почти 3% среди всех моделей. И, наконец, обратите внимание на то, что некоторые модели встречаются весьма редко. Чтобы оценить, имеют ли они какую-то значимость, следовало бы обратиться к статистике, представленной в главе 7. Когда появляется модель, нужно понимать, что со статистической точки зрения ее успех или неудача не имеют особого значения. Успешность и/или неудачность моделей свечей подробно рассматривается в главе 7.

Когда определенная модель появляется лишь несколько раз на большом количестве данных, следовало бы отдавать себе отчет в том, что ее успех или неудача — вопрос исследуемого временного периода. Не позволяйте статистике затмить здравый смысл и, конечно, избегайте неточности в данных.

Помните, что модели свечей применялись в качестве визуальной графической техники на протяжении сотен лет. При использовании компьютера не остается места субъективности,

которую предлагает классическое чтение графиков. Другой важный фактор при использовании компьютеров — качество графического экрана, его разрешение. Экран состоит из маленьких световых точек, называемых пикселями. Иногда используется слишком много данных или диапазон данных слишком велик; в этом случае то, что на экране кажется равным, в цифровом выражении может таковым и не быть. Самая маленькая (тонкая) горизонтальная линия может представлять собой определенный ценовой диапазон, не видимый глазу, который не будет показан не только на мониторе, но и на компьютерной распечатке. Вот почему определенная гибкость должна допускаться как в процессе идентификации, так и в определении классических моделей.

Другая компьютерная аномалия возникает при работе с моделями свечей, входящими в состав других моделей. Компьютер просматривает данные в хронологическом порядке, то есть старые данные рассматриваются в первую очередь. Когда добавляется новый день, модель не всегда может быть замечена. Когда модель идентифицирована, результат сохраняется и процесс продолжается. Если идентифицировано *бычье поглощение* и у следующего дня белое тело с ценой закрытия выше, чем у первого дня модели поглощения, замечается и записывается модель *три внешних дня вверх*. Данные статистики и тестирования получаются от обеих моделей. Однако лишь модель *три внешних дня вверх* будет идентифицирована, если ей дан более высокий приоритет.

# НАДЕЖНОСТЬ РАСПОЗНАВАНИЯ МОДЕЛЕЙ

## 7

Используя философию идентификации, разработанную в предыдущей главе, можно адаптировать метод к определению того, насколько успешными оказываются модели свечей.

### **Измерение успешности**

Для измерения успешности и/или неудачности различных моделей свечей были использованы следующие предположения:

- без сомнений, модель должна идентифицироваться на основании цены открытия, максимума, минимума и цены закрытия;
- для того чтобы идентифицировать модель, необходимо определить характер тренда. Это предположение взаимозаменяемо с предыдущей посылкой;
- для определения успешности или неудачности модели свечей должны быть установлены некоторые способы измерения.

Вам нужно сделать надежное предсказание, при этом вы либо знаете направление текущего тренда, либо нет. Здесь учтены обе предпосылки и обе возможности.

### ***Тренд известен***

Все модели свечей распадаются на две основных категории: одни указывают на разворот текущего тренда, другие говорят о том, что существующий тренд продолжится.

Ежедневно (речь идет о торговых днях) делаются прогнозы по поводу того, продолжится ли нынешняя ценовая тенденция или же развернется в течение определенного временного интервала, относительно которого дается прогноз. Иными словами, если сегодняшняя цена закрытия находится выше экспоненциальной средней (тренда), то мы предполагаем, что действует повышательный тренд. Успех или неудача измеряются через изменения этого тренда на интервале, относительно которого дается прогноз. Прогнозируемый интервал — это число предстоящих дней, на котором основывается оценка успеха или неудачи. Прогнозируемые интервалы указывают на временные периоды между появившейся моделью свечей и некоторым моментом в будущем.

Когда появляется модель свечей, она предлагает некоторый краткосрочный прогноз по поводу направления движения рассматриваемого рынка. Прогнозируемый интервал — это число дней, проходящее после появления модели, на протяжении которых определяется, оказалась ли успешной данная модель. Прогнозируемый интервал — отрезок времени в будущем, на котором измеряется прогностическая ценность модели.

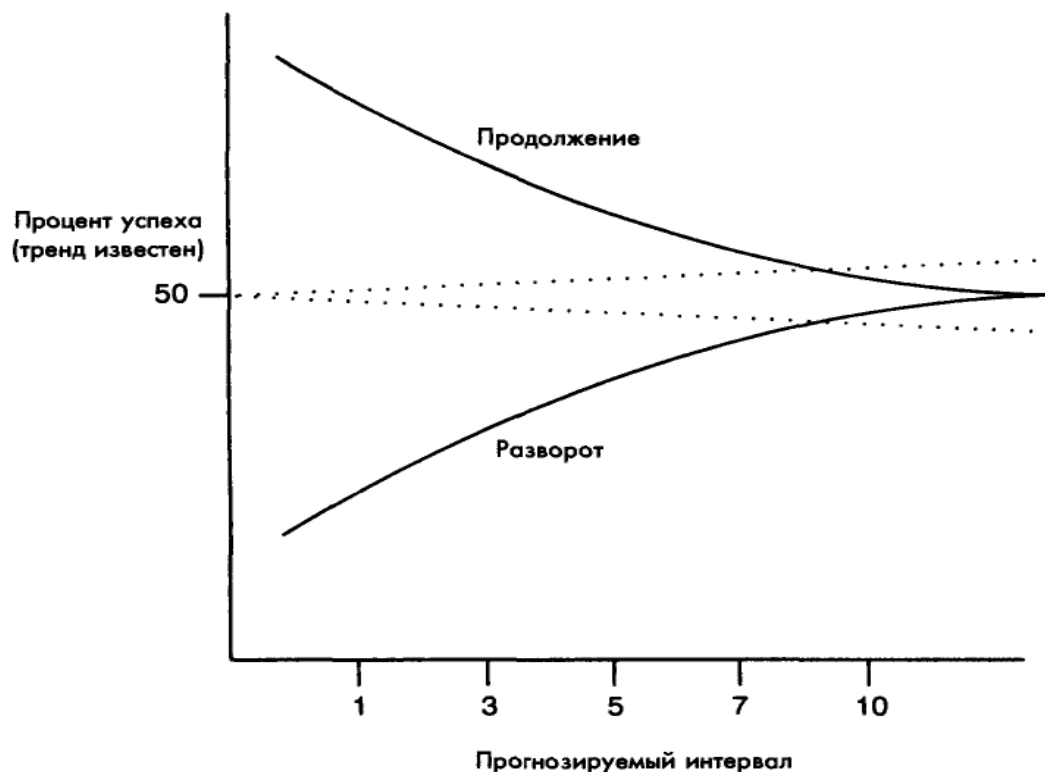
Раз уж тенденция существует, есть все шансы, что она будет продолжаться. Любой ученый или инженер поймет, что это не более чем первый закон Ньютона, который гласит, что любое тело остается в покое или продолжает равномерное движение по прямой линии, если на него не действуют некоторые силы, заставляющие его изменить свое состояние. Проще говоря, рынку легче двигаться в уже избранном направлении, чем его менять.

Таким образом, продолжение тренда — более распространенный случай, чем его разворот. Не забывайте, что мы говорим о ближайшем будущем.

Если на прогнозируемом интервале цена все еще остается выше тренда, значит, модель свечей

успешна. Проще говоря, если на прогнозируемом интервале мы все еще находимся в повышательном тренде, его можно считать успешным (рис. 7-1). Если это не так, тренд постигла неудача. На рис. 7-1 графически показаны взаимоотношения разворотных моделей и моделей продолжения с прогнозируемым интервалом. Взаимные отношения моделей с прогнозируемым интервалом основываются на том факте, что тренд известен.

**РИСУНОК 7-1**



### **Тренд неизвестен**

Иногда, делая прогноз, вы не знаете, какой тренд господствует на рынке. В таком случае делается попытка спрогнозировать повышательный или понижательный характер движения цены по принципу подбрасывания монеты. Если вам неизвестно направление тренда, шансы на его продолжение или разворот попадают в область 50%. Отклонение вниз или вверх от 50% будет отражать смещение направленности данных, используемых в анализе. И опять успех или неудача базируются на цене в прогнозируемом интервале в ее отношении к изменению тренда. Этот факт также проиллюстрирован на рис. 7-1. Помните, что большинство моделей свечей требует, чтобы тренд был определен.

### **Разворот текущего тренда и его продолжение**

При компьютерных вычислениях определяются два главных параметра: разворот и продолжение текущего тренда. Далее они разбиваются на повышательный и понижательный тренды (то есть на разворот текущего повышательного тренда и разворот текущего понижательного тренда).

Сумма успехов разворота и продолжения текущего тренда будет равна числу дней, данные по которым используются в процессе тестирования. Поскольку прогноз делается ежедневно, число успехов разворота текущего тренда и неудач продолжения текущего тренда будет равно. Говоря другими словами, успех разворота текущего тренда — это неудача продолжения текущего тренда.

Разворотные модели свечей (которых гораздо больше) сравниваются с разворотами текущего тренда и далее разбиваются на развороты вверх и развороты вниз. Поскольку разворотные модели свечей должны работать против любого тренда, который их определяет, мера их успешности не будет настолько жесткой, как мера успешности свечных моделей продолжения. Фактически процент их успешности в действительности мог бы быть ниже, чем при подбрасывании монеты, поскольку предсказывается изменение текущего тренда — тренда, который предположительно

известен.

Таким же образом свечные модели продолжения сопоставляются с продолжением текущего тренда. Свечные модели продолжения говорят о том, что тренд, который помог их найти, продолжится. Таким образом, для того чтобы рассматривать модель продолжения как успешную, требуются более жесткие критерии. Поскольку нам известен текущий тренд, и мы знаем, что больше шансов на его продолжение, чтобы иметь какую-то ценность, модели продолжения должны быть исключительно надежными. В противном случае они совершенно бесполезны.

### Статистическое ранжирование моделей свечей

Модели свечей — предсказуемые психологические картины (окна) торговли, дающие надежный прогноз при правильном использовании. Этот раздел объясняет методологию, используемую для выявления разнообразной статистики, разработанной для того, чтобы показать успешность моделей свечей. Обратите внимание на то, что рассматриваются лишь относительный успех или неудача, а не их конкретные значения. Помните: успех все-таки означает, что модель правильно предсказала движение рынка, а неудача указывает на то, что это не удалось.

Используя всю информацию о распознавании моделей (включая определение тренда), разработанную в предыдущих главах, мы покажем всего лишь, насколько надежными оказались модели свечей. Поскольку простой подход обычно является наилучшим, мы не делали никаких сложных предположений — лишь предположения по поводу направления движения цены на различных временных интервалах в будущем.

После определения относительного успеха или неудачи той или иной модели свечей вычислялась взаимосвязь с подходящим стандартом. Этот измерительный стандарт — разворот текущего тренда и продолжение текущего тренда; о них говорилось ранее. Помните, что эффективность моделей продолжения должна превышать эффективность разворотных моделей из-за их отношения к тренду. Вот почему вы увидите много моделей продолжения с негативной оценкой, даже несмотря на то, что процент их успешности был высок.

### Модели свечей и акции

Данными для этого анализа были акции, входящие в индекс Standard and Poor's 100, и 41 фьючерсный контракт. Индекс S&P100 — это взвешенный относительно капитализации индекс акций 100 компаний из самых разных отраслей экономики. Эти 100 акций прекрасно представляют американский фондовый рынок. Использувавшиеся фьючерсные контракты — бессрочные фьючерсы CSI (Commodity Systems, Inc). Эти контракты использовались так, чтобы можно было проанализировать долгосрочные непрерывные данные.

Результаты, показанные в табл. 7-1 — 7-3, использовали прогнозируемый интервал в три, пять и семь дней. Это должно вполне соответствовать временным интервалам, которые применяются в анализе моделей свечей. Когда прогнозируемые интервалы от одного до десяти дней проанализированы, все десять результатов попадают в ожидаемый диапазон, представленный этими таблицами.

В табл. 7-1 представлены результаты системы ранжирования моделей свечей для прогнозируемого интервала в три дня на основе данных более 82 000 дней. Заметьте, что в 100 акциях, используемых в этом тесте, появляются 55 из 62 возможных моделей, но некоторые модели встречаются намного реже других. Около 65% (36 из 55) моделей свечей считаются успешными с точки зрения установленных критериев ранжирования.

Данные дают хороший пример того, что значимость разворотных моделей и моделей продолжения не одинакова. Разворотная модель *три одинаковые вороны* имеет 100% успеха и при ранжировании имеет показатель 230,03%. Модель продолжения *метод трех падающих* тоже имеет 100% успеха, но ее показатель равнялся всего лишь 49,48%. Это объясняется тем, что модели продолжения лишь предполагают, что известный тренд продолжится, на что, конечно, больше шансов. И наоборот, разворотная модель показывает, что тренд развернется, что происходит с меньшей вероятностью.

**ТАБЛИЦА 7-1. РЕЙТИНГ СВЕЧНЫХ МОДЕЛЕЙ**

Интервал: 3

Период: 821

Рейтинг основан на проценте улучшения результата по сравнению со случайным выбором

Здесь и далее «R» означает разворотную модель, а «С» — модель продолжения.

№	Тип	Название модели	Всего	Кол-во удач	% удач	% рейтинг
1	R—	Три одинаковые вороны (Identical Three Crows) -	8	8	100,00	230,03
2	R+	Три белых солдата (Three White Soldiers) +	19	17	89,40	170,09
3	R—	Три черных вороны (Three Black Crows) -	17	13	76,40	152,15
4	R—	Три дня изнутри вниз (Three Inside Down) -	76	52	68,40	125,74
5	R—	Три внешних дня вниз (Three Outside Down) -	175	118	67,40	122,44
6	R—	Две взлетевшие вороны (Upside Gap Two Crows) -	3	2	66,60	119,80
7	R+	Три внешних дня вверх (Three Outside Up) +	208	139	66,80	101,81
8	R+	Три дня изнутри вверх (Three Inside Up) +	59	37	62,70	89,43
9	R—	Поглощение (Engulfing)-	694	356	51,20	68,98
10	R+	Поглощение (Engulfing) +	908	500	55,00	66,16
11	R+	Утренняя доджи-звезда (Morning Doji Star) +	25	13	52,00	57,10
12	R+	Три звезды (TriStar)+	18	9	50,00	51,06
13	C	Метод трех падающих (Falling Three Methods) -	5	5	100,00	49,48
14	R+	Пронизывающая линия (Piercing Line) +	100	48	48,00	45,02
15	R—	Темные облака (Dark Cloud Cover) -	107	47	43,90	44,88
16	R+	Утренняя звезда (Morning Star) +	21	10	47,60	43,81
17	R—	Захват за пояс (Belt Hold)-	202	86	42,50	40,26
18	R+	Почтовый голубь (Homing Pigeon) +	22	10	45,40	37,16
19	C	Смежные белые свечи (Side-by-Side White Lines) +	16	15	93,70	34,43

20	R—	Вечерняя звезда (Evening Star) -	23	9	39,10	29,04
21	R—	Две вороны (Two Crows)-	13	5	38,40	26,73
22	R +	Захват за пояс (Belt Hold) +	190	79	41,50	25,38
23	C	Разделяющиеся свечи (Separating Lines) -	12	10	83,30	24,51
24	C	Разделяющиеся свечи (Separating Lines) +	11	9	81,80	17,36
25	C	Верхний разрыв тасуки (Upside Tasuki Gap) +	49	40	81,60	17,07
26	R—	Три звезды (TriStar)-	15	5	33,30	9,90
27	R—	Вечерняя доджи-звезда (Evening Doji Star) -	9	3	33,30	9,90
28	C	У линии шеи (On Neck Line) -	78	57	73,00	9,12
29	R+	Крест харами (Harami Cross) +	277	99	35,70	7,85
30	R+	Перевернутый молот (Inverted Hammer) +	109	38	34,80	5,14
31	C	На линии шеи (In Neck Line) -	118	83	70,30	5,08
32	R+	Харами (Harami) +	755	261	34,50	4,23
33	C	Метод трех поднимающихся (Rising Three Methods) +	43	31	72,00	3,30
34	R—	Харами (Harami)-	1165	358	30,70	1,32
35	R—	Висельник (Hanging Man) -	1175	361	30,70	1,32
36	R+	Молот (Hammer) +	1336	447	33,40	0,91
37	R—	Крест карами (Harami Cross) -	340	99	29,10	-3,96
38	C	Нижний разрыв тасуки (Downside Tasuki Gap) -	29	18	62,00	-7,32
39	C	Нижний разрыв метода трех (Downside Gap Three Methods) -	13	8	61,50	-8,07
40	C	Верхний разрыв метода трех (Upside Gap Three Methods) +	24	15	62,50	-10,33
41	C	Тройной удар (Three-line strike) -	16	9	56,20	-15,99
42	R—	Падающая звезда (Shooting Star) -	36	9	25,00	-17,49
43	R+	Доджи-звезда (DojiStar)+	178	44	24,70	-25,38



44	R+	Совпадение по нижнему уровню (Matching Low) +	42	9	21,40	-35,35
45	R+	Ступенчатое дно (Ladder Bottom) +	5	1	20,00	-39,58
46	R—	Размышление (Deliberation)-	30	5	16,60	-45,21
47	C	Тройной удар (Three-line strike) +	19	7	36,80	-47,20
48	R—	Доджи-звезда (DojiStar)-	157	24	15,20	-49,83
49	R—	Отбитая атака (Advance Block)-	17	1	5,80	-80,86
50	R+	Встречающиеся свечи (Meeting Lines) +	20		0,00	-100,00
51	R—	Встречающиеся свечи (Meeting Lines) -	10	0	0,00	-100,00
52	R+	Прилипший сэндвич (Stick Sandwich) +	1	0	0,00	-100,00
53	R +	Три звезды на юге (Three Star in the South) +	1	0	0,00	-100,00
54	C	Смежные белые свечи (Side-by-Side White Lines) -	1	0	0,00	-100,00
55	R+	Пробой (Breakaway) +	1	0	0,00	-100,00

## ТАБЛИЦА 7-2. РЕЙТИНГ СВЕЧНЫХ МОДЕЛЕЙ

Интервал: 5

Период: 821

Рейтинг основан на проценте улучшения результата по сравнению со случайным выбором

№.	Тип	Название модели	Всего	Кол-во удач	% удач	% рейтинг
1	R+	Три белых солдата (Three White Soldiers) +	19	16	84,20	108,93
2	R—	Три черные вороны (Three Black Crows) -	17	13	76,40	107,05
3	R—	Две взлетевшие вороны (Upside Gap Two Crows) -	3	2	66,60	80,49
4	R—	Три внешних дня вниз (Three Outside Down) -	174	109	62,60	69,65
5	R—	Три одинаковые вороны (Identical Three Crows) -	8	5	62,50	69,38
6	R+	Утренняя доджи-звезда (Morning Doji Star) +	25	16	64,00	58,81
7	R—	Вечерняя звезда (Evening Star) -	23	13	56,50	53,12

8	R+	Три внешних дня вверх (Three Outside Up) +	208	124	59,60	47,89
9	C	Разделяющиеся свечи (Separating Lines) +	11	10	90,90	44,06
10	R—	Три дня изнутри вниз (Three Inside Down) -	76	40	52,60	42,55
11	R—	Поглощение (Engulfing) -	692	353	51,00	38,21
12	R—	Темные облака (Dark Cloud Cover) -	107	51	47,60	29,00
13	R+	Три дня изнутри вверх (Three Inside Up) +	59	30	50,80	26,05
14	R+	Встречающиеся свечи (Meeting Lines) +	2	1	50,00	24,07
15	R+	Почтовый голубь (Homing Pigeon) +	22	11	50,00	24,07
16	R+	Поглощение (Engulfing) +	907	446	49,10	21,84
17	R+	Пронизывающая линия (Piercing Line) +	100	48	48,00	19,11
18	R—	Захват за пояс (Belt Hold) -	201	88	43,70	18,43
19	C	Метод трех поднимающихся (Rising Three Methods) +	43	32	74,40	17,91
20	C	Нижний разрыв метода трех (Downside Gap Three Methods) -	13	9	69,20	15,91
21	R+	Крест харами (Harami Cross) +	277	126	45,40	12,66
22	C	Разделяющиеся свечи (Separating Lines) -	12	8	66,60	11,56
23	C	Верхний разрыв тасуки (Upside Tasuki Gap) +	49	34	69,30	9,83
24	C	У линии шеи (On Neck Line) -	78	51	65,30	9,38
25	R+	Харами (Harami) +	751	326	43,40	7,69
26	R+	Захват за пояс (BeltHold)+	189	78	41,20	2,23
27	R—	Висельник (Hanging Man) -	1171	436	37,20	0,81
28	C	Тройной удар (Three-line strike) +	19	12	63,10	0,00
29	R+	Ступенчатое дно (Ladder bottom) +	5	2	40,00	-0,74
30	R—	Харами (Harami) -	1164	423	36,30	-1,63
31	R+	Совпадение по нижнему уровню (Matching Low) +	41	16	39,00	-3,23

32	R+	Три звезды (TriStar)+	18	7	3880	-3,72
33	R+	Молот (Hammer) +	1334	514	3850	-4,47
34	C	На линии шеи (In Neck Line) -	118	67	5670	-5,03
35	R+	Утренняя звезда (Morning Star) +	21	8	3800	-5,71
36	R—	Крест харами ( Harami Cross) -	340	115	3380	-8,40
37	R—	Три звезды (TriStar) -	15	5	3330	-9,76
38	R—	Падающая звезда (Shooting Star) -	36	12	3330	-9,76
39	R+	Перевернутый молот (Inverted Hammer) +	109	38	3480	-13,65
40	C	Верхний разрыв метода трех (Up Side Gap Three Methods) +	24	13	5410	-14,26
41	C	Тройной удар (Three-line Strike) -	16	8	50,00	-16,25
42	R—	Две вороны (Two Crows) -	13	4	30,70	-16,80
43	C	Нижний разрыв тасуки (Downside Tasuki Gap) -	29	14	48,20	-19,26
44	C	Смежные белые свечи (Side-by-Side White Lines) +	16	8	50,00	-20,76
45	R+	Доджи-звезда (DojiStar)+	178	53	29,70	-26,30
46	C	Метод трех падающих (Falling Three Methods) -	5	2	40,00	- 33,00
47	R—	Размышление (Deliberation) -	30	7	23,30	-36,86
48	R—	Вечерняя доджи-звезда (Evening Doji Star) -	9	2	22,20	-39,84
49	R—	Доджи-звезда (Doji Star) -	154	33	21,40	-42,01
50	R—	Отбитая атака (Advance Block) -	17	2	11,70	-68,29
51	R—	Встречающиеся свечи (Meeting Lines) -	10	1	10,00	-72,90
52	R+	Прилипший сэндвич (Stick Sandwich) +	1	0	0,00	-100,00
53	C	Смежные белые свечи (Side-by-Side White Lines) -	1	0	0,00	-100,00
54	R+	Три звезды на юге (Three Star in the South) +	1	0	0,00	-100,00
55	R+	Пробой (Breakaway) +	1	0	0,00	-100,00

### ТАБЛИЦА 7-3. РЕЙТИНГ СВЕЧНЫХ МОДЕЛЕЙ

Интервал: 7

Период: 821

Рейтинг основан на проценте улучшения результата по сравнению со случайным выбором

№	Тип	Название модели	Всего	Кол-во удач	% удач	% рейтинг
1	R+	Прилипший сэндвич (Stick Sandwich) +	1	1	100,00	123,21
2	R+	Встречающиеся свечи (Meeting Lines) +	2	2	100,00	123,21
3	R—	Три черные вороны (Three Black Crows) -	17	11	64,70	57,42
4	R +	Три белых солдата (Three White Soldiers) +	19	11	57,80	29,02
5	R—	Отбитая атака (Advance Block) -	17	9	52,90	28,71
6	R +	Три дня изнутри вверх (Three Inside Up) +	59	34	57,60	28,57
7	R—	Падающая звезда (Shooting Star) -	36	19	52,70	28,22
8	R—	Три внешних дня вниз (Three Outside Down) -	172	88	51,10	24,33
9	C	Разделяющиеся свечи (Separating Lines) +	И	8	72,70	23,43
10	R—	Встречающиеся свечи (Meeting Lines) -	10	5	50,00	21,65
11	C	Верхний разрыв тасуки (Upside Tasuki Gap) +	49	35	71,40	21,22
12	C	У линии шеи (On Neck Line) -	78	52	66,60	20,65
13	C	Разделяющиеся свечи (Separating Lines) -	12	8	66,60	20,65
14	R—	Темные облака (Dark Cloud Cover) -	107	52	48,50	18,00
15	R+	Три внешних дня вверх (Three Outside Up) +	208	109	52,40	16,96
16	C	Тройной удар (Three-line strike) +	19	13	68,40	16,13
17	R+	Утренняя доджи-звезда (Morning Doji Star) +	25	13	52,00	16,07
18	R—	Три дня изнутри вниз (Three Inside Down) -	76	36	47,30	15,09
19	R+	Пронизывающая линия (Piercing Line) +	100	51	51,00	13,84
20	C	Метод трех поднимающихся (Rising Three Methods) +	42	28	66,60	13,07

21	C	Верхний разрыв метода трех (Up Side Gap Three Methods) +	24	16	66,60	13,07
22	R—	Поглощение (Engulfing) -	689	319	46,20	12,41
23	R+	Почтовый голубь (Homing Pigeon) +	22	11	50,00	11,61
24	R+	Совпадение по нижнему уровню (Matching Low) +	41	20	48,70	8,71
25	C	Метод трех падающих (Falling Three Methods) -	5	3	60,00	8,70
26	R+	Утренняя звезда (Morning Star) +	21	10	47,60	6,25
27	C	Нижний разрыв тасуки (Downside Tasuki Gap) -	29	17	58,60	6,16
28	R+	Харами (Harami)+	750	356	47,40	5,80
29	R+	Поглощение (Engulfing) +	907	429	47,20	5,36
30	R—	Харами (Harami) -	1157	501	43,30	5,35
31	R—	Размышление (Deliberation) -	30	13	43,30	5,35
32	R—	Захват за пояс (Belt Hold) -	199	86	43,20	5,11
33	R+	Крест харами (Harami Cross) +	277	130	46,90	4,69
34	R—	Висельник (Hanging Man) -	1166	497	42,60	3,65
35	R+	Захват за пояс (Belt Hold) +	189	87	46,00	2,68
36	R+	Молот (Hammer) +	1331	591	44,40	-0,89
37	C	Нижний разрыв метода трех (Dow Side Gap Three Methods) -	13	7	53,80	-2,54
38	R—	Три звезды (Tri Star) -	15	6	40,00	-2,68
39	C	Смежные белые свечи (Side-by-Side White Lines) +	16	9	56,20	-4,58
40	R—	Крест харами (Harami Cross) -	340	133	39,10	-4,87
41	R—	Вечерняя звезда (Evening Star) -	23	9	39,10	-4,87
42	C	Тройной удар (Three-line strike) -	16	8	50,00	-9,42
43	C	На линии шеи (In Neck Line) -	118	58	49,10	-11,05
44	R—	Две взлетевшие вороны (Up Side Gap Two Crows) -	3	1	33,30	-18,98

45	R—	Вечерняя доджи-звезда (Evening Doji Star) -	9	3	33,30	-18,98
46	R+	Перевернутый молот (Inverted Hammer) +	109	38	34,80	-22,32
47	R—	Доджи-звезда (Doji Star) -	154	49	31,80	-22,63
48	R+	Доджи-звезда (Doji Star) +	178	61	34,20	-23,66
49	R+	Три звезды (Tri Star) +	18	6	33,30	-25,67
50	R—	Три одинаковые вороны (Identical Three Crows) -	8	2	25,00	-39,17
51	R—	Две вороны (Two Crows) -	13	3	23,00	-44,04
52	R+	Ступенчатое дно (Ladder Bottom) +	5	1	20,00	-55,36
53	R+	Три звезды на юге (Three Star in the South) +	1	0	0,00	-100,00
54	C	Смежные белые свечи (Side-by-Side White Lines) -	1	0	0,00	-100,00
55	R+	Пробой (Breakaway) +	1	0	0,00	-100,00

Как видно из табл. 7-2, использование прогнозируемого интервала в пять дней до некоторой степени уменьшает показатель успешности моделей. Лишь 28 из 55 моделей, или чуть больше 50%, могут быть названы успешными. Заметьте также, что модель *три одинаковые вороны* спустилась на пятое место. *Метод трех падающих*, в полном соответствии со своим названием, упал до 46-го места при показателе 33%.

Использование прогнозируемого интервала в семь дней повысило число успешных моделей до 35, или до 63% (табл. 7-3). Кроме того, обратите внимание на то, что модели, занявшие два первых места, ранее находились в самом низу таблицы.

### Итоги трех таблиц по акциям

Какие выводы можно сделать относительно данных, представленных в табл. 7-1 — 7-3? Помните, что во всех таблицах использовались одни и те же данные, менялся лишь прогнозируемый интервал. В результате мы можем сделать следующие выводы:

1. Если при изменении прогнозируемого интервала ранг модели то падал, то рос, полезность такой модели для используемых данных сомнительна. В частности, нижний *разрыв метода трех* переместился с 39-го места при прогнозируемом интервале в три дня на 20-е место, когда прогнозируемый интервал стал равен пяти дням, и снова опустился на 37-е место, когда прогнозируемый интервал был увеличен до семи дней. И хотя прыжок на 20-е место впечатляет, тем не менее он показывает, что прогностические возможности данной модели не слишком велики.
2. Устойчивое движение по рейтингу в одном направлении может быть весьма многозначительным. *Совпадение по нижнему уровню* — хороший тому пример. Рейтинг этой модели в табл. 7-1 равен 44 при отрицательном результате 35,35%. При увеличении прогнозируемого интервала с трех до пяти дней *совпадение по нижнему уровню* передвинулось на 31-е место, а при семи днях поднялось до 24-го

места при результате 8,71%. Это говорит о том, что надежность раз воротной модели *совпадение по нижнему уровню* повышается с увеличением прогнозируемого интервала. *Встречающиеся свечи* + являют еще один пример модели, у которой повышается надежность с увеличением прогнозируемого интервала. *Встречающиеся свечи*+ переместились с 50-го на 14-е, а затем на второе место. Это показывает, что *встречающиеся свечи*+ лучше работают на более длинных интервалах прогноза изменения тренда. Единственная проблема состоит в том, что *встречающиеся свечи*+ появились лишь дважды, что ставит выводы под некоторое сомнение. *Три одинаковые вороны*, будучи номером один на прогнозируемом интервале в три дня, передвинулись на пятое, а затем и 50-е место, когда прогнозируемый интервал был увеличен до семи дней. Это показывает, что данная модель работает намного лучше как более краткосрочный разворотный индикатор.

3. Модели, показывающие примерно одинаковые результаты на разных интервалах прогноза, — наиболее устойчивые индикаторы разворота тренда. Из 15 моделей на прогнозируемом интервале в три дня шесть моделей остались в списке 15 лучших при всех трех ранжированиях. Это три *черные вороны*, *три белых солдата*, *три дня изнутри вверх* и *три дня изнутри вниз*, *темные облака* и *три внешних дня вверх*. Эти шесть разворотных моделей постоянно показывали хорошую результативность на всех протестированных прогнозируемых интервалах.

На другом краю спектра — шесть моделей, которые оставались на 15 нижних строках ранжира в случае всех трех прогнозируемых интервалов. Это *тройной удар*—, *доджи-звезда*+, *доджи-звезда*—, *три звезды на юге*, *смежные белые свечи*— и *пробой*+. Три модели — *три звезды на юге*, *смежные белые свечи*— и *пробой*+ — во всем массиве данных появились лишь однажды, следовательно, им не стоит придавать большого значения.

Кроме того, интересно заметить, что, когда прогнозируемый интервал был увеличен до девяти дней, лишь три *черные вороны*, *три дня изнутри вверх* и *темные облака* остались среди 15 лучших. *Тройной удар*— и *смежные белые свечи*— были единственными моделями, оставшимися в пределах 15 нижних строк рейтинга. Удивительно, что традиционно неуспешные модели *три звезды на юге* и *пробой*+ оказались номерами один и три соответственно.

Очевидно, что к этим моделям следует относиться очень осторожно. Для наблюдений старайтесь использовать те из них, у которых есть хоть малейший шанс оказаться успешными при использовании дополнительных данных и/или интервалов.

### **Модели свечей и фьючерсы**

Ранжирование моделей свечей для 41 различного фьючерсного контракта было проведено на данных более чем за 49 000 дней. В табл. 7-4 приведены результаты для прогнозируемого интервала в три дня. В этом массиве данных было идентифицировано 57 моделей свечей из 62 возможных. Важно отметить, что семь моделей появились всего один или два раза. При использовании уже обсуждавшейся системы ранжирования лишь немногим более половины моделей (32 из 57) были оценены как успешные. Здесь так же, как и в случае акций, две модели имели 100%-й уровень успеха. Разворотная модель *высокий прыжок*— появилась лишь однажды, и ей не следовало бы придавать большого значения. Модель продолжения *смежные белые свечи*+ имела 100%-й успех и рейтинговую оценку 40,65%. Помните, что модель продолжения работает в направлении тренда и, следовательно, должна показывать исключительные результаты, чтобы получить высокий ранг.

При прогнозируемом интервале в пять дней 30 из 57 моделей получили положительную оценку, что и показано в табл. 7-5. Однако заметьте, что четыре модели имели 100%-й успех. Поскольку число появлений всех этих моделей было мало, важность этого факта следовало бы оценивать исходя из того, насколько эффективными они были на различных прогнозируемых интервалах.

Прогнозируемый интервал в семь дней дал 38, или более 66% успешных моделей (табл. 7-6). И снова четыре модели имели 100%-й успех, однако заметьте, что это не были те же самые модели, что в табл. 7-5.

#### ТАБЛИЦА 7-4. РЕЙТИНГ СВЕЧНЫХ МОДЕЛЕЙ

Интервал: 3

Период: 314

Рейтинг основан на проценте улучшения результата по сравнению со случайным выбором

№	Тип	Название модели	Всего	Кол-во удач	% удач	% рейтинг
1	R—	Высокий прыжок (Kicking) -	1	1	100,00	246,02
2	R—	Три черные вороны (Three Black Crows) -	12	9	75,00	159,52
3	R+	Утренняя доджи-звезда (Morning Doji Star) +	14	11	78,50	150,00
4	R+	Брошенный младенец (Abandoned Baby) +	4	3	75,00	138,85
5	R+	Три белых солдата (Three White Soldiers) +	4	3	75,00	138,85
6	R+	Пробой (Breakaway) +	4	3	75,00	138,85
7	R—	Три внешних дня вниз (Three Outside Down) -	128	80	62,50	116,26
8	R+	Три дня изнутри вверх (Three Inside Up) +	46	31	67,30	114,33
9	R+	Три внешних дня вверх (Three Outside up) +	131	86	65,60	108,92
10	R—	Три дня изнутри вниз (Three Inside Down) -	49	25	51,00	76,47
11	R—	Поглощение (Engulfing) -	454	231	50,80	75,78
12	R+	Поглощение (Engulfing) +	452	240	53,00	68,79
13	C	Смежные белые свечи (Side-by-Side White Lines) +	4	4	100,00	40,65
14	R—	Темные облака (Dark Cloud Cover) -	123	47	38,20	32,18
15	R+	Пронизывающая линия (Piercing Line) +	111	46	41,40	31,85
16	R+	Захват за пояс (Belt Hold) +	17	7	41,10	30,89
17	R+	Утренняя звезда (Morning Star) +	25	10	40,00	27,39
18	R—	Захват за пояс (Belt Hold) -	22	8	36,30	25,61
19	C	Метод трех падающих (Falling Three Methods) -	17	14	82,30	19,97



20	R+	Крест харами (Harami Cross) +	24	9	37,50	19,43
21	R—	Вечерняя звезда (Evening Star) -	32	11	34,30	18,69
22	R—	Харами (Harami) -	467	158	33,80	16,96
23	C	На линии шеи (In Neck Line) -	58	46	79,30	15,60
24	R—	Две взлетевшие вороны (Upside Gap Two Crows) -	18	6	33,30	15,22
25	C	Разделяющиеся свечи (Separating Lines) +	5	4	80,00	12,52
26	C	Верхний разрыв тасуки (Upside Tasuki Gap) +	88	66	75,00	5,49
27	C	У линии шеи (On Neck Line) -	43	31	72,00	4,96
28	R—	Вечерняя доджи-звезда (Evening Doji Star) -	10	3	30,00	3,81
29	R+	Харами (Harami)+	444	141	31,70	0,96
30	R—	Две вороны (Two Crows) -	24	7	29,10	0,69
31	C	Метод трех поднимающихся (Rising Three Methods) +	14	10	71,40	0,42
32	R+	Молот (Hammer) +	175	55	31,40	0,00
33	C	Верхний разрыв метода трех (Upside Gap Three Methods) +	10	7	70,00	1,55
34	C	Разделяющиеся свечи (Separating Lines) -	3	2	66,60	-2,92
35	C	Нижний разрыв тасуки (Downside Tasuki Gap) -	90	58	64,40	-6,12
36	R+	Перевернутый молот (Inverted Hammer) +	31	9	29,00	-7,64
37	R—	Висельник (Hanging Man) -	163	43	26,30	-9,00
38	R+	Доджи-звезда (DojiStar)+	21	6	28,50	-9,24
39	R—	Пробой (Breakaway) -	4	1	25,00	-13,49
40	C	Нижний разрыв метода трех (Downside Gap Three Methods) -	22	13	59,00	-13,99
41	R—	Крест харами (Harami Cross) -	30	7	23,30	-19,38
42	R+	Совпадение по нижнему уровню (Matching Low) +	4	1	25,00	-0,38
43	C	Тройной удар (Three-line strike) -	17	9	52,90	-22,89

44	C	Смежные белые свечи (Side-by-Side White Lines) -	4	2	50,00	-27,11
45	R—	Падающая звезда (Shooting Star) -	5	1	20,00	- 30,80
46	R—	Размышление (Deliberation) -	20	3	15,00	-48,10
47	R—	Доджи-звезда (DojiStar) -	37	5	13,50	-53,29
48	C	Тройной удар (Three-line strike) +	16	5	31,20	-56,1
49	R—	Встречающиеся свечи (Meeting Lines) -	8	1	12,50	-56,75
50	R+	Почтовый голубь (Homing Pigeon) +	24	2	8,30	-73,57
51	R+	Особая впадина «три реки» (Unique Three River Bottom) +	1	0	0,00	-100,00
52	R+	Встречающиеся свечи (Meeting Lines) +	3	0	0,00	-100,00
53	R+	Прилипший сэндвич (Stick Sandwich) +	2	0	0,00	-100,00
54	R—	Отбитая атака (Advance Block) -	1	0	0,00	-100,00
55	R—	Брошенный младенец (Abandoned Baby) -	20		0,00	-100,00
56	R+	Прячущаяся ласточка (Concealing Baby Swallow) +	1	0	0,00	-100,00
57	R—	Три одинаковые вороны (Identical Three Crows) -	1	0	0,00	-100,00

## ТАБЛИЦА 7-5. РЕЙТИНГ СВЕЧНЫХ МОДЕЛЕЙ

Интервал: 5

Период: 314

Рейтинг основан на проценте улучшения результата по сравнению со случайным выбором

№	Тип	Название модели	Всего	Кол-во удач	% удач	% рейтинг
1	R—	Три одинаковые вороны (Identical Three Crows) -	1	1	100,00	183,29
2	R—	Высокий прыжок (Kicking) -	1	1	100,00	183,29
3	R+	Пробой (Breakaway) +	4	4	100,00	161,10
4	R—	Пробой (Breakaway) -	4	3	75,00	112,46
5	R—	Три черные вороны (Three Black Crows) -	12	8	66,60	88,67
6	R +	Утренняя звезда (Morning Star) +	25	17	68,00	77,55

7	R+	Утренняя доджи-звезда (Morning Doji Star) +	14	9	64,20	67,62
8	R—	Три внешних дня вниз (Tree Outside Down) -	128	72	56,20	59,21
9	R—	Две взлетевшие вороны (Upside Gap Two Crows) -	18	10	55,50	57,22
10	C	Смежные белые свечи (Side-by-Side White Lines) +	4	4	100,00	54,56
11	R +	Три внешних дня вверх (Three Outside Up) +	131	76	58,00	51,44
12	R—	Поглощение (Engulfing) -	453	238	52,50	48,73
13	R+	Три дня изнутри вверх (Three Inside Up) +	46	26	56,50	47,52
14	R—	Брошенный младенец (Abandoned Baby) -	2	1	50,00	41,64
15	R—	Вечерняя звезда (Evening Star) -	32	16	50,00	41,64
16	R+	Поглощение (Engulfing) +	451	234	51,80	35,25
17	R+	Три белых солдата (Three White Soldiers) +	4	2	50,00	30,55
18	R+	Брошенный младенец (Abandoned Baby) +	4	2	50,00	30,55
19	R—	Три дня изнутри вниз (Tree Inside Down) -	49	22	44,80	26,91
20	R +	Захват за пояс (Belt Hold) +	17	8	47,00	22,72
21	C	Смежные белые свечи (Side-by-Side White Lines) -	4	3	75,00	21,56
22	R—	Темные облака (Dark Cloud Cover) -	122	49	40,10	13,60
23	R—	Падающая звезда (Shooting Star) -	5	2	40,00	13,31
24	R +	Молот (Hammer) +	174	74	42,50	10,97
25	R+	Перевернутый молот (Inverted Hammer) +	31	13	41,90	9,40
26	C	На линии шеи (In Neck Line)-	58	39	67,20	8,91
27	R +	Пронизывающая линия (Piercing Line) +	111	46	41,40	8,09
28	R—	Карами (Harami) -	467	177	37,90	7,37
29	R—	Две вороны (Two Crows) -	24	9	37,50	6,23
30	R+	Карами (Harami) +	442	178	40,20	4,96

31	C	Нижний разрыв тасуки (Downside Tasuki Gap) -	90	55	61,10	-0,97
32	C	Тройной удар (Three-line strike) +	16	10	62,50	-3,40
33	C	Разделяющиеся свечи (Separating Lines) +	5	3	60,00	-7,26
34	R—	Висельник (Hanging Man) -	163	53	32,50	-7,93
35	C	Верхний разрыв тасуки (Upside Tasuki Gap) +	88	52	59,00	-8,81
36	R+	Встречающиеся свечи (Meeting Lines) +	3	1	33,30	-13,05
37	R—	Вечерняя доджи-звезда (Evening Doji Star) -	10	3	30,00	-15,01
38	R—	Доджи-звезда (Doji Star) -	37	11	29,70	-15,86
39	C	У линии шеи (On Neck Line) -	43	21	48,80	-20,91
40	C	Верхний разрыв метода трех (Upside Gap Three Methods) +	10	5	50,00	-22,72
41	C	Тройной удар (Three-line Strike) -	17	8	47,00	-23,82
42	C	Метод трех падающих (Falling Three Methods) -	17	8	47,00	-23,82
43	R+	Доджи-звезда (Doji Star) +	21	6	28,50	-25,59
44	C	Нижний разрыв метода трех (Downside Gap Three Methods) -	22	9	40,90	-33,71
45	R—	Крест харами (Harami Cross) -	30	7	23,30	-33,99
46	R +	Совпадение по нижнему уровню (Matching Low) +	4	1	25,00	-34,73
47	R +	Крест харами (Harami Cross) +	24	6	25,00	-34,73
48	R—	Захват за пояс (Belt Hold) -	22	5	22,70	-35,69
49	C	Метод трех поднимающихся (Rising Three Methods) +	13	5	38,40	-40,65
50	R—	Размышление (Deliberation) -	20	3	15,00	-57,51
51	R—	Встречающиеся свечи (Meeting Lines) -	8	1	12,50	-64,59
52	R+	Почтовый голубь (Homing Pigeon) +	24	3	12,50	-67,36
53	R—	Отбитая атака (Advance Block) -	1	0	0,00	-100,00
54	R+	Прилипший сэндвич (Stick Sandwich) +	2	0	0,00	-100,00

55	R+	Особая впадина «три реки» (Unique Three River bottom) +	1	0	0,00	-100,00
56	C	Разделяющиеся свечи (Separating Lines) -	3	0	0,00	-100,00
57	R+	Прячущаяся ласточка (Concealing Baby Swallow) +	1	0	0,00	-100,00

## ТАБЛИЦА 7-6. РЕЙТИНГ СВЕЧНЫХ МОДЕЛЕЙ

Интервал: 7

Период: 314

Рейтинг основан на проценте улучшения результата по сравнению со случайным выбором

<i>Ns</i>	<i>Тип</i>	<i>Название модели</i>	<i>Всего</i>	<i>Кол-во удач</i>	<i>% удач</i>	<i>% рейтинг</i>
1	R—	Высокий прыжок (Kicking) -	1	1	100,00	155,75
2	R—	Отбитая атака (Advance Block) -	1	1	100,00	155,75
3	R+	Прячущаяся ласточка (Concealing Baby Swallow) +	1	1	100,00	135,29
4	R—	Три черные вороны (Three Black Crows) -	12	9	75,00	91,82
5	R +	Три белых солдата (Three White Soldiers) +	4	3	75,00	76,47
6	R+	Пробой (Breakaway) +	4	3	75,00	76,47
7	C	Смежные белые свечи (Side-by-Side White Lines) -	4	4	100,00	73,9
8	R +	Три внешних дня вверх (Three Outside Up) +	131	81	61,80	45,41
9	R—	Три дня изнутри вниз (Tree Inside Down) -	48	26	54,10	38,36
10	R+	Захват за пояс (Belt Hold) +	17	10	58,80	38,35
11	R +	Три дня изнутри вверх (Three Inside Up) +	46	27	58,60	37,88
12	R—	Вечерняя звезда (Evening Star) -	32	17	53,10	35,81
13	R—	Поглощение (Engulfing) -	453	235	51,80	32,48
14	R+	Утренняя звезда (Morning Star) +	25	14	56,00	31,76
15	R—	Три внешних дня вниз (Three Outside Down) -	128	66	51,50	31,71
16	C	Верхний разрыв метода трех (Upside Gap Three Methods) +	10	8	80,00	31,36
17	R—	Встречающиеся свечи (Meeting Lines) -	8	4	50,00	27,88

18	R—	Брошенный младенец (Abandoned Baby) -	2	1	50,00	27,88
19	R—	Пробой (Breakaway) -	4	2	50,00	27,88
20	R+	Поглощение (Engulfing) +	450	236	52,40	23,29
21	C	Смежные белые свечи (Side-by-Side White Lines) +	4	3	75,00	23,15
22	C	На линии шеи (In Neck Line) -	57	39	68,40	18,96
23	R+	Перевернутый молот (Inverted Hammer) +	31	15	48,30	13,65
24	R—	Две взлетевшие вороны (Upside Gap Two Crows) -	18	8	44,40	13,56
25	C	Тройной удар (Three-line Strike) +	16	11	68,70	12,81
26	R—	Карами (Harami) -	465	199	42,70	9,21
27	R+	Молот (Hammer) +	174	79	45,40	6,82
28	R—	Доджи-звезда (Doji Star) -	37	15	40,50	3,58
29	R—	Вечерняя доджи-звезда (Evening Doji Star) -	10	4	40,00	2,30
30	R—	Крест харами (Harami Cross) -	30	12	40,00	2,30
31	C	Метод трех падающих (Falling Three Methods) -	17	10	58,80	2,26
32	C	У линии шеи (On Neck Line) -	43	25	58,10	1,04
33	C	Метод трех поднимающихся (Rising Three Methods) +	13	8	61,50	0,99
34	R+	Утренняя доджи-звезда (Morning Doji Star) +	14	6	42,80	0,71
35	C	Верхний разрыв тасуки (Upside Tasuki Gap) +	88	54	61,30	0,66
36	R—	Темные облака (Dark Cloud Cover) -	122	48	39,30	0,51
37	R—	Висельник (Hanging Man) -	163	64	39,20	0,26
38	R+	Харами (Harami) +	441	188	42,60	0,24
39	C	Нижний разрыв тасуки (Downside Tasuki Gap) -	89	51	57,30	-0,35
40	C	Разделяющиеся свечи (Separating Lines) +	5	3	60,00	-1,48
41	C	Тройной удар (Three-line Strike) -	17	9	52,90	-8,00

42	R+	Крест харами (Harami Cross) +	24	9	37,50	-11,76
43	R+	Пронизывающая линия (Piercing Line) +	111	41	36,90	-13,18
44	R—	Захват за пояс (Belt Hold) -	22	7	31,80	-18,67
45	C	Нижний разрыв метода трех (Downside Gap Three Methods) -	22	10	45,40	-21,04
46	R+	Встречающиеся свечи (Meeting Lines) +	3	1	33,30	-21,65
47	R—	Размышление (Deliberation) -	20	6	30,00	-23,27
48	R—	Две вороны (Two Crows)-	24	7	29,10	-25,58
49	R+	Доджи-звезда (DojiStar)+	21	6	28,50	-32,94
50	R+	Почтовый голубь (Homing Pigeon) +	24	6	25,00	-41,18
51	R+	Брошенный младенец (Abandoned Baby) +	4	1	25,00	-41,18
52	R+	Совпадение по нижнему уровню (Matching Low) +	4	1	25,00	-41,18
53	R—	Падающая звезда (Shooting Star) -	5	1	20,00	- 48,85
54	R+	Прилипший сэндвич (Stick Sandwich) +	2	0	0,00	-100,00
55	R+	Особая впадина «три реки» (Unique Three River Bottom) +	1	0	0,00	-100,00
56	C	Разделяющиеся свечи (Separating Lines) -	3	0	0,00	-100,00
57	R—	Три одинаковые вороны (Identical Three Crows) -	1	0	0,00	-100,00

### Итоги трех таблиц фьючерсов

1. Как и при анализе акций, следует обратить внимание на те модели, которые меняют свое положение в рейтинге. При прогнозируемом интервале в три дня *падающая звезда* оказалась на 45-м месте. Когда интервал был увеличен до пяти дней, она улучшила свой результат до 23-го места. И, наконец, при прогнозируемом интервале в семь дней *падающая звезда* опустилась до 53-го места. Такого рода изменчивость показывает, что на *падающую звезду* не следовало бы полагаться при использовании этих данных.
2. Устойчивое движение вверх или вниз по списку помогает выявить те модели, которые можно использовать на более длинных или более коротких интервалах прогнозирования цены. Первая модель, которая демонстрирует такое поведение, — *утренняя доджи-звезда*. Она стартует с третьего места, потом несколько опускается, попадая на седьмое, и, наконец, падает до 34-го места. Это говорит о том, что *утреннюю доджи-звезду* лучше всего использовать на коротких интервалах прогнозирования. Напротив, смежные *белые свечи*— стартуют с 44-го места, поднима-

ются до 21-го и затем продолжают движение вверх до седьмого места. Такое существенное перемещение явно предполагает, что смежные белые свечи лучше всего показывают себя при более долго срочных прогнозах. В главе 4 говорилось о том, что смежные *белые свечи* до некоторой степени бычья модель, в которой появляются рядом две белые бычьи свечи. Это, вероятно, объясняет более долгосрочный взгляд на тренд. Хотя модель проявляется как бычья комбинация свечей, она указывает на продолжение понижательного тренда.

3. Самая высокая общая результативность отмечалась у тех моделей, которые в рейтинге оставались на одном и том же месте. Лишь семь из 15 моделей, занимавших верхние места в рейтинге при прогнозируемом интервале в три дня, оставались наверху во всех трех тестах. Это были *высокий прыжок* —, *три черные вороны*, *пробой+*, *три внешних дня вверх*, *три дня изнутри вверх*, *модель поглощения*—, *три внешних дня вниз*. Из этих семи моделей *высокий прыжок*— появлялась лишь однажды, а *пробой +* возникала четыре раза. Из 15 моделей, занимавших нижние строчки при прогнозируемом интервале в три дня, лишь четыре сохранили свои места и при других тестах. Этими моделями оказались *размышление*, *почтовый голубь*, *прилипший сэндвич* и *особая впадина «три реки»*. Из этих четырех моделей много раз появлялись лишь модели *размышление* и *почтовый голубь*. Когда прогнозируемый интервал был увеличен до девяти дней, из 15 лучших моделей в верхних строчках таблицы удержались лишь четыре: *высокий прыжок*—, *пробой+*, *три черные вороны* и три внешних дня *вверх*, а из 15 моделей, занимавших нижние строчки, на прежних местах остались лишь две: *почтовый голубь* и *особая впадина «три реки»*.

### Анализ отдельных акций

Следующая глава показывает реальные результаты торговли различными акциями, когда в качестве торговых сигналов использовались модели свечей и индикаторы. Для следующего примера из 100 акций, приведенных в табл. 8.1, была выбрана акция с самым большим доходом от торговли, основанной исключительно на моделях свечей. Если вы просмотрите первую колонку, то увидите средний процент доходности одной акции на сделку. Самая высокая средняя доходность на сделку была у TDY (Teledyne). Таким образом, в табл. 7-7 — 7-9 отражена дневная статистика моделей свечей за период более трех лет для TDY на трех прогнозируемых интервалах — в три, пять и семь дней.

В случае отдельных акций или фьючерсов в качестве надежных моделей можно рассматривать те, что сохраняли высокие показатели на всех прогнозируемых интервалах. Модель поглощение +, хоть и спускалась вниз по списку при возрастании прогнозируемых интервалов, везде давала достаточно хорошие результаты. Висельник также обнаружил склонность к устойчивому успеху. Результаты молота были невысоки, однако стабильны на всех прогнозируемых интервалах. Остальные модели появлялись слишком редко, чтобы с их помощью можно было получить какую-либо существенную информацию.

### ТАБЛИЦА 7-7. РЕЙТИНГ СВЕЧНЫХ МОДЕЛЕЙ

Интервал: 3

Период: 821

Рейтинг основан на проценте улучшения результата по сравнению со случайным выбором

№	Тип	Название модели	Всего	Кол-во удач	% удач	% рейтинг
1	R+	Поглощение (Engulfing) +	12	7	58,30	86,86



2	R+	Захват за пояс (Belt Hold) +	6	3	50,00	60,26
3	R+	Крест харами (Harami Cross) +	2	1	50,00	60,26
4	R—	Захват за пояс (Belt Hold) -	4	2	50,00	53,37
5	C	Тройной удар (Three-line strike) +	1	1	100,00	48,37
6	C	Верхний разрыв метода трех (Upside Gap Three Methods) +	1	1	100,00	48,37
7	C	У линии шеи (On Neck Line) -	1	1	100,00	45,35
8	R +	Молот (Hammer) +	12	5	41,60	33,33
9	R—	Висельник (Hanging Man) -	15	5	33,30	2,15
10	R—	Крест харами (Harami Cross) -	3	1	33,30	2,15
11	R—	Харами (Harami) -	19	5	26,30	-19,33
12	C	Метод трех поднимающихся (Rising Three Methods) +	2	1	50,00	-25,82
13	C	На линии шеи (In Neck Line) -	2	1	50,00	-27,33
14	R—	Поглощение (Engulfing) -	9	2	22,20	-31,90
15	R—	Вечерняя звезда (Evening Star) -	1	0	0,00	-100,00
16	R+	Харами (Harami) +	1	0	0,00	-100,00
17	R+	Доджи-звезда (Doji Star) +	1	0	0,00	-100,00
18	R—	Доджи-звезда (Doji Star) -	1	0	0,00	-100,00
19	R—	Три внешних дня вниз (Tree Outside Down) -	2	0	0,00	-100,00
20	R+	Перевернутый молот (Inverted Hammer) +	1	0	0,00	-100,00

## ТАБЛИЦА 7-8. РЕЙТИНГ СВЕЧНЫХ МОДЕЛЕЙ

Интервал: 5

Период: 821

Рейтинг основан на проценте улучшения результата по сравнению со случайным выбором

№	Тип	Название модели	Всего	Кол-во удач	% удач	% рейтинг
1	R+	Крест харами (Harami Cross) +	2	2	100,00	172,48

2	R—	Крест харами (Harami Cross) -	3	2	66,60	72,54
3	C	Тройной удар (Three-line Strike) +	1	1	100,00	62,87
4	C	У линии шеи (On Neck Line) -	1	1	100,00	57,98
5	R+	Поглощение (Engulfing) +	12	6	50,00	36,24
6	R—	Захват за пояс (Belt Hold) -	4	2	50,00	29,53
7	R—	Харами (Harami) -	19	9	47,30	22,54
8	R—	Висельник (Hanging Man) -	15	7	46,60	20,73
9	R—	Поглощение (Engulfing) -	9	4	44,40	15,03
10	R+	Молот (Hammer) +	12	4	33,30	-9,26
11	C	Метод трех поднимающихся (Rising Three Methods) +	2	1	50,00	-18,57
12	C	На линии шеи (In Neck Line) -	2	1	50,00	-21,01
13	R+	Захват за пояс (Belt Hold) +	6	1	16,60	-54,77
14	R—	Вечерняя звезда (Evening Star) -	1	0	0,00	-100,00
15	R+	Харами (Harami) +	1	0	0,00	-100,00
16	R+	Доджи-звезда (DojiStar)+	1	0	0,00	-100,00
17	R—	Доджи-звезда (Doji Star) -	1	0	0,00	-100,00
18	—	Три внешних дня вниз (Tree Outside Down) -	2	0	0,00	-100,00
19	R+	Перевернутый молот (Inverted Hammer) +	1	0	0,00	-100,00
20	C	Верхний разрыв метода трех (Upside Gap Three Methods) +	1	0	0,00	-100,00

## ТАБЛИЦА 7-9. РЕЙТИНГ СВЕЧНЫХ МОДЕЛЕЙ

Интервал: 7

Период: 821

Рейтинг основан на проценте улучшения результата по сравнению со случайным выбором

№	Тип	Название модели	Всего	Кол-во удач	% удач	% рейтинг
1	R+	Крест харами (Harami Cross) +	2	2	100,00	139,23

2	R—	Вечерняя звезда (Evening Star) -	1	1	100,00	126,76
3	C	Тройной удар (Three-line strike) +	1	1	100,00	78,89
4	C	Верхний разрыв метода трех (Upside Gap Three Methods) +	1	1	100,00	78,89
5	C	Метод трех поднимающихся (Rising Three Methods) +	2	2	100,00	78,89
6	C	У линии шеи (On Neck Line) -	1	1	100,00	71,82
7	R—	Крест харами (Harami Cross) -	3	2	66,60	51,02
8	R+	Поглощение (Engulfing) +	12	7	58,30	39,47
9	R—	Висельник (Hanging Man) -	15	8	53,30	20,86
10	R+	Захват за пояс (Belt Hold) +	6	3	50,00	19,62
11	R—	Харами (Harami) -	19	10	52,60	19,27
12	R—	Три внешних дня вниз (Three Outside Down) -	2	1	50,00	13,38
13	R+	Молот (Hammer)+	12	5	41,60	-0,48
14	C	На линии шеи (In Neck Line) -	2	1	50,00	-14,09
15	R—	Захват за пояс (Belt Hold) -	4	1	25,00	-43,31
16	R—	Поглощение (Engulfing) -	9	2	22,20	-49,66
17	R+	Доджи-звезда (DojiStar)+	1	0	0,00	-100,00
18	R+	Харами (Harami) +	1	0	0,00	-100,00
19	R—	Доджи-звезда (Doji Star) -	1	0	0,00	-100,00
20	R+	Перевернутый молот (Inverted Hammer) +	1	0	0,00	-100,00

# ФИЛЬТРАЦИЯ СВЕЧЕЙ

## 8

Фильтрация свечей предлагает метод торговли, основанный на комбинировании свечных моделей и других популярных инструментов технического анализа. Концепция фильтрации используется и во многих других формах технического анализа, теперь ее полезность испытана и в случае свечей.

Если для анализа использовать один-единственный метод, при выборе момента совершения на рынке определенных действий время от времени будут случаться неудачи; это относится и к использованию свечей, которые иногда тоже дают осечки. Как любой технический индикатор, использующий ценовые данные и основанный на одной концепции, свечи не могут постоянно давать хорошие результаты. Результат всегда лучше, когда индикаторы сочетаются или используются совместно. И свечи здесь не являются исключением: при поддержке другого индикатора результаты выше.

### Концепция фильтрации

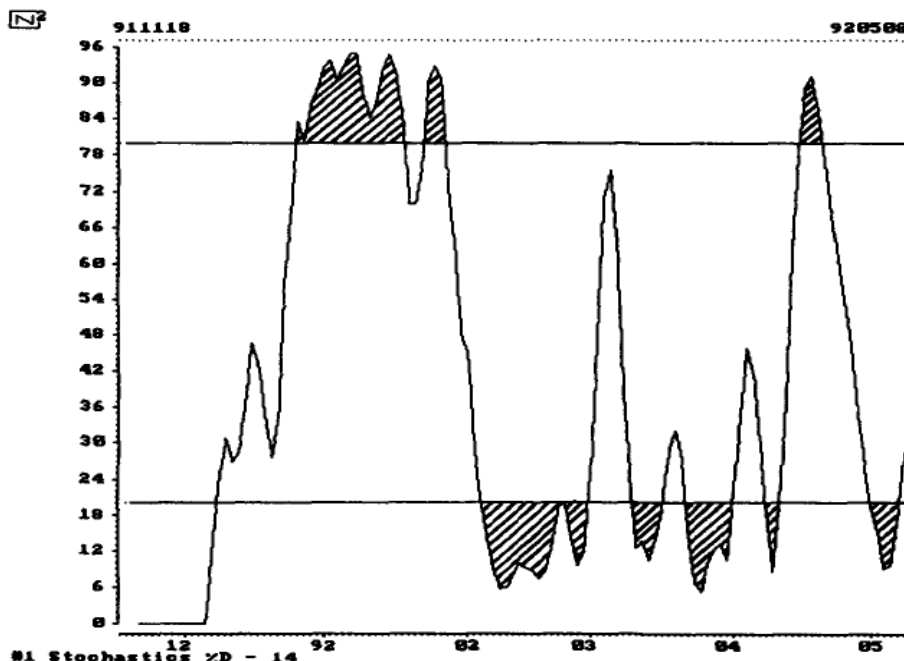
Концепция фильтрации была разработана, чтобы помочь аналитику «отсеять» преждевременные модели свечей. Поскольку модели свечей сильно зависят от тренда, развивающегося на рынке, слишком длительные ценовые тренды обычно вызывают появление моделей (как и в случае большинства других технических индикаторов), подающих преждевременные сигналы. Для квалификации сигналов моделей свечей должно использоваться еще что-то. Большинство технических аналитиков для подтверждения сигналов использует более одного индикатора. Почему не поступать так же и в случае свечей? Ответ может дать использование технических индикаторов.

Последующее обсуждение — попытка ответить на вопрос о том, «как это сделать». Большинство индикаторов имеет алгоритм генерирования сигналов к покупке и продаже. Есть определенный момент, предшествующий сигналу о покупке или продаже, в котором этот сигнал, появившись он тогда, привел бы к лучшим результатам. Но этот момент трудно определить. В большинстве своем индикаторы более или менее отстают от рынка. Это происходит из-за того, что компоненты конструкции индикатора сами по себе являются базовыми данными. Если параметры индикатора слишком чувствительные, результатом будет большое количество ложных сигналов. Таким образом, основываясь на пороговых значениях и/или значениях индикаторов, положительных или отрицательных, была вычислена пред-сигнальная область.

Как только индикатор достигает определенной предсигнальной области, от него начинают ждать сигнала. Количество времени, которое индикатор проведет в предсигнальной области, не может быть определено. Несомненно одно: если индикатор достиг предсигнальной области, в конце концов он подаст торговый сигнал (к покупке или продаже). Статистически было обнаружено, что, чем дольше индикатор находится в предсигнальной области, тем надежнее окажется сигнал к покупке или продаже.

Предсигнальная область — зона фильтрации индикатора, его «отпечаток пальца». У каждого индикатора свой «отпечаток пальца». Если индикатор находится в покупательной предсигнальной зоне, только бычьи модели свечей будут отфильтрованы. Аналогично, если индикатор в своей продажной предсигнальной зоне, будут отфильтрованы лишь медвежьи сигналы.

РИСУНОК 8-1



**Предсигнальные области**

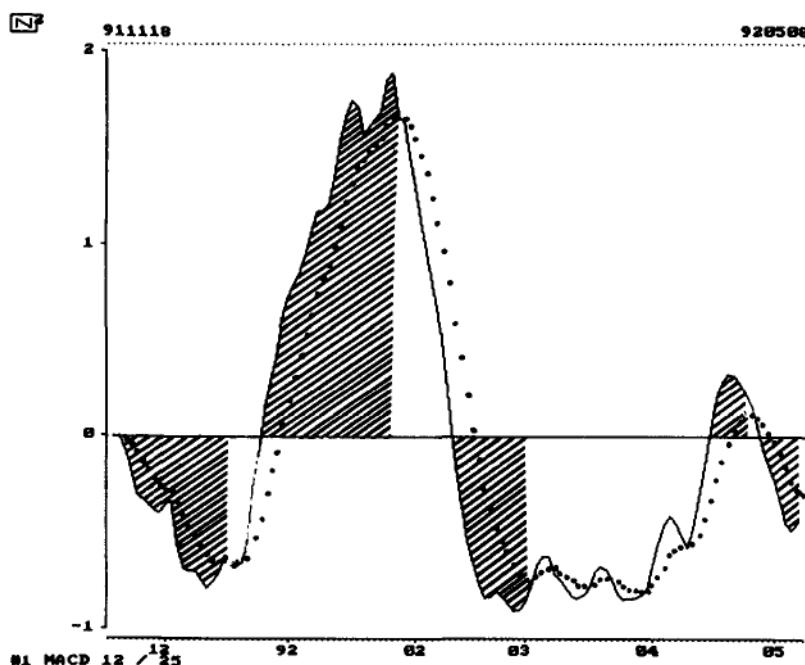
Для индикаторов, основанных на пороговых значениях, предсигнальная область — зона между индикатором и порогом как сверху, так и снизу (рис. 8-1).

Для осцилляторов предсигнальная область определяется как зона после пересечения индикатором нулевой линии и до пересечения им скользящей средней или сглаживания, используемого для нахождения торговых сигналов (рис. 8-2).

**Индикаторы**

Индикаторы, используемые для фильтрации моделей свечей, должны быть легко доступны и просты для определения; они должны работать так, чтобы давать возможность выявлять области покупки и продажи. О них часто говорят как об областях перекупленности и перепроданности.

РИСУНОК 8-2



Такие индикаторы, как RSI (индекс относительной силы), %K и %D (стохастические индикаторы),

особенно хороши для фильтрации свечей, поскольку остаются в диапазоне от 0 до 100. В конце этой главы будут показаны многие другие индикаторы, демонстрирующие концепцию фильтрации. Поскольку RSI и стохастические индикаторы широко известны и применяются повсеместно, их конструкция и использование в фильтрации будут разобраны подробнее.

### **RSI Уайлдера**

Дж. Уэллес Уайлдер разработал свой индекс относительной силы (RSI) в конце 70-х годов. С тех пор данный индикатор стал популярен, у него различные интерпретации. Это показатель, выражающий относительную силу текущего ценового движения как рост от 0 до 100. По сути, он усредняет дни движения вверх и вниз. Эти дни определяются по соотношению цен закрытия текущего и предыдущего дней.

Уайлдер предпочитал использовать измерение в 14 точках, поскольку они представляют половину естественного рыночного цикла. Кроме того, он установил значимые уровни индикатора на отметках 30 и 70. Более низкий уровень указывает на приближающийся разворот вверх, а более высокий уровень говорит о грядущем развороте вниз.

Диаграмма RSI может быть истолкована при использовании многих классических формаций штриховых графиков, таких, например, как *голова и плечи*. Расхождение с ценой внутри периода, используемого для вычисления RSI, работает хорошо, если имеет место вблизи нижней или верхней области индикатора.

Многие службы, предоставляющие графики акций, показывают RSI, вычисленный по 14 точкам. Некоторые службы, предоставляющие графики по товарам, предпочитают использовать 9 точек. Если вы можете определить длину доминирующего цикла в данных, это значение было бы хорошим периодом для использования в RSI. Уровни (пороговые значения), определяющие точки разворотов рынка, также можно менять. Например, уровни 35 и 65 лучше работают с акциями, в то время как изначальные уровни 30 и 70 лучше использовать для фьючерсов.

На графике Philip Morris (MO), представленном на рис. 8-3, расхождение 14-дневного RSI с основными ценовыми трендами вполне очевидно. Когда бы RSI ни попадал в пороговые зоны или приближался к ним, вскоре за этим следовало изменение ценового тренда.

### **Стохастический осциллятор Лэйна: %D**

Автором этого индикатора является Джордж Лэйн. Стохастический осциллятор измеряет относительное положение цены закрытия в диапазоне цен. Проще говоря, высчитывается местонахождение цены закрытия относительно ценового диапазона последних X дней. Как и в случае RSI, чаще всего выбирают 14 точек.

Стохастический осциллятор основывается на общепринятом наблюдении, что цены закрытия имеют тенденцию группироваться вблизи дневных максимумов, когда набирает силу повышательное движение, и вблизи дневных минимумов во время снижения цен. Например, когда рынок близок к развороту на вершине, максимумы обычно становятся выше, а цены закрытия появляются вблизи минимума. В этом состоит основное отличие стохастического осциллятора от большинства других подобных индикаторов, которые нормируют представление относительной силы, разницу между ценой закрытия и выбранным трендом.

Вычисление %D — это просто нахождение трехдневной скользящей средней для %K. Она обычно изображается прямо над %K, поэтому графики практически сливаются. Толкование стохастика требует знакомства с тем, как он ведет себя на определенных рынках. Обычно начальный торговый сигнал появляется, когда %D пересекает полосы экстремумов (от 75 до 85 наверху и от 15 до 25 внизу). Реальный торговый сигнал не подается, пока %K не пересекается с %D. Хотя зоны экстремумов помогают найти реакции минимальных размеров, пересечение двух линий действует аналогично пересечению двойной скользящей средней.

На рис. 8-4 показан тот же самый график Philip Morris (MO), что использовался и для RSI, и мы можем видеть, насколько точно колебания %D в зонах перекупленности<sup>TM</sup> и перепроданности соответствуют ценам.

РИСУНОК 8-3

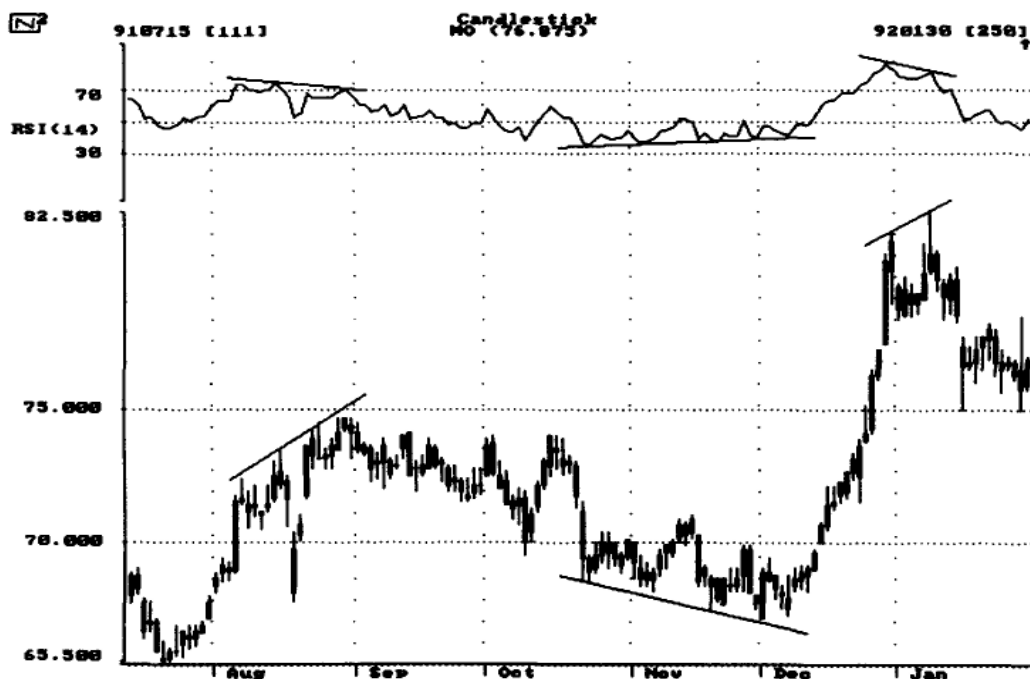
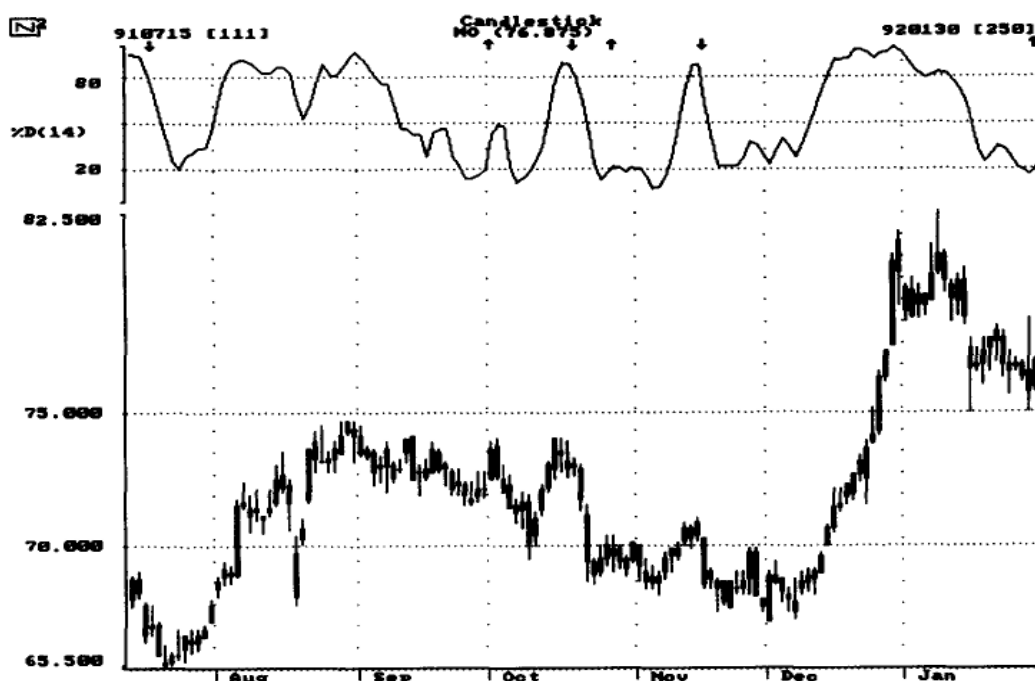


РИСУНОК 8-4



### Параметры фильтрации

На сегодняшний день разработано множество мощных программных пакетов для торговли и тестирования прошлых данных. Одни из них оптимизируют индикаторы «подстройкой под кривую», в то время как другие используют приемы управления финансами. Некоторые наиболее совершенные пакеты совмещают все возможности. Мы не ставим цели подчеркнуть недостатки или достоинства того или иного метода анализа. Концепция используемого метода проста и прямолинейна.

В наших тестах будут использоваться три торговые системы: модели свечей, индикаторы и фильтрация свечей. В каждой системе применена одна и та же методология покупки, продажи, короткой продажи и последующего ее покрытия так, что система все время находится в рынке.



Хотя часто это не лучший способ торговли, он использован здесь, чтобы показать, что фильтрация свечей, как правило, оказывается эффективнее двух других систем. Кроме того, результаты торговли будут показаны таким образом, как если бы существовала закрывающая сделка в последний день данных, чтобы дать вам ощущение законченной истории торговли.

Сигнал подается всякий раз, как соответствующий справочный индикатор достигает предписанных параметров. Другими словами, индикатор должен подняться выше или опуститься ниже порога и затем снова пересечь его в противоположном направлении. Например, когда %D поднимается выше 80, он попадает в предеигональную область, и включается продажный фильтр моделей свечей. Любая модель свечей, которая дает сигнал к продаже, будет зарегистрирована как отфильтрованный сигнал. Похожим образом, когда бы %D ни опустился ниже 20, он попадает в предеигональную зону, и включается покупательный фильтр. Любая бычья модель свечей при ее появлении рассматривается как отфильтрованная. Пороговые значения 20 и 80 были здесь использованы лишь в целях объяснения.

Для каждого индикатора требуется определить, какое количество дней (точек) будет использоваться при его вычислении. Как уже говорилось, это значение должно отражать основной цикл анализируемого рынка. Должны быть установлены еще два дополнительных значения — уже упоминавшиеся верхний и нижний порог. Эти установки определяют те значения, которых должен достичь или превысить индикатор, прежде чем начнется фильтрация моделей.

Для начала были использованы общепринятые значения: 14-дневный %D, сначала с порогами на уровне 20 и 80, затем на уровне 65 и 35 для других данных. Будут использоваться данные по акциям из индекса S&P100 и по 30 акциям промышленного индекса Доу. База S&P100 включает данные с начала 1989 года и по 31 марта 1992 года. База данных промышленного индекса Доу открывается 24 апреля 1990 года и закрывается 31 марта 1992 года.

### Примеры фильтрации

В табл. 8-1 представлено, что торговля каждой акцией с использованием сигналов моделей свечей привела к тому, что 67 акций принесли положительный процентный доход, а по 33 акциям возникли убытки. Эти цифры просто взяты из подсчета положительных и негативных результатов в первой колонке. Торговля, жестко привязанная к сигналам моделей свечей, привела в среднем к 37,1 сделки при средней доходности 0,40% на сделку.

Торговля теми же 100 акциями при использовании в качестве генератора сигналов %D привела к тому, что лишь 53 акции принесли доход, а 47 — убытки. Среднее количество сделок снизилось до 30,1, а средняя доходность составила 0,02% на одну сделку.

Использование концепции фильтрации при генерировании торговых сигналов привело к 62 выигрышам и 38 проигрышам. Этот результат не так хорош, как при использовании собственно моделей свечей, но он значительно лучше, чем при использовании сигналов, сгенерированных стохастическим индикатором %D. Среднее число сделок составило 13,7, что меньше (и соответственно лучше), чем в случае одной модели свечей или стохастика, более чем на 50%. Средний доход на сделку составил 0,60%, что опять существенно лучше, чем средняя доходность, полученная при использовании двух других торговых методов.

О чем все это говорит? Во-первых, при фильтрации моделей свечей индикатором, таким как %D, число сделок значительно уменьшилось. Если сравнивать с одними моделями свечей, уменьшение составило более 63%, а по сравнению со сделками, использовавшими индикатор %D, — более 54%. Во-вторых, фильтрация увеличила среднюю доходность сделки. Это увеличение составило 50% по сравнению со свечами, а по сравнению с %D доходность увеличилась более чем в 30 раз.

Не следует забывать, что статистические данные не всегда используются корректно: ими можно манипулировать, показывая те результаты, которые выгодны автору. Все мы знаем, что средняя доходность в 0,6% быстро исчезла бы, прими мы во внимание комиссионные, «проскальзывание» и тому подобные вещи. Однако простота этих вычислений показывает один очень существенный момент: тут важна взаимосвязь между числами, а не числа сами по себе. Эта взаимосвязь, взятая как среднее значение, выведенное из 100 различных акций, — доказательство,



необходимое для поддержки концепции фильтрации.

В табл. 8-1 с помощью усреднения данных по 100 акциям индекса S&P100 показаны результаты применения концепции фильтрации. Чтобы свести число таблиц и количество данных к разумным пределам, в следующем примере используется 30 акций из промышленного индекса Доу.

Торговые результаты для 30 голубых фишек, составляющих промышленный индекс Доу, показаны в табл. 8-2. Пороговые значения были слегка изменены. Результаты, аналогичные тем, что появлялись при использовании акций S&P100, возникли и в случае этих 30 акций. Торговля с использованием для генерации сигналов к покупке и к продаже исключительно моделей свечей привела в среднем к 21,1 сделки на периоде в два года при средней доходности сделки в 0,02%. Использование индикатора %D дало в среднем 23,7 сделки при средней доходности (убыточности) минус 0,46% на сделку. И, наконец, использование отфильтрованных моделей свечей как генератора сигналов дало в среднем лишь 10,6 сделок при средней доходности 0,23% на сделку. И снова следовало бы подчеркнуть, что здесь важны соотношения этих величин, а не сами величины.

**ТАБЛИЦА 8-1. СТАТИСТИКА ФИЛЬТРАЦИИ**

<i>100 тиков</i>		<i>1340</i>		<i>Период индикатора: %D(14)</i>		<i>Уровень покупки: 20</i>		<i>Уровень продажи: 80</i>	
<i>Тикер</i>	<i>% доход (свечи)</i>	<i>% средний доход (свечи)</i>	<i>% доход (индикаторы)</i>	<i>% средний доход (индикаторы)</i>	<i>% доход (фильтр)</i>	<i>% средний доход (фильтр)</i>			
AA	47.690/40 =	1.1923	82.100/38 =	2.1605	89.040/19 =	4.6863			
AEP	19.840/34 =	0.5835	-35.800/34 =	-1.0529	8.9700/14 =	0.6407			
AGC	-9.690/40 =	-0.2423	9.7800/30 =	0.3260	8.0500/17 =	0.4735			
AIG	6.8700/41 =	0.1676	12.320/30 =	0.4107	-59.940/14 =	-4.2814			
AIT	9.3800/33 =	0.2842	42.320/27 =	1.5674	21.980/10 =	2.1980			
AIP	-34.440/48 =	-0.7175	27.650/33 =	0.8379	19.660/15 =	1.3107			
AN	47.330/38 =	1.2455	-32.510/35 =	-0.9289	10.760/7 =	1.5371			
ARC	48.740/42 =	1.1605	57.680/36 =	1.6022	4.0900/12 =	0.3408			
AVP	-105.26/35 =	-3.0074	92.000/34 =	2.7059	-17.930/12 =	-1.4942			
AXP	81.570/43 =	1.8970	38.510/29 =	1.3279	113.36/16 =	7.0850			
BA	-16.960/29 =	-0.5848	26.750/31 =	0.8629	108.53/20 =	5.4265			
BAC	-21.860/33 =	-0.6624	-82.550/21 =	-3.9310	-44.550/11 =	-4.0500			
BAH	44.410/43 =	1.0328	-23.130/27 =	-0.8567	52.120/15 =	3.4747			
BC	24.620/39 =	0.6313	-14.760/30 =	-0.4920	190.74/18 =	10.597			
BCC	83.770/46 =	1.8211	40.060/26 =	1.5408	25.070/14 =	1.7907			
BDK	-77.760/44 =	-1.7673	131.07/36 =	3.6408	-31.490/16 =	-1.9681			
BEL	52.780/48 =	1.0996	-22.200/28 =	-0.7929	29.140/16 =	1.8213			
BHI	114.57/38 =	3.0150	9.1300/36 =	0.2536	30.540/14 =	2.1814			
BMU	41.450/36 =	1.1514	54.950/33 =	1.6652	-31.740/5 =	-6.3480			
BNI	9.0000/36 =	0.2500	-44.460/27 =	-1.6467	-49.100/9 =	-5.4556			
BS	58.150/45 =	1.2922	-58.090/32 =	-1.8153	-8.7100/12 =	-0.7258			
CCB	18.560/35 =	0.5303	3.8700/29 =	0.1334	-35.480/14 =	-2.5343			
CCI	39.360/40 =	0.9840	-40.970/38 =	-1.0782	42.240/21 =	2.0114			
CDA	38.770/37 =	1.0478	233.73/33 =	7.0827	67.140/14 =	4.7957			
CCP	53.650/48 =	1.1177	55.500/36 =	1.5417	43.730/19 =	2.3016			
CHA	54.160/41 =	1.3210	65.230/28 =	2.3296	70.600/19 =	3.7158			
CI	16.320/44 =	0.3709	13.080/28 =	0.4671	-4.3100/16 =	-0.2694			
CL	20.010/51 =	0.3924	-49.560/25 =	-1.9824	-8.2400/19 =	-0.4337			
CSC	-42.050/43 =	-0.9779	12.360/33 =	0.3745	38.810/19 =	2.0426			
CWE	-10.930/33 =	-0.3312	-68.300/23 =	-2.9696	11.540/12 =	0.9617			
DAL	-15.960/42 =	-0.3800	86.830/36 =	2.4119	-2.3100/14 =	-0.1650			

DD	-25.940/45 = -0.5764	-46.350/29 = -1.5983	14.070/12 = 1.1725
DEC	30.880/37 = 0.8346	41.410/29 = 1.4279	75.850/14 = 5.4179
DIS	-36.790/28 = -1.3139	-55.110/21 = -2.6243	-45.950/13 = -3.5346
DOW	-146.10/29 = -5.0379	-15.670/32 = -0.4897	-16.120/9 = -1.7911
EK	-3.4000/30 = -0.1133	26.600/31 = 0.8581	32.730/10 = 3.2730
ETR	-12.940/32 = -0.4044	-25.660/25 = -1.0264	-62.480/6 = -10.413
F	-58.800/32 = -1.8375	16.150/28 = 0.5768	-85.530/9 = -9.503
FDX	29.690/40 = 0.7423	64.750/32 = 2.0234	-4.0700/15 = -0.2713
FLR	44.220/36 = 1.2283	45.310/35 = 1.2946	132.12/18 = 7.3400
FNB	91.740/41 = 2.2376	23.440/27 = 0.8681	84.600/21 = 4.0286
GD	67.350/39 = 1.7269	-23.430/25 = -0.9372	-32.300/14 = -2.3071
GE	8.8000/23 = 0.3826	-14.610/29 = -0.5038	-43/7 = -6.1429
GM	-25.110/27 = -0.9300	21.580/31 = 0.6961	24.930/11 = 2.2664
GWF	83.550/44 = 1.8989	-80.230/30 = -2.6743	-107.71/12 = -8.9758
HAL	39.060/38 = 1.0279	88.670/32 = 2.7709	16.060/14 = 1.1471
HM	-9.810/38 = -0.2582	-35.270/32 = -1.1022	97.200/17 = 5.7176
HNZ	-27.660/42 = -0.6586	-29.680/23 = -1.2904	11.810/16 = 0.7381
HON	-21.150/31 = -0.6823	-3.5600/28 = -0.1271	-10.480/10 = -1.0480
HRS	41.300/41 = 1.0073	61.480/31 = 1.9832	9.1300/14 = 0.6521
HUM	62.090/39 = 1.5521	48.970/31 = 1.5797	161.86/20 = 8.0930
HWP	-18/22 = -0.8182	-106.32/26 = -4.0892	9.2400/10 = 0.9240
I	-74.760/38 = -1.9674	-35.580/28 = -1.2707	-45.430/20 = -2.2715
IBM	11.380/31 = 0.3671	12.030/31 = 0.3881	14.910/11 = 1.3555
IFF	-25.540/43 = -0.5940	32.710/33 = 0.9912	4/15 = 0.2667
IMA	19.640/33 = 0.5952	-23.540/28 = -0.8407	-14.590/13 = -1.1223
IP	46.850/31 = 1.5113	34.280/26 = 1.3185	35.360/13 = 2.7200
ITT	74.590/33 = 2.2603	25.560/36 = 0.7100	49.630/15 = 3.3087
JNJ	16.830/35 = 0.4809	-37.890/28 = -1.3532	-13.870/13 = -1.0669
KM	69.950/41 = 1.7061	31.310/31 = 1.0100	-16.390/16 = -1.0244
KO	-34.090/34 = -1.0026	-61.820/24 = -2.5758	-102.14/11 = -9.285
LIT	64.830/39 = 1.6623	40.910/42 = 0.9740	56.080/18 = 3.1156
LTD	131.97/40 = 3.2993	-93.690/25 = -3.7476	-6.4000/16 = -0.4000
MCD	35.690/40 = 0.8922	-33.790/30 = -1.1263	-7.3300/17 = -0.4312
MCIC	147.67/37 = 3.9911	-10.350/32 = -0.3234	142.83/17 = 8.4018
MER	65.940/36 = 1.8317	26.110/28 = 0.9325	37.920/20 = 1.8960
MMM	46.860/35 = 1.3389	15.470/31 = 0.4990	51.840/13 = 3.9877
MOB	43.720/47 = 0.9302	60.820/35 = 1.7377	25.260/17 = 1.4859
MRK	-42.780/31 = -1.3800	-44.460/22 = -2.0209	-26.960/7 = -3.8514
MTC	-25.090/27 = -0.9293	-24.230/25 = -0.9692	-49.560/9 = -5.5067
NSC	35.660/31 = 1.1503	16.720/30 = 0.5573	58.970/17 = 3.4688
NSM	-166.31/29 = -5.7348	-54.080/22 = -2.4582	-69.310/6 = -11.552
NT	-37.080/37 = -1.0022	52.680/35 = 1.5051	42.920/13 = 3.3015
OXY	-5.2100/34 = -0.1532	-95.790/22 = -4.3541	35.700/12 = 2.9750
PCI	59.350/27 = 2.1981	-39.070/30 = -1.3023	10.510/11 = 0.9555
PEP	48.670/40 = 1.2168	-64.410/29 = -2.2210	-8.0600/19 = -0.4242
PRO	94.990/43 = 2.2091	35.510/32 = 1.1097	6.8300/11 = 0.6209
PRI	88.500/31 = 2.8548	61.500/17 = 3.6176	-18.870/10 = -1.8870
RAL	20.980/42 = 0.4995	-14.600/33 = -0.4424	41.410/17 = 2.4359
ROK	67.470/43 = 1.5691	-54.640/36 = -1.5178	47.540/12 = 3.9617
RTN	20.710/41 = 0.5051	-17.510/30 = -0.5837	36.190/15 = 2.4127
S	-9.540/39 = -0.2446	-65.700/24 = -2.7375	-26.360/13 = -2.0277
SKY	8.6600/38 = 0.2279	65.150/36 = 1.8097	-5.6200/17 = -0.3306
SLB	-11.320/33 = -0.3430	126.96/39 = 3.2554	39.730/9 = 4.4144
SO	-3.4300/35 = -0.0980	2.8500/25 = 0.1140	0.9200/12 = 0.0767
T	-78/23 = -3.3913	58.960/29 = 2.0331	-32.240/9 = -3.5822
TAN	31.440/34 = 0.9247	170.86/41 = 4.1673	72.490/19 = 3.8153
TOY	147.34/36 = 4.0928	151.03/30 = 5.0343	112.80/7 = 16.114

TEK	-18.000/35 = -0.5143	-29.300/26 = -1.1269	15.590/15 = 1.0393
TOY	5.4200/33 = 0.1642	-45.240/35 = -1.2926	35.420/9 = 3.9356
TXN	115.95/35 = 3.3129	-26.990/29 = -0.9307	118.08/17 = 6.9459
UAL	60.960/32 = 1.9050	71.950/36 = 1.9986	-84.110/14 = -6.0079
UIS	-30.310/30 = -1.0103	-253.25/22 = -11.511	-71.730/14 = -5.1236
UPJ	29.830/38 = 0.7850	-36.960/26 = -1.4215	14.430/10 = 1.4430
UTX	63.830/35 = 1.8237	92.380/37 = 2.4968	50.080/13 = 3.8523
WMB	-0.8200/52 = -0.0158	41.210/36 = 1.1447	73.800/17 = 4.3412
WMT	12.000/34 = 0.3529	-78.470/28 = -2.8025	-24.860/8 = -3.1075
WY	4.5100/43 = 0.1049	-25.080/28 = -0.8957	-58.990/11 = -5.3627
XON	-8.5400/40 = -0.2135	-35.710/27 = -1.3226	27.000/10 = 2.7000
XRX	-73.810/32 = -2.3066	63.880/33 = 1.9358	8.9600/17 = 0.5271

Сделка и доход 37.1/ 0.40 30.1/ 0.02 13.7/ 0.60  
(в среднем)

## ТАБЛИЦА 8-2. СТАТИСТИКА ФИЛЬТРАЦИИ

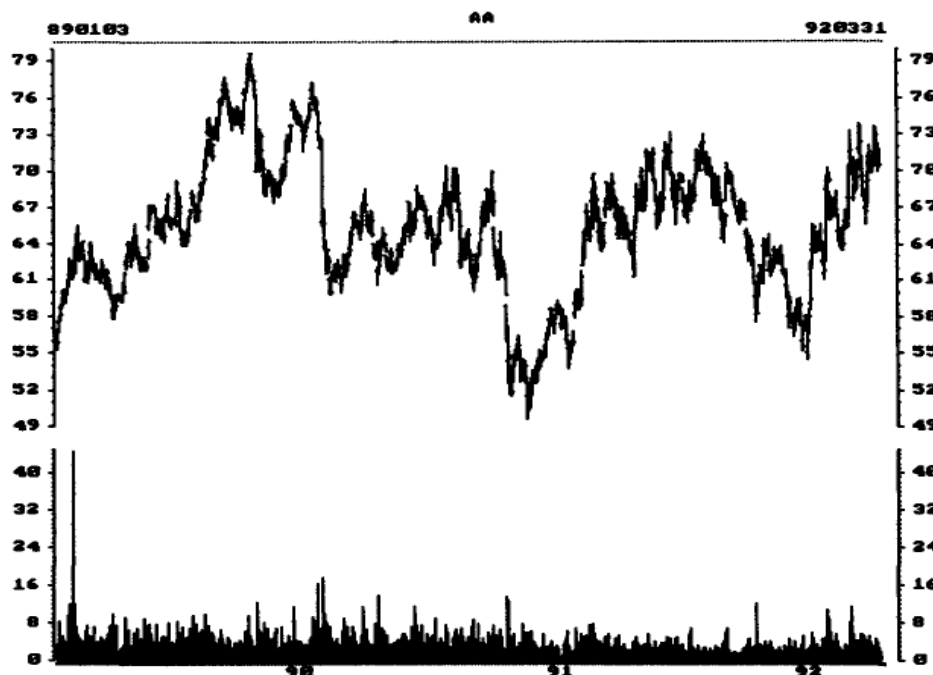
30 тиков /340 Период индикатора: %D(14) Уровень покупки: 30 Уровень продажи: 70

Тикер	% средний		% средний		% средний	
	доход (свечи)	доход (свечи)	доход (индикаторы)	доход (индикаторы)	доход (фильтр)	доход (фильтр)
AA	30.880/27 = 1.1437		62.420/26 = 2.4008		29.450/16 = 1.8406	
ALD	-29.060/21 = -1.3838		-11.820/27 = -0.4378		-45.670/10 = -4.5670	
AXP	86.480/27 = 3.2030		-53.460/21 = -2.5457		62.140/13 = 4.7800	
BA	-30.040/15 = -2.0027		-33.640/28 = -1.2014		1.1800/10 = 0.1180	
BS	55.940/25 = 2.2376		1.4100/25 = 0.0564		-33.110/9 = -3.6789	
CAT	-36.410/19 = -1.9163		5.0700/24 = 0.2113		-26.550/8 = -3.3188	
CHV	6.8900/29 = 0.2376		-2.2900/24 = -0.0954		25.320/16 = 1.5825	
DD	-20.660/27 = -0.7652		-51/17 = -3		-2.1900/15 = -0.1460	
DIS	-20.810/13 = -1.6008		-33.760/20 = -1.6880		-12.650/10 = -1.2650	
EK	-21.500/15 = -1.4333		22.630/27 = 0.8381		-11.380/9 = -1.2644	
GE	9.3900/12 = 0.7825		23.900/26 = 0.9192		-8.8700/5 = -1.7740	
GM	3.2600/18 = 0.1811		-8.4400/25 = -0.3376		50.980/11 = 4.6345	
GT	-42.200/19 = -2.2211		-40.190/22 = -1.8268		-15.560/11 = -1.4145	
IBM	2.9300/22 = 0.1332		33.430/21 = 1.5919		19.250/10 = 1.9250	
IP	39.790/18 = 2.2106		-18.600/19 = -0.9789		49.110/13 = 3.7777	
JPM	36.270/24 = 1.5113		-23.820/21 = -1.1343		51.770/10 = 5.1770	
KO	-4.2100/21 = -0.2005		-45.480/22 = -2.0673		-35.450/7 = -5.0643	
MCD	16.580/25 = 0.6632		-2.8300/21 = -0.1348		-0.2900/15 = -0.0193	
MMM	35.220/25 = 1.4088		-25.220/24 = -1.0508		10.860/10 = 1.0860	
MO	9.2600/20 = 0.4630		-27.940/21 = -1.3305		-25.820/5 = -5.1640	
MRK	-52.900/16 = -3.3063		-22.080/19 = -1.1621		-30.250/8 = -3.7813	
PG	-14.220/15 = -0.9480		-15.740/29 = -0.5428		-49/7 = -7	
S	-10.910/26 = -0.4196		-62.430/18 = -3.4683		-7.8700/12 = -0.6558	
T	-40.380/12 = -3.3650		-50.950/23 = -2.2152		10.050/7 = 1.4357	
TX	10.840/21 = 0.5162		-9.600/27 = -0.3556		20.510/14 = 1.4650	
UK	-25.700/27 = -0.9519		95.040/29 = 3.2772		30.390/10 = 3.0390	
UTX	58.920/21 = 2.8057		13.280/27 = 0.4919		43.640/12 = 3.6367	
WX	89.440/27 = 3.3126		61.730/32 = 1.9291		57.200/14 = 4.0857	
XON	-18.250/24 = -0.7604		-39.700/22 = -1.8045		7.8100/10 = 0.7810	
Z	20.390/21 = 0.9710		42.430/23 = 1.8448		71.520/11 = 6.5018	

Сделка и доход 21.1/ 0.02 23.7/ -0.46 10.6/ 0.23  
(в среднем)

## Анализ отдельных акций

РИСУНОК 8-5



Выбрать акции, демонстрирующие работу различных индикаторов, было довольно проблематично. И не потому, что трудно найти хорошие акции, большинство их работало достаточно хорошо с концепцией фильтрации. Проблема состояла в том, как поддерживать доверие: вы же не должны подумать, будто в поисках безупречного примера была прочесана целая вселенная. Итак, решено использовать первую акцию из обоих списков — S&P100 и промышленного индекса Доу — Alcoa (AA). На рис. 8-5 показан штриховой график максимумов-минимумов Alcoa вместе с гистограммой объема на анализируемом периоде, используемом в последующих примерах.

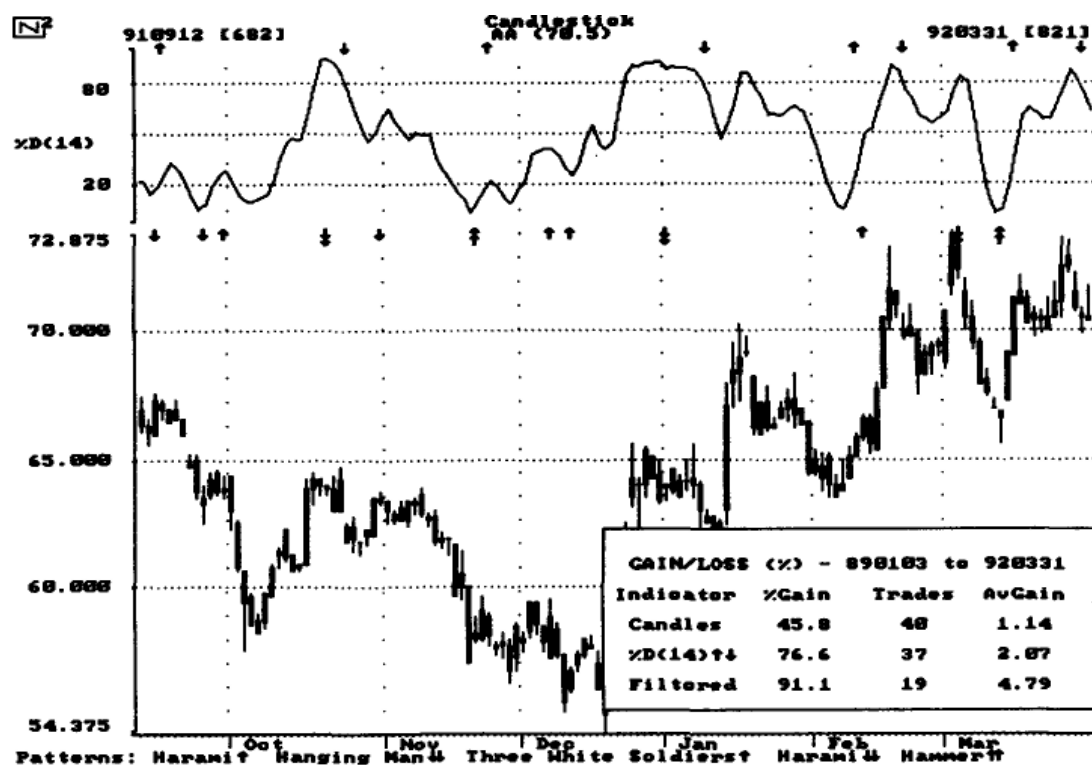
На рис. 8-6 — 8-18 над графиком японских свечей AA показаны тринадцать различных индикаторов. График показывает только последние 140 торговых дней, но анализ покрывает все данные с 1 января 1989 года по 31 марта 1992 года (3 1/4 года). Направленные вверх и вниз стрелки вверху графика (над индикатором) показывают сигналы, поданные самим индикатором. Направленные вверх и вниз стрелки, находящиеся под индикатором, показывают автоматически идентифицированные модели свечей и говорят о том, является ли данная модель бычьей (стрелка вверх) или медвежьей (стрелка вниз). Если модель свечей обозначена двойной стрелкой, то это отфильтрованная модель. В рамке, расположенной в правом нижнем углу графика, показана торговая информация, относящаяся к трем методам торговли. Она говорит о дате сделок, общем проценте прибылей и убытков, количестве торговых сигналов и о среднем проценте прибыльности или убыточности сделки. Заметьте, что торговые результаты моделей свечей для всех примеров одни и те же. Данные не менялись, следовательно, модели свечей были одними и теми же. Лишь индикатор, а также отфильтрованные модели свечей в каждом примере разные. Во всех примерах индикаторов общий доход при использовании одних лишь моделей свечей при торговле акциями Alcoa (AA) составлял 45,8% за период с 3 января 1989 года по 31 марта 1992 года. Было совершено 40 сделок, что привело к средней доходности 1,14% на одну сделку.

В первый день, 3 января 1989 года, цена акций Alcoa составляла 55,875, а в последний день, 31 марта 1992 года, она составила 70,5. Таким образом, у вас будет основание для суждения: стратегия «купи и держи» принесла бы немногим более 26%. Опять-таки тут не фигурируют ни вычисления комиссионных, ни «проскальзывания», ни годовые цифры. Торговая стратегия была очень проста, так что, рассматривая эту концепцию, следует брать во внимание лишь относительные величины.

Еще одно обстоятельство, которое следует принять во внимание: все результаты торговли

подсчитаны с учетом закрытия позиций в последний день данных. Это не всегда означает, что в этот день появился торговый сигнал, это означает лишь то, что процент прибыли и убытков вычислялся так, как если бы подобный сигнал был дан.

РИСУНОК 8-6



На рис. 8-6 показан 14-дневный индикатор %D, использующий для генерирования торговых сигналов пороговые значения 20 и 80. Общая доходность отфильтрованных свечей практически не отличалась от доходности самого индикатора. Однако число сделок значительно снизилось, что подняло среднюю доходность сделки с использованием фильтрованных свечей до 4,79%, что более чем на 100% превышает результативность индикатора.

На рис. 8-7 показан быстрый 14-дневный индикатор %K, использующий пороговые значения 20 и 80. Различие между %K и %D заключается лишь в том, что %D реагирует несколько медленнее, чем %K. Помните, что %D — всего лишь трехточечная скользящая средняя для %K. В данном примере, учитывая среднюю доходность сделки, успешность фильтрованных свечей более чем в три раза превысила успешность %K.

Поскольку %K реагирует быстрее, чем %D, можно было бы снизить верхний порог и поднять нижний, чтобы увеличить зону фильтрации. Обычно это увеличивает число сделок. Например, изменив пороговые значения до 25 и 75, мы получим прибыль от фильтрованных свечей в 71,6% при 21 сделке и средней доходности 3,41% на сделку. Однако использование увеличенной области фильтрации ухудшило начальный пример, поскольку, хотя это и увеличило число сделок, общая прибыль не выросла. Результаты индикатора %K лишь слегка улучшились, поднявшись до 51,9%. Изменение пороговых значений до 30 и 70 увеличило количество сделок по отфильтрованным свечам до 27 при прибыли лишь в 31,5%. Эффективность индикатора в действительности снизилась до 45,6%. Это показывает, что пороговые значения 20 и 80 приводят к лучшим результатам фильтрации, не изменяя существенно результатов индикатора.



РИСУНОК 8-7

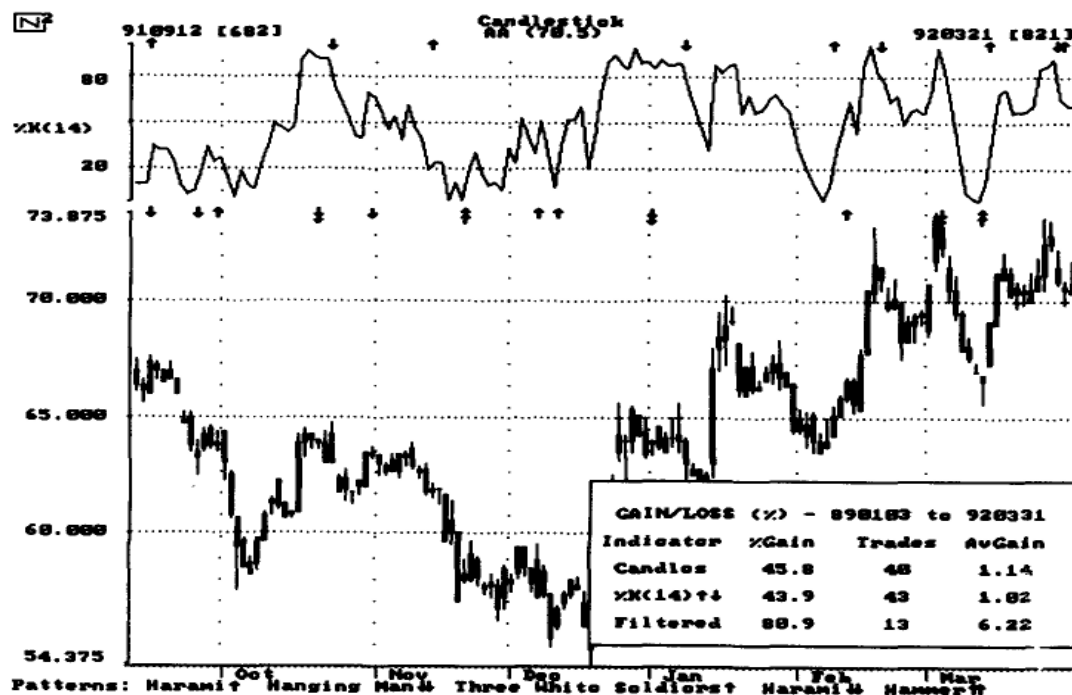
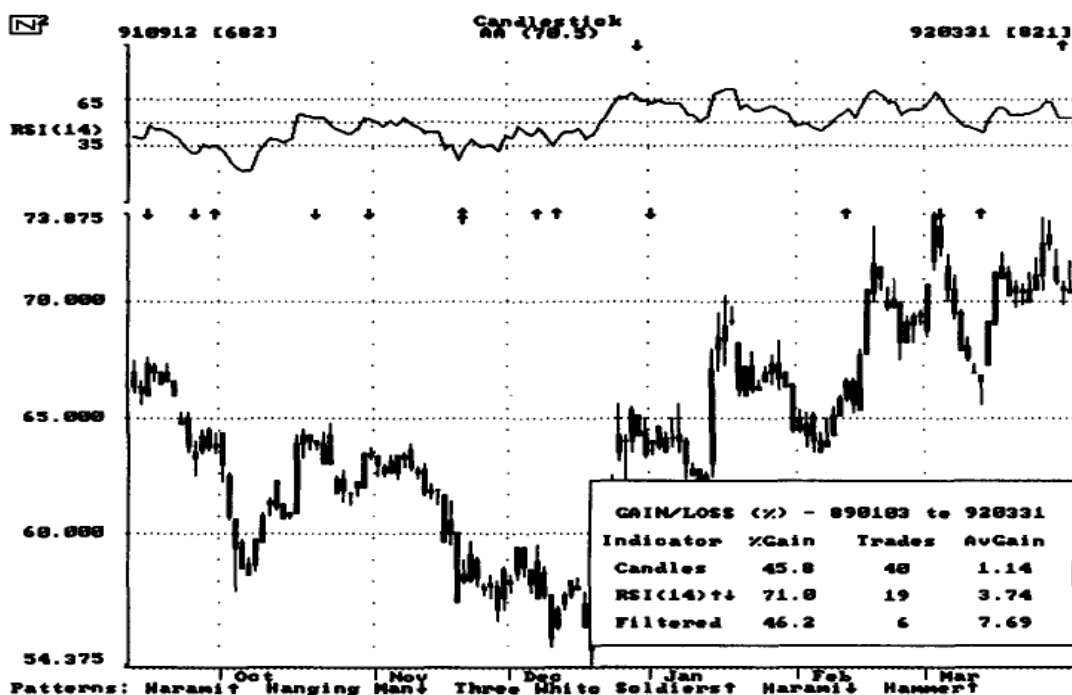


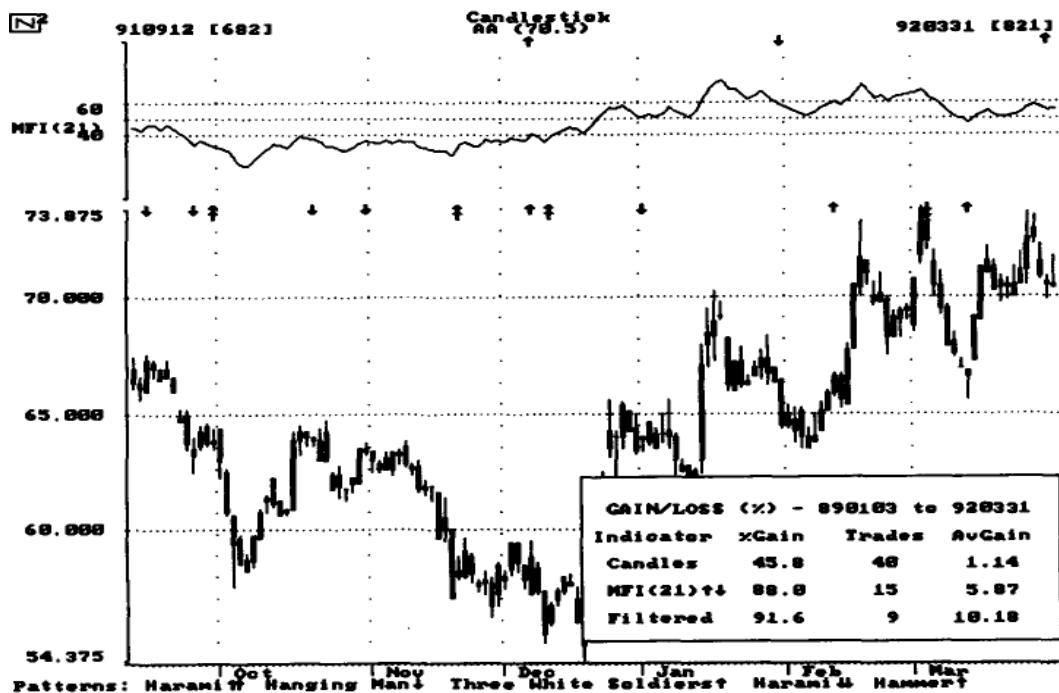
РИСУНОК 8-8



На рис. 8-8 показан 14-дневный индикатор RSI Уайлдера с пороговыми значениями 35 и 65. Средняя доходность фильтрованных свечей более чем в два раза превышает среднюю доходность при использовании RSI. Приняв во внимание тот факт, что и сделок было меньше, средняя доходность на сделку у фильтрованных свечей была значительно выше, чем у RSI.

На рис. 8-9 показан индекс денежного потока (money flow). Денежный поток вычисляется аналогично RSI, но дни с повышающейся ценой закрытия усредняются отдельно от тех дней, когда цена закрытия падает. В этом случае для сглаживания как повышающихся, так и понижающихся закрытий использовался период в 21 день. Перед сглаживанием ежедневное изменение цены умножается на объем торговли этого дня. Таким образом, день повышения

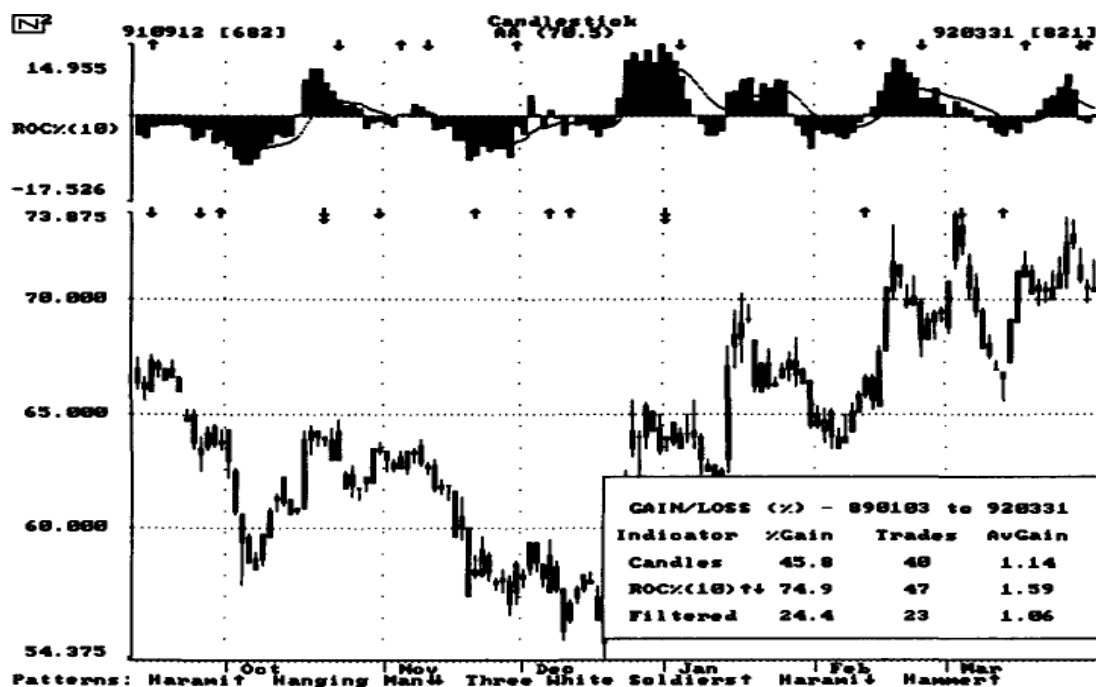
РИСУНОК 8-9



с большим объемом вызывает большее движение индикатора, чем аналогичный день с повышающейся ценой, но малым объемом торговли. После того как обе средние вычислены, с ними оперируют далее, чтобы получить индикатор, меняющийся в границах от 0 до 100.

Как можно увидеть, взглянув на рамку с торговыми результатами на рис. 8-9, концепция фильтрации снова оказалась намного эффективнее, чем индикатор сам по себе, даже несмотря на то что и эффективность индикатора была довольно высока.

РИСУНОК 8-10



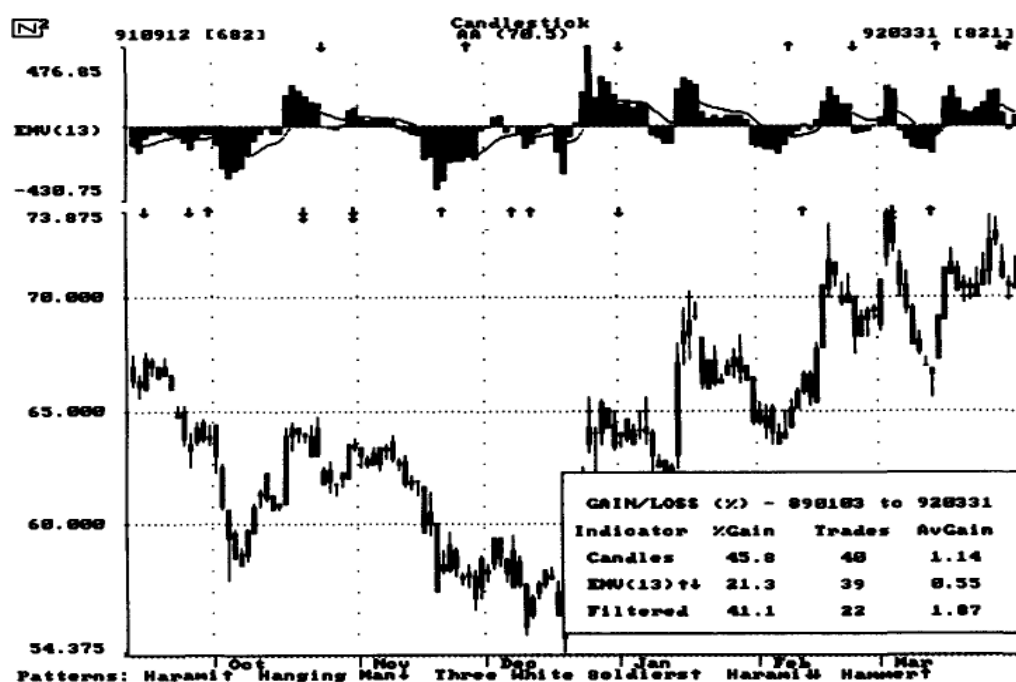
На рис 8-10 показан индикатор, известный как темп изменений (rate of change). Концепция этого индикатора довольно проста, и он широко применяется аналитиками. Здесь использован

десятидневный темп изменений, который рассматривает процентную разницу между сегодняшней ценой закрытия и ценой закрытия десятидневной давности. Например, если значение индикатора темпа изменений составило 7,5, можно заключить, что цена в этот день была на 7,5% выше, чем цена десятидневной давности.

В случае этого индикатора торговые сигналы не могут подаваться с помощью пороговых значений, поскольку нижнее и верхнее значения теоретически не ограничены. Таким образом, торговые сигналы генерируются при пересечении индикатора со своей собственной десятидневной средней. Для большинства индикаторов, работающих подобным образом, используется сглаживание по десяти точкам. Могут существовать лучшие значения для определенных акций или товаров, но десять точек, как правило, хороши всегда.

Индикатор темпа изменений продемонстрировал большую эффективность, чем модели свечей, и гораздо большую, чем отфильтрованные модели, если брать общую прибыль. Поскольку почти всегда использование отфильтрованных моделей приводит к меньшему количеству сделок,

РИСУНОК 8-11



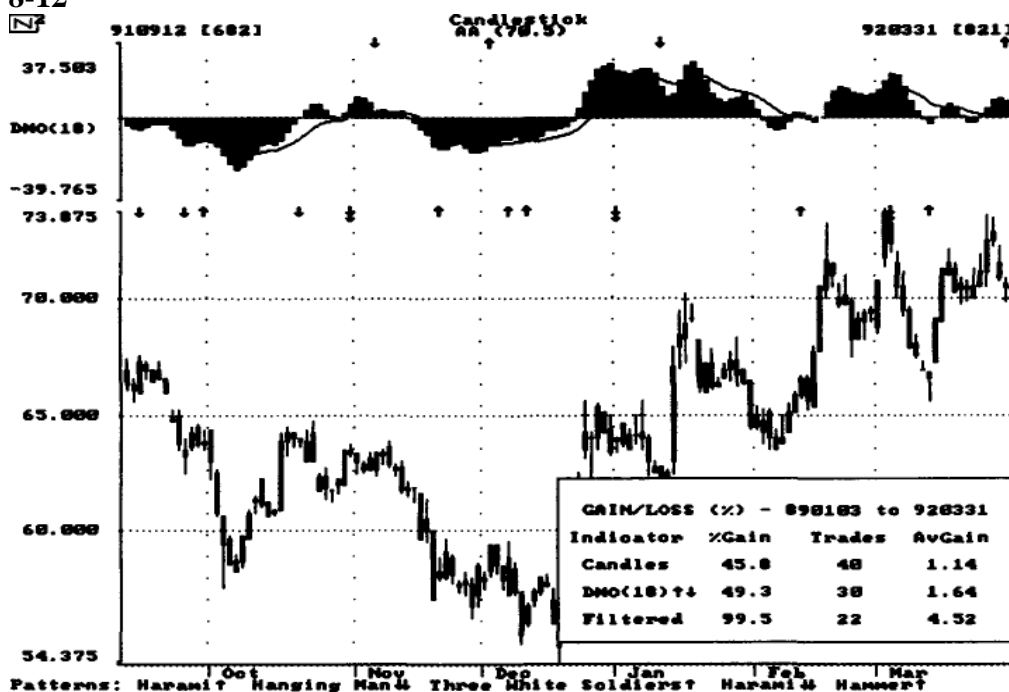
средняя доходность индикатора была выше, но несущественно. Область фильтрации возникла после пересечения индикатором нулевой линии и перед пересечением индикатора со своей средней.

На рис. 8-11 показан 13-дневный *индикатор легкости движения Армса* (Arms' Ease of Movement). Сигнал генерируется, когда пересекает собственную десятипериодную среднюю. Индикатор легкости движения Армса — числовой метод, используемый для определения размера прямоугольника (box), который применяется в «эквивалентных» графиках. Индикатор использует отношение ширины прямоугольника к его высоте, называемое отношением прямоугольника (box ratio). Оно является отношением объема к ценовому диапазону. Дни с большим объемом и тем же ценовым диапазоном приводят к большему значению отношения прямоугольника и, таким образом, к затрудненному движению.

Исходя из общей прибыли этот индикатор не показал себя лучше, чем собственно свечи или отфильтрованные модели свечей. Аналогичным образом, если посмотреть на количество сделок, отфильтрованные свечи проявили себя намного лучше.



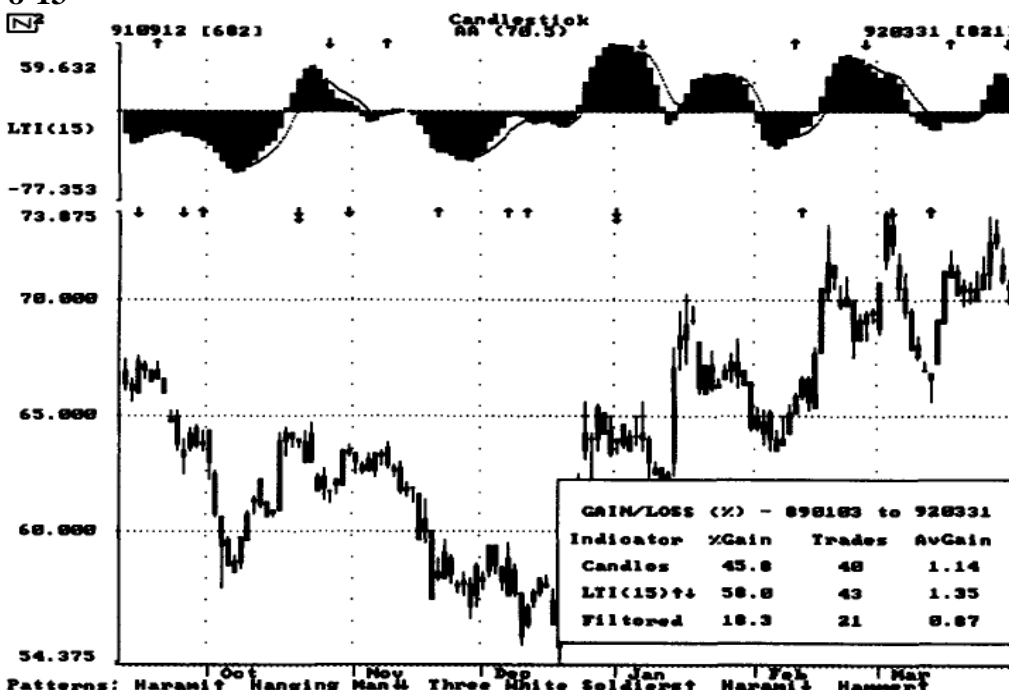
РИСУНОК 8-12



На рис. 8-12 показан 18-дневный двойной осциллятор скорости рынка. Как и в случае большинства осцилляторов, сигнал генерируется, когда осциллятор пересекает собственную 10-дневную среднюю. Двойной осциллятор скорости — комбинация двух индикаторов скорости изменения, которые на 20% выше и ниже значения, установленного для индикатора. В этом примере значение индикатора установлено на 18, таким образом, два значения скорости изменения — 14 и 22.

В данном примере результативность отфильтрованных свечей была намного выше, чем у индикатора.

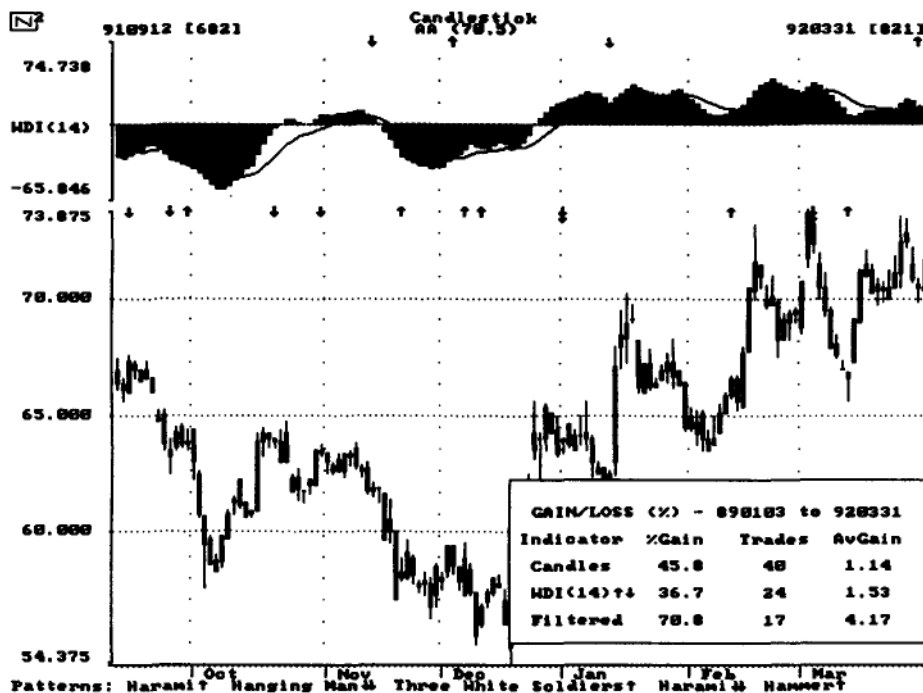
РИСУНОК 8-13



На рис. 8-13 показан 15-дневный линейный индикатор тренда (linear trend indicator, LTI). Поскольку LTI — достаточно гладкая линия, было использовано пересечение с более короткой пятидневной средней.

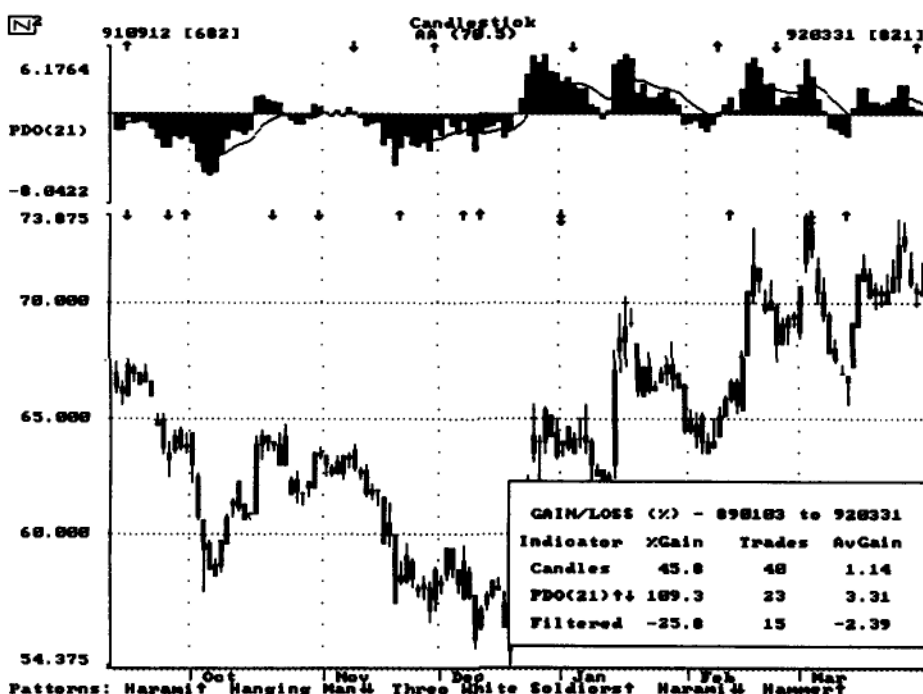
Индикатор дал хорошие результаты, но концепция фильтрации не смогла показать себя лучше, чем индикатор или модели свечей. Фильтрация свечей, очевидно, не может давать лучшие результаты всегда.

РИСУНОК 8-14



На рис. 8-14 показан 14-дневный индекс направленного движения Уайлдера. И в этом случае сигнал генерируется, когда пересекает собственную десятидневную среднюю. Уайлдер разработал индекс направленного движения в 1978 году вместе с RSI. Использование сигналов от пересечения с простой средней — не классический метод, который предполагался Уайлдером при разработке этого индекса. Однако это единственный метод, способный создавать область фильтрации.

РИСУНОК 8-15

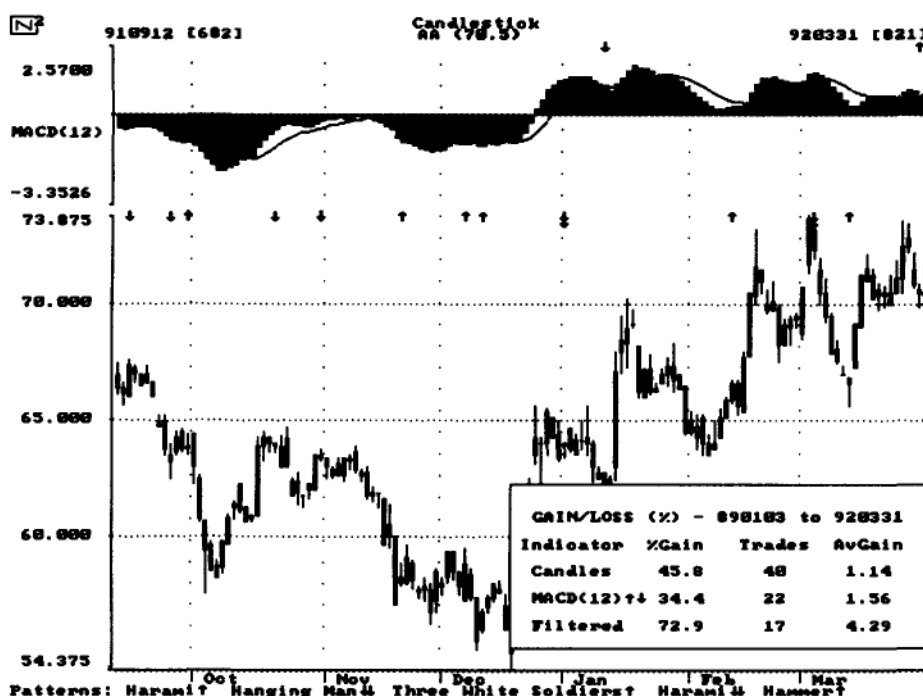


И здесь концепция фильтрации показала себя достаточно хорошо. В то время как индикатор дал не очень хорошие результаты, результаты отфильтрованных свечей были почти в три раза лучше.

На рис. 8-15 показан 21-дневный *осциллятор снятия направленности с цены* (price detrend oscillator, PDO). Он представляет собой разницу между ценой закрытия и средней ценой закрытия, в данном случае за 21 день. Сигналы генерируются, когда PDO пересекает собственную десятидневную среднюю.

Это тот пример, когда индикатор показал очень хорошие результаты, а отфильтрованные свечи постигла неудача. Вероятно, проблема была связана с определением области фильтрации с помощью этого индикатора.

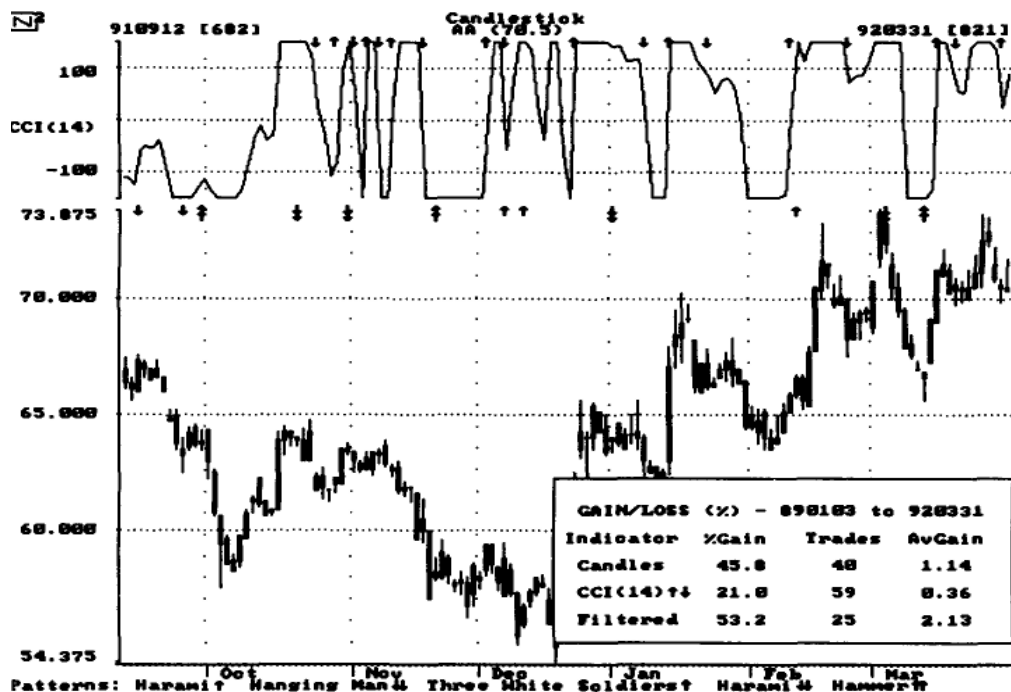
РИСУНОК 8-16



На рис. 8-16 показан *индикатор схождения-расхождения скользящих средних* Апделя, известный как MACD. MACD — расширение осциллятора PDO, в котором вместо цены закрытия используется еще одно сглаженное значение. MACD использует разницу между 12-дневной и 25-дневной средними. Сигналы генерируются, когда эта разница пересекает свою собственную девятидневную среднюю. Здесь использовались девять дней, поскольку к этому значению чаще всего обращаются аналитики. Кстати, при предыдущем значении сглаживания, равном десяти дням, торговые результаты индикатора в действительности были выше более чем на 7%.

MACD в этом примере не показал высоких результатов. Однако отфильтрованные свечи привели к средней доходности сделки в 4,29%.

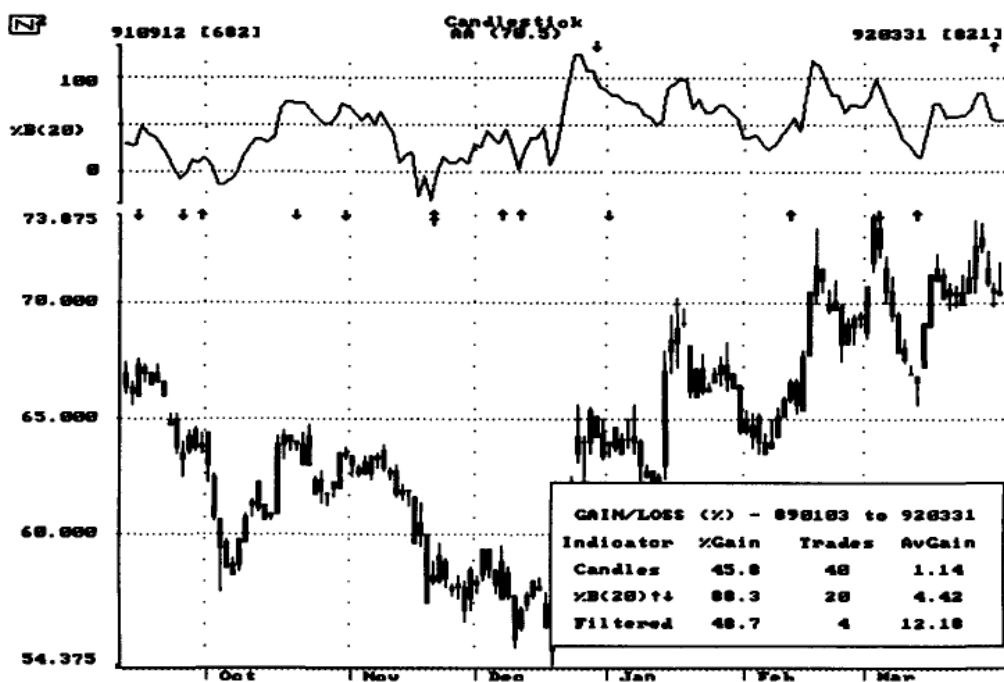
РИСУНОК 8-17



На рис. 8-17 показан 14-дневный индекс товарного канала Ламберта (commodity channel index, CCI). Сигналы подаются, когда CCI пересекает пороговые значения, равные 100 и — 100. CCI был разработан специально для использования в случае товаров, демонстрирующих циклические и/или сезонные свойства. Он состоит из средних отклонений в выбранном количестве точек, в данном случае в 14 точках.

И снова отфильтрованные свечи показали себя исключительно хорошо по сравнению с индикатором и моделями свечей.

РИСУНОК 8-18



На рис. 8-18 показан 20-дневный *осциллятор Боллинджера (%B)*. %B — еще один способ изображения полос Боллинджера. Полосы Боллинджера используют два стандартных отклонения за период в 20 дней, охватывающих около 95% движений цены. Это прекрасный способ показать волатильность рынка. %B просто сравнивает цены закрытия с верхней и нижней полосами Боллинджера, что очень похоже на то, как вычисляется стохастик. %B указывает на положение цены закрытия относительно полос Боллинджера. Сигналы генерируются, когда %B выходит за значения 100% и 0%.

На рис. 8-18 вы можете видеть, что осциллятор сам по себе дал превосходные торговые результаты, но при использовании в качестве фильтра для моделей свечей его результаты оказались еще лучше.

### **Заключение**

Должно быть вполне очевидным, что фильтрация моделей свечей с помощью популярных индикаторов — почти безотказный способ улучшения торговых результатов. Она не только приводит простую торговую систему к лучшим показателям общей прибыли, но и почти всегда позволяет снизить количество сделок. Снижение числа сделок приводит к уменьшению транзакционных затрат и значительному повышению средней доходности сделки. Фильтрация работает!

# ПРОИЗВОДНЫЕ ГРАФИЧЕСКИЕ МЕТОДЫ

## 9

Графики японских свечей породили множество производных графических и аналитических методов. Привлекательность графиков свечей как метода отображения рыночных данных состоит в том, что они помогают визуальной интерпретации рынка. Вы можете быстро усвоить информацию, поскольку она всегда хорошо видна. Новый графический метод, называемый CandlePower, добавляет в графики свечей новое измерение — объем. CandlePower — торговая марка, которая принадлежит компании N-Squared Computing, создавшей эту концепцию.

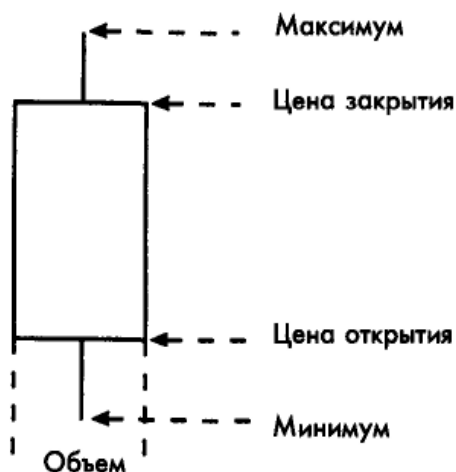
### Графики CandlePower

Графики CandlePower — еще один визуально привлекательный графический метод, сочетающий японские свечи и объем торговли.

Типичный график, штриховой или свечной, показывает поведение цены на вертикальной оси и время на горизонтальной (см. главу 1). Обычно объем изображается в виде гистограммы, вычерченной под ценой. Всякий раз, как продавец и покупатель заключают сделку, появляются два важных блока информации. На один из них, а именно на изменение цены, мы склонны реагировать весьма эмоционально, на другой — объем — обращать минимальное внимание. Объем торговли — несомненно более значимый инструмент рыночного анализа, чем обычно думают. Ричард Арме утверждал, что цена говорит нам о том, что случилось, а объем рассказывает о том, как это случилось. Джозеф Грэнвилл сделал карьеру, анализируя объем.

Объем во время большинства рыночных фаз опережает цены. Это в высшей степени спорное замечание, но слежение и за ценами, и за объемом может лишь улучшить процесс принятия решений и выбора моментов совершения сделок. Говоря проще, когда цена и объем растут, это следует рассматривать как бычье проявление. Соответственно, когда цена и объем падают, это проявление медвежье.

РИСУНОК 9-1

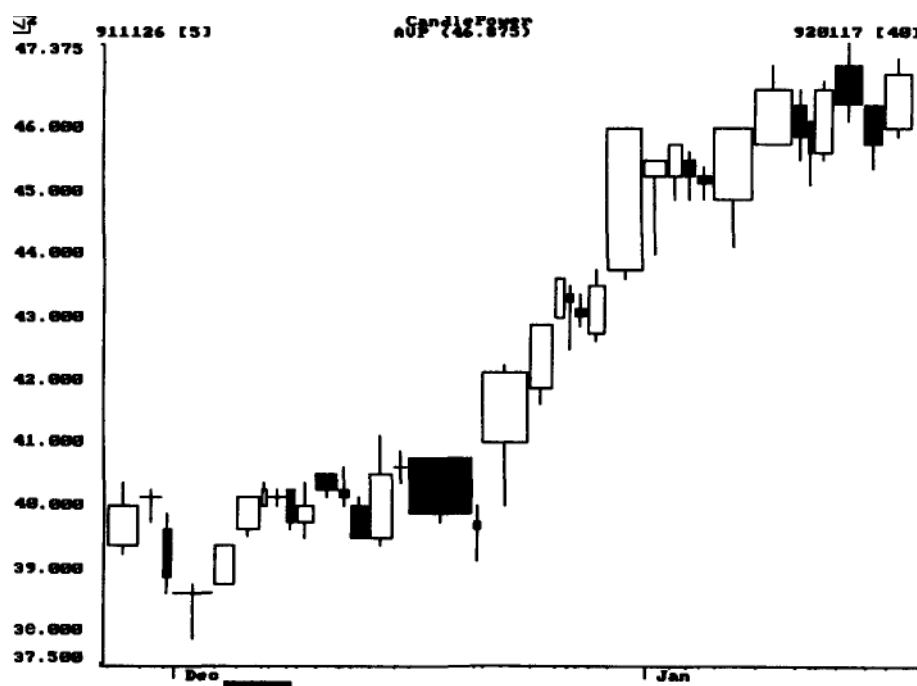


Как показано на рис. 9-1, тело дня на графике CandlePower, как и на графике свечей, изображает разницу между ценами открытия и закрытия. Цвет тела и тени имеет то же значение, что и в графиках японских свечей. Разница состоит в том, что ширина тела отражает объем торговли этого дня. День, когда объем торговли велик, будет изображаться более широкой свечой, чем день с низким объемом. На графике найти день с самым высоким объемом торговли просто, нужно всего лишь отыскать свечу с самым широким телом. Соответственно день с самым низким объемом торговли будет иметь самое узкое тело.

Многие модели свечей приобретают большую важность, если представить с их помощью и объем. Например, день бычьего поглощения станет еще более бычьим, если второй день тоже сопровождается ростом объема. Модель *утренняя звезда* может рассматриваться как более успешная, если последний день сопровождается увеличившимся объемом.

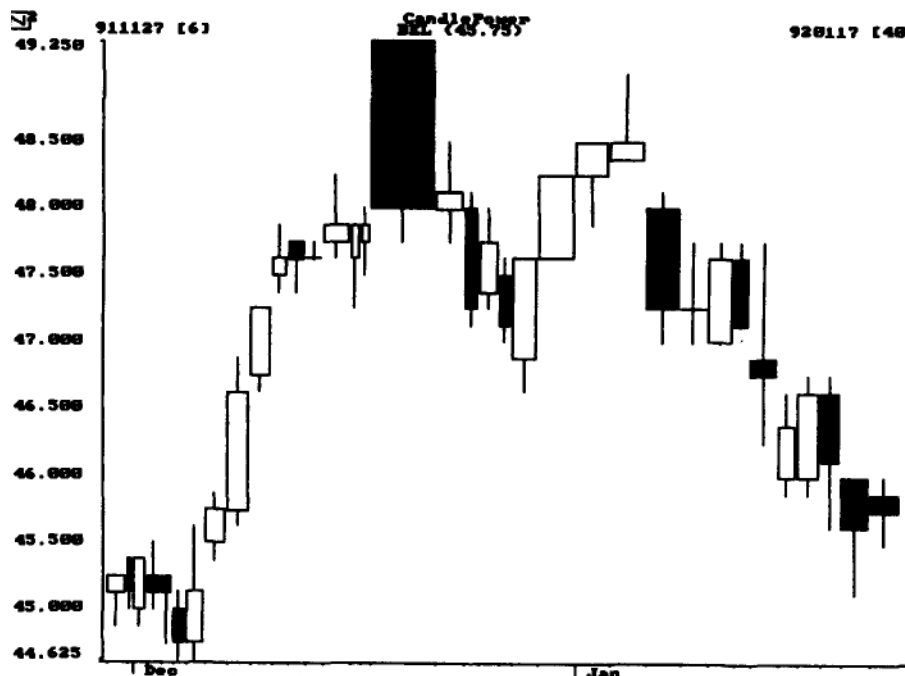
## Примеры

РИСУНОК 9-2



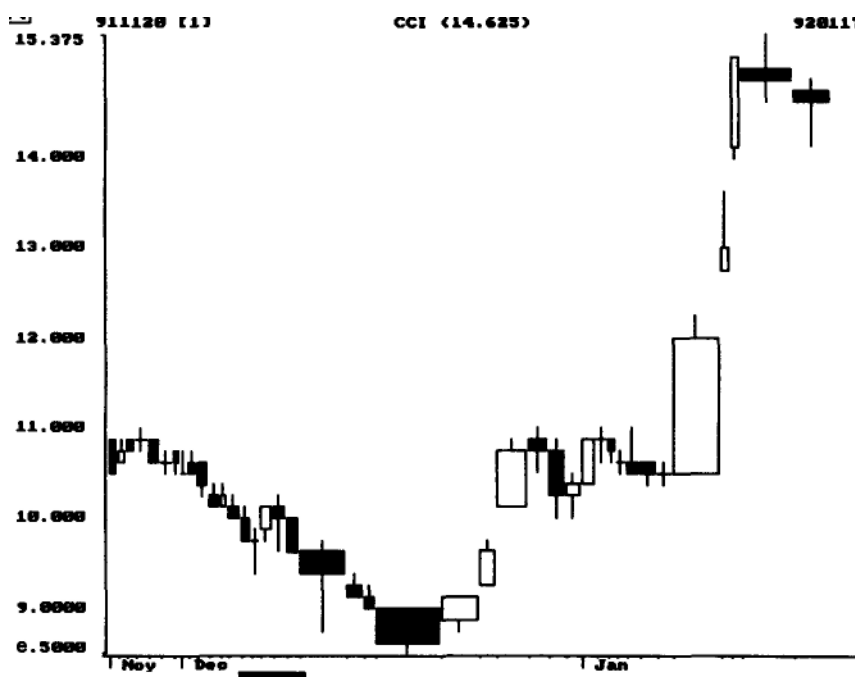
Обратите внимание, что на рис. 9-2 на графике акций Avon Products (AVP), повышательное движение содержит большие белые свечи. Они показывают, что повышательное движение полностью поддерживается объемом торговли. Когда большие белые дни иссякают, движение, вероятно, остановилось.

РИСУНОК 9-3



Большой черный день на графике Bell South (BEL) показывает классический объем кульминационного дня (рис. 9-3). После существенного повышательного движения объем начал иссякать, цены один раз достигают верхней границы, но закрытие происходит вблизи минимума при очень высоком объеме. Затем после нескольких дней снижения цен происходит трехдневный рост, прерываемый разрывом вниз. Далее снижение продолжается.

РИСУНОК 9-4



Обратите внимание: на графике Citicorp (CCI) каждая разворотная точка рынка сопровождается большим объемом торговли (рис. 9-4). Рынок достигает дна при большом черном дне, затем растет. Рост останавливается большим белым днем, затем возникают боковые движения вплоть до появления еще одного большого белого дня. Отсюда цена дважды совершает разрывы, за которыми следуют два дня нерешительности (волчки), оба с большим объемом. И здесь волчки



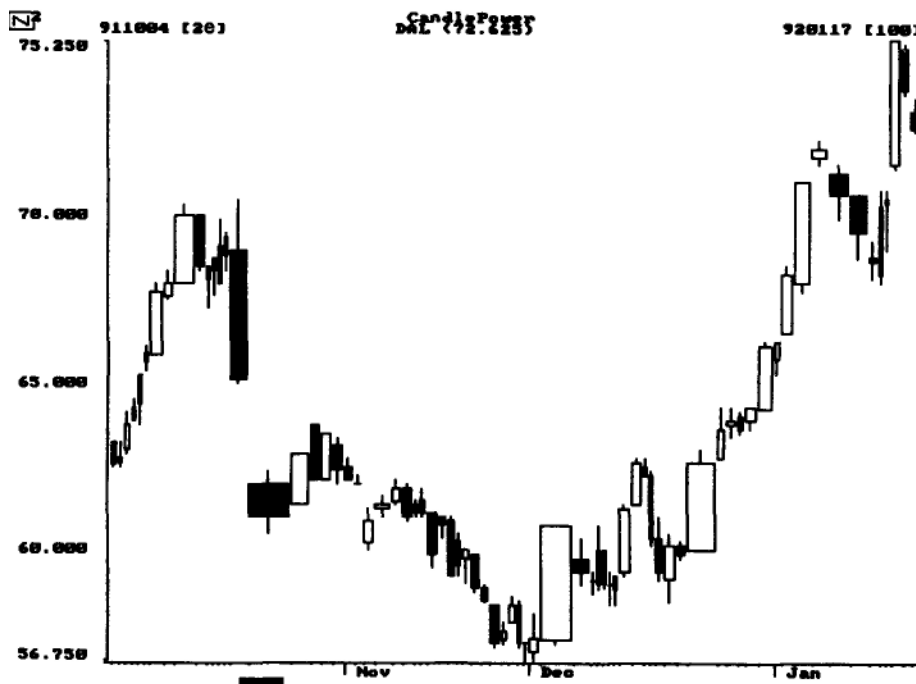
с большим объемом снова поддерживают на рынке нерешительность. Большое количество акций переходит из рук в руки, но ни одна из сторон не берет верх.

РИСУНОК 9-5



Разворот во впадине перед концом декабря на графике Litton (LIT) показывает растущий день ото дня объем (рис. 9-5). Если бы не было маленького белого волчка, дно было бы представлено бычьей разворотной моделью *утренняя звезда*. Это еще один пример, где рост объема, сопровождающий формирование модели, увеличивает ее значимость.

РИСУНОК 9-6



На рис. 9-6, на последнем примере графика CandlePower, показано большее количество данных (максимальный объем был уменьшен), чтобы можно было в полной мере оценить богатство этого графического метода.

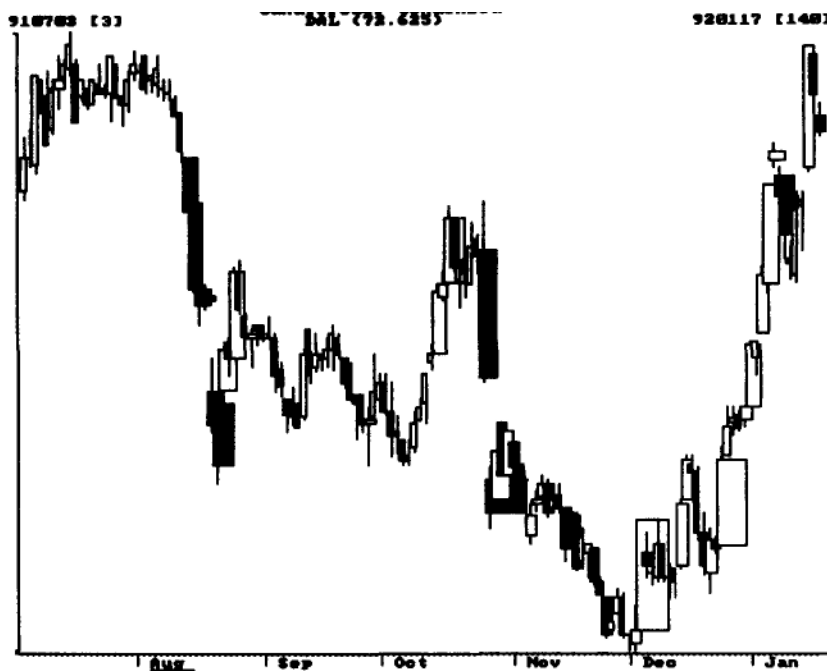
### Сжатые графики CandlePower

Сжатые графики CandlePower являются еще одним вариантом графиков. В этом подходе время снова возвращается на горизонтальную ось. Тела свечей разной ширины и здесь изображаются точно, но теперь они перекрываются. Каждый новый день начинается на одном и том же расстоянии (временном интервале) от предыдущего. Этот графический метод показывает большее количество данных одновременно и при этом делает видимыми дни с большим объемом. Однако отдельные модели свечей теперь увидеть труднее.

Используя сжатые графики CandlePower, можно легко вычленить области торговли с высоким объемом. Линии тренда, использующие такой тип графиков, также отражали бы объем.

### Пример

РИСУНОК 9-7



Данные, используемые для сжатого графика CandlePower на рис. 9-7, те же, что и в последнем примере графиков CandlePower. Это сделано намеренно, чтобы дать вам почувствовать разницу между двумя графическими методами.

## ЗАКЛЮЧЕНИЕ

Успешный анализ фондовых и фьючерсных рынков — задача нелегкая. Большинство участников готовится к торговле не лучше, чем делали бы это перед игрой в карты. Необходимо прежде всего выяснить, как работают рынки, затем познакомиться с различными типами возможного анализа, такими как фундаментальный и технический. Сужая область, технический анализ, тем не менее, предлагает целый спектр различных приемов; одним из них и является анализ японских свечей.

В этой книге неоднократно подчеркивалось, что анализ свечей следовало бы сочетать с другими аналитическими методами. Рискую вступить в противоречие с самим собой, я хотел бы предупредить о том, что использование слишком многих методов может лишь запутать и помешать. Уместно вспомнить поговорку о том, что человек с часами всегда знает, который час, но человек с двумя часами не уверен в этом.

Было показано, что анализ моделей свечей может повысить результативность использования популярных технических индикаторов. Отфильтрованные свечи оказываются устойчиво результативнее большинства технических индикаторов и, как правило, собственно моделей свечей. Сочетание технических индикаторов и приемов не ново; фактически это тот метод анализа, который используется большинством успешных трейдеров. Добавление в этот арсенал моделей свечей, без сомнений, и далее улучшит результаты торговли.

Я уверен, что с течением времени появятся новые методы анализа. Некоторые из них станут популярными, другие будут использоваться редко. Любой аналитический прием, имеющий под собой крепкую основу, обязательно выживет. Я убежден, что графики японских свечей и анализ моделей свечей будут использоваться всегда.